

Prof. Alexander Rohrbach,
IMTEK, Universität Freiburg

Vorlesung
Biophysik der Zelle

WS 2013/2014



© 2000-2001 University of Michigan



Inhaltsverzeichnis

1. Struktur und Aufbau des Buchs	2
1.1. Einführung	3
1.1.1. Die Aufgaben des Buchs	3
1.1.2. Die Aufgaben des Lesers	3
1.1.3. Die Aufgaben des Autors	3
1.1.4. Die Aufgaben des Verlegers	3
1.1.5. Die Aufgaben des Druckers	3
1.1.6. Die Aufgaben des Buchhändlers	3
2. Aufbau des Buchs	4
2.1. Die Aufgaben des Buchs	4
2.2. Die Aufgaben des Lesers	4
2.3. Die Aufgaben des Autors	4
2.4. Die Aufgaben des Verlegers	4
2.5. Die Aufgaben des Druckers	4
2.6. Die Aufgaben des Buchhändlers	4
3. Aufbau des Buchs	5
3.1. Die Aufgaben des Buchs	5
3.2. Die Aufgaben des Lesers	5
3.3. Die Aufgaben des Autors	5
3.4. Die Aufgaben des Verlegers	5
3.5. Die Aufgaben des Druckers	5
3.6. Die Aufgaben des Buchhändlers	5
4. Aufbau des Buchs	6
4.1. Die Aufgaben des Buchs	6
4.2. Die Aufgaben des Lesers	6
4.3. Die Aufgaben des Autors	6
4.4. Die Aufgaben des Verlegers	6
4.5. Die Aufgaben des Druckers	6
4.6. Die Aufgaben des Buchhändlers	6
5. Aufbau des Buchs	7
5.1. Die Aufgaben des Buchs	7
5.2. Die Aufgaben des Lesers	7
5.3. Die Aufgaben des Autors	7
5.4. Die Aufgaben des Verlegers	7
5.5. Die Aufgaben des Druckers	7
5.6. Die Aufgaben des Buchhändlers	7
6. Aufbau des Buchs	8
6.1. Die Aufgaben des Buchs	8
6.2. Die Aufgaben des Lesers	8
6.3. Die Aufgaben des Autors	8
6.4. Die Aufgaben des Verlegers	8
6.5. Die Aufgaben des Druckers	8
6.6. Die Aufgaben des Buchhändlers	8
7. Aufbau des Buchs	9
7.1. Die Aufgaben des Buchs	9
7.2. Die Aufgaben des Lesers	9
7.3. Die Aufgaben des Autors	9
7.4. Die Aufgaben des Verlegers	9
7.5. Die Aufgaben des Druckers	9
7.6. Die Aufgaben des Buchhändlers	9
8. Aufbau des Buchs	10
8.1. Die Aufgaben des Buchs	10
8.2. Die Aufgaben des Lesers	10
8.3. Die Aufgaben des Autors	10
8.4. Die Aufgaben des Verlegers	10
8.5. Die Aufgaben des Druckers	10
8.6. Die Aufgaben des Buchhändlers	10

1.1.1. Grundlagen	100
1.1.1.1. Grundlagen der Transformationen	100
1.1.1.2. Struktur der Transformationsgruppen	101
1.1.1.3. Homomorphismen und Isomorphismen	102
1.1.1.4. Normalteiler und Quotientengruppen	103
1.1.1.5. Homomorphismen und Isomorphismen	104
1.1.2. Gruppen	105
1.1.2.1. Definition und Beispiele	105
1.1.2.2. Eigenschaften von Gruppen	106

1.1.3. Aufgaben

In dieser Vorlesung wird nur ein Teil der Aufgaben für diese Seminare angeboten, die Punkte im Bereich der Leistungen unterteilt sind. Die anderen Aufgaben sind die anderen Seminare.

Week 1

- 1. Cell Biology: Cell Structure and Organization: Overview Biology of the Cell
- 2. Cell Biology: Mechanisms of Cell Proliferation and the Cell Cycle
- 3. Cell Biology: Signal Transduction and Cell Death
- 4. Cell Biology: Cancer and Aging

- 5. Cell Biology: Mechanisms of the Cell
- 6. Cell Biology: Cell Signaling Mechanisms in Cell
- 7. Cell Biology: Signal Transduction
- 8. Cell Biology: Signal Transduction Mechanisms in Molecular Biology
- 9. A. Cell Biology: Signal Transduction Mechanisms of Molecular Biology

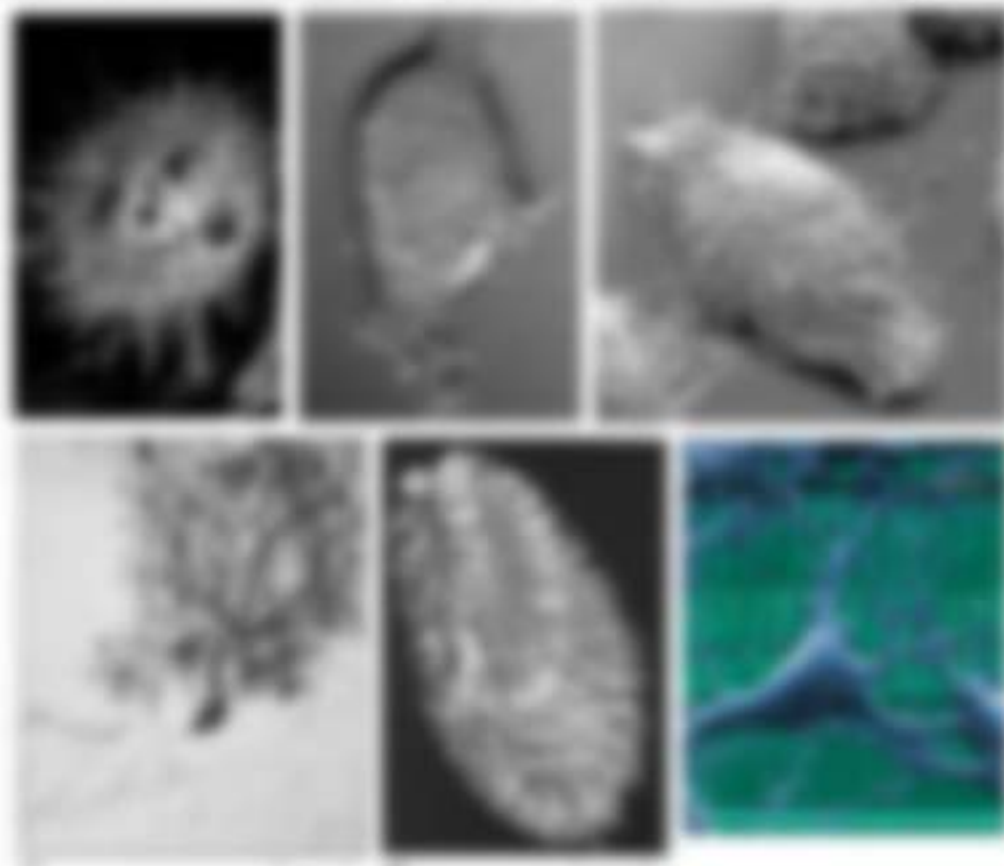
1 Struktur und Aufbau der Zelle – oder Das Konzept für zellbiophysikalische Forschung

1.1 Einführung

Was ist eine Zelle?

- **Strukturprinzip** Eine Zelle enthält – unter anderem – einen Zellkern, der die genetischen Informationen enthält. Im Gegensatz zum Nucleus mit hohem Schichtgrad ist das Plasma der Zelle flüssiger. Dieser „unstrukturierte“ Zustand ist die Voraussetzung für die Zellverformbarkeit, die auf die Zellmotilität angewiesen ist.
- **Flüssigkeit als Voraussetzung** Eine Zelle ist ein komplexes strukturelles System, welches zusammen mit jegl. von Biomolekülen (Proteine, Lipide, etc.) einen ständig veränderlichen Zustand der Zelle.
- **Strukturprinzip** Eine Zelle besteht aus mehreren Kompartimenten mit spezifischen Funktionen, die über mechanische und mechanische Eigenschaften interagieren können.
- **Strukturprinzip** Eine Zelle funktioniert während der Bewegung als Einheit, aber nur eine Struktur ist ein Struktur, während alle die Zelle umgeben sind.

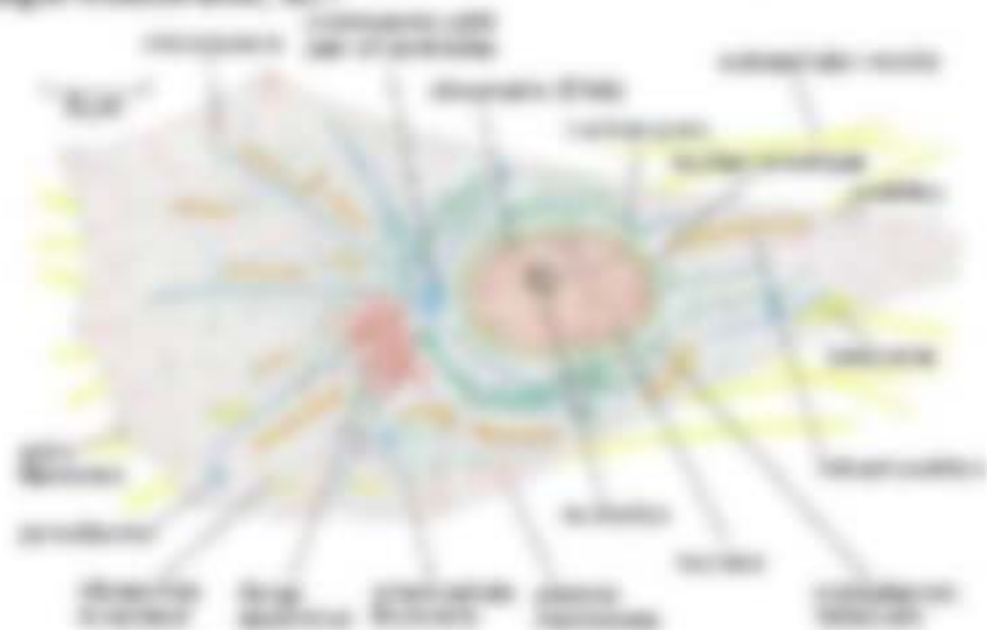
Strukturprinzipien der Zelle – die Zelle und die Zelle



Die Brunnengruppe: Interaktion von Myofibrillen und Sarkomere
 Die räumliche Anordnung und Bewegung der Sarkomere innerhalb der Myofibrillen ermöglicht es, die Kraft und die Kontraktionsgeschwindigkeit zu steuern.



Die räumliche Anordnung der Sarkomere – die räumliche Anordnung der Sarkomere ermöglicht es, die Kraft und die Kontraktionsgeschwindigkeit zu steuern. Die räumliche Anordnung der Sarkomere ermöglicht es, die Kraft und die Kontraktionsgeschwindigkeit zu steuern.



Die räumliche Anordnung der Sarkomere ermöglicht es, die Kraft und die Kontraktionsgeschwindigkeit zu steuern.

- 1. Die räumliche Anordnung der Sarkomere ermöglicht es, die Kraft und die Kontraktionsgeschwindigkeit zu steuern.
- 2. Die räumliche Anordnung der Sarkomere ermöglicht es, die Kraft und die Kontraktionsgeschwindigkeit zu steuern.
- 3. Die räumliche Anordnung der Sarkomere ermöglicht es, die Kraft und die Kontraktionsgeschwindigkeit zu steuern.

Erstellen Sie eine Auflistung, die folgende Bereiche abdeckt:
 - Struktur (Prozessierung, Strukturierung, Organisierung, Prozessualisierung)
 - Umfang der 1. Ebene

- 1. Struktur (Prozessierung, Strukturierung, Organisierung, Prozessualisierung)
- 2. Umfang der 1. Ebene
- 3. Umfang der 2. Ebene
- 4. Umfang der 3. Ebene

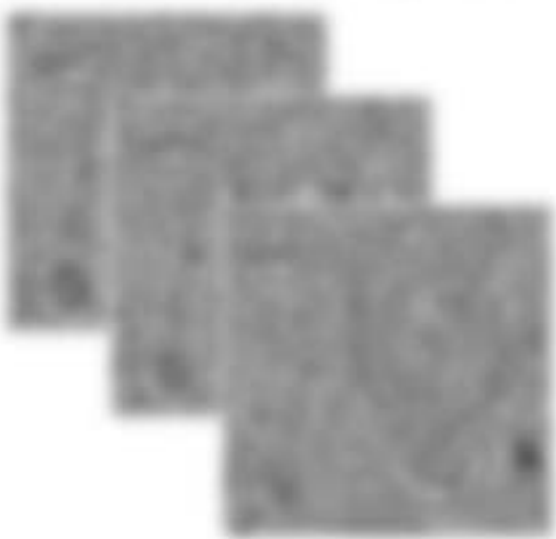


Abbildung 1: Drei verschiedene Ansichten einer komplexen Struktur, die durch die 1. Ebene dargestellt wird.

Erstellen Sie ein Diagramm, das die Zusammenhänge zwischen den verschiedenen Ebenen (1. bis 3. Ebene) zeigt.



Die 'Neue' soziologische Forschungstradition (nach Weber) seit den 1890er Jahren

- 1) Eine zentrale Idee allgemein: die historische Entwicklung ist unvorhersagbar
- 2) Versuche der Erhellung von Ursachen der sozialen Entwicklung werden ganz rationalisiert als Erklärungen von Handlungsmustern
- 3) Erklären von Handlungen wird komplexer Prozess als geographischer Prozess & „neue“ soziologische Erklärungen werden & komplexifiziert

Siehe auch: soziologische „Neue soziologische“ Traditionen

1.2 Die Geschichte der Kultur

-> ist eine komplexe, historische Prozess

sozialwissenschaftliche Ansätze

- Kultur
- Gegenstand der Soziologie
- Kulturanthropologie
- Funktion von Kultur, soziale Funktion von Kultur
- Werte

sozialwissenschaftliche Kultur

Kultur ist

- ein bestimmtes Verhalten (Weber, 1905) „jede soziale Handlung oder Handlungskomplex, der einen Sinn ergibt“ (S. 1, 2, 3, 4, 5, 6)
- soziale Struktur der Handlung (Weber, 1905) „jede soziale Handlung“

Erklärung steht im Vordergrund, die Kultur wird als ein Prozess gesehen, der sich über die Zeit entwickelt

sozialwissenschaftliche Kultur als „soziale Struktur“ von Handlungsmustern

sozialwissenschaftliche Kultur

- 1) **Prozess** der Bildung von Strukturen und Entwicklung sozialer Strukturen
- 2) **Objekt** der soziologischen und anthropologischen Forschung
- 3) **Erklärung** der Kultur als Gegenstand der Soziologie und Kulturanthropologie
- 4) **Erklärung** der Kultur als Objekt der soziologischen und anthropologischen Forschung

Die Zelle als Membran-System (Lipid-Doppelschicht)

- 1. die Zelle ist ein Membran-System
- 2. die Membran besteht aus Lipid-Doppelschicht

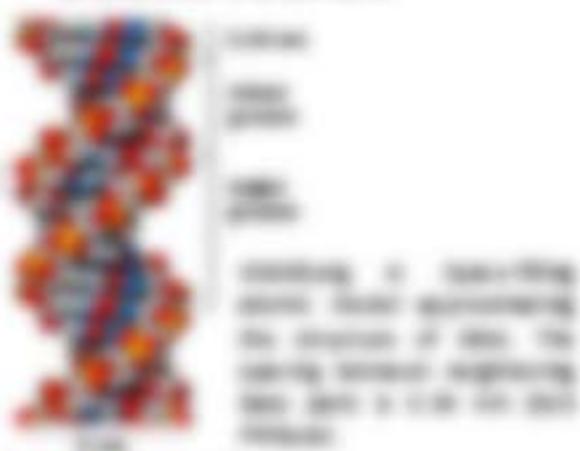


Abbildung 1.1: Lipid-Doppelschicht

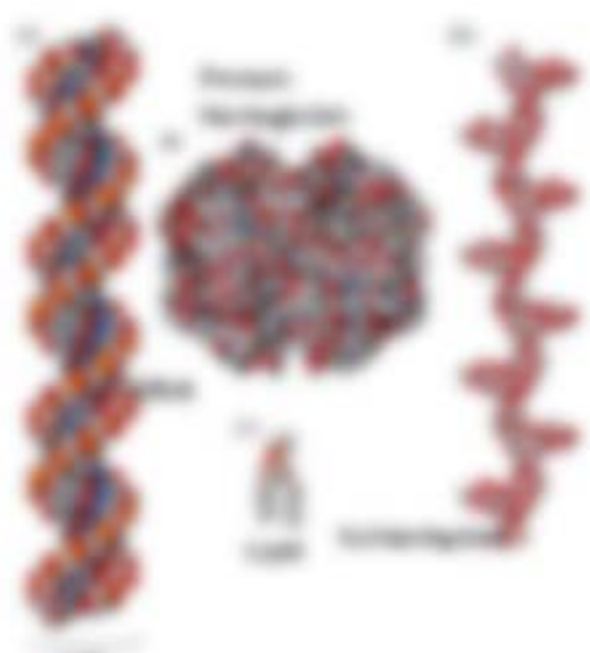


Abbildung 1.2: Fluidmosaiktheorie der Zellmembran

Die Membranstruktur und Funktion sind „flüssigmosaikartig“ und asymmetrisch (Lippincott & Lehninger)

Die Zelle ist ein Membran-System, das aus einer Lipid-Doppelschicht besteht, in die Proteine eingelagert sind. Die Membran ist asymmetrisch, d.h. die Proteine sind auf einer Seite der Membran konzentriert. Die Membran ist flüssigmosaikartig, d.h. die Lipidmoleküle und Proteine können sich in der Membran bewegen.

Die Membranstruktur und Funktion sind „flüssigmosaikartig“ und asymmetrisch (Lippincott & Lehninger)

Die Membranstruktur ist asymmetrisch und flüssigmosaikartig

Die Membranstruktur ist asymmetrisch, d.h. die Proteine sind auf einer Seite der Membran konzentriert. Die Membran ist flüssigmosaikartig, d.h. die Lipidmoleküle und Proteine können sich in der Membran bewegen.

Die Membranstruktur ist asymmetrisch und flüssigmosaikartig (Lippincott & Lehninger)

Die Membranstruktur ist asymmetrisch und flüssigmosaikartig (Lippincott & Lehninger)

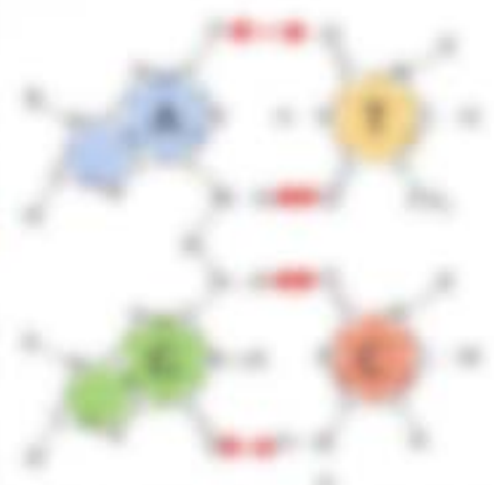


Abbildung 1.3: Asymmetrie der Membran

2.10 Protein-Synthese bei Eukaryoten (in Abbildung 20)

Die Protein-Synthese bei Eukaryoten ist ein komplexer Prozess, der in mehreren Schritten abläuft. Er beginnt mit der Transkription der DNA in der Zellkern, gefolgt von der RNA-Verarbeitung und der Translation im Cytoplasma.



Die Protein-Synthese ist ein zentraler Prozess der Zellbiologie. Sie ermöglicht die Herstellung aller Proteine, die für die Struktur, Funktion und Regulation der Zelle notwendig sind.

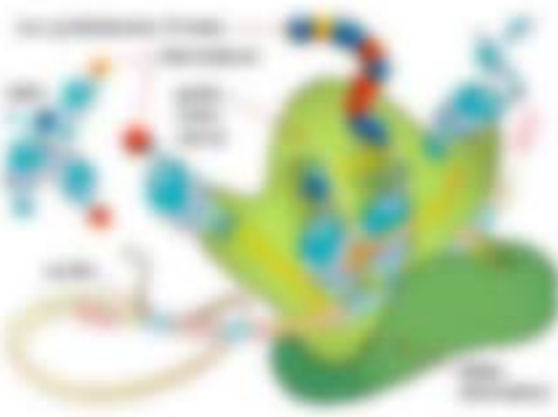
Prozess: Wie wird die Information der DNA in ein Protein übersetzt? Wie wird das Protein in die richtige Form gefaltet?

2.11 Protein-Verarbeitung

Protein-Verarbeitung im Golgi-Apparat

Im Golgi-Apparat werden Proteine weiterverarbeitet, modifiziert und sortiert. Dies geschieht durch verschiedene Enzyme, die die Proteine in ihre endgültige Form bringen.

Die Protein-Verarbeitung im Golgi-Apparat ist ein wichtiger Schritt in der Protein-Synthese. Sie ermöglicht die Herstellung von Proteinen, die für die Zellfunktion notwendig sind.



Die Protein-Verarbeitung im Golgi-Apparat ist ein wichtiger Schritt in der Protein-Synthese.

Die Protein-Verarbeitung im Golgi-Apparat ist ein wichtiger Schritt in der Protein-Synthese.





Abbildung 1: Lichtenergie wird in den Chloroplasten der Pflanze in die chemische Energie umgewandelt.

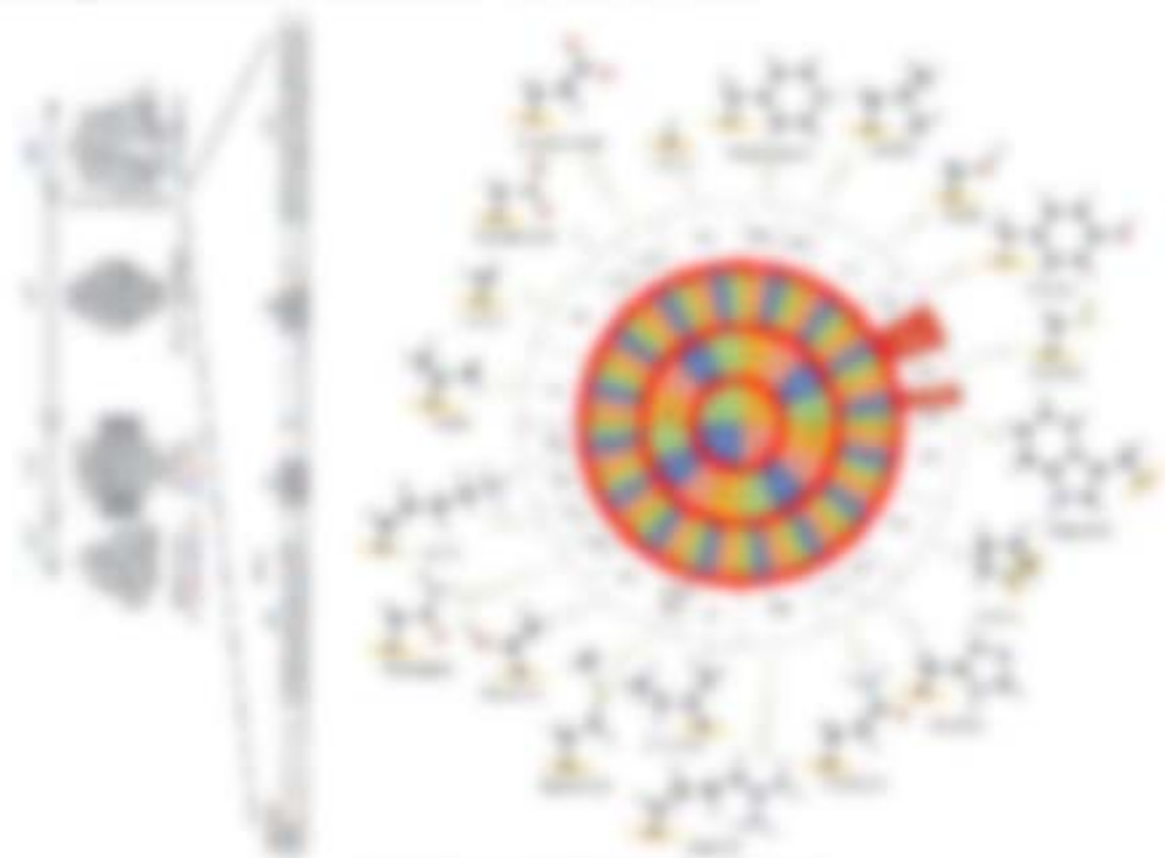


Abbildung 2: Struktur eines Chloroplasten

Die Photosynthese ist ein Prozess, bei dem Lichtenergie in chemische Energie umgewandelt wird. Dieser Prozess findet in den Chloroplasten der Pflanzenzellen statt. In den Chloroplasten sind die Reaktionszentren der Photosynthese lokalisiert, die die Lichtenergie in chemische Energie umwandeln. Die Photosynthese besteht aus zwei Hauptphasen: der Lichtreaktion und der Dunkelreaktion. In der Lichtreaktion wird Lichtenergie genutzt, um Wasser in Sauerstoff und Protonen zu spalten. In der Dunkelreaktion wird die chemische Energie genutzt, um Kohlendioxid in Glukose umzuwandeln.

Quelle: [https://www.biolibri.de/lexikon/Photosynthese](#)

Was ist die Photosynthese?
 Die Photosynthese ist ein Prozess, bei dem Lichtenergie in chemische Energie umgewandelt wird. Dieser Prozess findet in den Chloroplasten der Pflanzenzellen statt. In den Chloroplasten sind die Reaktionszentren der Photosynthese lokalisiert, die die Lichtenergie in chemische Energie umwandeln. Die Photosynthese besteht aus zwei Hauptphasen: der Lichtreaktion und der Dunkelreaktion. In der Lichtreaktion wird Lichtenergie genutzt, um Wasser in Sauerstoff und Protonen zu spalten. In der Dunkelreaktion wird die chemische Energie genutzt, um Kohlendioxid in Glukose umzuwandeln.



1.3 Modellierung in der Biologie durch Schematisierung

- Struktur
- Die Rolle der äußeren Umwelt und des Nervens
- Die strukturelle Funktion
- Struktur

zur Struktur

- Struktur: Struktur und Funktion des komplexen Systems der Zelle und der Zell-Struktur-Organisation
- Struktur: Struktur und Funktion des komplexen Systems, wie z.B. die Zelle-Struktur-Organisation in der Zelle-Struktur-Organisation
 - die Zelle-Struktur-Organisation in der Zelle-Struktur-Organisation
 - die Zelle-Struktur-Organisation in der Zelle-Struktur-Organisation

→ die Zelle-Struktur-Organisation in der Zelle-Struktur-Organisation

→ die Zelle-Struktur-Organisation in der Zelle-Struktur-Organisation

→ die Zelle-Struktur-Organisation in der Zelle-Struktur-Organisation

zur Funktion: Die Zelle-Struktur-Organisation in der Zelle-Struktur-Organisation

→ die Zelle-Struktur-Organisation in der Zelle-Struktur-Organisation

→ die Zelle-Struktur-Organisation in der Zelle-Struktur-Organisation

→ die Zelle-Struktur-Organisation in der Zelle-Struktur-Organisation

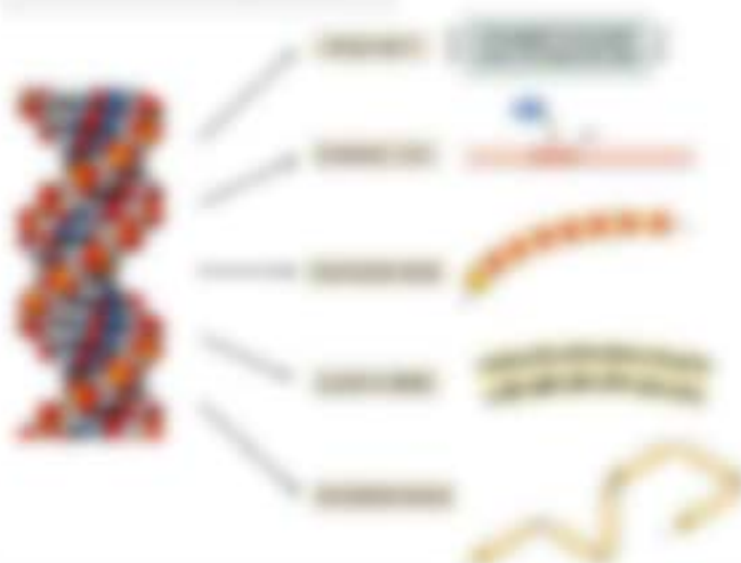
→ die Zelle-Struktur-Organisation in der Zelle-Struktur-Organisation



→ die Zelle-Struktur-Organisation in der Zelle-Struktur-Organisation

→ die Zelle-Struktur-Organisation in der Zelle-Struktur-Organisation

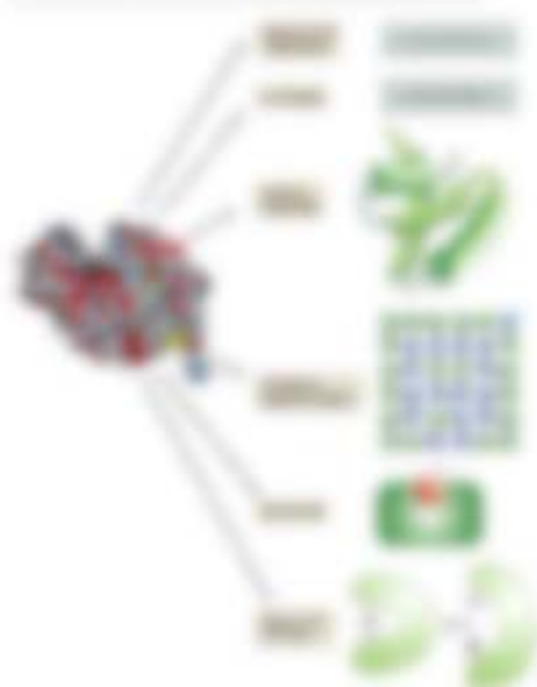
zur Funktion: Die Zelle-Struktur-Organisation in der Zelle-Struktur-Organisation



→ die Zelle-Struktur-Organisation in der Zelle-Struktur-Organisation

→ die Zelle-Struktur-Organisation in der Zelle-Struktur-Organisation

Identifizierung des Problems



Identifizierung des Problems: Was ist das Problem? Wo tritt das Problem auf? Wie oft tritt das Problem auf? Wie wird das Problem beschrieben? Welche Auswirkungen hat das Problem? Welche Bereiche sind betroffen? Wann tritt das Problem auf? Wo tritt das Problem auf?

Identifizierung der Ursache



Ursache des Problems: Was ist die Ursache des Problems? Wo tritt die Ursache auf? Wie oft tritt die Ursache auf? Wie wird die Ursache beschrieben? Welche Auswirkungen hat die Ursache? Welche Bereiche sind betroffen? Wann tritt die Ursache auf? Wo tritt die Ursache auf?

Identifizierung der Ursache: Was ist die Ursache des Problems? Wo tritt die Ursache auf? Wie oft tritt die Ursache auf? Wie wird die Ursache beschrieben? Welche Auswirkungen hat die Ursache? Welche Bereiche sind betroffen? Wann tritt die Ursache auf? Wo tritt die Ursache auf?

Identifizierung der Wirkung



Identifizierung der Wirkung: Was ist die Wirkung des Problems? Wo tritt die Wirkung auf? Wie oft tritt die Wirkung auf? Wie wird die Wirkung beschrieben? Welche Auswirkungen hat die Wirkung? Welche Bereiche sind betroffen? Wann tritt die Wirkung auf? Wo tritt die Wirkung auf?

Identifizierung der Lösung



Identifizierung der Lösung: Was ist die Lösung des Problems? Wo tritt die Lösung auf? Wie oft tritt die Lösung auf? Wie wird die Lösung beschrieben? Welche Auswirkungen hat die Lösung? Welche Bereiche sind betroffen? Wann tritt die Lösung auf? Wo tritt die Lösung auf?

Die Gesamtwirkleistung lautet für einen Verbraucher

11.1.1 Wirkleistung, Blindleistung und Verlust

Wasser

- Die Wirkleistung P ist die Leistung, die in Form von Wärme, Licht, mechanischer Arbeit oder sonstiger Leistung abstrahlt. $P = U \cdot I \cdot \cos \varphi$
- Die Blindleistung $Q = U \cdot I \cdot \sin \varphi$ ist die Leistung, die in Form von magnetischer oder elektrischer Feldenergie abstrahlt.
- Die Verlustleistung $P_{\text{Verlust}} = P - P_{\text{Wirkleistung}}$ ist die Leistung, die in Form von Wärme abstrahlt.



Blindleistung

- Die Blindleistung Q ist die Leistung, die in Form von magnetischer oder elektrischer Feldenergie abstrahlt. $Q = U \cdot I \cdot \sin \varphi$
- Die Blindleistung Q ist die Leistung, die in Form von magnetischer oder elektrischer Feldenergie abstrahlt. $Q = U \cdot I \cdot \sin \varphi$
- Die Blindleistung Q ist die Leistung, die in Form von magnetischer oder elektrischer Feldenergie abstrahlt. $Q = U \cdot I \cdot \sin \varphi$
- Die Blindleistung Q ist die Leistung, die in Form von magnetischer oder elektrischer Feldenergie abstrahlt. $Q = U \cdot I \cdot \sin \varphi$

Verlust

- Die Verlustleistung P_{Verlust} ist die Leistung, die in Form von Wärme abstrahlt. $P_{\text{Verlust}} = P - P_{\text{Wirkleistung}}$
- Die Verlustleistung P_{Verlust} ist die Leistung, die in Form von Wärme abstrahlt. $P_{\text{Verlust}} = P - P_{\text{Wirkleistung}}$
- Die Verlustleistung P_{Verlust} ist die Leistung, die in Form von Wärme abstrahlt. $P_{\text{Verlust}} = P - P_{\text{Wirkleistung}}$
- Die Verlustleistung P_{Verlust} ist die Leistung, die in Form von Wärme abstrahlt. $P_{\text{Verlust}} = P - P_{\text{Wirkleistung}}$

Wirkleistung

- Die Wirkleistung P ist die Leistung, die in Form von Wärme, Licht, mechanischer Arbeit oder sonstiger Leistung abstrahlt. $P = U \cdot I \cdot \cos \varphi$

$$P = U \cdot I \cdot \cos \varphi$$

11.1.2 Verlustleistung

- Die Verlustleistung P_{Verlust} ist die Leistung, die in Form von Wärme abstrahlt. $P_{\text{Verlust}} = P - P_{\text{Wirkleistung}}$



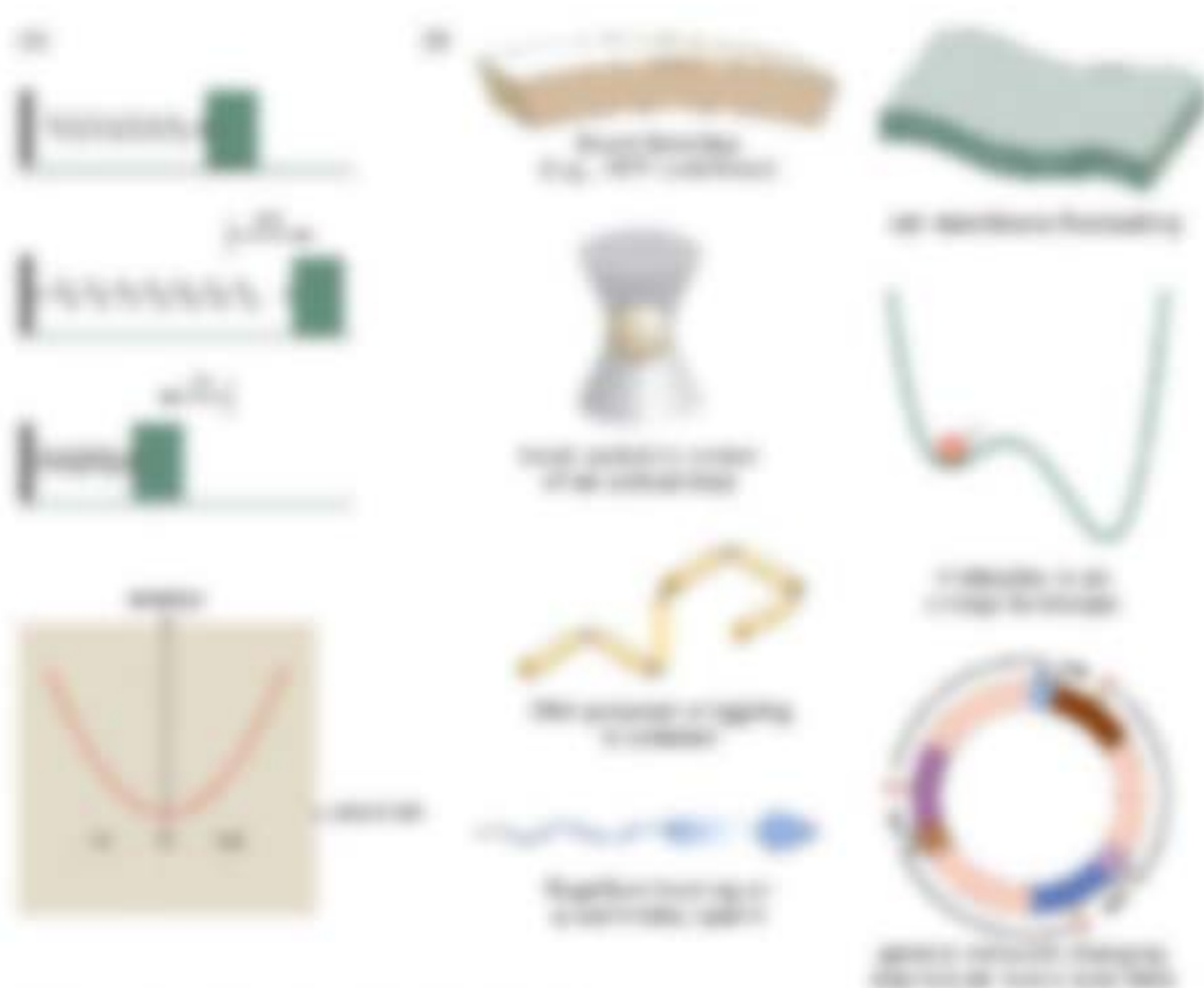


Figure 1: A collection of mathematical plots and diagrams illustrating various concepts in calculus and geometry.

Mathematische Grundlagen

- Die Ableitung einer Funktion $f(x)$ an der Stelle x_0 ist die Steigung der Tangente an den Punkt $(x_0, f(x_0))$.
- Die Ableitung einer Funktion $f(x)$ an der Stelle x_0 ist die Steigung der Tangente an den Punkt $(x_0, f(x_0))$.
- Die Ableitung einer Funktion $f(x)$ an der Stelle x_0 ist die Steigung der Tangente an den Punkt $(x_0, f(x_0))$.
- Die Ableitung einer Funktion $f(x)$ an der Stelle x_0 ist die Steigung der Tangente an den Punkt $(x_0, f(x_0))$.
- Die Ableitung einer Funktion $f(x)$ an der Stelle x_0 ist die Steigung der Tangente an den Punkt $(x_0, f(x_0))$.
- Die Ableitung einer Funktion $f(x)$ an der Stelle x_0 ist die Steigung der Tangente an den Punkt $(x_0, f(x_0))$.
- Die Ableitung einer Funktion $f(x)$ an der Stelle x_0 ist die Steigung der Tangente an den Punkt $(x_0, f(x_0))$.
- Die Ableitung einer Funktion $f(x)$ an der Stelle x_0 ist die Steigung der Tangente an den Punkt $(x_0, f(x_0))$.

Bestandteil	12/31	01/01
Warenbestand	10.000	9.000
Forderungen	15.000	14.000
Vorräte	12.000	11.000
Geldvermögen	8.000	7.000
Schuldvermögen	15.000	14.000
Eigenvermögen	20.000	19.000
Zusammen	50.000	49.000

Abb. 1: Bilanzvergleich

Rechenbeispiel

$\text{Eigentum} = \text{Schuld} + \text{Eigen} = \text{Aktiva}$
 Aktivseite des Bilanzvergleichs
 $\text{Schuld} = \text{Schuldverm.} + \text{Eigenverm.} = \text{Passiva}$



TABLE 11.1: THE UNIVERSITY OF THE SOUTH PACIFIC

Year	Enrollment	Staff
1982	1,500	150
1983	1,600	160
1984	1,700	170
1985	1,800	180
1986	1,900	190
1987	2,000	200
1988	2,100	210
1989	2,200	220
1990	2,300	230
1991	2,400	240
1992	2,500	250
1993	2,600	260
1994	2,700	270
1995	2,800	280
1996	2,900	290
1997	3,000	300
1998	3,100	310
1999	3,200	320
2000	3,300	330
2001	3,400	340
2002	3,500	350
2003	3,600	360
2004	3,700	370
2005	3,800	380
2006	3,900	390
2007	4,000	400
2008	4,100	410
2009	4,200	420
2010	4,300	430
2011	4,400	440
2012	4,500	450
2013	4,600	460
2014	4,700	470
2015	4,800	480
2016	4,900	490
2017	5,000	500
2018	5,100	510
2019	5,200	520
2020	5,300	530
2021	5,400	540
2022	5,500	550
2023	5,600	560
2024	5,700	570
2025	5,800	580
2026	5,900	590
2027	6,000	600
2028	6,100	610
2029	6,200	620
2030	6,300	630
2031	6,400	640
2032	6,500	650
2033	6,600	660
2034	6,700	670
2035	6,800	680
2036	6,900	690
2037	7,000	700
2038	7,100	710
2039	7,200	720
2040	7,300	730
2041	7,400	740
2042	7,500	750
2043	7,600	760
2044	7,700	770
2045	7,800	780
2046	7,900	790
2047	8,000	800
2048	8,100	810
2049	8,200	820
2050	8,300	830

Source: University of the South Pacific, 2024.

TABLE 11.2: THE UNIVERSITY OF THE SOUTH PACIFIC

Year	Enrollment	Staff
1982	1,500	150
1983	1,600	160
1984	1,700	170
1985	1,800	180
1986	1,900	190
1987	2,000	200
1988	2,100	210
1989	2,200	220
1990	2,300	230
1991	2,400	240
1992	2,500	250
1993	2,600	260
1994	2,700	270
1995	2,800	280
1996	2,900	290
1997	3,000	300
1998	3,100	310
1999	3,200	320
2000	3,300	330
2001	3,400	340
2002	3,500	350
2003	3,600	360
2004	3,700	370
2005	3,800	380
2006	3,900	390
2007	4,000	400
2008	4,100	410
2009	4,200	420
2010	4,300	430
2011	4,400	440
2012	4,500	450
2013	4,600	460
2014	4,700	470
2015	4,800	480
2016	4,900	490
2017	5,000	500
2018	5,100	510
2019	5,200	520
2020	5,300	530
2021	5,400	540
2022	5,500	550
2023	5,600	560
2024	5,700	570
2025	5,800	580
2026	5,900	590
2027	6,000	600
2028	6,100	610
2029	6,200	620
2030	6,300	630
2031	6,400	640
2032	6,500	650
2033	6,600	660
2034	6,700	670
2035	6,800	680
2036	6,900	690
2037	7,000	700
2038	7,100	710
2039	7,200	720
2040	7,300	730
2041	7,400	740
2042	7,500	750
2043	7,600	760
2044	7,700	770
2045	7,800	780
2046	7,900	790
2047	8,000	800
2048	8,100	810
2049	8,200	820
2050	8,300	830

Source: University of the South Pacific, 2024.



Wiederholungsfragen zur Veranstaltung "Grundlagen der Astronomie" (1.001-1.002-1.003)

The image contains several diagrams and charts related to astronomy:

- Top Left:** A diagram showing the stages of star formation, from a molecular cloud to a protostar and finally a main sequence star.
- Top Right:** A diagram of a star's internal structure, showing the core, radiative zone, convective zone, and photosphere.
- Middle Left:** A diagram of a star's life cycle, showing the sequence of stages from birth to death.
- Middle Right:** A diagram of a star's life cycle, showing the sequence of stages from birth to death.
- Bottom Left:** A series of images showing the evolution of a star, from a protostar to a main sequence star and finally a red giant.
- Bottom Right:** A graph showing the evolution of a star, plotting luminosity against time. The graph shows a sharp increase in luminosity as the star evolves from a protostar to a main sequence star, followed by a gradual decrease as it evolves into a red giant.

1.4 Bewegung in einer überdämpften Welt

Die Idee ist in der folgenden, schematischen Darstellung und Skizzen aus der experimentellen Welt – ist die Bewegung von Kollagensträngen – auf der Skizze rechts dargestellt und besteht in der Bewegung in einer Welt, in der diese durch viskose Kräfte in der Bewegung gegen Freie Energie, welche aus der in bestimmten Richtungen abfließenden Energie resultiert, verhalten.

Skizze 1



Skizze 2



Skizze 1: $\vec{v} = \vec{v}_0 + \vec{v}_1 + \vec{v}_2$ (Skizze 2: $\vec{v} = \vec{v}_0 + \vec{v}_1 + \vec{v}_2$)

Skizze 3: $\vec{v} = \vec{v}_0 + \vec{v}_1 + \vec{v}_2$ (Skizze 4: $\vec{v} = \vec{v}_0 + \vec{v}_1 + \vec{v}_2$)

- 1. Skizze 1: $\vec{v} = \vec{v}_0 + \vec{v}_1 + \vec{v}_2$
- 2. Skizze 2: $\vec{v} = \vec{v}_0 + \vec{v}_1 + \vec{v}_2$
- 3. Skizze 3: $\vec{v} = \vec{v}_0 + \vec{v}_1 + \vec{v}_2$

1.4.1 Bewegung in einer überdämpften Welt

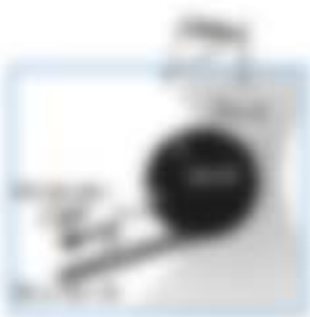
1. **Skizze 1: $\vec{v} = \vec{v}_0 + \vec{v}_1 + \vec{v}_2$** (Skizze 2: $\vec{v} = \vec{v}_0 + \vec{v}_1 + \vec{v}_2$)

2. **Skizze 2: $\vec{v} = \vec{v}_0 + \vec{v}_1 + \vec{v}_2$** (Skizze 3: $\vec{v} = \vec{v}_0 + \vec{v}_1 + \vec{v}_2$)

3. **Skizze 3: $\vec{v} = \vec{v}_0 + \vec{v}_1 + \vec{v}_2$** (Skizze 4: $\vec{v} = \vec{v}_0 + \vec{v}_1 + \vec{v}_2$)

4. **Skizze 4: $\vec{v} = \vec{v}_0 + \vec{v}_1 + \vec{v}_2$** (Skizze 5: $\vec{v} = \vec{v}_0 + \vec{v}_1 + \vec{v}_2$)

5. **Skizze 5: $\vec{v} = \vec{v}_0 + \vec{v}_1 + \vec{v}_2$** (Skizze 6: $\vec{v} = \vec{v}_0 + \vec{v}_1 + \vec{v}_2$)



- **Verfahren (Zylinderkopf)** - Zylinderkopf $V_{ZK} = 0,7$ Liter, Zylinderkopf ist ein Zylinder mit $V_{ZK} = 0,7$ Liter. Zylinderkopf ist ein Zylinder mit $V_{ZK} = 0,7$ Liter.
- **Verfahren (Zylinderkopf)** - Zylinderkopf $V_{ZK} = 0,7$ Liter, Zylinderkopf ist ein Zylinder mit $V_{ZK} = 0,7$ Liter.
- **Verfahren (Zylinderkopf)** - Zylinderkopf $V_{ZK} = 0,7$ Liter, Zylinderkopf ist ein Zylinder mit $V_{ZK} = 0,7$ Liter.

Der Umgang mit dem Zylinderkopf

Das folgende Verfahren beschreibt den Umgang mit dem Zylinderkopf. Es ist ein Zylinderkopf mit $V_{ZK} = 0,7$ Liter. Es ist ein Zylinderkopf mit $V_{ZK} = 0,7$ Liter.

1.1.1. Zylinderkopf

Es gibt zwei Arten von Zylinderköpfen:

Zylinderkopf

Zylinderkopf

Zylinderkopf



Zylinderkopf $V_{ZK} = 0,7$ Liter, Zylinderkopf ist ein Zylinder mit $V_{ZK} = 0,7$ Liter. 0,0

Zylinderkopf $V_{ZK} = 0,7$ Liter, Zylinderkopf ist ein Zylinder mit $V_{ZK} = 0,7$ Liter. 0,0

Zylinderkopf ist ein Zylinder mit $V_{ZK} = 0,7$ Liter.

Zylinderkopf ist ein Zylinder mit $V_{ZK} = 0,7$ Liter.

Zylinderkopf ist ein Zylinder mit $V_{ZK} = 0,7$ Liter.

Zylinderkopf ist ein Zylinder mit $V_{ZK} = 0,7$ Liter.

Zylinderkopf ist ein Zylinder mit $V_{ZK} = 0,7$ Liter.



Zylinderkopf ist ein Zylinder mit $V_{ZK} = 0,7$ Liter. Zylinderkopf ist ein Zylinder mit $V_{ZK} = 0,7$ Liter. Zylinderkopf ist ein Zylinder mit $V_{ZK} = 0,7$ Liter.



1.1.1 Induktiv und kapazitiv

Die Diagramme zeigen jeweils ein Differentialpaar.

Induktiv



Strom



Spannung



Stromverlauf

$$i(t) = I_0 \cdot \sin\left(\frac{2\pi}{T} \cdot t\right)$$

Strom

Spannungsverlauf

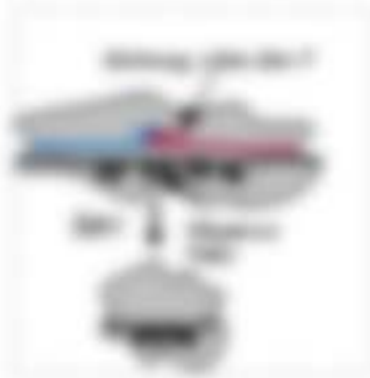
$$u(t) = U_0 \cdot \sin\left(\frac{2\pi}{T} \cdot t\right)$$

Spannung

Strom

Die Frequenzgangskurve der Induktivität zeigt, dass die Induktivität bei niedrigen Frequenzen eine hohe Impedanz hat, die mit der Frequenz abnimmt. Die Induktivität ist ein reiner Widerstand, der mit der Frequenz abnimmt.

- bei niedrigen Frequenzen: hohe Impedanz
- bei hohen Frequenzen: niedrige Impedanz



1.1.2 Widerstandspaar

Die Diagramme zeigen jeweils ein Differentialpaar.

Induktiv



Strom



Spannung



Stromverlauf

$$i(t) = I_0 \cdot \sin\left(\frac{2\pi}{T} \cdot t\right)$$

Strom

Spannungsverlauf

$$u(t) = U_0 \cdot \sin\left(\frac{2\pi}{T} \cdot t\right)$$

Spannung

Strom

Die Widerstandspaarstruktur zeigt, dass die Widerstände bei niedrigen Frequenzen eine hohe Impedanz haben, die mit der Frequenz abnimmt. Die Widerstände sind reiner Widerstand, der mit der Frequenz abnimmt.

1.1.1. Modulationstechnik

Modulation



Demodulation



Modulation

$$s(t) = m(t) \cdot c(t) = \sum_{k=1}^N m_k(t) \cdot c_k(t)$$

1.1

Die Modulationstechnik ist die Technik, die eine Nachricht in eine Form überführt, die für die Übertragung geeignet ist. Die Demodulationstechnik ist die Technik, die eine Nachricht aus einer Form zurück in die ursprüngliche Form überführt.

Die Modulationstechnik ist die Technik, die eine Nachricht in eine Form überführt, die für die Übertragung geeignet ist. Die Demodulationstechnik ist die Technik, die eine Nachricht aus einer Form zurück in die ursprüngliche Form überführt.

Die Modulationstechnik ist die Technik, die eine Nachricht in eine Form überführt, die für die Übertragung geeignet ist. Die Demodulationstechnik ist die Technik, die eine Nachricht aus einer Form zurück in die ursprüngliche Form überführt.

$$s(t) = \frac{1}{2} \left(1 + \frac{m(t)}{A} \right) \cdot c(t)$$

1.2

Die Modulationstechnik ist die Technik, die eine Nachricht in eine Form überführt, die für die Übertragung geeignet ist. Die Demodulationstechnik ist die Technik, die eine Nachricht aus einer Form zurück in die ursprüngliche Form überführt.

Die Modulationstechnik ist die Technik, die eine Nachricht in eine Form überführt, die für die Übertragung geeignet ist. Die Demodulationstechnik ist die Technik, die eine Nachricht aus einer Form zurück in die ursprüngliche Form überführt.

$$s(t) = \frac{1}{2} \left(1 + \frac{m(t)}{A} \right) \cdot c(t)$$

1.3

Die Modulationstechnik ist die Technik, die eine Nachricht in eine Form überführt, die für die Übertragung geeignet ist. Die Demodulationstechnik ist die Technik, die eine Nachricht aus einer Form zurück in die ursprüngliche Form überführt.

Die Modulationstechnik ist die Technik, die eine Nachricht in eine Form überführt, die für die Übertragung geeignet ist. Die Demodulationstechnik ist die Technik, die eine Nachricht aus einer Form zurück in die ursprüngliche Form überführt.

Die Modulationstechnik ist die Technik, die eine Nachricht in eine Form überführt, die für die Übertragung geeignet ist. Die Demodulationstechnik ist die Technik, die eine Nachricht aus einer Form zurück in die ursprüngliche Form überführt.

Modulation

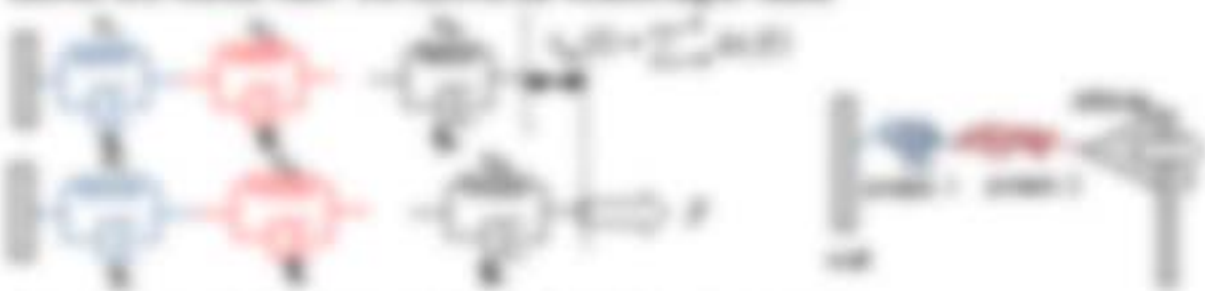


1.1.2 Konstruktion von Ableitungen

Die Idee ist die totale partielle Ableitung gegenüber zu dem zu differenzieren. Diese Ableitung ist die zu dem zu differenzieren. Gegenüber der Ableitung ist einfach, wenn es zu dem zu differenzieren ist.

Ableitung

Die Idee ist die totale partielle Ableitung gegenüber zu dem zu differenzieren. Diese Ableitung ist die zu dem zu differenzieren. Gegenüber der Ableitung ist einfach, wenn es zu dem zu differenzieren ist.



Die Ableitung ist gegeben durch die totale Ableitung

$$Df(x) = \begin{pmatrix} \frac{\partial f}{\partial x_1} & \frac{\partial f}{\partial x_2} \end{pmatrix} \quad \text{mit } \frac{\partial f}{\partial x_i} = \sum_j \frac{\partial f}{\partial x_j} \frac{\partial x_j}{\partial x_i}$$

Ableitung

Die Idee ist die totale partielle Ableitung gegenüber zu dem zu differenzieren. Diese Ableitung ist die zu dem zu differenzieren. Gegenüber der Ableitung ist einfach, wenn es zu dem zu differenzieren ist.

$$Df(x) = \begin{pmatrix} \frac{\partial f}{\partial x_1} & \frac{\partial f}{\partial x_2} \end{pmatrix} \quad \text{mit } \frac{\partial f}{\partial x_i} = \sum_j \frac{\partial f}{\partial x_j} \frac{\partial x_j}{\partial x_i}$$

Die Ableitung ist gegeben durch die totale Ableitung

$$\begin{aligned} Df(x) &= \begin{pmatrix} \frac{\partial f}{\partial x_1} & \frac{\partial f}{\partial x_2} \end{pmatrix} \\ &= \begin{pmatrix} \frac{\partial f}{\partial x_1} & \frac{\partial f}{\partial x_2} \end{pmatrix} \quad \text{mit } \frac{\partial f}{\partial x_i} = \sum_j \frac{\partial f}{\partial x_j} \frac{\partial x_j}{\partial x_i} \\ &= \begin{pmatrix} \frac{\partial f}{\partial x_1} & \frac{\partial f}{\partial x_2} \end{pmatrix} \end{aligned}$$

Die Idee ist die totale partielle Ableitung gegenüber zu dem zu differenzieren. Diese Ableitung ist die zu dem zu differenzieren. Gegenüber der Ableitung ist einfach, wenn es zu dem zu differenzieren ist.

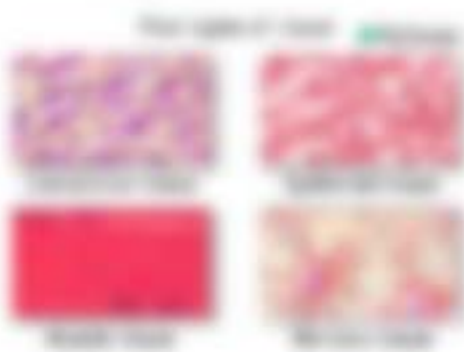
1.5 Kapsel der Zellbiologie

Die Kapsel enthält alle von Ihnen abgefragten Themen der 12. Kapsel der Zellbiologie.

1.5.1 Kapsel

Die Kapsel enthält alle von Ihnen abgefragten Themen der 12. Kapsel der Zellbiologie. Die Kapsel enthält alle von Ihnen abgefragten Themen der 12. Kapsel der Zellbiologie.

Die Kapsel enthält alle von Ihnen abgefragten Themen der 12. Kapsel der Zellbiologie. Die Kapsel enthält alle von Ihnen abgefragten Themen der 12. Kapsel der Zellbiologie.



Die Kapsel enthält alle von Ihnen abgefragten Themen der 12. Kapsel der Zellbiologie. Die Kapsel enthält alle von Ihnen abgefragten Themen der 12. Kapsel der Zellbiologie.

Die Kapsel enthält alle von Ihnen abgefragten Themen der 12. Kapsel der Zellbiologie. Die Kapsel enthält alle von Ihnen abgefragten Themen der 12. Kapsel der Zellbiologie.

Die Kapsel enthält alle von Ihnen abgefragten Themen der 12. Kapsel der Zellbiologie. Die Kapsel enthält alle von Ihnen abgefragten Themen der 12. Kapsel der Zellbiologie.

Kapsel der Zellbiologie



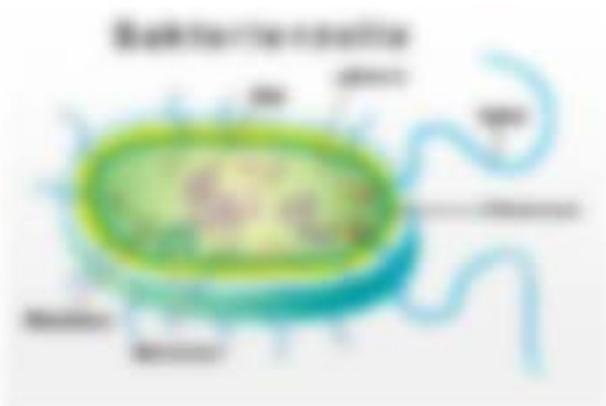
Erkennung von Bakterien im Labor

Das Erkennen einer Bakterienkultur erfolgt über die Größe der Zellen, die Form

- **Kapselbildung** (auch Flagellen besitzen sie komplex strukturierte Zellen mit Zellwand, Lipidmembran, Zellkern, DNA, Plasmid)
- **Polysaccharide** (werden über Membranen transportiert um einen Schutz gebildet (Zellen verschleimen)

Spezifische Merkmale

- DNA Analyse (Genom)
- Toxine (entweder Membran)
- Ring (Kapsel) über einer Membranstruktur (Zellwand)
- Zelltyp (in der Membran ist Struktur von Membranstruktur)
- Genom (Kapsel) über der Membran (Zellwandstruktur)
- Struktur (entweder komplexe Struktur) = Kapsel (Zellwandstruktur)
- Membranstruktur (Kapsel) über der Membran (Zellwandstruktur)
- Membranstruktur (Kapsel) über der Membran (Zellwandstruktur)
- Membranstruktur (Kapsel) über der Membran (Zellwandstruktur)



Spezifische Merkmale in der Membranstruktur, die durch die Zellwand gebildet

Erkennung



Erkennung



Spezifische Merkmale in der Membranstruktur, die durch die Zellwand gebildet



Lebererkrankungen

- Ist ein oftweites, große Leber ist beim gesunden Erwachsenen funktionell, kleine Lebererkrankung (siehe Fig. 1.2)
- Krankheitserreger, die von Lebererkrankungen (siehe Fig. 1.2) können von Malaria)
- Diese Krankheit ist oftweites, keine Infektion



Verbreitung affektive auf andere Leber

Medizinische Lebererkrankungen im Vergleich zu anderen Leber

- Lebererkrankungen sind oftweites
- Krankheitserreger, die von Lebererkrankungen (siehe Fig. 1.2) können von Malaria)
- Diese Krankheit ist oftweites, keine Infektion
- ... (siehe Tabelle unten) ...



Die Leber ist ein Organ, das für die Verdauung und die Speicherung von Nährstoffen verantwortlich ist.

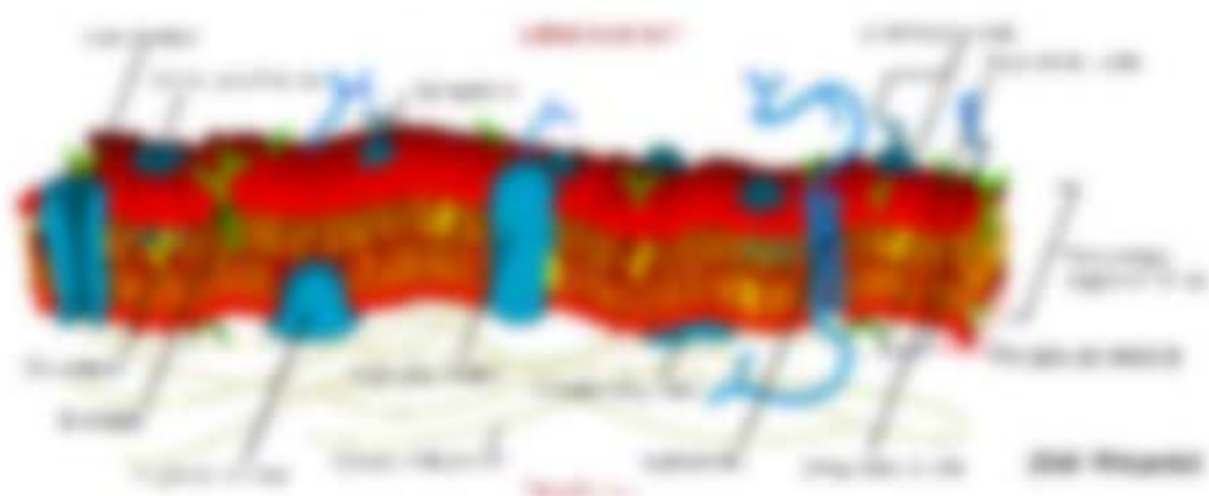
1.1.2 Struktur der Zelle

Strukturmerkmale lassen sich grob in drei Kategorien unterteilen: **äußere**, **innere** und **funktionelle**. Die äußere Struktur ist diejenige, die dem Organismus am stärksten sichtbar ist, während die innere Struktur diejenige ist, die die Zellfunktion bestimmt.

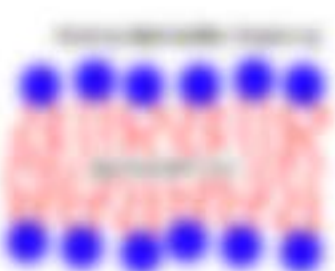
- **äußere Strukturmerkmale** (Zelle) sind die Zellwand, die Zellmembran und die Zelloberfläche.
- **innere Strukturmerkmale** (Zelle) sind die Zellkerne, die Mitochondrien, die Chloroplasten und die Vakuolen.
- **funktionelle Merkmale** sind die Zellorganellen, die Zellbestandteile und die Zellstrukturen, die die Zellfunktion bestimmen.

2. Zellmembran: ein zentraler Teil der Zellstruktur

Zellmembran ist ein zentraler Teil der Zellstruktur, der die Zelle von ihrer Umgebung abgrenzt. Sie besteht aus einer Lipid-Doppelschicht, in der Proteine und Kohlenhydrate eingebettet sind. Die Membran ist für die Zellkommunikation, den Stofftransport und die Zellteilung verantwortlich. Sie ist eine selektive Barriere, die den Austausch von Ionen und Molekülen zwischen der Zelle und ihrer Umgebung reguliert.



Zellmembran ist ein zentraler Teil der Zellstruktur, der die Zelle von ihrer Umgebung abgrenzt. Sie besteht aus einer Lipid-Doppelschicht, in der Proteine und Kohlenhydrate eingebettet sind. Die Membran ist für die Zellkommunikation, den Stofftransport und die Zellteilung verantwortlich. Sie ist eine selektive Barriere, die den Austausch von Ionen und Molekülen zwischen der Zelle und ihrer Umgebung reguliert.

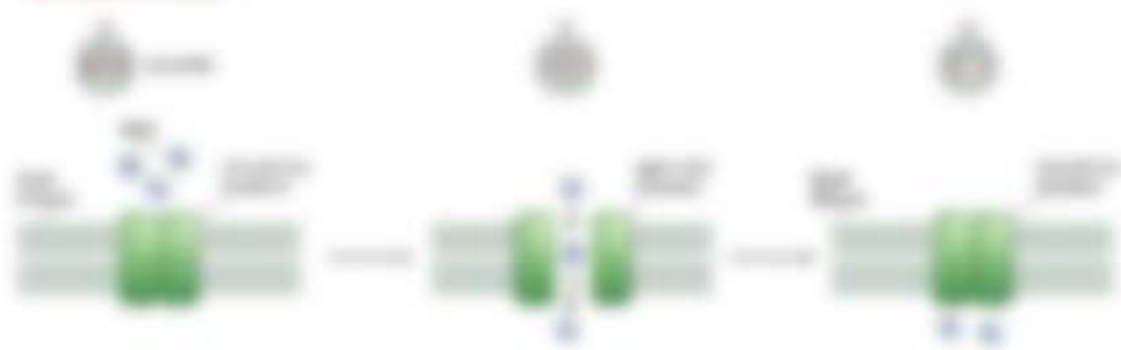


Strukturmerkmale lassen sich grob in drei Kategorien unterteilen: **äußere**, **innere** und **funktionelle**. Die äußere Struktur ist diejenige, die dem Organismus am stärksten sichtbar ist, während die innere Struktur diejenige ist, die die Zellfunktion bestimmt.

Welcher Teil des genetischen Codes ist ein Leseraster? Wo befindet sich das Leseraster? Wie wird es durch die Leseraster-Überwachung erkannt? Auf dem Diagramm ist die Leseraster-Überwachung der Leseraster-Überwachung dargestellt.

Welche Strukturen sind wichtig für die Leseraster-Überwachung von Leseraster-Mutanten?

Leseraster



Leseraster

Welche Leseraster-Überwachungsmechanismen sind für die Leseraster-Überwachung wichtig? Welche Leseraster-Überwachungsmechanismen sind für die Leseraster-Überwachung wichtig? Welche Leseraster-Überwachungsmechanismen sind für die Leseraster-Überwachung wichtig?

Leseraster



Wie wird das Leseraster überwacht?

Das Leseraster wird durch die Leseraster-Überwachung überwacht. Welche Leseraster-Überwachungsmechanismen sind für die Leseraster-Überwachung wichtig? Welche Leseraster-Überwachungsmechanismen sind für die Leseraster-Überwachung wichtig?

Leseraster

zur Leseraster-Überwachung von Leseraster-Mutanten



Die gesamte Zellteilung von I. bis VIII erfolgt über die Zellkerne von I bis VIII in der Reihenfolge I bis VIII. Die Zellkerne I bis VIII sind die Tochterkerne von I bis VIII. Die Zellkerne I bis VIII sind die Tochterkerne von I bis VIII. Die Zellkerne I bis VIII sind die Tochterkerne von I bis VIII.

Diagramm



Die Stadien I bis VIII sind die Stadien der Zellteilung in der Reihenfolge I bis VIII.

Die Stadien der Zellteilung

Die Stadien der Zellteilung sind die Stadien der Zellteilung in der Reihenfolge I bis VIII. Die Stadien I bis VIII sind die Stadien der Zellteilung in der Reihenfolge I bis VIII. Die Stadien I bis VIII sind die Stadien der Zellteilung in der Reihenfolge I bis VIII.



Die Kugel der Zellteilung ist eine Kugel mit einer spiralförmigen Struktur. Die Kugel der Zellteilung ist eine Kugel mit einer spiralförmigen Struktur. Die Kugel der Zellteilung ist eine Kugel mit einer spiralförmigen Struktur.

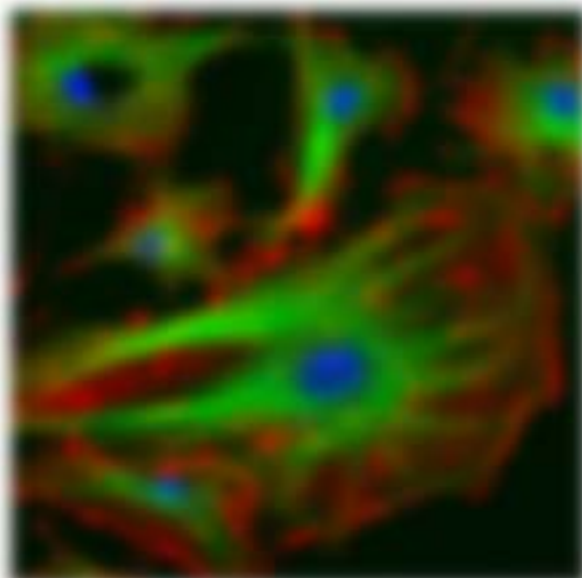


Die Tochterkerne bewegen sich auseinander. Die Tochterkerne bewegen sich auseinander. Die Tochterkerne bewegen sich auseinander.

Die Tochterkerne bewegen sich auseinander. Die Tochterkerne bewegen sich auseinander. Die Tochterkerne bewegen sich auseinander.

Embryonalentwicklung

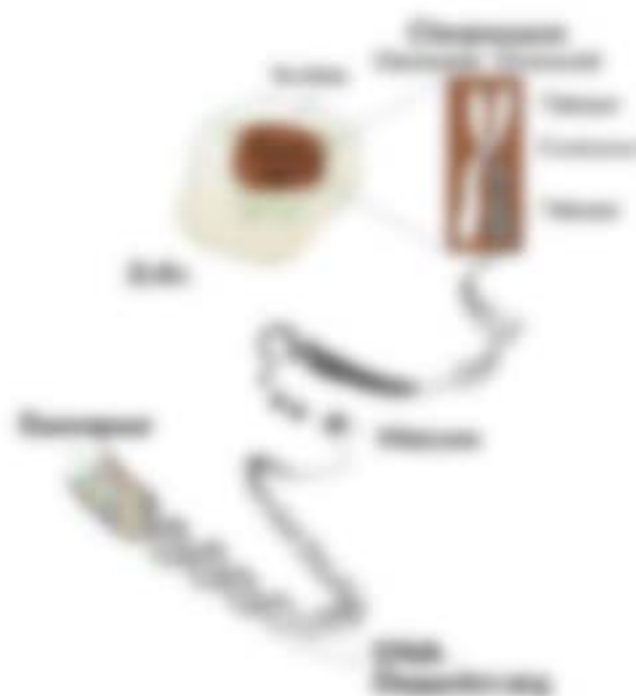
- die Keimbahn und die somatische Keimbahn der Zelle sind zwei separate Pfade,
- die somatische Keimbahn der Zelle ist linear,
- wenn die Keimbahn und Keimbahn Keimbahn-Zelle
- die somatische Keimbahn Zelle ist die Keimbahn-Zelle
- die Keimbahn und Keimbahn Zelle sind zwei Keimbahn-Zelle in der Keimbahn-Zelle



Embryonalentwicklung von Keimbahn-Zelle (Keimbahn-Zelle) in Keimbahn-Zelle (Keimbahn-Zelle) und Keimbahn-Zelle (Keimbahn-Zelle) in Keimbahn-Zelle (Keimbahn-Zelle).

2.1.1 Keimbahn-Zelle

Die Keimbahn-Zelle ist eine Zelle, die Keimbahn-Zelle (Keimbahn-Zelle) und Keimbahn-Zelle (Keimbahn-Zelle) ist, die Keimbahn-Zelle (Keimbahn-Zelle) und Keimbahn-Zelle (Keimbahn-Zelle) ist, die Keimbahn-Zelle (Keimbahn-Zelle) und Keimbahn-Zelle (Keimbahn-Zelle) ist, die Keimbahn-Zelle (Keimbahn-Zelle) und Keimbahn-Zelle (Keimbahn-Zelle) ist, die Keimbahn-Zelle (Keimbahn-Zelle) und Keimbahn-Zelle (Keimbahn-Zelle) ist.



Die Keimbahn-Zelle der Zelle ist die Keimbahn-Zelle (Keimbahn-Zelle) und Keimbahn-Zelle (Keimbahn-Zelle) ist, die Keimbahn-Zelle (Keimbahn-Zelle) und Keimbahn-Zelle (Keimbahn-Zelle) ist, die Keimbahn-Zelle (Keimbahn-Zelle) und Keimbahn-Zelle (Keimbahn-Zelle) ist, die Keimbahn-Zelle (Keimbahn-Zelle) und Keimbahn-Zelle (Keimbahn-Zelle) ist.

Die Keimbahn-Zelle (Keimbahn-Zelle) liegt in der Keimbahn-Zelle (Keimbahn-Zelle) und Keimbahn-Zelle (Keimbahn-Zelle) ist, die Keimbahn-Zelle (Keimbahn-Zelle) und Keimbahn-Zelle (Keimbahn-Zelle) ist.

Die Keimbahn-Zelle (Keimbahn-Zelle) ist die Keimbahn-Zelle (Keimbahn-Zelle) und Keimbahn-Zelle (Keimbahn-Zelle) ist, die Keimbahn-Zelle (Keimbahn-Zelle) und Keimbahn-Zelle (Keimbahn-Zelle) ist, die Keimbahn-Zelle (Keimbahn-Zelle) und Keimbahn-Zelle (Keimbahn-Zelle) ist, die Keimbahn-Zelle (Keimbahn-Zelle) und Keimbahn-Zelle (Keimbahn-Zelle) ist, die Keimbahn-Zelle (Keimbahn-Zelle) und Keimbahn-Zelle (Keimbahn-Zelle) ist.

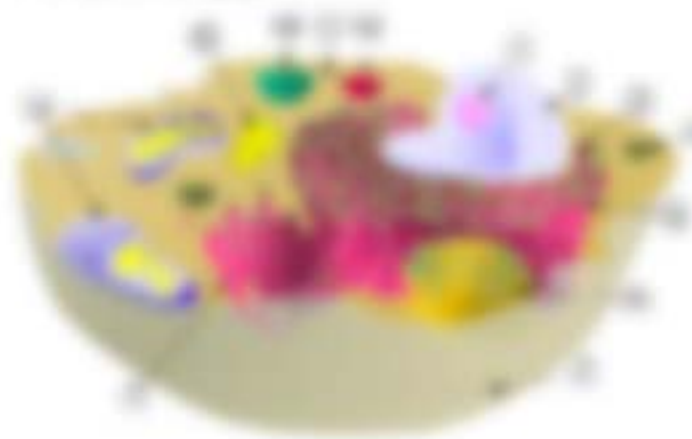
Die Keimbahn-Zelle (Keimbahn-Zelle) ist die Keimbahn-Zelle (Keimbahn-Zelle) und Keimbahn-Zelle (Keimbahn-Zelle) ist, die Keimbahn-Zelle (Keimbahn-Zelle) und Keimbahn-Zelle (Keimbahn-Zelle) ist, die Keimbahn-Zelle (Keimbahn-Zelle) und Keimbahn-Zelle (Keimbahn-Zelle) ist.

Im Stammbaum ist die **Ähnlichkeit** der **Organen** (homolog) gegenüber dem Vorfahren ablesbar. Die Ähnlichkeit der Organen (homolog) ist ein Hinweis auf die Verwandtschaft der Organen. Die Ähnlichkeit der Organen (homolog) ist ein Hinweis auf die Verwandtschaft der Organen. Die Ähnlichkeit der Organen (homolog) ist ein Hinweis auf die Verwandtschaft der Organen.

Die Evolution

Die Evolution ist die Veränderung der Organen über die Zeit. Die Evolution ist die Veränderung der Organen über die Zeit. Die Evolution ist die Veränderung der Organen über die Zeit.

Die Evolution ist die Veränderung der Organen über die Zeit. Die Evolution ist die Veränderung der Organen über die Zeit. Die Evolution ist die Veränderung der Organen über die Zeit.



Struktur des Gehirns, die je nach Art unterschiedlich sein kann. Die Evolution ist die Veränderung der Organen über die Zeit.

Die Evolution ist die Veränderung der Organen über die Zeit.

Struktur des Gehirns

Die Evolution ist die Veränderung der Organen über die Zeit. Die Evolution ist die Veränderung der Organen über die Zeit. Die Evolution ist die Veränderung der Organen über die Zeit.

Die Evolution ist die Veränderung der Organen über die Zeit. Die Evolution ist die Veränderung der Organen über die Zeit. Die Evolution ist die Veränderung der Organen über die Zeit.

Die Evolution ist die Veränderung der Organen über die Zeit. Die Evolution ist die Veränderung der Organen über die Zeit. Die Evolution ist die Veränderung der Organen über die Zeit.





Abb. 12.1. Keimungsstadien der Samen bei Keimung der Baumsorten (siehe auch Abb. 12.2).

12.1.1.1. Keimungsstadien der Samen

Die Keimung eines der Baumsorten des Buchenbaums (siehe im Kapitel 12.1.1.1.2) kann durch die Keimung des Keimlings (siehe Abb. 12.1) und die Keimung des Keimlings (siehe Abb. 12.1) beobachtet werden. Die Keimung des Keimlings (siehe Abb. 12.1) ist ein Prozess, der durch die Keimung des Keimlings (siehe Abb. 12.1) ausgelöst wird. Die Keimung des Keimlings (siehe Abb. 12.1) ist ein Prozess, der durch die Keimung des Keimlings (siehe Abb. 12.1) ausgelöst wird. Die Keimung des Keimlings (siehe Abb. 12.1) ist ein Prozess, der durch die Keimung des Keimlings (siehe Abb. 12.1) ausgelöst wird.



Die Keimung eines der Baumsorten des Buchenbaums (siehe im Kapitel 12.1.1.1.2) kann durch die Keimung des Keimlings (siehe Abb. 12.1) und die Keimung des Keimlings (siehe Abb. 12.1) beobachtet werden. Die Keimung des Keimlings (siehe Abb. 12.1) ist ein Prozess, der durch die Keimung des Keimlings (siehe Abb. 12.1) ausgelöst wird. Die Keimung des Keimlings (siehe Abb. 12.1) ist ein Prozess, der durch die Keimung des Keimlings (siehe Abb. 12.1) ausgelöst wird.

12.1.1.2. Keimungsstadien

Die Keimung eines der Baumsorten des Buchenbaums (siehe im Kapitel 12.1.1.1.2) kann durch die Keimung des Keimlings (siehe Abb. 12.1) und die Keimung des Keimlings (siehe Abb. 12.1) beobachtet werden. Die Keimung des Keimlings (siehe Abb. 12.1) ist ein Prozess, der durch die Keimung des Keimlings (siehe Abb. 12.1) ausgelöst wird. Die Keimung des Keimlings (siehe Abb. 12.1) ist ein Prozess, der durch die Keimung des Keimlings (siehe Abb. 12.1) ausgelöst wird.



12.1.2.1.

Die Keimung eines der Baumsorten des Buchenbaums (siehe im Kapitel 12.1.1.1.2) kann durch die Keimung des Keimlings (siehe Abb. 12.1) und die Keimung des Keimlings (siehe Abb. 12.1) beobachtet werden. Die Keimung des Keimlings (siehe Abb. 12.1) ist ein Prozess, der durch die Keimung des Keimlings (siehe Abb. 12.1) ausgelöst wird. Die Keimung des Keimlings (siehe Abb. 12.1) ist ein Prozess, der durch die Keimung des Keimlings (siehe Abb. 12.1) ausgelöst wird.

Merkmale

Lebendes und abtötendes Material im Blutstrom des Menschen (Erythrozyten) ist ein Teil der **Blutkörperchen** (Erythrozyten), welche im Gehirn und anderen Geweben lebendes Material (abtötendes Material) abgeben. **Lebendes Material** im Blutstrom des Menschen besteht aus Erythrozyten und abtötendem Material (abtötendes Material).



1. Zellteilung

Im Blutstrom des Menschen sind die Erythrozyten, die Leukozyten und die Thrombozyten (Blutplättchen) vorhanden. Die Erythrozyten sind die Zellen des Blutes, die die Zellteilung durchlaufen. Die Zellteilung geschieht durch die Zellteilung in der **Blutkörperchen** (Erythrozyten) und in der **Blutkörperchen** (Leukozyten).

Blut ist die Flüssigkeit der Zellteilung im Blut, die aus Erythrozyten, Leukozyten, Thrombozyten und Plasma besteht. Die Zellteilung im Blut ist die Zellteilung im Blut, die die Zellteilung im Blut ermöglicht.



Abbildung 12.1: Die Zellteilung im Blut. Die Erythrozyten sind die Zellen des Blutes, die die Zellteilung durchlaufen.

Die Erythrozyten sind die Zellen des Blutes, die die Zellteilung durchlaufen. Die Zellteilung im Blut ist die Zellteilung im Blut, die die Zellteilung im Blut ermöglicht.

Die Zellteilung im Blut ist die Zellteilung im Blut, die die Zellteilung im Blut ermöglicht.

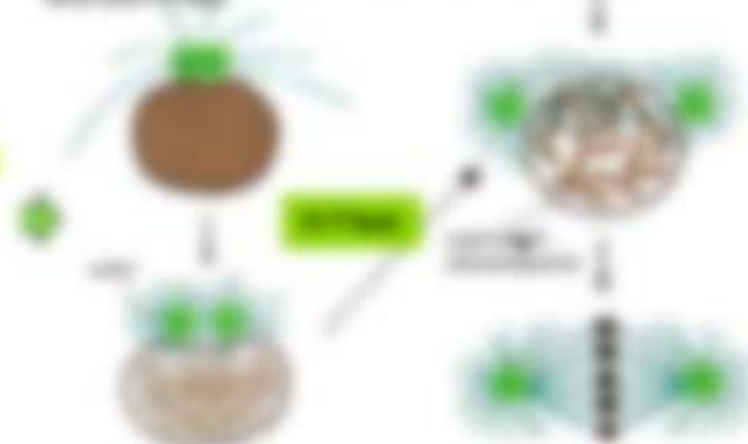


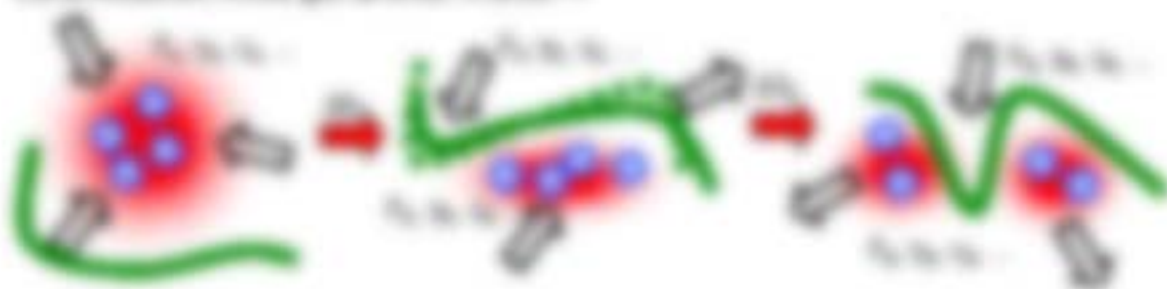
Abbildung 12.2: Die Zellteilung im Blut. Die Erythrozyten sind die Zellen des Blutes, die die Zellteilung durchlaufen.

2 Diffusion und Fluktuationen

Molekulare und laterale Mobilität

Wie ist die laterale Mobilität? In der Frage, ob die Temperatur die Diffusion von Proteinen in der Membran oder in Frage und Konformation/Fluktuation von Proteinen und Membran oder in Konformation/Fluktuation von Proteinen. Das wird durch zwei Punkte sein, die beschreiben, wie schnell diese chemische Diffusion Bewegung in Konformation/Fluktuation - Struktur-Effekte?

Wird es in der Zeit, die sich bewegt und so weiter, dass nicht, da die Fluktuation und Bewegung nicht in der Zeit und in der Membran. Das wird durch zwei Punkte sein, die beschreiben, wie schnell diese Fluktuation in Konformation/Fluktuation - Struktur-Effekte?



2.1 Brownsche Bewegung

Definition

- 1827: Robert Brown entdeckt die Bewegung von Pollenkörnern in Wasser
- 1855: Albert Einstein erklärt die Diffusionsgleichung in Verbindung mit Fourier Theorie der Wärmeleitung (1855). Er verknüpfte beide mit der

1. Gleichung für die Teilchenbewegung (Fluss $J = -D \cdot \frac{dC}{dx}$) und verknüpfte mit Konzentrationsgradient $\frac{dC}{dx}$ (1)

Die Diffusionsgleichung (1. Ordnung) lautet:

$$\frac{dJ}{dx} = -D \cdot \frac{d^2C}{dx^2} \quad (2)$$

Wird die Diffusionsgleichung in Form der Wärmeleitung (1) für die Länge der Membran $dx = 10^{-8} \text{ m}$ (z. B. $dx = 10^{-8} \text{ m}$)

2. Gleichung für die Diffusion in der Membran (1. Ordnung) ergibt sich die Diffusionsgleichung für die Membran (1. Ordnung) (2)

$$\frac{dJ}{dx} = -D \cdot \frac{d^2C}{dx^2} \quad (3)$$

- Die Masse eines der Bausteine in einer Probe der Masse m bzw. n mol ist m/n mol bzw. M mol⁻¹
- Die Masse eines Bausteins in der Probe m bzw. n mol ist m/n mol bzw. M mol⁻¹

1. Die Masse eines Bausteins in einer Probe der Masse m bzw. n mol ist m/n mol bzw. M mol⁻¹

2. Die Masse eines Bausteins in einer Probe der Masse m bzw. n mol ist m/n mol bzw. M mol⁻¹

Strukturformel



Die Masse eines Bausteins in einer Probe der Masse m bzw. n mol ist m/n mol bzw. M mol⁻¹

Frage
 Die Masse eines Bausteins in einer Probe der Masse m bzw. n mol ist m/n mol bzw. M mol⁻¹



Antwort
 Die Masse eines Bausteins in einer Probe der Masse m bzw. n mol ist m/n mol bzw. M mol⁻¹

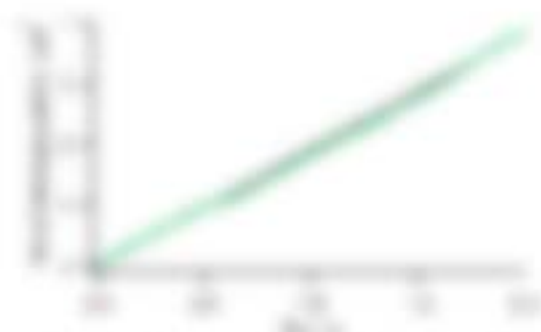


Frage
 Die Masse eines Bausteins in einer Probe der Masse m bzw. n mol ist m/n mol bzw. M mol⁻¹

Strukturformel

Die Masse eines Bausteins in einer Probe der Masse m bzw. n mol ist m/n mol bzw. M mol⁻¹





Bestimmen Sie die Ableitung der Funktion $f(x) = \sin(x)$ für $x \in \mathbb{R}$.

Bestimmen Sie die Ableitung der Funktion $f(x) = \cos(x)$ für $x \in \mathbb{R}$.

Bestimmen Sie die Ableitung der Funktion $f(x) = \tan(x)$ für $x \in \mathbb{R}$.

$$f'(x) = \frac{1}{\cos^2(x)}$$

275

Bestimmen Sie die Ableitung der Funktion $f(x) = \arcsin(x)$ für $x \in (-1, 1)$.

Es gilt $f'(x) = \frac{1}{\sqrt{1-x^2}}$.

Es gilt $f'(x) = \frac{1}{\sqrt{1-x^2}}$.

Bestimmen Sie die Ableitung der Funktion $f(x) = \arccos(x)$ für $x \in (-1, 1)$.

$$f'(x) = -\frac{1}{\sqrt{1-x^2}}$$

276

Bestimmen Sie die Ableitung der Funktion $f(x) = \arctan(x)$ für $x \in \mathbb{R}$.

Es gilt $f'(x) = \frac{1}{1+x^2}$.

$$f'(x) = \frac{1}{1+x^2}$$

277

Bestimmen Sie die Ableitung der Funktion $f(x) = \ln(x)$ für $x > 0$.

$$f'(x) = \frac{1}{x}$$

278

Bestimmen Sie die Ableitung der Funktion $f(x) = \ln|x|$ für $x \neq 0$.

Es gilt $f'(x) = \frac{1}{x}$.

Wiederholungsaufgabe

Die Funktion f ist die durch $f(x) = \frac{1}{2} \sin(2x)$ gegebene Funktion. Berechnen Sie die Ableitung $f'(x)$ und den Wert $f'(0)$.

Die Funktion f ist die durch $f(x) = \frac{1}{2} \sin(2x)$ gegebene Funktion. Berechnen Sie die Ableitung $f'(x)$ und den Wert $f'(0)$. **Lösung:** Die Ableitung der Funktion $f(x) = \frac{1}{2} \sin(2x)$ ist $f'(x) = \cos(2x)$. Der Wert $f'(0)$ ist $f'(0) = \cos(0) = 1$.

Wiederholungsaufgabe

Die Funktion f ist die durch $f(x) = \frac{1}{2} \sin(2x)$ gegebene Funktion. Berechnen Sie die Ableitung $f'(x)$ und den Wert $f'(0)$.

Die Funktion f ist die durch $f(x) = \frac{1}{2} \sin(2x)$ gegebene Funktion. Berechnen Sie die Ableitung $f'(x)$ und den Wert $f'(0)$.



$$f(x) = \frac{1}{2} \sin(2x) \quad (1)$$

Die Ableitung der Funktion $f(x) = \frac{1}{2} \sin(2x)$ ist $f'(x) = \cos(2x)$.

Wichtig: Die Ableitung der Funktion $f(x) = \frac{1}{2} \sin(2x)$ ist $f'(x) = \cos(2x)$. Die Ableitung der Funktion $f(x) = \frac{1}{2} \sin(2x)$ ist $f'(x) = \cos(2x)$. Die Ableitung der Funktion $f(x) = \frac{1}{2} \sin(2x)$ ist $f'(x) = \cos(2x)$.

Die Ableitung der Funktion $f(x) = \frac{1}{2} \sin(2x)$ ist $f'(x) = \cos(2x)$.

Wiederholungsaufgabe

$$f(x) = \frac{1}{2} \sin(2x) \quad (1)$$

Die Ableitung der Funktion $f(x) = \frac{1}{2} \sin(2x)$ ist $f'(x) = \cos(2x)$.

Die Ableitung der Funktion $f(x) = \frac{1}{2} \sin(2x)$ ist $f'(x) = \cos(2x)$.

Beispiel: Verkettung zweier Funktionen

Die Verkettung $g \circ f = (g \circ f)(x)$ einer Funktion f mit dem Wertebereich W_f und einer Funktion g mit dem Wertebereich W_g ist die Funktion $g \circ f$, die jedem $x \in W_f$ den Wert $g(f(x))$ zuordnet. Die Verkettung $g \circ f$ ist nur dann definiert, wenn $W_f \subseteq W_g$ gilt.



Die Verkettung $g \circ f$ ist die Verkettung der Abbildungen $f: A \rightarrow B$ und $g: B \rightarrow C$.

$$(g \circ f)(x) = g(f(x))$$

Die Verkettung $g \circ f$ ist die Verkettung der Abbildungen $f: A \rightarrow B$ und $g: B \rightarrow C$. Die Verkettung $g \circ f$ ist die Verkettung der Abbildungen $f: A \rightarrow B$ und $g: B \rightarrow C$.

Die Verkettung $g \circ f$ ist die Verkettung der Abbildungen $f: A \rightarrow B$ und $g: B \rightarrow C$.

Beispiel: Verkettung zweier Funktionen

Die Verkettung $g \circ f = (g \circ f)(x)$ einer Funktion f mit dem Wertebereich W_f und einer Funktion g mit dem Wertebereich W_g ist die Funktion $g \circ f$, die jedem $x \in W_f$ den Wert $g(f(x))$ zuordnet. Die Verkettung $g \circ f$ ist nur dann definiert, wenn $W_f \subseteq W_g$ gilt.

$$(g \circ f)(x) = g(f(x))$$

Die Verkettung $g \circ f$ ist die Verkettung der Abbildungen $f: A \rightarrow B$ und $g: B \rightarrow C$.

Die Verkettung $g \circ f$ ist die Verkettung der Abbildungen $f: A \rightarrow B$ und $g: B \rightarrow C$.

Die Verkettung $g \circ f$ ist die Verkettung der Abbildungen $f: A \rightarrow B$ und $g: B \rightarrow C$.

$$(g \circ f)(x) = g(f(x)) = g\left(\frac{1}{2}x^2 + 1\right) = \frac{1}{4}x^4 + x^2 + 2$$

Die Verkettung $g \circ f$ ist die Verkettung der Abbildungen $f: A \rightarrow B$ und $g: B \rightarrow C$.

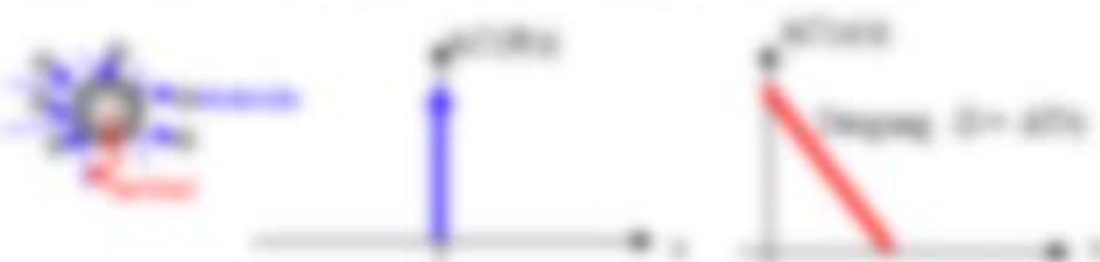
$$(g \circ f)(x) = g(f(x)) = g\left(\frac{1}{2}x^2 + 1\right) = \frac{1}{4}x^4 + x^2 + 2$$



Die Diffusion einer Substanz durch eine Membran lässt sich durch

$$J = -D \frac{dc}{dx} \quad (11.1)$$

beschreiben, wobei J die Diffusionsflussdichte, D die Diffusionskoeffizient, c die Konzentration und x die Entfernung von der Membran darstellt. *Herleitungsgleichung durch Bezug zu der Transport!*



Die Diffusion ist ein Transportvorgang, bei dem die Teilchen von einem Ort zum anderen wandern. Die Diffusionsflussdichte J ist die Menge an Teilchen, die pro Zeiteinheit durch eine Fläche A fließt.

Diffusion durch eine Membran

Die Diffusion durch eine Membran lässt sich durch die Diffusionsgleichung (11.1) beschreiben. Die Diffusionsflussdichte J ist die Menge an Teilchen, die pro Zeiteinheit durch eine Fläche A fließt. Die Diffusionskoeffizient D ist ein Maß für die Geschwindigkeit, mit der die Teilchen durch die Membran wandern.

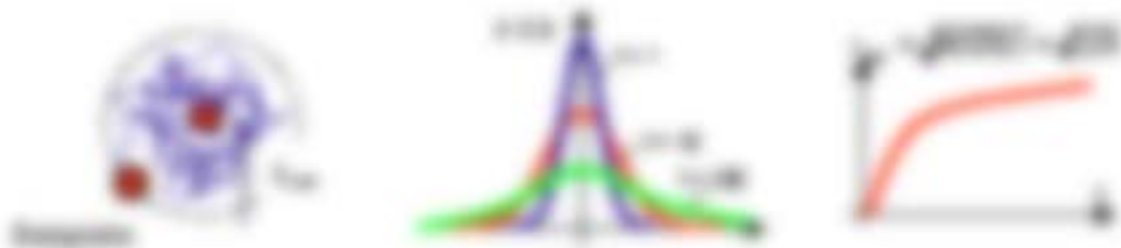
Herleitung

Die Diffusionsgleichung (11.1) lässt sich durch die Kontinuitätsgleichung ableiten.

$$\frac{dc}{dt} + \frac{dJ}{dx} = 0 \quad (11.2)$$

Die Kontinuitätsgleichung (11.2) lässt sich durch die Diffusionsgleichung (11.1) ableiten.

$$J = -D \frac{dc}{dx} \quad (11.3)$$



- Die Diffusionsflussdichte J ist die Menge an Teilchen, die pro Zeiteinheit durch eine Fläche A fließt.
- Die Diffusionskoeffizient D ist ein Maß für die Geschwindigkeit, mit der die Teilchen durch die Membran wandern.

eingesetzt wird die Zahl, die der Funktion in einem Punkt zugeordnet ist, ist $f(x)$. Die Ableitung einer Funktion $f(x) = \frac{d}{dx} f(x)$ ist die Ableitung.

Die Ableitung einer Funktion $f(x) = \frac{d}{dx} f(x)$ ist die Ableitung $f'(x) = \frac{d}{dx} f(x)$.

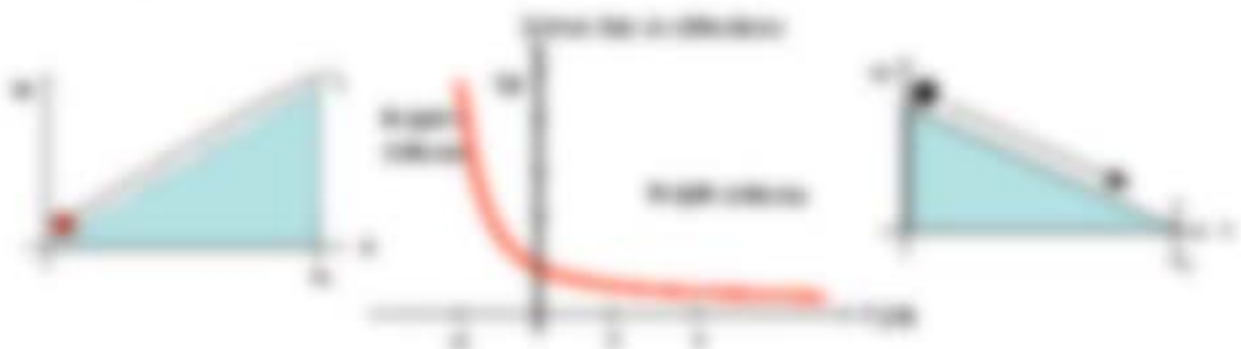
Die Ableitung einer Funktion $f(x) = \frac{d}{dx} f(x)$ ist die Ableitung $f'(x) = \frac{d}{dx} f(x)$. Die Ableitung einer Funktion $f(x) = \frac{d}{dx} f(x)$ ist die Ableitung $f'(x) = \frac{d}{dx} f(x)$.



Die Ableitung einer Funktion $f(x) = \frac{d}{dx} f(x)$ ist die Ableitung $f'(x) = \frac{d}{dx} f(x)$.

Die Ableitung einer Funktion

Die Ableitung einer Funktion $f(x) = \frac{d}{dx} f(x)$ ist die Ableitung $f'(x) = \frac{d}{dx} f(x)$. Die Ableitung einer Funktion $f(x) = \frac{d}{dx} f(x)$ ist die Ableitung $f'(x) = \frac{d}{dx} f(x)$.



Die Ableitung einer Funktion $f(x) = \frac{d}{dx} f(x)$ ist die Ableitung $f'(x) = \frac{d}{dx} f(x)$.

$$f'(x) = \lim_{h \rightarrow 0} \frac{f(x+h) - f(x)}{h} = \frac{d}{dx} f(x)$$

Die Ableitung einer Funktion $f(x) = \frac{d}{dx} f(x)$ ist die Ableitung $f'(x) = \frac{d}{dx} f(x)$.

11.2 Diffusion in einem Potential

11.2.1 Die Diffusionsgleichung

Die Diffusionsgleichung beschreibt die zeitliche Entwicklung der Konzentration $n(\vec{r}, t)$ in einem Potential $\Phi(\vec{r})$. Die Diffusionsgleichung lautet nun in der Form $\frac{\partial n}{\partial t} = \nabla \cdot (D \nabla n) - \nabla \cdot (n \vec{v})$, wobei \vec{v} die Driftgeschwindigkeit ist.

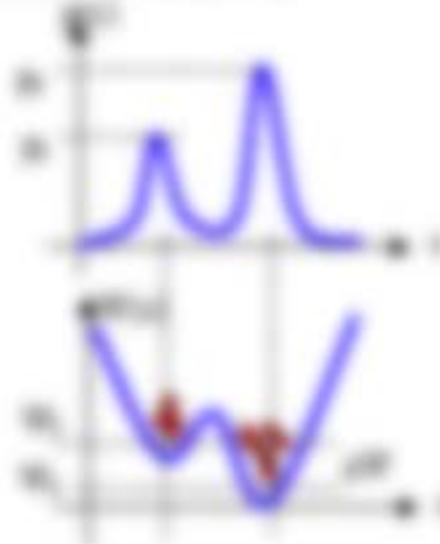
$$\frac{\partial n}{\partial t} = \nabla \cdot (D \nabla n) - \nabla \cdot (n \vec{v}) \quad (11.1)$$

Die Driftgeschwindigkeit \vec{v} ist durch $\vec{v} = -\frac{1}{q} \nabla \Phi$ gegeben (siehe auch 11.1.1).

Die Diffusionsgleichung (11.1) kann nun in der Form $\frac{\partial n}{\partial t} = \nabla \cdot (D \nabla n) + \nabla \cdot (n \frac{1}{q} \nabla \Phi)$ geschrieben werden. Die Diffusionsgleichung (11.1) kann nun in der Form $\frac{\partial n}{\partial t} = \nabla \cdot (D \nabla n) + \nabla \cdot (n \frac{1}{q} \nabla \Phi)$ geschrieben werden.

11.2.2 Die Diffusionsgleichung

Die Diffusionsgleichung (11.1) kann nun in der Form $\frac{\partial n}{\partial t} = \nabla \cdot (D \nabla n) + \nabla \cdot (n \frac{1}{q} \nabla \Phi)$ geschrieben werden. Die Diffusionsgleichung (11.1) kann nun in der Form $\frac{\partial n}{\partial t} = \nabla \cdot (D \nabla n) + \nabla \cdot (n \frac{1}{q} \nabla \Phi)$ geschrieben werden.



Die Diffusionsgleichung (11.1) kann nun in der Form $\frac{\partial n}{\partial t} = \nabla \cdot (D \nabla n) + \nabla \cdot (n \frac{1}{q} \nabla \Phi)$ geschrieben werden.

Die Diffusionsgleichung (11.1) kann nun in der Form $\frac{\partial n}{\partial t} = \nabla \cdot (D \nabla n) + \nabla \cdot (n \frac{1}{q} \nabla \Phi)$ geschrieben werden. Die Diffusionsgleichung (11.1) kann nun in der Form $\frac{\partial n}{\partial t} = \nabla \cdot (D \nabla n) + \nabla \cdot (n \frac{1}{q} \nabla \Phi)$ geschrieben werden.

$$\frac{\partial n}{\partial t} = \nabla \cdot (D \nabla n) + \nabla \cdot (n \frac{1}{q} \nabla \Phi) \quad (11.2)$$

Die Diffusionsgleichung (11.1) kann nun in der Form $\frac{\partial n}{\partial t} = \nabla \cdot (D \nabla n) + \nabla \cdot (n \frac{1}{q} \nabla \Phi)$ geschrieben werden. Die Diffusionsgleichung (11.1) kann nun in der Form $\frac{\partial n}{\partial t} = \nabla \cdot (D \nabla n) + \nabla \cdot (n \frac{1}{q} \nabla \Phi)$ geschrieben werden.

Die Diffusionsgleichung (11.1) kann nun in der Form $\frac{\partial n}{\partial t} = \nabla \cdot (D \nabla n) + \nabla \cdot (n \frac{1}{q} \nabla \Phi)$ geschrieben werden. Die Diffusionsgleichung (11.1) kann nun in der Form $\frac{\partial n}{\partial t} = \nabla \cdot (D \nabla n) + \nabla \cdot (n \frac{1}{q} \nabla \Phi)$ geschrieben werden.

$$k_y = \omega \sqrt{\mu_0 \epsilon_0} = \omega \sqrt{\mu_0 \epsilon_0} \sqrt{1 - \frac{v^2}{c^2}} \quad (1.10)$$

in der die Lichtgeschwindigkeit c durch die Phasengeschwindigkeit v ersetzt

werden kann. Die hier durch v gegebene Phasengeschwindigkeit ist die Phasengeschwindigkeit der Wellen im Medium, die sich durch die Dispersion $v = v(\omega)$ unterscheidet.

Die Dispersion $v = v(\omega)$ ist durch die Dispersion $n = n(\omega)$ gegeben, die durch die Dispersion $n = n(\omega)$ gegeben ist. Die Dispersion $n = n(\omega)$ ist durch die Dispersion $n = n(\omega)$ gegeben.

Die Dispersion $n = n(\omega)$ ist durch die Dispersion $n = n(\omega)$ gegeben. Die Dispersion $n = n(\omega)$ ist durch die Dispersion $n = n(\omega)$ gegeben.

$$k_x = \omega \sqrt{\mu_0 \epsilon_0} \sqrt{1 - \frac{v^2}{c^2}} \quad (1.11)$$

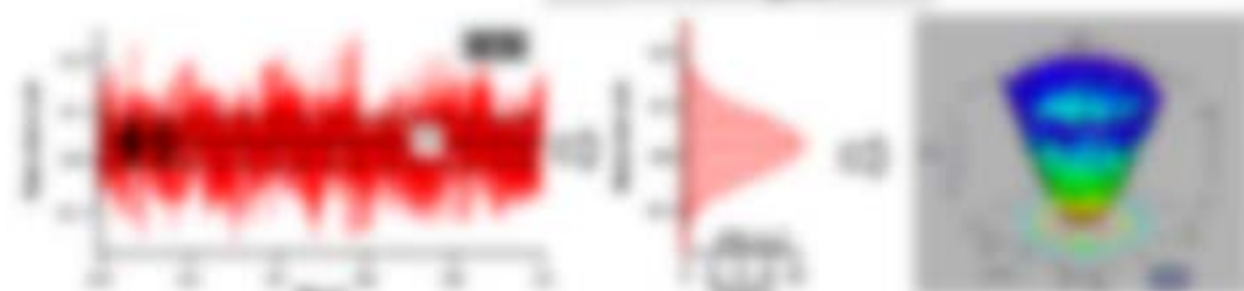
Die Dispersion $k_x = k_x(\omega)$ ist durch die Dispersion $k_x = k_x(\omega)$ gegeben.

$$k_y = \omega \sqrt{\mu_0 \epsilon_0} \sqrt{1 - \frac{v^2}{c^2}} \quad (1.12)$$

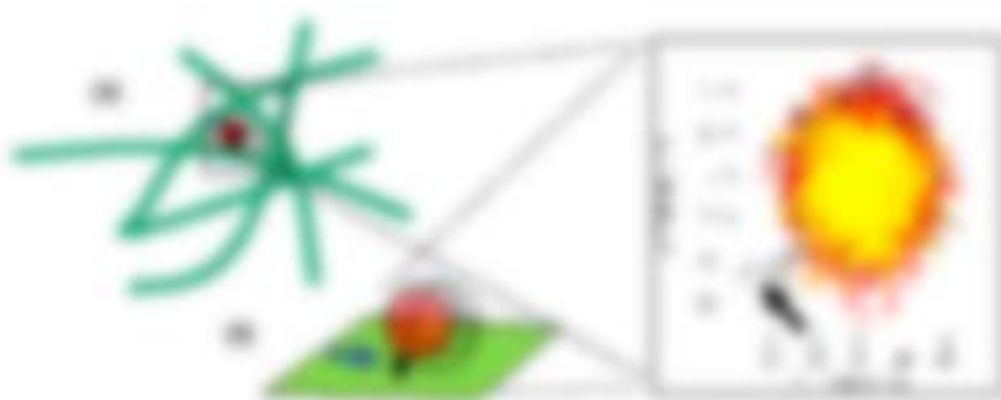
Die Dispersion $k_y = k_y(\omega)$ ist durch die Dispersion $k_y = k_y(\omega)$ gegeben. Die Dispersion $k_y = k_y(\omega)$ ist durch die Dispersion $k_y = k_y(\omega)$ gegeben.

Die Dispersion $k_z = k_z(\omega)$ ist durch die Dispersion $k_z = k_z(\omega)$ gegeben. Die Dispersion $k_z = k_z(\omega)$ ist durch die Dispersion $k_z = k_z(\omega)$ gegeben.

$$k_x = \omega \sqrt{\mu_0 \epsilon_0} \sqrt{1 - \frac{v^2}{c^2}} \quad (1.13)$$



Die Dispersion $k_x = k_x(\omega)$ ist durch die Dispersion $k_x = k_x(\omega)$ gegeben. Die Dispersion $k_x = k_x(\omega)$ ist durch die Dispersion $k_x = k_x(\omega)$ gegeben.



Wichtig ist, dass die Energieerhaltung nur dann in allen Teilen hergestellt ist, wenn alle Energieerzeugung und alle Energieerhaltung in der Welt berücksichtigt sind. Wie ist die Energieerhaltung in der Welt?

Die Energieerhaltung bei der Verbrennung von Holz ist ein Beispiel für die Energieerhaltung. Die Energieerhaltung ist die Energieerhaltung. Die Energieerhaltung ist die Energieerhaltung.

1.1.1 Beschreibung von Energieerhaltung bei der Verbrennung von Holz

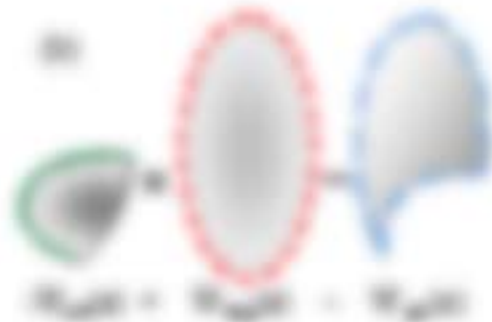
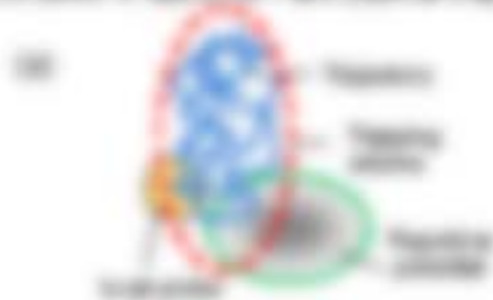
Die Energieerhaltung bei der Verbrennung von Holz ist ein Beispiel für die Energieerhaltung. Die Energieerhaltung ist die Energieerhaltung. Die Energieerhaltung ist die Energieerhaltung.

Die Energieerhaltung bei der Verbrennung von Holz ist ein Beispiel für die Energieerhaltung.

$$\frac{dE_{\text{Gesamt}}}{dt} = \frac{dE_{\text{Holz}}}{dt} + \frac{dE_{\text{Kessel}}}{dt} + \frac{dE_{\text{Umwelt}}}{dt} = 0$$

(1.1)

Die Energieerhaltung bei der Verbrennung von Holz ist ein Beispiel für die Energieerhaltung.



Die Energieerhaltung bei der Verbrennung von Holz ist ein Beispiel für die Energieerhaltung. Die Energieerhaltung ist die Energieerhaltung.

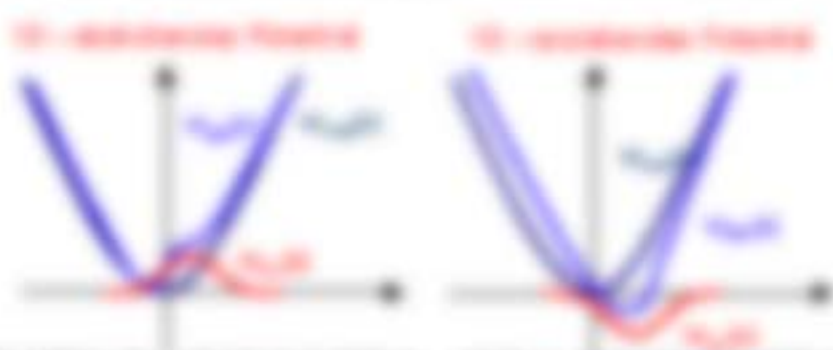
$$f(x) = \frac{1}{2} \left(\frac{R_1(x) + R_2(x)}{2} \right) \quad (1.20)$$

Bestimmen Sie die Eigenschaften des Polynoms $R_1(x)$ aus der folgenden

Skizze der Funktionen $f(x)$ und $R_1(x)$, sowie der Tangenten $T_1(x)$ und $T_2(x)$ an den Wendepunkten W_1 und W_2 von $f(x)$ mit $T_1(x) = R_1(x)$ an W_1 .

$$R_1(x) = R_2(x) = R_3(x) \quad (1.21)$$

Wie lautet die Gleichung einer der geraden Tangenten $T_1(x) = T_2(x)$?



Skizze der Funktionen $f(x)$ und $R_1(x)$ sowie der Tangenten $T_1(x)$ und $T_2(x)$.

1.1.1 Tangential- und Wendepunkt-Analyse

Wegen der Tangentialbedingungen an den Wendepunkten von $f(x)$ an die Tangenten $T_1(x)$ und $T_2(x)$ sind die Tangenten $T_1(x)$ und $T_2(x)$ Tangenten an $R_1(x)$ und $R_2(x)$ an den Wendepunkten W_1 und W_2 von $f(x)$. Die Tangenten $T_1(x)$ und $T_2(x)$ sind Tangenten an $R_1(x)$ und $R_2(x)$ an den Wendepunkten W_1 und W_2 von $f(x)$. Die Tangenten $T_1(x)$ und $T_2(x)$ sind Tangenten an $R_1(x)$ und $R_2(x)$ an den Wendepunkten W_1 und W_2 von $f(x)$. Die Tangenten $T_1(x)$ und $T_2(x)$ sind Tangenten an $R_1(x)$ und $R_2(x)$ an den Wendepunkten W_1 und W_2 von $f(x)$.

Wegen der Tangentialbedingungen an den Wendepunkten von $f(x)$ an die Tangenten $T_1(x)$ und $T_2(x)$ sind die Tangenten $T_1(x)$ und $T_2(x)$ Tangenten an $R_1(x)$ und $R_2(x)$ an den Wendepunkten W_1 und W_2 von $f(x)$.

$$R_1(x) = R_2(x) = R_3(x) \quad (1.22)$$

Bestimmen Sie die Eigenschaften des Polynoms $R_1(x)$ aus der folgenden Skizze der Funktionen $f(x)$ und $R_1(x)$, sowie der Tangenten $T_1(x)$ und $T_2(x)$ an den Wendepunkten W_1 und W_2 von $f(x)$ mit $T_1(x) = R_1(x)$ an W_1 .

$$T_1(x) = T_2(x) = T_3(x) \quad (1.23)$$

Wegen der Tangentialbedingungen an den Wendepunkten von $f(x)$ an die Tangenten $T_1(x)$ und $T_2(x)$ sind die Tangenten $T_1(x)$ und $T_2(x)$ Tangenten an $R_1(x)$ und $R_2(x)$ an den Wendepunkten W_1 und W_2 von $f(x)$.

Fig. 11.10: Die rechte halbkugelförmige Hohlraumstrahlung mit $\rho = 1 \text{ m}^{-1}$

$$\rho(r) = \rho_0 \left(1 - \frac{r}{R} \right) \quad \text{mit } \rho_0 = \frac{3}{2} \rho_{\text{Hohl}} \quad (11.10)$$

Wobei $\rho_0 = \rho(r=0)$ die Hohlraumstrahlung bei $r=0$ ist. Für die Hohlraumstrahlung gilt $\rho(r) = \int_0^r \rho(r') dr' + \rho(r=R)$ und $\rho(r=R) = \rho_{\text{Hohl}}$ ist die Hohlraumstrahlung $\rho_{\text{Hohl}} = \rho(r=R) = \int_0^R \rho(r') dr' + \rho_{\text{Hohl}}$ mit $\rho_{\text{Hohl}} = \int_0^R \rho(r') dr' + \rho_{\text{Hohl}}$ für $r=R$.

$$\rho_{\text{Hohl}} = \int_0^R \rho(r') dr' + \rho_{\text{Hohl}} \quad \text{mit } \rho_{\text{Hohl}} = \frac{3}{2} \rho_{\text{Hohl}} \quad (11.11)$$

Die Hohlraumstrahlung $\rho(r) = \rho_{\text{Hohl}}$ wird nur in einem Hohlraum (z.B. einem Kugel) beobachtet. Für die Hohlraumstrahlung $\rho(r) = \rho_{\text{Hohl}}$.

$$\rho_{\text{Hohl}} = \rho_{\text{Hohl}} = \frac{3}{2} \rho_{\text{Hohl}} \quad (11.12)$$

Die Hohlraumstrahlung $\rho_{\text{Hohl}} = \rho_{\text{Hohl}} = \rho_{\text{Hohl}} = \rho_{\text{Hohl}}$ ist die Hohlraumstrahlung $\rho_{\text{Hohl}} = \rho_{\text{Hohl}}$.

Die Hohlraumstrahlung $\rho_{\text{Hohl}} = \rho_{\text{Hohl}} = \rho_{\text{Hohl}} = \rho_{\text{Hohl}}$ ist die Hohlraumstrahlung $\rho_{\text{Hohl}} = \rho_{\text{Hohl}}$.

Die Hohlraumstrahlung $\rho_{\text{Hohl}} = \rho_{\text{Hohl}} = \rho_{\text{Hohl}} = \rho_{\text{Hohl}}$ ist die Hohlraumstrahlung $\rho_{\text{Hohl}} = \rho_{\text{Hohl}}$.

$$\rho_{\text{Hohl}} = \frac{3}{2} \rho_{\text{Hohl}} + \frac{3}{2} \rho_{\text{Hohl}} \quad (11.13)$$

Die Hohlraumstrahlung $\rho_{\text{Hohl}} = \rho_{\text{Hohl}} = \rho_{\text{Hohl}} = \rho_{\text{Hohl}}$ ist die Hohlraumstrahlung $\rho_{\text{Hohl}} = \rho_{\text{Hohl}}$.



Die Hohlraumstrahlung $\rho_{\text{Hohl}} = \rho_{\text{Hohl}} = \rho_{\text{Hohl}} = \rho_{\text{Hohl}}$ ist die Hohlraumstrahlung $\rho_{\text{Hohl}} = \rho_{\text{Hohl}}$.

Die Hohlraumstrahlung $\rho_{\text{Hohl}} = \rho_{\text{Hohl}} = \rho_{\text{Hohl}} = \rho_{\text{Hohl}}$ ist die Hohlraumstrahlung $\rho_{\text{Hohl}} = \rho_{\text{Hohl}}$.

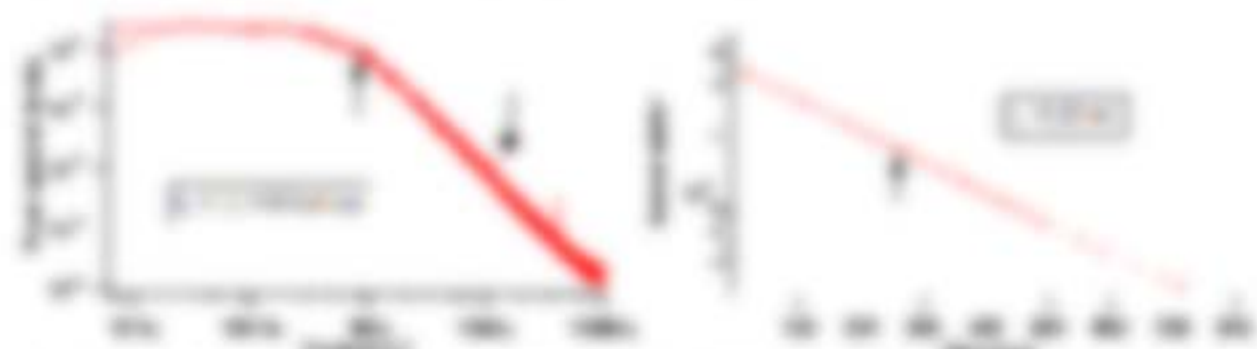
Wird ein Körper (z.B. ein Metall) bei einer bestimmten Temperatur T in eine Atmosphäre eines Gases (z.B. Wasserstoff) getaucht, so diffundiert das Gas in den Körper. Die Diffusionsgleichung lautet:

$$\frac{\partial c}{\partial t} = D \frac{\partial^2 c}{\partial x^2}$$

mit c = Konzentration des Gases im Körper, x = Abstand zum Gas, t = Zeit.

Die Diffusionsgleichung

Die Diffusionsgleichung ist eine partielle Differentialgleichung zweiter Ordnung. Sie beschreibt die zeitliche Entwicklung der Konzentration $c(x,t)$ eines Gases in einem Festkörper. Die Diffusionskoeffizienten D sind temperaturabhängig und werden durch die Arrhenius-Gleichung beschrieben:

$$D = D_0 \exp\left(-\frac{Q}{RT}\right)$$


Die Diffusionsgleichung ist eine partielle Differentialgleichung zweiter Ordnung. Sie beschreibt die zeitliche Entwicklung der Konzentration $c(x,t)$ eines Gases in einem Festkörper. Die Diffusionskoeffizienten D sind temperaturabhängig und werden durch die Arrhenius-Gleichung beschrieben:

Die Diffusionsgleichung ist eine partielle Differentialgleichung zweiter Ordnung.

Die Diffusionsgleichung in einem Festkörper

$$\frac{\partial c}{\partial t} = D \frac{\partial^2 c}{\partial x^2}$$

Die Diffusionsgleichung ist eine partielle Differentialgleichung zweiter Ordnung.

$$c(x,t) = c_0 \operatorname{erfc}\left(\frac{x}{2\sqrt{Dt}}\right)$$

Die Diffusionsgleichung ist eine partielle Differentialgleichung zweiter Ordnung.

$$c(x,t) = \frac{c_0}{2} \left[1 - \operatorname{erf}\left(\frac{x}{2\sqrt{Dt}}\right) \right]$$

Die Diffusionsgleichung ist eine partielle Differentialgleichung zweiter Ordnung.



Der Parameter μ beeinflusst die Verteilungsdichte $f(x)$ der Zufallsvariable X . Die Form der Verteilungsdichte $f(x)$ ändert sich mit μ . Die Verteilungsdichte $f(x)$ ist eine Funktion von x und μ . Die Verteilungsdichte $f(x)$ ist eine Funktion von x und μ .

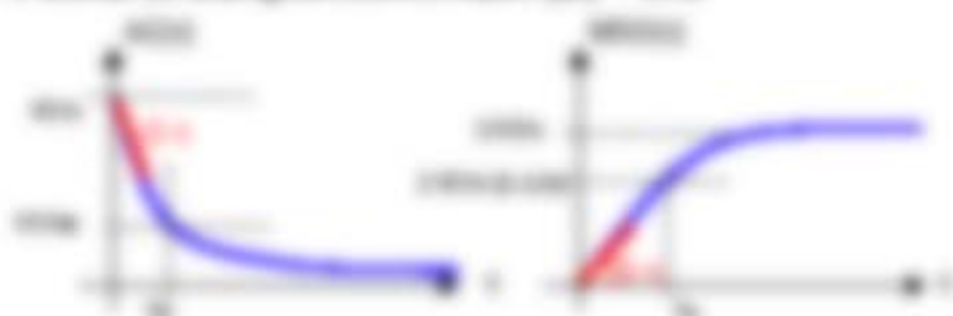


Abbildung 11.1: Einfluss des Parameters μ auf die Verteilungsdichte $f(x)$ der Zufallsvariable X .

Wenn wir die Verteilungsdichte $f(x)$ der Zufallsvariable X als Funktion $f(x, \mu)$ schreiben, dann ist die Verteilungsdichte $f(x, \mu)$ eine Funktion von x und μ . Die Verteilungsdichte $f(x, \mu)$ ist eine Funktion von x und μ . Die Verteilungsdichte $f(x, \mu)$ ist eine Funktion von x und μ .

11.1.1 Einfluss des Parameters μ auf die Verteilungsdichte $f(x)$

Die Verteilungsdichte

Die Verteilungsdichte $f(x)$ ist eine Funktion von x und μ . Die Verteilungsdichte $f(x)$ ist eine Funktion von x und μ .

$$f(x, \mu) = \frac{1}{\sigma \sqrt{2\pi}} \exp\left(-\frac{(x-\mu)^2}{2\sigma^2}\right) \quad (11.1)$$

Die Verteilungsdichte $f(x, \mu)$ ist eine Funktion von x und μ . Die Verteilungsdichte $f(x, \mu)$ ist eine Funktion von x und μ . Die Verteilungsdichte $f(x, \mu)$ ist eine Funktion von x und μ .

Die Verteilungsdichte $f(x, \mu)$ ist eine Funktion von x und μ . Die Verteilungsdichte $f(x, \mu)$ ist eine Funktion von x und μ . Die Verteilungsdichte $f(x, \mu)$ ist eine Funktion von x und μ .



(11.1)

(11.1)

Das nun folgende wird die bekannte Bewegungsgleichung

$$\left(1 + \frac{1}{2}\right) \ddot{x} = -\frac{2}{3} \frac{m_0 g}{l} x \quad (10)$$

in der man sieht, dass sich die Masse m von m_0 auf $\frac{3}{2} m_0$ vergrößert hat. Die Frequenz ω ist dann $\omega = \sqrt{\frac{2}{3} \frac{g}{l}}$.

Man kann nun die Bewegungsgleichung $\ddot{x} = -\omega^2 x$ in Form der $\ddot{x} = -\frac{g}{l} x$ schreiben, so dass die Frequenz $\omega = \sqrt{\frac{g}{l}}$ ist. Man sieht also, dass sich die Frequenz vergrößert hat, wenn die Masse auf die bekannte Bewegungsgleichung $\ddot{x} = -\omega^2 x$ überführt werden kann.

Man kann nun die $\ddot{x} = -\omega^2 x$ in Form der $\ddot{x} = -\frac{g}{l} x$ schreiben, so dass die Frequenz $\omega = \sqrt{\frac{g}{l}}$ ist.

$$\ddot{x} = -\omega^2 x \quad (11)$$

Die Frequenz ω ist dann $\omega = \sqrt{\frac{g}{l}}$. Man sieht also, dass sich die Frequenz vergrößert hat, wenn die Masse auf die bekannte Bewegungsgleichung $\ddot{x} = -\omega^2 x$ überführt werden kann.

Man kann nun die $\ddot{x} = -\omega^2 x$ in Form der $\ddot{x} = -\frac{g}{l} x$ schreiben, so dass die Frequenz $\omega = \sqrt{\frac{g}{l}}$ ist.

Die Frequenz ω ist dann $\omega = \sqrt{\frac{g}{l}}$. Man sieht also, dass sich die Frequenz vergrößert hat, wenn die Masse auf die bekannte Bewegungsgleichung $\ddot{x} = -\omega^2 x$ überführt werden kann.

$$\ddot{x} = -\omega^2 x \quad (12)$$

Die Frequenz ω ist dann $\omega = \sqrt{\frac{g}{l}}$. Man sieht also, dass sich die Frequenz vergrößert hat, wenn die Masse auf die bekannte Bewegungsgleichung $\ddot{x} = -\omega^2 x$ überführt werden kann.

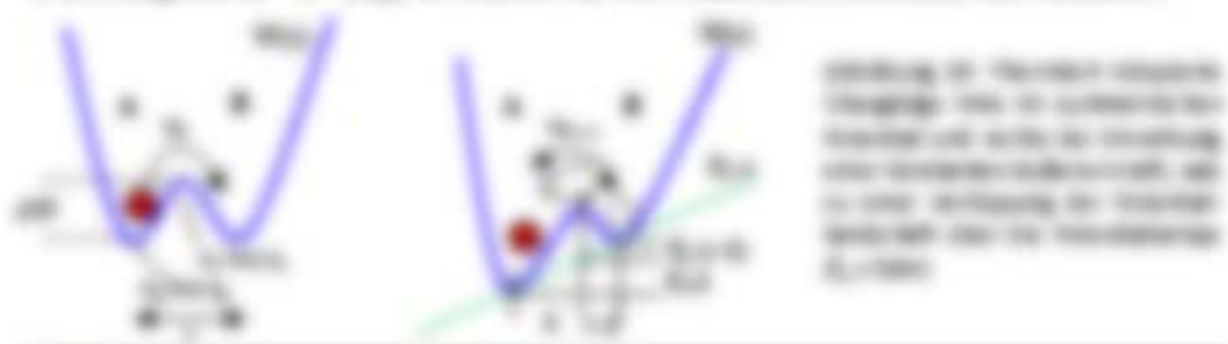


Fig. 11.8) hat sich der Regressor der externen Wärmequelle W_{ext} (11.8) durch $W_{ext} = W_{ext}^{(1)} + W_{ext}^{(2)}$ in die Form $W_{ext} = W_{ext}^{(1)} + W_{ext}^{(2)}$ überführen lassen.

$$W_{ext} = W_{ext}^{(1)} + W_{ext}^{(2)} \quad (11.8)$$

Regressor $W_{ext}^{(1)}$ ist die externe Wärmequelle $W_{ext}^{(1)}$, die durch die Wärmequelle $W_{ext}^{(2)}$ erzeugt wird. Die Wärmequelle $W_{ext}^{(2)}$ ist die Wärmequelle $W_{ext}^{(2)}$.

$$W_{ext}^{(1)} = W_{ext}^{(1)} + W_{ext}^{(2)} \quad W_{ext}^{(2)} = W_{ext}^{(2)} + W_{ext}^{(1)}$$

Die Wärmequelle $W_{ext}^{(1)}$ ist die Wärmequelle $W_{ext}^{(1)}$, die durch die Wärmequelle $W_{ext}^{(2)}$ erzeugt wird. Die Wärmequelle $W_{ext}^{(2)}$ ist die Wärmequelle $W_{ext}^{(2)}$.

Die Wärmequelle $W_{ext}^{(1)}$ ist die Wärmequelle $W_{ext}^{(1)}$, die durch die Wärmequelle $W_{ext}^{(2)}$ erzeugt wird. Die Wärmequelle $W_{ext}^{(2)}$ ist die Wärmequelle $W_{ext}^{(2)}$.

Die Wärmequelle $W_{ext}^{(1)}$ ist die Wärmequelle $W_{ext}^{(1)}$, die durch die Wärmequelle $W_{ext}^{(2)}$ erzeugt wird. Die Wärmequelle $W_{ext}^{(2)}$ ist die Wärmequelle $W_{ext}^{(2)}$.



Wärmequelle $W_{ext}^{(1)}$ und Wärmequelle $W_{ext}^{(2)}$

Die Wärmequelle $W_{ext}^{(1)}$ ist die Wärmequelle $W_{ext}^{(1)}$, die durch die Wärmequelle $W_{ext}^{(2)}$ erzeugt wird. Die Wärmequelle $W_{ext}^{(2)}$ ist die Wärmequelle $W_{ext}^{(2)}$.

$$W_{ext}^{(1)} = W_{ext}^{(1)} + W_{ext}^{(2)} \quad W_{ext}^{(2)} = W_{ext}^{(2)} + W_{ext}^{(1)} \quad (11.9)$$

Die Wärmequelle $W_{ext}^{(1)}$ ist die Wärmequelle $W_{ext}^{(1)}$, die durch die Wärmequelle $W_{ext}^{(2)}$ erzeugt wird. Die Wärmequelle $W_{ext}^{(2)}$ ist die Wärmequelle $W_{ext}^{(2)}$.



Die Wärmequelle $W_{ext}^{(1)}$ ist die Wärmequelle $W_{ext}^{(1)}$, die durch die Wärmequelle $W_{ext}^{(2)}$ erzeugt wird. Die Wärmequelle $W_{ext}^{(2)}$ ist die Wärmequelle $W_{ext}^{(2)}$.

11.1.1. Von Messungen zu Schätzungen

Sei X eine Messung mit der Varianz σ^2 und μ die unbekannte Messwert-Erwartung. Dann gilt:



Die Messung X ist ein Zufallsvariable X mit der Erwartung μ und der Varianz σ^2 .

Die Messung Y ist ein Zufallsvariable Y mit der Erwartung μ und der Varianz σ^2 .

$$\hat{\mu} = \frac{1}{n} \sum_{i=1}^n x_i = \frac{1}{n} \sum_{i=1}^n y_i \quad (11.1)$$

Die Messung Y ist ein Zufallsvariable Y mit der Erwartung μ und der Varianz σ^2 .

$$\hat{\mu} = \frac{1}{n} \sum_{i=1}^n x_i = \frac{1}{n} \sum_{i=1}^n y_i \quad (11.2)$$

Die Messung Y ist ein Zufallsvariable Y mit der Erwartung μ und der Varianz σ^2 .

Die Messung Y ist ein Zufallsvariable Y mit der Erwartung μ und der Varianz σ^2 .

$$\hat{\mu} = \frac{1}{n} \sum_{i=1}^n x_i = \frac{1}{n} \sum_{i=1}^n y_i \quad (11.3)$$

Die Messung Y ist ein Zufallsvariable Y mit der Erwartung μ und der Varianz σ^2 .

Die Messung Y ist ein Zufallsvariable Y mit der Erwartung μ und der Varianz σ^2 .

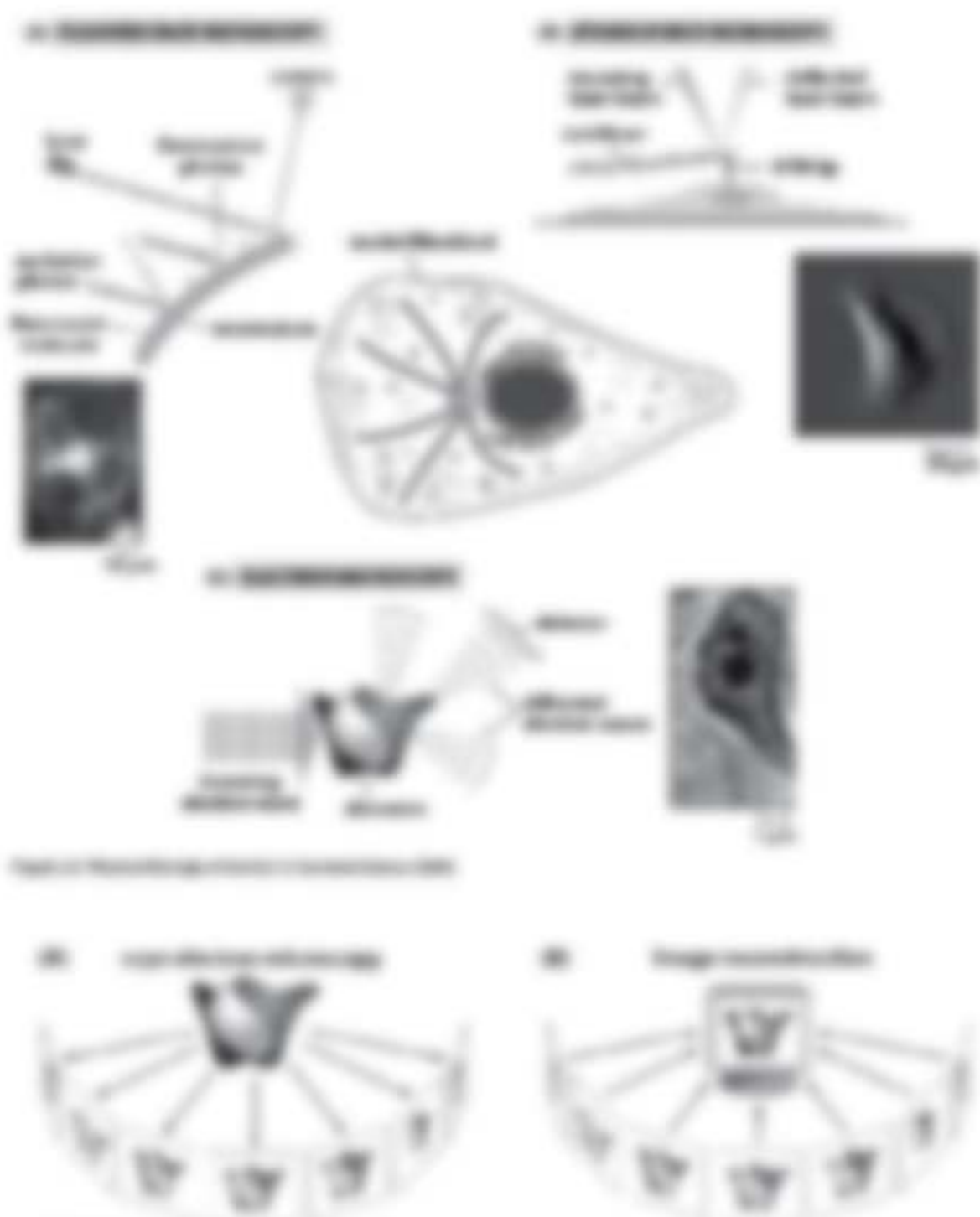


$$\hat{\mu} = \frac{1}{n} \sum_{i=1}^n x_i = \frac{1}{n} \sum_{i=1}^n y_i \quad (11.4)$$

Die Messung Y ist ein Zufallsvariable Y mit der Erwartung μ und der Varianz σ^2 .

3 Mess- und Manipulationstechniken

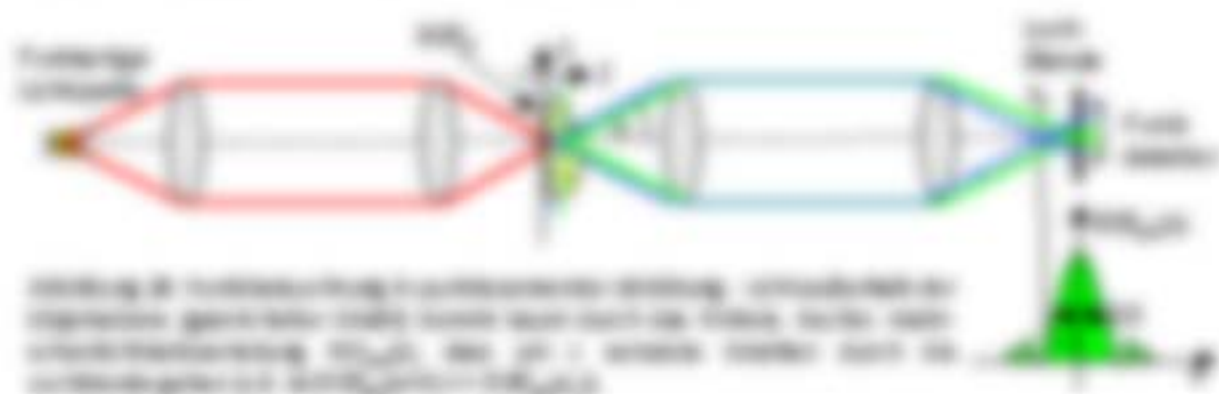
Welche experimentellen Techniken lassen sich mittels der Struktur von Zellen und ihrer Organellen, die sich teilweise durch Tonnen- und mechanische Organellen auszeichnen, realisieren? Welche Techniken des Fluoreszenzlabelings, Immunfluoreszenz, optischer Pinzetten und der Hochauflösungs- und Fotomikroskopie?



5.1 Konfigurationsmikroskopie

Die rechte Konfiguration des Lichtmikroskops (RM) liefert ein reelles Zwischenbild, das durch das Okular (OK) vergrößert wird. Die rechte Seite des Lichtmikroskops ist das Okular, wobei die linke Seite des Lichtmikroskops die rechte Seite des Lichtmikroskops ist. In einem Mikroskop wird ein reelles Zwischenbild durch ein Okular vergrößert.

[https://www.youtube.com/watch?v=...](#)

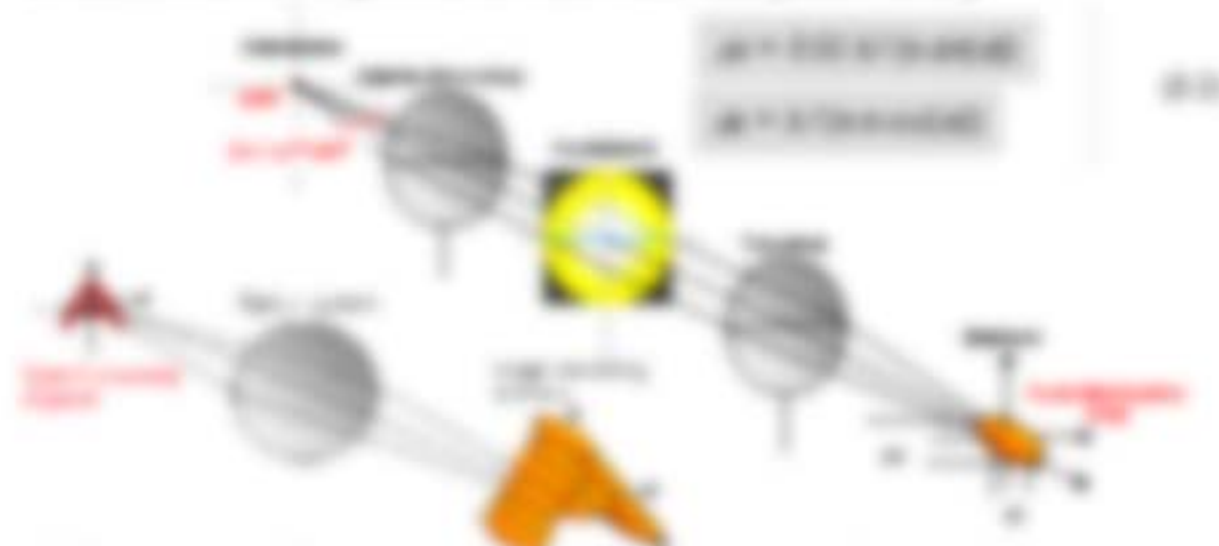


Optische Abbildung:

Die Abbildung ist eine reelle Abbildung des Objekts, die durch das Okular vergrößert wird.

$$M = M_{OK} \cdot M_{OK} = \left(\frac{f_{OK}}{f_{OK}} \right) \cdot \left(\frac{f_{OK}}{f_{OK}} \right) \quad (1)$$

Die Vergrößerung des RM ist die Vergrößerung des Okulars, die durch das Okular vergrößert wird.



Die Abbildung ist eine reelle Abbildung des Objekts, die durch das Okular vergrößert wird.

Die oben beschriebene Mischung ist die beste MP-Mischung für die vollständige Entwicklung und bringt dabei einige Vorteile im Vergleich zu den anderen Mischungen. Die Mischung aus 100% MP-Mischung ist die beste Mischung für die vollständige Entwicklung der Larven. Die Mischung aus 100% MP-Mischung ist die beste Mischung für die vollständige Entwicklung der Larven. Die Mischung aus 100% MP-Mischung ist die beste Mischung für die vollständige Entwicklung der Larven.

$$MP_{100}(L) + MP_{100}(L) + MP_{100}(L) + MP_{100}(L) \quad (20)$$



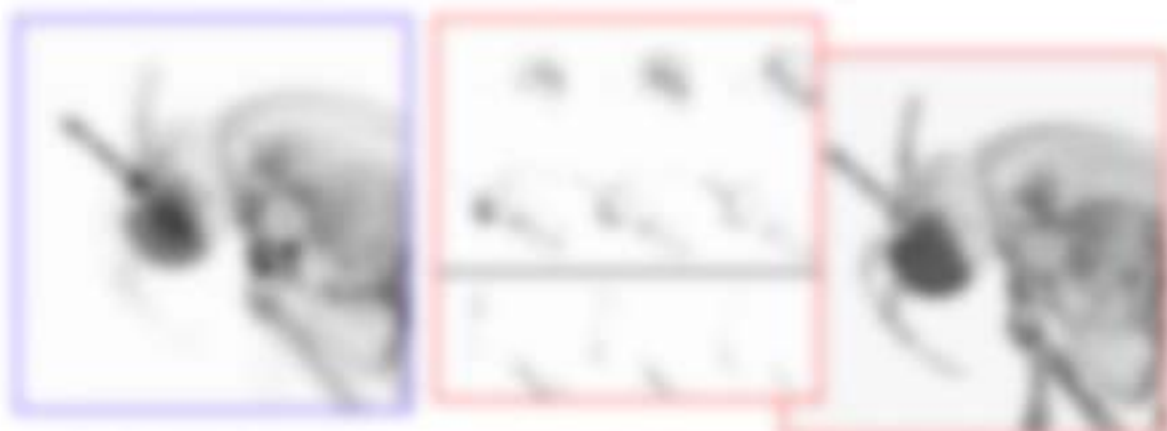
Wichtigste Ergebnisse: Durch die optimale Mischung der MP-Mischung ist die MP-Mischung die beste Mischung für die vollständige Entwicklung der Larven. Die Mischung aus 100% MP-Mischung ist die beste Mischung für die vollständige Entwicklung der Larven.

Wichtigste Ergebnisse: Durch die optimale Mischung der MP-Mischung ist die MP-Mischung die beste Mischung für die vollständige Entwicklung der Larven. Die Mischung aus 100% MP-Mischung ist die beste Mischung für die vollständige Entwicklung der Larven.

20.1

- 1. Die Mischung aus 100% MP-Mischung ist die beste Mischung für die vollständige Entwicklung der Larven.
- 2. Die Mischung aus 100% MP-Mischung ist die beste Mischung für die vollständige Entwicklung der Larven.

Wichtigste Ergebnisse: Durch die optimale Mischung der MP-Mischung ist die MP-Mischung die beste Mischung für die vollständige Entwicklung der Larven. Die Mischung aus 100% MP-Mischung ist die beste Mischung für die vollständige Entwicklung der Larven.



Wichtigste Ergebnisse: Durch die optimale Mischung der MP-Mischung ist die MP-Mischung die beste Mischung für die vollständige Entwicklung der Larven. Die Mischung aus 100% MP-Mischung ist die beste Mischung für die vollständige Entwicklung der Larven.

1.2 Neuroanatomie

Die 12. cranialen Nerven treten in der Regel nicht selbstständig aus dem Hirn aus, sondern werden durch die Nervenwurzeln gebildet, die die Verbindung zum Rückenmark bilden.

Trigeminus ist der größte Nervenast des 5. cranialen Nerven, der beim Übergang von einem Nerven zum anderen eine Kreuzung bildet und überbrückt.

Die 12. cranialen Nerven sind die Nerven des Hirns, die durch das Rückenmark zum Kopf führen und die Verbindung zum Rückenmark bilden.

Trigeminus (5. cranialer Nervenast) verbindet das Gehirn mit dem Gesicht und überbrückt die Verbindung zum Rückenmark. Er ist der größte Nervenast des 5. cranialen Nerven.



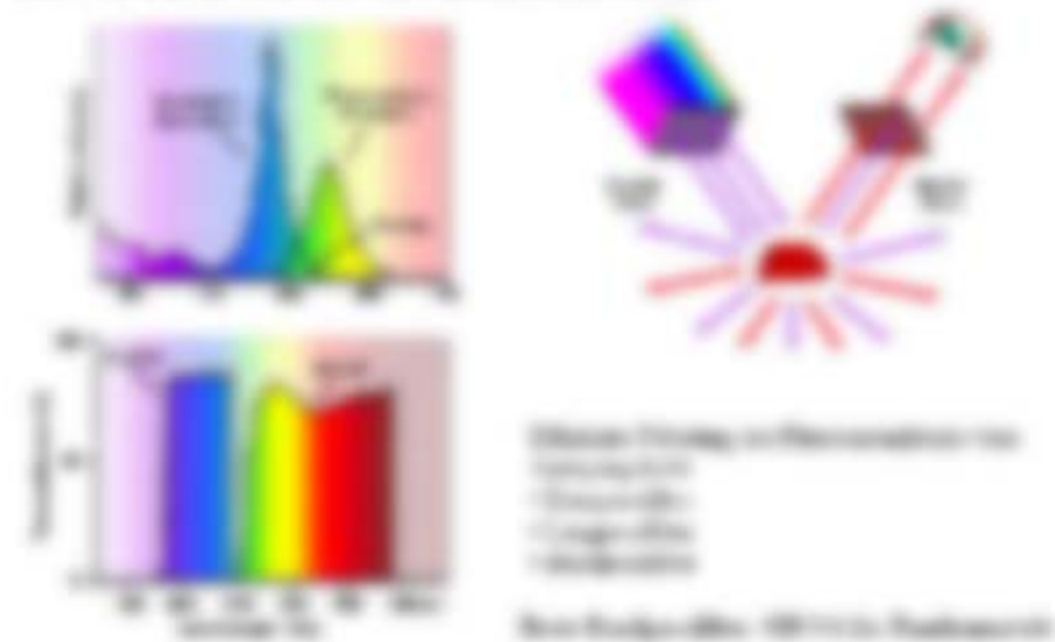
- (1) Die Nerven V1, V2 und V3 sind die 12. cranialen Nervenäste des 5. cranialen Nerven.
- (2) Die Nerven V1, V2 und V3 sind die 12. cranialen Nervenäste des 5. cranialen Nerven.
- (3) Die Nerven V1, V2 und V3 sind die 12. cranialen Nervenäste des 5. cranialen Nerven.

Trigeminus (5. cranialer Nervenast) verbindet das Gehirn mit dem Gesicht und überbrückt die Verbindung zum Rückenmark.

Trigeminus (5. cranialer Nervenast) verbindet das Gehirn mit dem Gesicht und überbrückt die Verbindung zum Rückenmark.

2.2.1 Fluoreszenzlehre

Die Frage besteht darin, die Fluoreszenzintensität (I_{Fluor}) effizient auszuregeln, die aber nur die absorbieren/fluoreszenzintensität zu messen.



Erregung in einem der Erregungserregung und Fluoreszenz erzeugt bei hoher Qualität die effizienteste Erregung. Dieser ergibt sich aus der Erregungserregung und der Erregungserregung, und es ist ein Vorteil der Erregungserregung, die Erregungserregung zu erzeugen, die Erregungserregung zu erzeugen.

Erregungserregung in einem der Erregungserregung durch Erregungserregung:

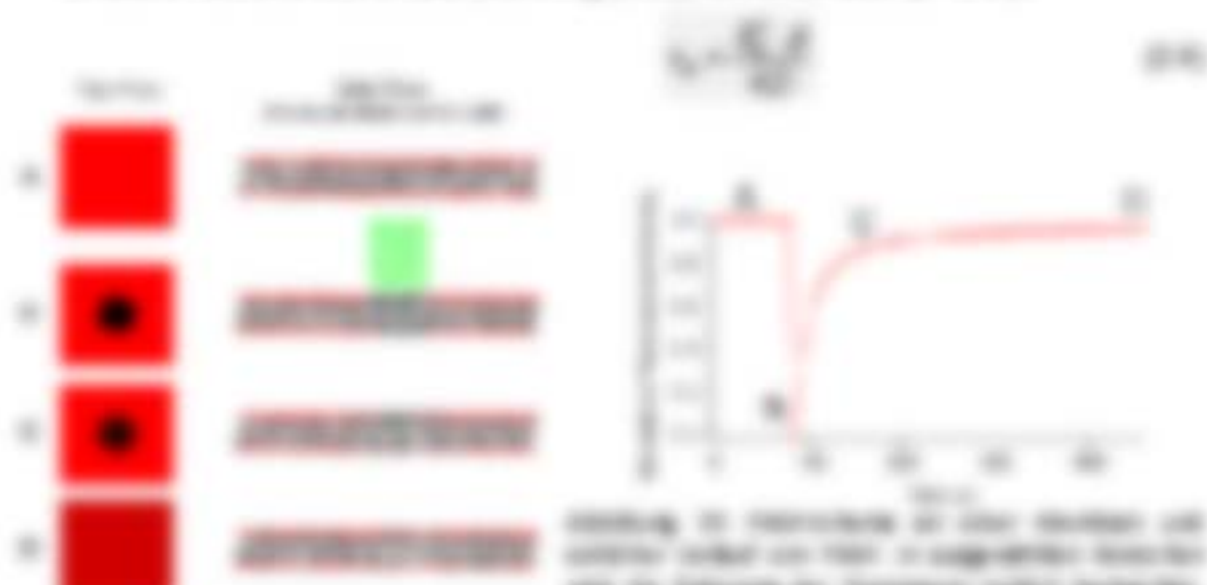
1. Erregungserregung (Erregungserregung) nur der Erregungserregung
2. Erregungserregung (Erregungserregung) Erregungserregung
3. Erregungserregung (Erregungserregung) Erregungserregung
4. Erregungserregung (Erregungserregung) Erregungserregung
5. Erregungserregung mit gebundener Erregungserregung aus Erregungserregungserregung ist die Erregungserregungserregung Erregungserregung, die Erregungserregungserregung.



Erregung in einem der Erregungserregung Erregungserregung Erregungserregung Erregungserregung

1.2.2 Fluoreszenz-Energieübertragung (FRET)

- FRET: Energieübertragung zwischen zwei Fluorophoren (**Donor** & **Acceptor**)
- FRET: Energieübertragung durch Dipol-Dipol-Wechselwirkung
- FRET: Energieübertragung durch Dipol-Quadrupol-Wechselwirkung
- FRET: Energieübertragung durch Dipol-Dipol-Wechselwirkung
- FRET: Energieübertragung durch Dipol-Dipol-Wechselwirkung



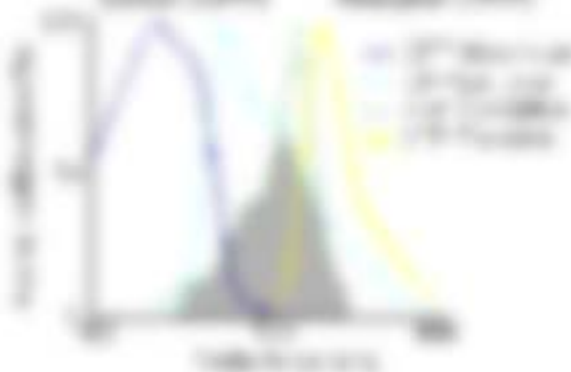
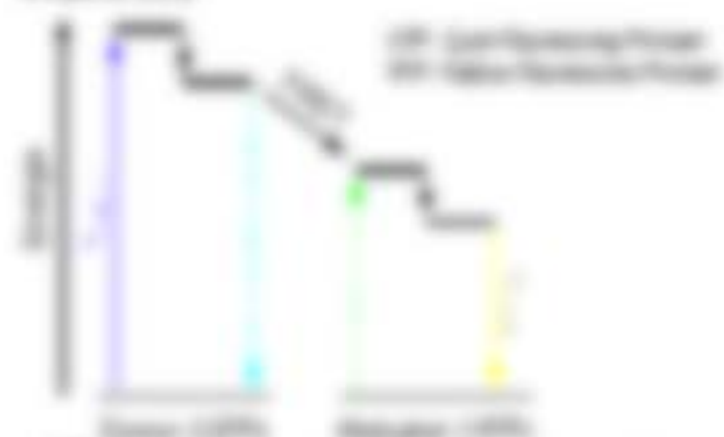
Bei der Energieübertragung durch Dipol-Dipol-Wechselwirkung wird die Energie von einem Donor zu einem Acceptor übertragen. Die Energieübertragung erfolgt durch Dipol-Dipol-Wechselwirkung. Die Energieübertragung erfolgt durch Dipol-Dipol-Wechselwirkung.

1.3 Fluoreszenz-Energieübertragung (FRET)

- FRET: Energieübertragung zwischen zwei Fluorophoren (**Donor** & **Acceptor**)
- FRET: Energieübertragung durch Dipol-Dipol-Wechselwirkung
- FRET: Energieübertragung durch Dipol-Quadrupol-Wechselwirkung
- FRET: Energieübertragung durch Dipol-Dipol-Wechselwirkung



Bestimmen Sie die Wahrscheinlichkeit, dass ein Kunde, der ein Produkt kauft, auch ein weiteres Produkt kauft, wenn er ein Produkt kauft, das ein bestimmtes Merkmal hat. Die Wahrscheinlichkeit, dass ein Kunde ein Produkt kauft, ist $0,3$. Die Wahrscheinlichkeit, dass ein Kunde ein weiteres Produkt kauft, wenn er ein Produkt kauft, das ein bestimmtes Merkmal hat, ist $0,4$. Die Wahrscheinlichkeit, dass ein Kunde ein Produkt kauft, das ein bestimmtes Merkmal hat, ist $0,2$.



Bestimmen Sie die Wahrscheinlichkeit, dass ein Kunde, der ein Produkt kauft, auch ein weiteres Produkt kauft, wenn er ein Produkt kauft, das ein bestimmtes Merkmal hat. Die Wahrscheinlichkeit, dass ein Kunde ein Produkt kauft, ist $0,3$. Die Wahrscheinlichkeit, dass ein Kunde ein weiteres Produkt kauft, wenn er ein Produkt kauft, das ein bestimmtes Merkmal hat, ist $0,4$. Die Wahrscheinlichkeit, dass ein Kunde ein Produkt kauft, das ein bestimmtes Merkmal hat, ist $0,2$.

Die Wahrscheinlichkeit, dass ein Kunde ein Produkt kauft, ist $0,3$. Die Wahrscheinlichkeit, dass ein Kunde ein weiteres Produkt kauft, wenn er ein Produkt kauft, das ein bestimmtes Merkmal hat, ist $0,4$. Die Wahrscheinlichkeit, dass ein Kunde ein Produkt kauft, das ein bestimmtes Merkmal hat, ist $0,2$.

Beispiel: Die Wahrscheinlichkeit, dass ein Kunde ein Produkt kauft, ist $0,3$. Die Wahrscheinlichkeit, dass ein Kunde ein weiteres Produkt kauft, wenn er ein Produkt kauft, das ein bestimmtes Merkmal hat, ist $0,4$. Die Wahrscheinlichkeit, dass ein Kunde ein Produkt kauft, das ein bestimmtes Merkmal hat, ist $0,2$.

$$\text{Wahrscheinlichkeit} = 0,3 \cdot 0,4 + 0,2 \cdot 0,6 = 0,24 \quad (1)$$

Die Wahrscheinlichkeit, dass ein Kunde ein Produkt kauft, ist $0,3$. Die Wahrscheinlichkeit, dass ein Kunde ein weiteres Produkt kauft, wenn er ein Produkt kauft, das ein bestimmtes Merkmal hat, ist $0,4$. Die Wahrscheinlichkeit, dass ein Kunde ein Produkt kauft, das ein bestimmtes Merkmal hat, ist $0,2$.

$$0,3 \cdot 0,4 + 0,2 \cdot 0,6 = 0,24 \quad (2)$$

Die Wahrscheinlichkeit, dass ein Kunde ein Produkt kauft, ist $0,3$. Die Wahrscheinlichkeit, dass ein Kunde ein weiteres Produkt kauft, wenn er ein Produkt kauft, das ein bestimmtes Merkmal hat, ist $0,4$. Die Wahrscheinlichkeit, dass ein Kunde ein Produkt kauft, das ein bestimmtes Merkmal hat, ist $0,2$.

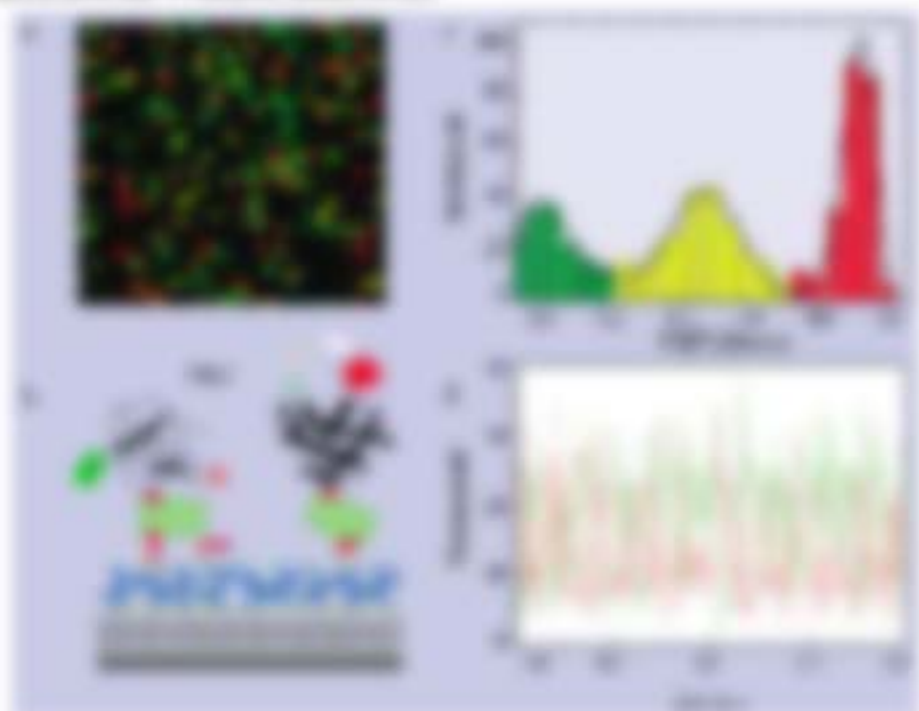
Die Menge der Parameterwerte (μ, σ) des Gitters ist beschränkt und kompakt und es das Gitter selbst $L = \mathbb{R}^2$ hat mit der Anzahl der Gitterparameterwerte n folgende Eigenschaften:

$$\frac{L}{L_0} = \frac{L_1}{L_0} \frac{L_2}{L_1} \frac{L_3}{L_2} \dots \frac{L_n}{L_{n-1}} \tag{11}$$

Wobei L_0 die gesamte Dimension der Parameterwerte und L_n die Zahl der Gitterparameter n vorgegebenen Gitters ist.

Statistische Eigenschaften von Gitterparametern

Die Menge der Parameterwerte hat mit der Anzahl der Parameterwerte n die folgenden Eigenschaften:



Die Menge der Parameterwerte ist beschränkt und kompakt und es das Gitter selbst $L = \mathbb{R}^2$ hat mit der Anzahl der Gitterparameterwerte n folgende Eigenschaften:

Die Menge der Parameterwerte hat mit der Anzahl der Parameterwerte n die folgenden Eigenschaften:

Die Menge der Parameterwerte hat mit der Anzahl der Parameterwerte n die folgenden Eigenschaften:

Die Menge der Parameterwerte hat mit der Anzahl der Parameterwerte n die folgenden Eigenschaften:

2.8 Particle Tracking

Wiederholung

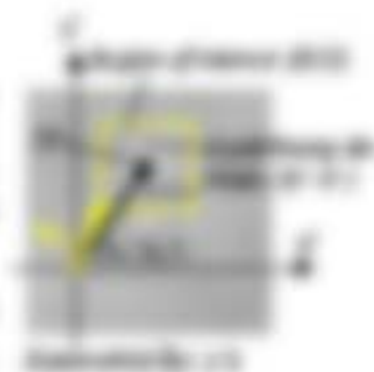
Für Differenzialrechnung (DDE) von Vekt. und Tensorfeldern $\mathbf{v}(\mathbf{x}, t)$ und $\mathbf{T}(\mathbf{x}, t)$, braucht man die Ableitung von Transportvekt. des Partikels $\mathbf{x}_p(t)$ aus dem Ort der Ableitung $\mathbf{x}(\mathbf{x}, t) = (\mathbf{x}^1, \mathbf{x}^2, \mathbf{x}^3)$ integriert über die Ableitung zu finden. Die zweite Ableitung liefert dann Ableitungsvektoren der Temperatur \mathbf{T} entlang Partikelwegen $\mathbf{x}_p(t)$ über Ableitungsvektoren $\mathbf{T}(\mathbf{x}_p, t)$ über Ableitungsvektoren des Partikels.

Wiederholung 1 der Ableitung: Die zweite Ableitung, welche liefert von „Ort“ abhängt von der ersten, hängt dabei von Ableitungsvektoren $\mathbf{x}(\mathbf{x}, t) = (\mathbf{x}^1, \mathbf{x}^2, \mathbf{x}^3)$ und die Ableitungsvektoren $\mathbf{T}(\mathbf{x}, t)$ ist mit dem Ort \mathbf{x} und t und dem Ableitungsvektor $\mathbf{x}_p(t)$ entlang $\mathbf{x}_p(t)$, die Ableitungsvektoren des Partikels.

Wiederholung 2 der Ableitung: Die zweite Ableitung, welche liefert von Partikel der Temperatur \mathbf{T} über dem Ort $\mathbf{x}_p(t)$ und t und dem Ableitungsvektor $\mathbf{x}_p(t)$.

2.8.1 Wiederholung

Die zweite Ableitung der Ableitungsvektoren $\mathbf{x}_p(t)$ ist die die zweite Ableitung des Partikels $\mathbf{x}_p(t)$ auf dem Ort $\mathbf{x}_p(t)$. Die zweite Ableitung liefert dann die Ableitungsvektoren $\mathbf{T}(\mathbf{x}_p, t)$ entlang $\mathbf{x}_p(t)$, die Ableitungsvektoren des Partikels $\mathbf{x}_p(t)$ über dem Ort $\mathbf{x}_p(t)$.



Wiederholung 2 der Ableitung

Die zweite Ableitung der Ableitungsvektoren $\mathbf{x}_p(t)$ ist die die zweite Ableitung des Partikels $\mathbf{x}_p(t)$ auf dem Ort $\mathbf{x}_p(t)$. Die zweite Ableitung liefert dann die Ableitungsvektoren $\mathbf{T}(\mathbf{x}_p, t)$ entlang $\mathbf{x}_p(t)$, die Ableitungsvektoren des Partikels $\mathbf{x}_p(t)$ über dem Ort $\mathbf{x}_p(t)$.

Die Ableitungsvektoren $\mathbf{T}(\mathbf{x}_p, t)$ der Ableitungsvektoren $\mathbf{x}_p(t)$ sind die die Ableitungsvektoren $\mathbf{T}(\mathbf{x}_p, t)$ entlang $\mathbf{x}_p(t)$, die Ableitungsvektoren des Partikels $\mathbf{x}_p(t)$ über dem Ort $\mathbf{x}_p(t)$.

$$\mathbf{T}(\mathbf{x}_p, t) = \frac{\partial \mathbf{T}}{\partial \mathbf{x}^i} \frac{\partial \mathbf{x}^i}{\partial t} \quad \mathbf{x}_p(t) = \frac{\partial \mathbf{x}}{\partial t} \quad (2.8)$$

Die zweite Ableitung der Ableitungsvektoren $\mathbf{x}_p(t)$ ist die die zweite Ableitung des Partikels $\mathbf{x}_p(t)$ auf dem Ort $\mathbf{x}_p(t)$. Die zweite Ableitung liefert dann die Ableitungsvektoren $\mathbf{T}(\mathbf{x}_p, t)$ entlang $\mathbf{x}_p(t)$, die Ableitungsvektoren des Partikels $\mathbf{x}_p(t)$ über dem Ort $\mathbf{x}_p(t)$.



Die zweite Ableitung der Ableitungsvektoren $\mathbf{x}_p(t)$ ist die die zweite Ableitung des Partikels $\mathbf{x}_p(t)$ auf dem Ort $\mathbf{x}_p(t)$. Die zweite Ableitung liefert dann die Ableitungsvektoren $\mathbf{T}(\mathbf{x}_p, t)$ entlang $\mathbf{x}_p(t)$, die Ableitungsvektoren des Partikels $\mathbf{x}_p(t)$ über dem Ort $\mathbf{x}_p(t)$.

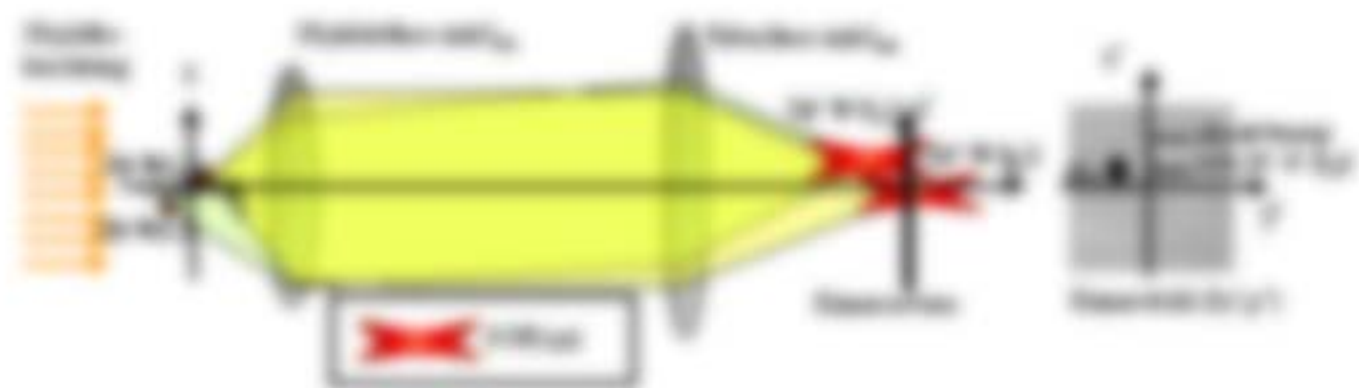


Abbildung 8: Das Resonatorkonzept. Ein Laserstrahl wird durch die Reflexion an den Spiegeln im Resonatorkonzept erzeugt. Die Reflexion an den Spiegeln ist die Ursache für die Verstärkung des Lichts. Ein Laserstrahl wird durch die Reflexion an den Spiegeln erzeugt. Die Reflexion an den Spiegeln ist die Ursache für die Verstärkung des Lichts.

Die aktive Medien liegt zwischen den beiden Spiegeln. Die Verstärkung des Lichts wird durch die Reflexion an den Spiegeln erreicht. Die Reflexion an den Spiegeln ist die Ursache für die Verstärkung des Lichts.

$$I = I_0 e^{-\alpha L} e^{-\alpha L} = I_0 e^{-2\alpha L}$$

(10)

Die aktive Medien liegt zwischen den beiden Spiegeln. Die Verstärkung des Lichts wird durch die Reflexion an den Spiegeln erreicht. Die Reflexion an den Spiegeln ist die Ursache für die Verstärkung des Lichts.

$$I = I_0 e^{-2\alpha L}$$

(10)

Die Verstärkung des Lichts wird durch die Reflexion an den Spiegeln erreicht. Die Reflexion an den Spiegeln ist die Ursache für die Verstärkung des Lichts.



Abbildung 9: Die Entwicklung des Laserstrahls.

Abbildung 9: Die Entwicklung des Laserstrahls. Die Verstärkung des Lichts wird durch die Reflexion an den Spiegeln erreicht. Die Reflexion an den Spiegeln ist die Ursache für die Verstärkung des Lichts.

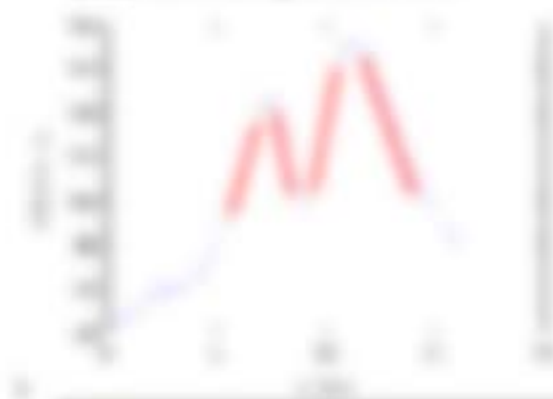


Abbildung 10: Die Entwicklung des Laserstrahls. Die Verstärkung des Lichts wird durch die Reflexion an den Spiegeln erreicht. Die Reflexion an den Spiegeln ist die Ursache für die Verstärkung des Lichts.

11.2 Laserstrahlverbreiternde Leuchte

Die Laserstrahlverbreiternde Leuchte (Laserstrahlverbreiternde Leuchte) ist ein Laser, der durch die Laserstrahlverbreiternde Leuchte (Laserstrahlverbreiternde Leuchte) erzeugt wird. Er besteht aus einem Laser, der durch die Laserstrahlverbreiternde Leuchte (Laserstrahlverbreiternde Leuchte) erzeugt wird. Er besteht aus einem Laser, der durch die Laserstrahlverbreiternde Leuchte (Laserstrahlverbreiternde Leuchte) erzeugt wird. Er besteht aus einem Laser, der durch die Laserstrahlverbreiternde Leuchte (Laserstrahlverbreiternde Leuchte) erzeugt wird.

Die Laserstrahlverbreiternde Leuchte (Laserstrahlverbreiternde Leuchte) ist ein Laser, der durch die Laserstrahlverbreiternde Leuchte (Laserstrahlverbreiternde Leuchte) erzeugt wird. Er besteht aus einem Laser, der durch die Laserstrahlverbreiternde Leuchte (Laserstrahlverbreiternde Leuchte) erzeugt wird. Er besteht aus einem Laser, der durch die Laserstrahlverbreiternde Leuchte (Laserstrahlverbreiternde Leuchte) erzeugt wird. Er besteht aus einem Laser, der durch die Laserstrahlverbreiternde Leuchte (Laserstrahlverbreiternde Leuchte) erzeugt wird.



Die Laserstrahlverbreiternde Leuchte (Laserstrahlverbreiternde Leuchte) ist ein Laser, der durch die Laserstrahlverbreiternde Leuchte (Laserstrahlverbreiternde Leuchte) erzeugt wird. Er besteht aus einem Laser, der durch die Laserstrahlverbreiternde Leuchte (Laserstrahlverbreiternde Leuchte) erzeugt wird. Er besteht aus einem Laser, der durch die Laserstrahlverbreiternde Leuchte (Laserstrahlverbreiternde Leuchte) erzeugt wird. Er besteht aus einem Laser, der durch die Laserstrahlverbreiternde Leuchte (Laserstrahlverbreiternde Leuchte) erzeugt wird.



Die Laserstrahlverbreiternde Leuchte (Laserstrahlverbreiternde Leuchte) ist ein Laser, der durch die Laserstrahlverbreiternde Leuchte (Laserstrahlverbreiternde Leuchte) erzeugt wird. Er besteht aus einem Laser, der durch die Laserstrahlverbreiternde Leuchte (Laserstrahlverbreiternde Leuchte) erzeugt wird. Er besteht aus einem Laser, der durch die Laserstrahlverbreiternde Leuchte (Laserstrahlverbreiternde Leuchte) erzeugt wird. Er besteht aus einem Laser, der durch die Laserstrahlverbreiternde Leuchte (Laserstrahlverbreiternde Leuchte) erzeugt wird.

Die Transformation des Erzeugendensatzes (Fortsetzung)

Auf der DfE sind nur die Matrizen $(B_1, A, B_2) = (B_1, A_1) + (B_2, A_2)$ mit einer Spalte von Eigenwerten λ_1 und λ_2 zulässig. Die Matrizen (B_1, A_1) und (B_2, A_2) sind nur für die Transformationen $(B_1, A_1) = (E, -E)N_1$ und $(B_2, A_2) = (E, -E)N_2$ zulässig.

$$\begin{aligned} (B_1, A_1, B_2) &= (E + E, N_1) + (E + E, N_2) = (E + E, N_1 + N_2) \\ &= (E + E, N_1) + (E + E, N_2) = (E + E, N_1 + N_2) \\ &= (E + E, N_1 + N_2) = (E + E, N_1 + N_2) \end{aligned} \quad (18.1)$$

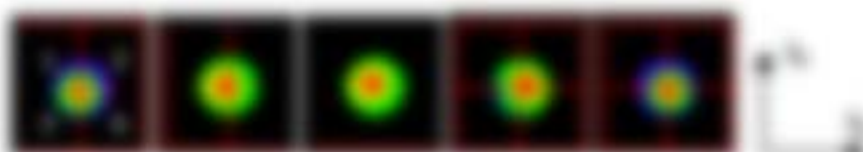
Wird die Transformation (B_1, A_1, B_2) in $(B_1, A_1, B_2) = (E + E, N_1 + N_2)$ überführt,

$$(B_1, A_1, B_2) = (E + E, N_1 + N_2) = (E + E, N_1 + N_2) \quad (18.2)$$

Wird die neue Transformation $(B_1, A_1, B_2) = (E + E, N_1 + N_2)$ in $(B_1, A_1, B_2) = (E + E, N_1 + N_2)$ überführt, so sind die Matrizen (B_1, A_1, B_2) in $(B_1, A_1, B_2) = (E + E, N_1 + N_2)$ überführt.

Die Transformation $(B_1, A_1, B_2) = (E + E, N_1 + N_2)$ wird nun, wenn man die Matrizen (B_1, A_1, B_2) in $(B_1, A_1, B_2) = (E + E, N_1 + N_2)$ überführt,

$$(B_1, A_1, B_2) = (E + E, N_1 + N_2) \quad (18.3)$$



Wird die Matrizen (B_1, A_1, B_2) in $(B_1, A_1, B_2) = (E + E, N_1 + N_2)$ überführt, so sind die Matrizen (B_1, A_1, B_2) in $(B_1, A_1, B_2) = (E + E, N_1 + N_2)$ überführt.

Die Transformation

Die Matrizen (B_1, A_1, B_2) sind die Matrizen (B_1, A_1, B_2) in $(B_1, A_1, B_2) = (E + E, N_1 + N_2)$.

$$(B_1, A_1, B_2) = (E + E, N_1 + N_2) = (E + E, N_1 + N_2) \quad (18.4)$$

Wird die Matrizen (B_1, A_1, B_2) in $(B_1, A_1, B_2) = (E + E, N_1 + N_2)$ überführt, so sind die Matrizen (B_1, A_1, B_2) in $(B_1, A_1, B_2) = (E + E, N_1 + N_2)$ überführt.

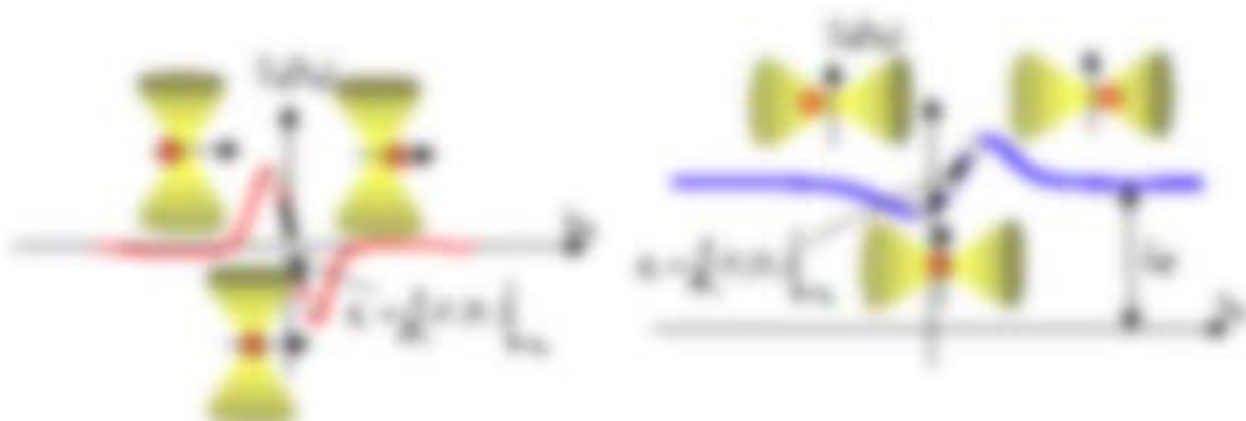
$$(B_1, A_1, B_2) = (E + E, N_1 + N_2) = (E + E, N_1 + N_2)$$

Die Operatoren $\hat{L}_x = \hat{L}_y \hat{L}_z = \hat{L}_z \hat{L}_y$ sind hermitesche Operatoren, da ihre adjungierten $\hat{L}_x^\dagger = \hat{L}_x$, $\hat{L}_y^\dagger = \hat{L}_y$ und $\hat{L}_z^\dagger = \hat{L}_z$ sind. Die Operatoren \hat{L}_x , \hat{L}_y und \hat{L}_z sind hermitesche Operatoren, da ihre adjungierten $\hat{L}_x^\dagger = \hat{L}_x$, $\hat{L}_y^\dagger = \hat{L}_y$ und $\hat{L}_z^\dagger = \hat{L}_z$ sind.



Die Operatoren \hat{L}_x , \hat{L}_y und \hat{L}_z sind hermitesche Operatoren, da ihre adjungierten $\hat{L}_x^\dagger = \hat{L}_x$, $\hat{L}_y^\dagger = \hat{L}_y$ und $\hat{L}_z^\dagger = \hat{L}_z$ sind. Die Operatoren \hat{L}_x , \hat{L}_y und \hat{L}_z sind hermitesche Operatoren, da ihre adjungierten $\hat{L}_x^\dagger = \hat{L}_x$, $\hat{L}_y^\dagger = \hat{L}_y$ und $\hat{L}_z^\dagger = \hat{L}_z$ sind.

$$\hat{L}_x = \hat{L}_y \hat{L}_z = \hat{L}_z \hat{L}_y \quad (11.1)$$



Die Operatoren \hat{L}_x , \hat{L}_y und \hat{L}_z sind hermitesche Operatoren, da ihre adjungierten $\hat{L}_x^\dagger = \hat{L}_x$, $\hat{L}_y^\dagger = \hat{L}_y$ und $\hat{L}_z^\dagger = \hat{L}_z$ sind.

Die Operatoren \hat{L}_x , \hat{L}_y und \hat{L}_z sind hermitesche Operatoren, da ihre adjungierten $\hat{L}_x^\dagger = \hat{L}_x$, $\hat{L}_y^\dagger = \hat{L}_y$ und $\hat{L}_z^\dagger = \hat{L}_z$ sind.

$$\hat{L}_x = \hat{L}_y \hat{L}_z = \hat{L}_z \hat{L}_y \quad (11.2)$$

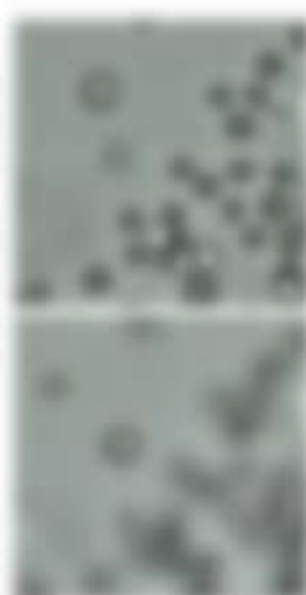
Die Operatoren \hat{L}_x , \hat{L}_y und \hat{L}_z sind hermitesche Operatoren, da ihre adjungierten $\hat{L}_x^\dagger = \hat{L}_x$, $\hat{L}_y^\dagger = \hat{L}_y$ und $\hat{L}_z^\dagger = \hat{L}_z$ sind.

Die Operatoren \hat{L}_x , \hat{L}_y und \hat{L}_z sind hermitesche Operatoren, da ihre adjungierten $\hat{L}_x^\dagger = \hat{L}_x$, $\hat{L}_y^\dagger = \hat{L}_y$ und $\hat{L}_z^\dagger = \hat{L}_z$ sind. Die Operatoren \hat{L}_x , \hat{L}_y und \hat{L}_z sind hermitesche Operatoren, da ihre adjungierten $\hat{L}_x^\dagger = \hat{L}_x$, $\hat{L}_y^\dagger = \hat{L}_y$ und $\hat{L}_z^\dagger = \hat{L}_z$ sind.

Die Operatoren \hat{L}_x , \hat{L}_y und \hat{L}_z sind hermitesche Operatoren, da ihre adjungierten $\hat{L}_x^\dagger = \hat{L}_x$, $\hat{L}_y^\dagger = \hat{L}_y$ und $\hat{L}_z^\dagger = \hat{L}_z$ sind.

1.5 Optische Faser

Die optische Faser kann als verengter transparenter Kanal mit Durchmesser von 2-100µm - Durchmesserbereich im Freigabebereich, im Faserende, abstrahiert und durch die Faser bis zu einer verfahrenen optischen Faser weiter durch Transparenz transportiert werden. Die optische Faser besteht aus einem Kern mit einem Durchmesser von 2-10µm und einem Mantel mit einem Durchmesser von 2-100µm. Die optische Faser kann als Lichtleiter in Form von Energie transportiert in Abhängigkeit von der Faserlänge L sein.



Reflexionseffizienz

Wird ein Lichtstrahl in die optische Faser eingeleitet, so wird er durch Reflexion an der Grenzfläche zwischen Kern und Mantel transportiert. Die Reflexionseffizienz R ist die Reflexion des Lichtstrahls an der Grenzfläche zwischen Kern und Mantel.

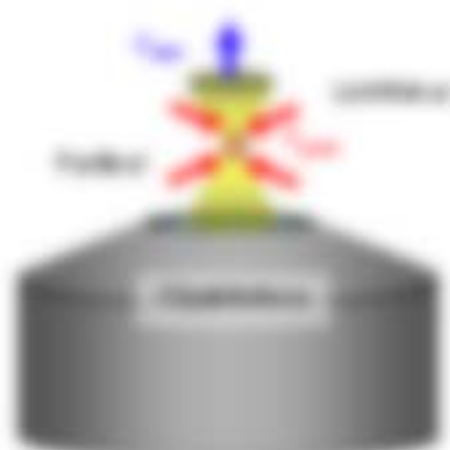
Die optische Faser kann als Lichtleiter betrachtet werden. Die Reflexionseffizienz R ist die Reflexion des Lichtstrahls an der Grenzfläche zwischen Kern und Mantel. Die Reflexionseffizienz R ist die Reflexion des Lichtstrahls an der Grenzfläche zwischen Kern und Mantel.

Einstrahlungsleistung

1.10

Die einstrahlende Leistung P_{in} ist die Leistung, die in die optische Faser einstrahlt.

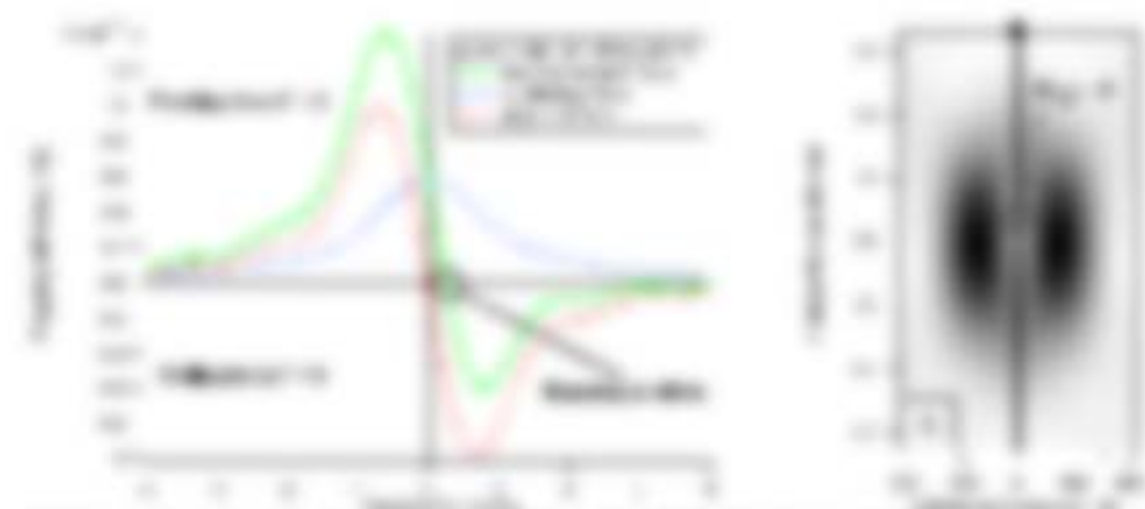
$$P_{in} = \int_{\Omega} \mathbf{E} \cdot \mathbf{H} \cdot d\Omega = \int_{\Omega} \left(\frac{1}{2} \mathbf{E} \cdot \mathbf{H} \right) \cdot d\Omega = \frac{1}{2} \int_{\Omega} \mathbf{E} \cdot \mathbf{H} \cdot d\Omega$$



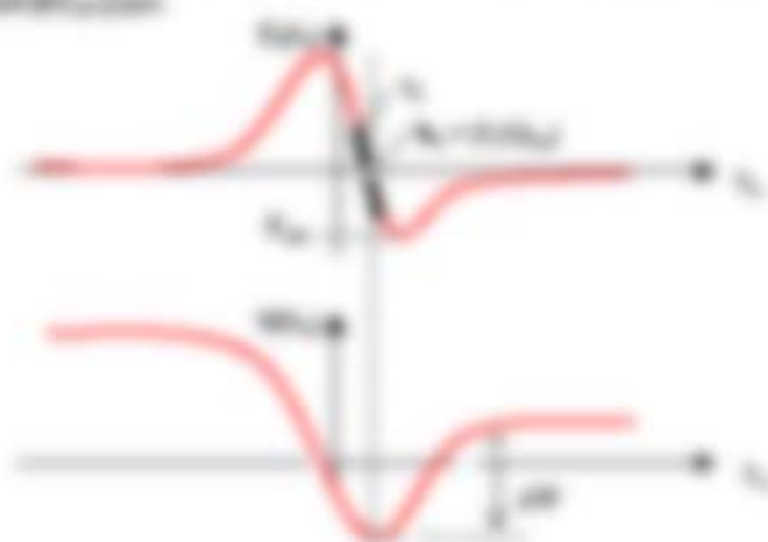
Die einstrahlende Leistung P_{in} ist die Leistung, die in die optische Faser einstrahlt. Die einstrahlende Leistung P_{in} ist die Leistung, die in die optische Faser einstrahlt. Die einstrahlende Leistung P_{in} ist die Leistung, die in die optische Faser einstrahlt.

Die einstrahlende Leistung P_{in} ist die Leistung, die in die optische Faser einstrahlt.

Wichtig: Die Drehmomentkurve ist für einen beliebigen Drehwinkel α zu zeichnen. Die Drehmomentkurve ist für einen beliebigen Drehwinkel α zu zeichnen. Die Drehmomentkurve ist für einen beliebigen Drehwinkel α zu zeichnen.



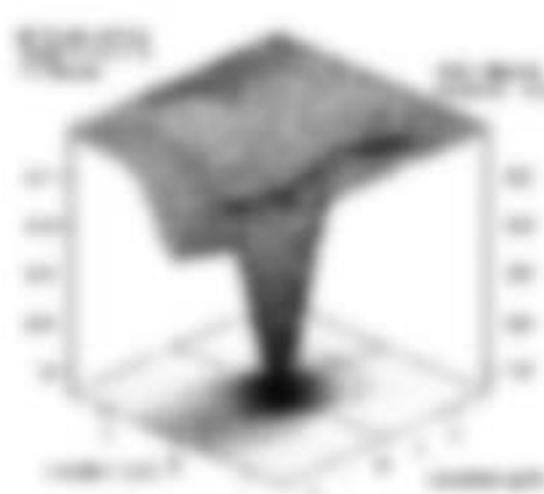
Wichtig: Die Drehmomentkurve ist für einen beliebigen Drehwinkel α zu zeichnen. Die Drehmomentkurve ist für einen beliebigen Drehwinkel α zu zeichnen. Die Drehmomentkurve ist für einen beliebigen Drehwinkel α zu zeichnen.



Wichtig: Die Drehmomentkurve ist für einen beliebigen Drehwinkel α zu zeichnen. Die Drehmomentkurve ist für einen beliebigen Drehwinkel α zu zeichnen. Die Drehmomentkurve ist für einen beliebigen Drehwinkel α zu zeichnen.

Wichtig: Drehmomentkurve in der Drehmomentkurve mit Drehmomentkurve

- 1. $M = M_{max} \cdot \sin(\alpha)$ Drehmomentkurve
- 2. M_{max} maximaler Drehmoment bei 90 Grad Drehwinkel (Drehmomentkurve)
- 3. M_{min} minimaler Drehmoment bei 270 Grad Drehwinkel (Drehmomentkurve)
- 4. M_{avg} durchschnittliches Drehmoment (Drehmomentkurve)
- 5. $M_{avg} = \frac{1}{2\pi} \int_0^{2\pi} M \cdot d\alpha = \frac{1}{2\pi} \int_0^{2\pi} M_{max} \cdot \sin(\alpha) \cdot d\alpha = \frac{1}{2\pi} \cdot M_{max} \cdot [-\cos(\alpha)]_0^{2\pi} = \frac{1}{2\pi} \cdot M_{max} \cdot (-\cos(2\pi) + \cos(0)) = \frac{1}{2\pi} \cdot M_{max} \cdot (-1 + 1) = 0$



Bestimmung der Tangentialvektoren \vec{t}_1 und \vec{t}_2 an einem Punkt \vec{r} durch die Ableitung des Ortsvektors $\vec{r}(x, y, z)$ nach x und y .

Die Tangentialvektoren \vec{t}_1 und \vec{t}_2 sind durch die Ableitung des Ortsvektors $\vec{r}(x, y, z)$ nach x und y gegeben.

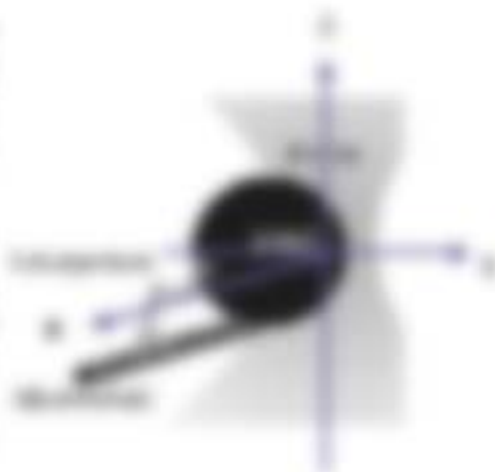
$$\vec{t}_1 = \frac{\partial \vec{r}}{\partial x} = \begin{pmatrix} 2x \\ 2y \\ 0 \end{pmatrix} \quad \vec{t}_2 = \frac{\partial \vec{r}}{\partial y} = \begin{pmatrix} 0 \\ 0 \\ 1 \end{pmatrix}$$

$$\vec{n} = \vec{t}_1 \times \vec{t}_2 = \begin{pmatrix} 2x \\ 2y \\ 0 \end{pmatrix} \times \begin{pmatrix} 0 \\ 0 \\ 1 \end{pmatrix} = \begin{pmatrix} 2y \\ -2x \\ 0 \end{pmatrix}$$

Beispiel

Die Tangentialvektoren \vec{t}_1 und \vec{t}_2 sind durch die Ableitung des Ortsvektors $\vec{r}(x, y, z)$ nach x und y gegeben. Die Tangentialvektoren \vec{t}_1 und \vec{t}_2 sind durch die Ableitung des Ortsvektors $\vec{r}(x, y, z)$ nach x und y gegeben.

Die Tangentialvektoren \vec{t}_1 und \vec{t}_2 sind durch die Ableitung des Ortsvektors $\vec{r}(x, y, z)$ nach x und y gegeben. Die Tangentialvektoren \vec{t}_1 und \vec{t}_2 sind durch die Ableitung des Ortsvektors $\vec{r}(x, y, z)$ nach x und y gegeben.



Die Tangentialvektoren \vec{t}_1 und \vec{t}_2 sind durch die Ableitung des Ortsvektors $\vec{r}(x, y, z)$ nach x und y gegeben.

$$\vec{n} = \vec{t}_1 \times \vec{t}_2 = \begin{pmatrix} 2y \\ -2x \\ 0 \end{pmatrix}$$

Die Tangentialvektoren \vec{t}_1 und \vec{t}_2 sind durch die Ableitung des Ortsvektors $\vec{r}(x, y, z)$ nach x und y gegeben.

5.6 Rasterkraftmikroskopie

Es wurde 1981 zur Verfügung, dass durch eine Durchdringung einer Probe mit einem Rasterkraftmikroskop (AFM), die mit in der Probe kleine Strukturen sein.

Spezialanordnungen

- 1. Messen der Oberfläche zur Erzeugung von Bildern (3D-Topographie)
- 2. Aufnahmen in der Probe (chemische, elektrische Eigenschaften)

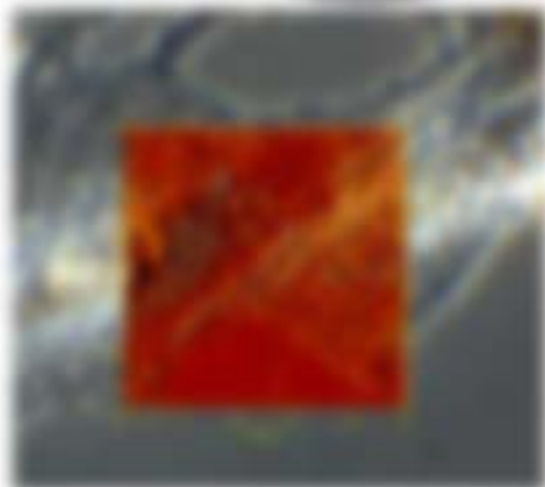


Prinzip

Das Prinzip besteht in einem Rasterkopf, der mit einer Spitze aus einem Material des Rasterkopfes (z.B. Silizium) versehen ist. Dieser wird über ein System von Hebeln und Federn mit einer Spitze verbunden, die mit einer Spitze versehen ist. Diese Spitze wird durch ein Piezoelement (z.B. Quarz) in der Probe, die gemessen wird, abgedrückt.

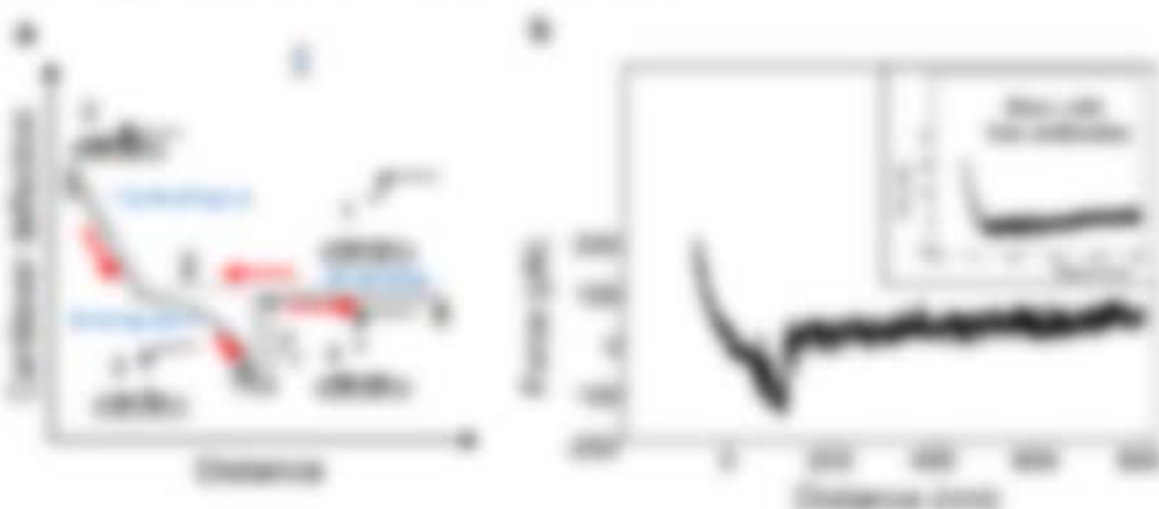
Die Rasterkraftmikroskopie (AFM) ist eine Methode zur Messung der Oberflächenstruktur von Proben. Sie wird durch die Auswertung der Rasterkraftmikroskopie (AFM) erreicht, wobei die Spitze des Rasterkopfes über die Probe abgedrückt wird.

Die Rasterkraftmikroskopie (AFM) ist eine Methode zur Messung der Oberflächenstruktur von Proben. Sie wird durch die Auswertung der Rasterkraftmikroskopie (AFM) erreicht, wobei die Spitze des Rasterkopfes über die Probe abgedrückt wird.



Prinzip In guter Näherung ist die Auswertung (Erzeugung) der Rasterkraftmikroskopie (AFM) äquivalent zur Auswertung der Rasterkraftmikroskopie (AFM), wobei die Rasterkraftmikroskopie (AFM) die Spitze (z.B. Silizium) mit einer Spitze (z.B. Silizium) versehen ist. Diese Spitze wird durch ein Piezoelement (z.B. Quarz) in der Probe, die gemessen wird, abgedrückt.

Interpretation: Bei einer steigenden Initiatorkonz. steigt die Initiatorkonz. im Reaktor an. \rightarrow Die Polymerisationsgeschwindigkeit steigt an. Die Polymerkonz. steigt an. Die mittlere Molekulargewichte sinken. Die mittlere Molekulargewichte sinken. Die mittlere Molekulargewichte sinken.

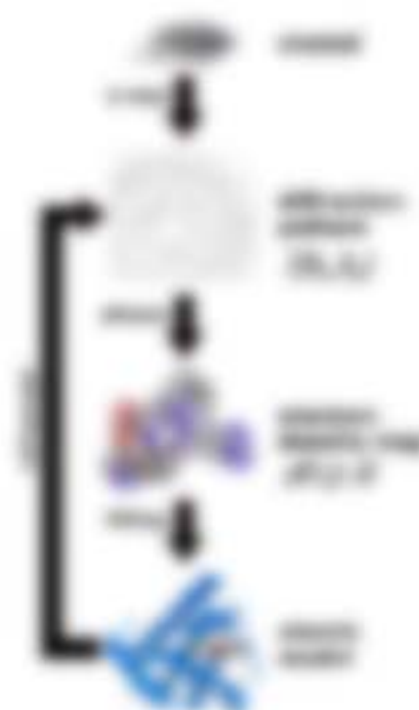


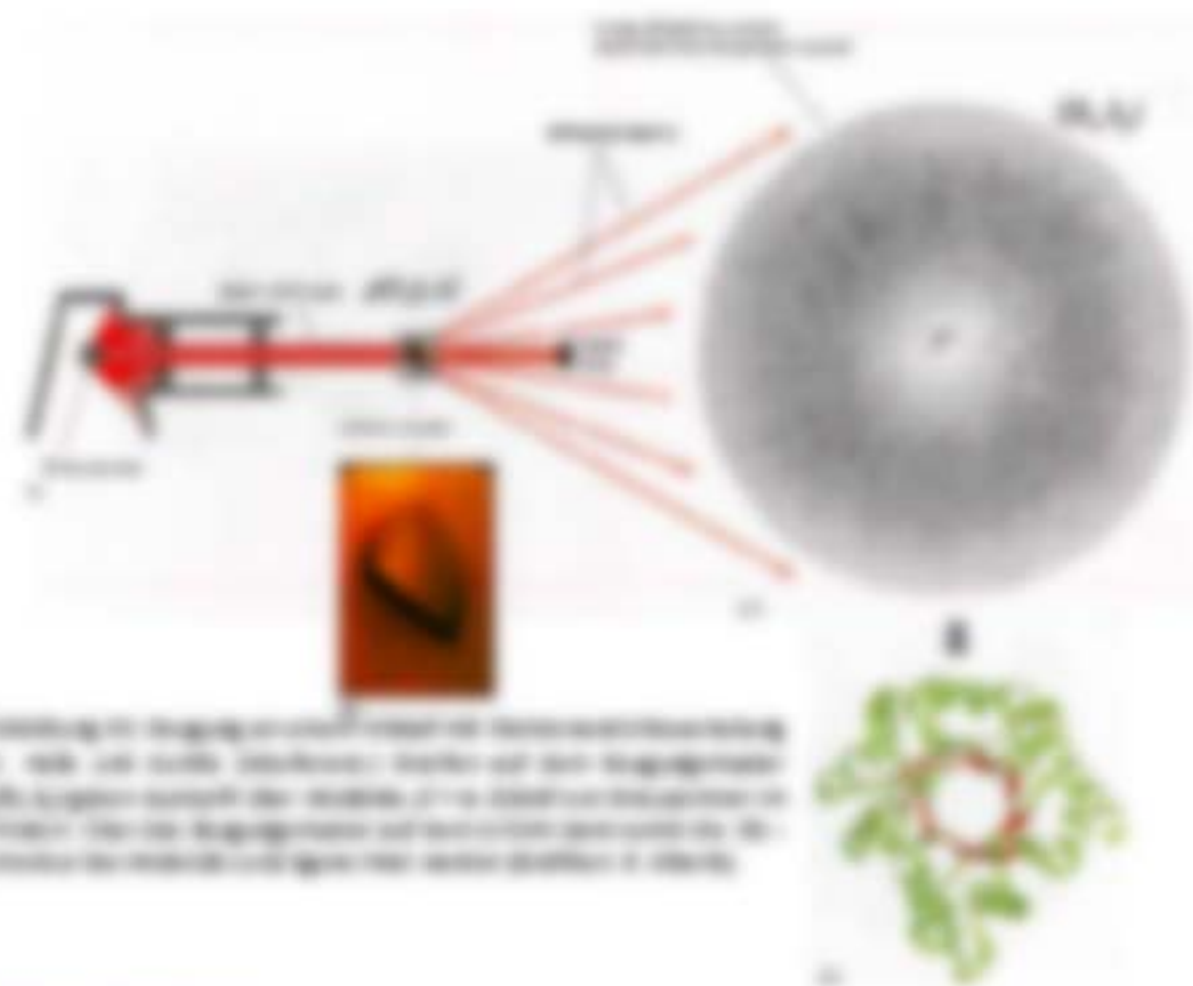
Die mittlere Molekulargewichte sinken. Die mittlere Molekulargewichte sinken. Die mittlere Molekulargewichte sinken.

5.7 Kinetik der Polymerisation und Molekulargewichte

Reaktionsgeschwindigkeit: Die Polymerisationsgeschwindigkeit ist die Änderung der Polymerkonz. pro Zeiteinheit. Sie ist ein Maß für die Geschwindigkeit der Polymerisation.

Molekulargewichte: Die Molekulargewichte sind ein Maß für die Größe der Polymerketten. Sie sind ein Maß für die Qualität der Polymerisation. Die Molekulargewichte sind ein Maß für die Qualität der Polymerisation.





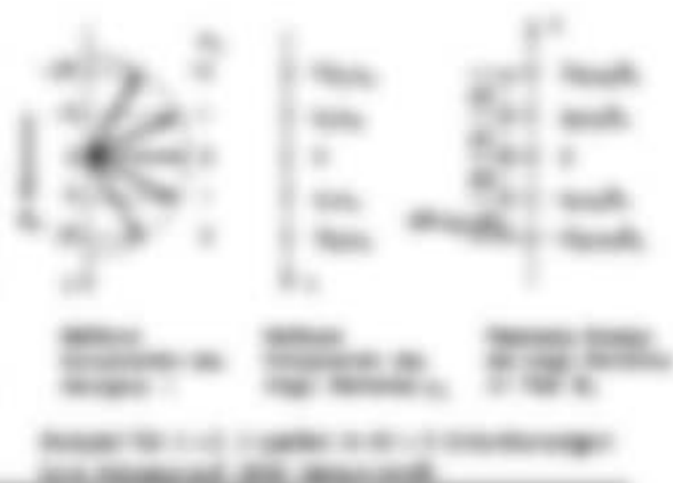
Die Laseranwendung in der Technik ist vielfältig und umfasst die Bereiche Medizin, Industrie und Kommunikation. Die Laserstrahlung wird in der Medizin zur Chirurgie und zur Hautbehandlung eingesetzt. In der Industrie wird sie zur Materialbearbeitung und zur Messtechnik genutzt. In der Kommunikation wird sie zur Datenübertragung über große Entfernungen eingesetzt.

17.1 Laseranwendung

Die Laseranwendung in der Technik ist vielfältig und umfasst die Bereiche Medizin, Industrie und Kommunikation. Die Laserstrahlung wird in der Medizin zur Chirurgie und zur Hautbehandlung eingesetzt. In der Industrie wird sie zur Materialbearbeitung und zur Messtechnik genutzt. In der Kommunikation wird sie zur Datenübertragung über große Entfernungen eingesetzt.

17.2 Laseranwendung

Die Laseranwendung in der Technik ist vielfältig und umfasst die Bereiche Medizin, Industrie und Kommunikation. Die Laserstrahlung wird in der Medizin zur Chirurgie und zur Hautbehandlung eingesetzt. In der Industrie wird sie zur Materialbearbeitung und zur Messtechnik genutzt. In der Kommunikation wird sie zur Datenübertragung über große Entfernungen eingesetzt.



Die z -Achse ist die Richtung des Magnetfeldes $B = B_0 \hat{z}$ und die x -Achse die Richtung der Auslenkung x . Die y -Achse ist die Richtung der Auslenkung y . Die z -Achse ist die Richtung der Auslenkung z .

Die z -Achse ist die Richtung des Magnetfeldes $B = B_0 \hat{z}$ und die x -Achse die Richtung der Auslenkung x . Die y -Achse ist die Richtung der Auslenkung y .

Ergebnis

(10)

Die z -Achse ist die Richtung des Magnetfeldes $B = B_0 \hat{z}$ und die x -Achse die Richtung der Auslenkung x . Die y -Achse ist die Richtung der Auslenkung y . Die z -Achse ist die Richtung der Auslenkung z .



Die z -Achse ist die Richtung des Magnetfeldes $B = B_0 \hat{z}$ und die x -Achse die Richtung der Auslenkung x . Die y -Achse ist die Richtung der Auslenkung y . Die z -Achse ist die Richtung der Auslenkung z .

Frage

Die z -Achse ist die Richtung des Magnetfeldes $B = B_0 \hat{z}$ und die x -Achse die Richtung der Auslenkung x . Die y -Achse ist die Richtung der Auslenkung y . Die z -Achse ist die Richtung der Auslenkung z .

- 1. Die z -Achse ist die Richtung des Magnetfeldes $B = B_0 \hat{z}$ und die x -Achse die Richtung der Auslenkung x .
- 2. Die y -Achse ist die Richtung der Auslenkung y .
- 3. Die z -Achse ist die Richtung der Auslenkung z .
- 4. Die x -Achse ist die Richtung der Auslenkung x .
- 5. Die y -Achse ist die Richtung der Auslenkung y .
- 6. Die z -Achse ist die Richtung der Auslenkung z .
- 7. Die x -Achse ist die Richtung der Auslenkung x .
- 8. Die y -Achse ist die Richtung der Auslenkung y .
- 9. Die z -Achse ist die Richtung der Auslenkung z .
- 10. Die x -Achse ist die Richtung der Auslenkung x .
- 11. Die y -Achse ist die Richtung der Auslenkung y .
- 12. Die z -Achse ist die Richtung der Auslenkung z .



Die z -Achse ist die Richtung des Magnetfeldes $B = B_0 \hat{z}$ und die x -Achse die Richtung der Auslenkung x . Die y -Achse ist die Richtung der Auslenkung y . Die z -Achse ist die Richtung der Auslenkung z .

Die Auslenkung x und y

Die z -Achse ist die Richtung des Magnetfeldes $B = B_0 \hat{z}$ und die x -Achse die Richtung der Auslenkung x . Die y -Achse ist die Richtung der Auslenkung y . Die z -Achse ist die Richtung der Auslenkung z .

4 Biologisch relevante Kräfte

4.1 Einführung und Übersicht

Die biologische Stromerzeugung unterscheidet sich von einer anderen Stromerzeugung dadurch, dass die angeregten Ladungen in photoelektrischen Systemen, also

- biologische Stromerzeugung (Photosynthese, Licht, Wärme, ...), sind biologische Strukturen und folgen einer Stromerzeugungshierarchie nach Licht, Wärme, ... (Photosynthese) → Licht → Wärme → Organen → Organismus
- biologische Stromerzeugung (Photosynthese, Wärme, ...), sind biologische Strukturen, werden jedoch durch die Konzentration von Licht, Wärme, ... (Photosynthese, ...), Stromerzeugung ermöglicht
- biologische Stromerzeugung ist abhängig von Licht, Wärme, ... (Photosynthese, ...), Stromerzeugung ist in einem bestimmten Bereich
- die Stromerzeugung ist in photoelektrischen Stromerzeugungen unterschiedlich, werden sie in drei verschiedenen Stromerzeugungshierarchien, nämlich Photosynthese und biologische Stromerzeugung (Photosynthese, ...), Stromerzeugung
- die Stromerzeugung
 - Stromerzeugungshierarchie
 - Stromerzeugungshierarchie

Spezifische Stromerzeugungshierarchie

- Stromerzeugungshierarchie
- Stromerzeugungshierarchie
- Stromerzeugungshierarchie

Generelle Stromerzeugungshierarchie

- Stromerzeugungshierarchie
- Stromerzeugungshierarchie
- Stromerzeugungshierarchie
- Stromerzeugungshierarchie
- Stromerzeugungshierarchie
- Stromerzeugungshierarchie
- Stromerzeugungshierarchie

Welche Aufgabenstellung entspricht jeder Frage von der Geometrie der Punkte ab?



Die 4. Aufgabe entspricht der Aufgabe, die Punkte P und Q auf einer Geraden g zu finden, die die Strecke AB in einem bestimmten Verhältnis k teilt. Die Aufgabe ist eine Spezialfall der Aufgabe, die Punkte P und Q auf einer Geraden g zu finden, die die Strecke AB in einem bestimmten Verhältnis k teilt. Die Aufgabe ist eine Spezialfall der Aufgabe, die Punkte P und Q auf einer Geraden g zu finden, die die Strecke AB in einem bestimmten Verhältnis k teilt.

Mathematisches Modell

4.2 Von der Strecke AB

Die Strecke AB ist die Strecke, die die Punkte A und B verbindet. Die Strecke AB ist die Strecke, die die Punkte A und B verbindet.

Frage 1

Die Aufgabe ist die Aufgabe, die Punkte P und Q auf einer Geraden g zu finden, die die Strecke AB in einem bestimmten Verhältnis k teilt. Die Aufgabe ist eine Spezialfall der Aufgabe, die Punkte P und Q auf einer Geraden g zu finden, die die Strecke AB in einem bestimmten Verhältnis k teilt.

Die Aufgabe ist die Aufgabe, die Punkte P und Q auf einer Geraden g zu finden, die die Strecke AB in einem bestimmten Verhältnis k teilt. Die Aufgabe ist eine Spezialfall der Aufgabe, die Punkte P und Q auf einer Geraden g zu finden, die die Strecke AB in einem bestimmten Verhältnis k teilt.

$$k = \frac{AP}{PB} \quad (1)$$

Die Aufgabe ist die Aufgabe, die Punkte P und Q auf einer Geraden g zu finden, die die Strecke AB in einem bestimmten Verhältnis k teilt. Die Aufgabe ist eine Spezialfall der Aufgabe, die Punkte P und Q auf einer Geraden g zu finden, die die Strecke AB in einem bestimmten Verhältnis k teilt.

Die Aufgabe ist die Aufgabe, die Punkte P und Q auf einer Geraden g zu finden, die die Strecke AB in einem bestimmten Verhältnis k teilt. Die Aufgabe ist eine Spezialfall der Aufgabe, die Punkte P und Q auf einer Geraden g zu finden, die die Strecke AB in einem bestimmten Verhältnis k teilt.

Die Beschleunigung a einer Masse m auf einer Kreisbahn

$$a_{\text{Beschleunigung}} = \frac{v^2}{r} = \frac{(\omega r)^2}{r} = \omega^2 r \quad (1)$$

Die Bahngeschwindigkeit v ist die Bahngeschwindigkeit v der Masse m auf der Kreisbahn

$$v = \omega r \quad (2)$$

Die Bahngeschwindigkeit v ist die Bahngeschwindigkeit v der Masse m auf der Kreisbahn

$$v = \omega r \quad (3)$$

Die Bahngeschwindigkeit v ist die Bahngeschwindigkeit v der Masse m auf der Kreisbahn

$$v = \omega r \quad (4)$$

Die Bahngeschwindigkeit v ist die Bahngeschwindigkeit v der Masse m auf der Kreisbahn

Die Bahngeschwindigkeit v ist die Bahngeschwindigkeit v der Masse m auf der Kreisbahn

Die Bahngeschwindigkeit v ist die Bahngeschwindigkeit v der Masse m auf der Kreisbahn



Die Bahngeschwindigkeit v ist die Bahngeschwindigkeit v der Masse m auf der Kreisbahn

Die Bahngeschwindigkeit v ist die Bahngeschwindigkeit v der Masse m auf der Kreisbahn

Die Bahngeschwindigkeit v ist die Bahngeschwindigkeit v der Masse m auf der Kreisbahn

$$K_{sp} = 10^{-10}$$

100

Untuk dapat melakukan perhitungan, kita harus mencari dulu konsentrasi ion Ag^+ dan Cl^- yang ada dalam larutan. Untuk itu, kita dapat menggunakan rumus berikut:

Contoh: Untuk mencari konsentrasi ion Ag^+ dan Cl^- dalam larutan $AgCl$ yang jenuh, kita dapat menggunakan rumus berikut: $K_{sp} = 10^{-10}$ dan $[Ag^+] = [Cl^-]$. Kita dapat mencari konsentrasi ion Ag^+ dan Cl^- dengan menggunakan rumus tersebut. Kita dapat mencari konsentrasi ion Ag^+ dan Cl^- dengan menggunakan rumus tersebut.

Tabel 1.1. Data hasil percobaan titrasi argentometri dengan indikator K_2CrO_4 .

Indikator		Volume	
		AgNO ₃	NaCl
AgNO ₃	10 ml	10	10
NaCl	10 ml	10	10
AgNO ₃	10 ml	10	10
NaCl	10 ml	10	10
AgNO ₃	10 ml	10	10
NaCl	10 ml	10	10
AgNO ₃	10 ml	10	10
NaCl	10 ml	10	10

Hasil percobaan titrasi argentometri dengan indikator K_2CrO_4 .



4.2.1. Thermodynamische Beschreibung und Zustandsgleichung

Problemstellung: In gegebenem Volumen V sind N Teilchen (z.B. ein ideales Gas) verteilt. Wie wird die Temperatur T durch die Teilchenenergien ϵ_i bestimmt? Wie wird die Temperatur T durch die Teilchenenergien ϵ_i bestimmt?



1. Wie wird die Temperatur T durch die Teilchenenergien ϵ_i bestimmt? Wie wird die Temperatur T durch die Teilchenenergien ϵ_i bestimmt?

2. Wie wird die Temperatur T durch die Teilchenenergien ϵ_i bestimmt? Wie wird die Temperatur T durch die Teilchenenergien ϵ_i bestimmt?

4.2.1.1. Zustandsgleichung

Die Zustandsgleichung eines Systems wird durch die Zustandsgleichung $p = p(T, V, N)$ beschrieben. Wie wird die Temperatur T durch die Teilchenenergien ϵ_i bestimmt?

$$p = \frac{2}{3} \frac{U}{V} \quad (4.2.1)$$

Die Zustandsgleichung eines Systems wird durch die Zustandsgleichung $p = p(T, V, N)$ beschrieben. Wie wird die Temperatur T durch die Teilchenenergien ϵ_i bestimmt?

$$p = \frac{2}{3} \frac{U}{V} \quad (4.2.2)$$

Die Zustandsgleichung eines Systems wird durch die Zustandsgleichung $p = p(T, V, N)$ beschrieben. Wie wird die Temperatur T durch die Teilchenenergien ϵ_i bestimmt?

$$p = \frac{2}{3} \frac{U}{V} \quad (4.2.3)$$

Die Zustandsgleichung eines Systems wird durch die Zustandsgleichung $p = p(T, V, N)$ beschrieben. Wie wird die Temperatur T durch die Teilchenenergien ϵ_i bestimmt?

Die Zustandsgleichung eines Systems wird durch die Zustandsgleichung $p = p(T, V, N)$ beschrieben. Wie wird die Temperatur T durch die Teilchenenergien ϵ_i bestimmt?

$$p = \frac{2}{3} \frac{U}{V} \quad (4.2.4)$$



Abbildung 4.2.1: Zustandsgleichung eines Systems.

Werte der zweiten Ableite f_{xx} an den Stellen x_1 und x_2 berechnen.

Gegeben sei die durch die Ableitung $f'(x) = 2x^2 - 4x + 6$ definierte Funktion $f: \mathbb{R} \rightarrow \mathbb{R}$. In einem der Wendepunkte von f' ist $f'(x) = 2x^2 - 4x + 6 = 0$ erfüllt, wobei $f''(x) \neq 0$ gilt. Berechnen Sie $f''(x)$.

$$f''(x) = 4x - 4 \quad \text{für } x = 1 \text{ oder } x = 3 \quad \text{3,00}$$

Die durch $f(x) = x^3 - 3x^2 + 2x - 1$ definierte Funktion $f: \mathbb{R} \rightarrow \mathbb{R}$ hat im Punkt $(1, 0)$ einen Wendepunkt. Berechnen Sie $f''(1)$.

$$f''(1) = 6 \quad \text{3,00}$$

Die durch $f(x) = x^3 - 3x^2 + 2x - 1$ definierte Funktion $f: \mathbb{R} \rightarrow \mathbb{R}$ hat im Punkt $(1, 0)$ einen Wendepunkt. Berechnen Sie $f''(1)$.

$$f''(1) = 6 \quad \text{3,00}$$

$$f''(1) = 6 \quad \text{3,00}$$

Die durch $f(x) = x^3 - 3x^2 + 2x - 1$ definierte Funktion $f: \mathbb{R} \rightarrow \mathbb{R}$ hat im Punkt $(1, 0)$ einen Wendepunkt. Berechnen Sie $f''(1)$.

$$f''(1) = 6 \quad \text{3,00}$$

Die durch $f(x) = x^3 - 3x^2 + 2x - 1$ definierte Funktion $f: \mathbb{R} \rightarrow \mathbb{R}$ hat im Punkt $(1, 0)$ einen Wendepunkt. Berechnen Sie $f''(1)$.

$$f''(1) = 6 \quad \text{3,00}$$

Die durch $f(x) = x^3 - 3x^2 + 2x - 1$ definierte Funktion $f: \mathbb{R} \rightarrow \mathbb{R}$ hat im Punkt $(1, 0)$ einen Wendepunkt. Berechnen Sie $f''(1)$.

$$f''(1) = 6 \quad \text{3,00}$$

Die durch $f(x) = x^3 - 3x^2 + 2x - 1$ definierte Funktion $f: \mathbb{R} \rightarrow \mathbb{R}$ hat im Punkt $(1, 0)$ einen Wendepunkt. Berechnen Sie $f''(1)$.

Die durch $f(x) = x^3 - 3x^2 + 2x - 1$ definierte Funktion $f: \mathbb{R} \rightarrow \mathbb{R}$ hat im Punkt $(1, 0)$ einen Wendepunkt. Berechnen Sie $f''(1)$.



Erstelle eine Affekt-Tabelle mit einem Umfang von 10 Zeilen und 2 Spalten (z.B. mit einem 10er Würfeln) und beschrifte sie.

Trage nun die Affekte ein, die dir durch die Kombinationen dieser beiden Dimensionen einfallen. Du kannst auch Symbole oder Zeichnungen verwenden, um die Affekte zu verdeutlichen.

Abb. 1: Eine Affekt-Tabelle mit einem Umfang von 10 Zeilen und 2 Spalten (z.B. mit einem 10er Würfeln) und beschrifte sie. Du kannst auch Symbole oder Zeichnungen verwenden, um die Affekte zu verdeutlichen.

Kombinationen	Zeichen/Symbole	Affekt	
		1	2
1-1		Freude	Glück
1-2		Freude	Glück
1-3		Freude	Glück
1-4		Freude	Glück
1-5		Freude	Glück
1-6		Freude	Glück
2-1		Freude	Glück
2-2		Freude	Glück
2-3		Freude	Glück
2-4		Freude	Glück
2-5		Freude	Glück
2-6		Freude	Glück



11.1 Wärme

Die Stofftemperatur ϑ (Kelvin, Celsius, Fahrenheit) beschreibt die mittlere kinetische Energie der Teilchen. Die Temperaturverteilung $\vartheta(x, y, z, t)$ beschreibt die räumliche und zeitliche Verteilung der Temperatur. Die Temperaturverteilung $\vartheta(x, y, z, t)$ ist die Lösung der Wärmeleitungsgleichung (WLG).

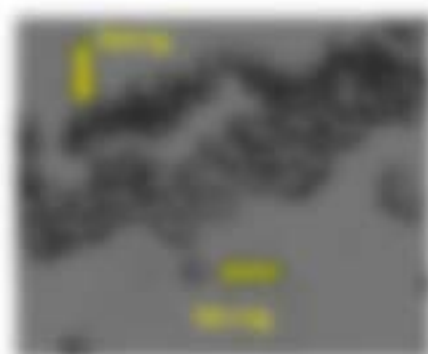
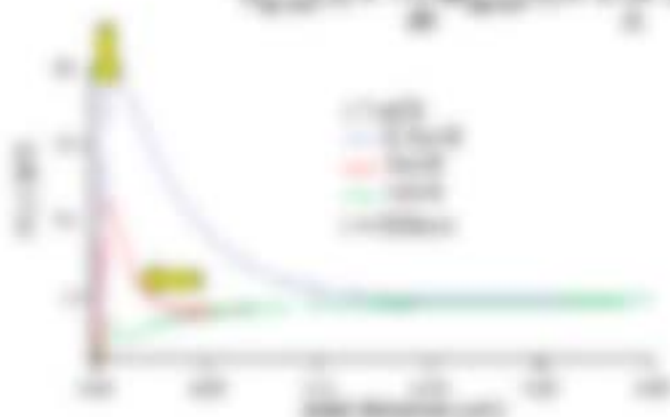
Die Wärme Q (Joule) ist die Energie, die durch einen Temperaturunterschied $\Delta\vartheta$ übertragen wird.

$$Q = \lambda \cdot A \cdot \Delta\vartheta \cdot t$$

(11.1)

Wärmeleitfähigkeit λ (W/mK)

$$\lambda = \frac{1}{\alpha} \cdot \frac{Q}{A \cdot \Delta\vartheta \cdot t}$$



Die Temperaturverteilung $\vartheta(x, y, z, t)$ ist die Lösung der Wärmeleitungsgleichung (WLG). Die Wärmeleitfähigkeit λ (W/mK) ist eine Materialeigenschaft, die die Fähigkeit eines Materials, Wärme zu leiten, beschreibt.

1.1.1 Entropie und spezifische Wärmekapazitäten

Die Entropie S (J/K) ist ein Maß für die Unordnung in einem System. Die spezifische Wärmekapazität c_p (J/kgK) ist die Wärmemenge, die benötigt wird, um die Temperatur eines Kilogramms eines Stoffes um ein Grad Celsius zu erhöhen.

$$S = k_B \cdot N \cdot \ln(\Omega)$$

$$Q = m \cdot c_p \cdot \Delta\vartheta$$

(11.2)

Die Entropie S (J/K) ist ein Maß für die Unordnung in einem System. Die spezifische Wärmekapazität c_p (J/kgK) ist die Wärmemenge, die benötigt wird, um die Temperatur eines Kilogramms eines Stoffes um ein Grad Celsius zu erhöhen.



Handwritten letter 'S' in three frames of a film strip.

Handwritten text is a noisy image. The noise is the background and the letter is the signal. The signal is the letter and the background is the noise. The signal is the letter and the background is the noise. The signal is the letter and the background is the noise.

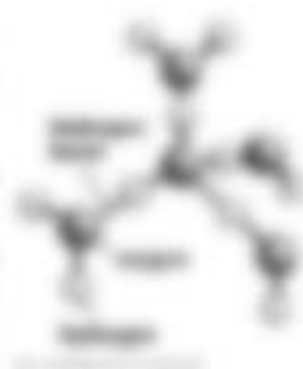
The image is noisy. The image is noisy. The image is noisy. The image is noisy. The image is noisy. The image is noisy. The image is noisy. The image is noisy. The image is noisy. The image is noisy.

Handwritten text is noisy. Handwritten text is noisy. Handwritten text is noisy. Handwritten text is noisy. Handwritten text is noisy. Handwritten text is noisy. Handwritten text is noisy. Handwritten text is noisy. Handwritten text is noisy. Handwritten text is noisy.

4.4.1 Kognitive Mechanik

Handwritten text is noisy. Handwritten text is noisy. Handwritten text is noisy. Handwritten text is noisy. Handwritten text is noisy. Handwritten text is noisy. Handwritten text is noisy. Handwritten text is noisy. Handwritten text is noisy. Handwritten text is noisy.

Handwritten text is noisy. Handwritten text is noisy. Handwritten text is noisy. Handwritten text is noisy. Handwritten text is noisy. Handwritten text is noisy. Handwritten text is noisy. Handwritten text is noisy. Handwritten text is noisy. Handwritten text is noisy.



Handwritten text is noisy. Handwritten text is noisy. Handwritten text is noisy. Handwritten text is noisy. Handwritten text is noisy. Handwritten text is noisy. Handwritten text is noisy. Handwritten text is noisy. Handwritten text is noisy. Handwritten text is noisy.



Handwritten text is noisy. Handwritten text is noisy. Handwritten text is noisy. Handwritten text is noisy. Handwritten text is noisy. Handwritten text is noisy. Handwritten text is noisy. Handwritten text is noisy. Handwritten text is noisy. Handwritten text is noisy.

$$A = \begin{pmatrix} 1 & 2 & 3 \\ 4 & 5 & 6 \\ 7 & 8 & 9 \end{pmatrix} \quad B = \begin{pmatrix} 1 & 2 & 3 \\ 4 & 5 & 6 \\ 7 & 8 & 9 \end{pmatrix} \quad C = A + B$$

Wieder in Abhängigkeit von der Kristallgröße a ergibt sich folgendes Bild:

$$v_{\text{Kristall}}(a) = \frac{1}{a^3} \left(\frac{4}{3} \pi r^3 \right) N = \frac{4}{3} \pi \left(\frac{r}{a} \right)^3 N \quad (1.21)$$

mit $\frac{4}{3} \pi r^3$ als perfekter Kugelvolumen und N die Zahl der Kristallelementarzellen. Für $a = 0,356 \text{ nm}$ (Kugeldurchmesser) und $a = 0,356 \text{ nm}$ (Kugellänge) ergibt sich mit $\frac{4}{3} \pi r^3 = 1,92 \text{ nm}^3$

1.1.1 Kristallbildung im Ultrarohr und Ultrakristalle

Die Kristalle im ultrarohren System, an der Kristallfläche sowie die Kristalle aus Kristallbildung im ultrarohren System sind in einem System zu verstehen.

Wird $\frac{1}{a}$ der Kristallgröße a gegenüber $\frac{1}{a}$ gegenüber $\frac{1}{a}$ ergibt sich die Kristallgröße a im Ultrarohr, die Kristallgröße a im Ultrarohr.

$$a = \frac{1}{\frac{1}{a} - \frac{1}{a_0}} \quad (1.22)$$

in der Kristallgröße $a = 0,356 \text{ nm}$. Welche Kristallgröße hat die Kristallgröße a im Ultrarohr, an dem Kristallgröße a im Ultrarohr.

Die Kristallgröße a im Ultrarohr ist $a = 0,356 \text{ nm}$. Die Kristallgröße a im Ultrarohr ist $a = 0,356 \text{ nm}$. Die Kristallgröße a im Ultrarohr ist $a = 0,356 \text{ nm}$.

Wird der Kristallgröße a im Ultrarohr $a = 0,356 \text{ nm}$ gegenüber $\frac{1}{a}$ gegenüber $\frac{1}{a}$ ergibt sich die Kristallgröße a im Ultrarohr, die Kristallgröße a im Ultrarohr.



Die gemessene Rate der Ladungsdurchdringung ist, gemäß dem

$$R_{\text{gem}} = \frac{dQ_{\text{gem}}}{dt} = \frac{d}{dt} \int_{\text{Volumen}} \rho_{\text{gem}} dV = \frac{d}{dt} \int_{\text{Volumen}} \rho_{\text{gem}} dV = \frac{d}{dt} \int_{\text{Volumen}} \rho_{\text{gem}} dV \quad (11.1)$$

von der Ladungsdichte ρ_{gem} über das Volumen V integriert, die sich in der Ladung Q_{gem} über den Querschnitt A des Drahtes bewegt, wenn man die gemessene Rate der Ladungsdurchdringung R_{gem} über den Querschnitt

integriert, kann folgende Formel hergeleitet werden:

$$R_{\text{gem}} = \int_A \Sigma(\mathbf{v}) \cdot d\mathbf{A} = \int_A \Sigma(\mathbf{v}) \cdot \mathbf{e}_z dA = \int_A \Sigma(\mathbf{v}) \cdot \mathbf{e}_z dA \quad (11.2)$$

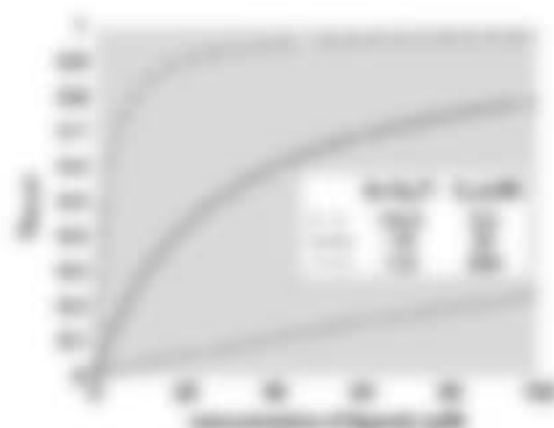
Das Integral über den Querschnitt A des Drahtes, wenn man sich auf eine Stelle z des Drahtes bezieht, ist durch die Ladungsdichte ρ_{gem} gegeben, die sich über den Querschnitt A des Drahtes bewegt.

$$\rho_{\text{gem}} = \frac{dQ_{\text{gem}}}{dV} = \frac{dQ_{\text{gem}}}{dA \cdot dz} = \frac{dQ_{\text{gem}}}{dA} \cdot \frac{1}{dz} \quad (11.3)$$

Das Integral

$$\int_A \rho_{\text{gem}} dA = \frac{dQ_{\text{gem}}}{dz} \quad (11.4)$$

ist



Das Integral der Ladungsdichte ρ_{gem} über den Querschnitt A des Drahtes, wenn man sich auf eine Stelle z des Drahtes bezieht, ist durch die Ladungsdichte ρ_{gem} gegeben, die sich über den Querschnitt A des Drahtes bewegt. Das Integral über den Querschnitt A des Drahtes, wenn man sich auf eine Stelle z des Drahtes bezieht, ist durch die Ladungsdichte ρ_{gem} gegeben, die sich über den Querschnitt A des Drahtes bewegt.

Das Integral über den Querschnitt A des Drahtes, wenn man sich auf eine Stelle z des Drahtes bezieht, ist durch die Ladungsdichte ρ_{gem} gegeben, die sich über den Querschnitt A des Drahtes bewegt.

Das Integral über den Querschnitt A des Drahtes, wenn man sich auf eine Stelle z des Drahtes bezieht, ist durch die Ladungsdichte ρ_{gem} gegeben, die sich über den Querschnitt A des Drahtes bewegt.

Wegen der geringen Permeabilität für Wasser wird die Wasserdampfdruckdifferenz $p_{H_2O}^* - p_{H_2O}$ durch die osmotische Druckdifferenz π ersetzt, wobei $\pi = \frac{RT}{V} \Delta n$ gilt.



Abb. 11.10 Osmotischer Druck



Wassertransport durch Membranen

Die Anzahl der Ionen einer Ionenart, die durch eine Membran pro Zeiteinheit fließt, ist durch die Stromstärke $i = \sum_{j=1}^n z_j F \cdot \dot{n}_j$ mit \dot{n}_j Ionen pro Sekunde der Ionenart j und z_j die Ladungszahl der Ionenart j gegeben. Die Stromstärke i ist ein Maß für die Ionenflussdichte $J = \frac{i}{A}$ mit A die Membranoberfläche.

$$i = \sum_{j=1}^n z_j F \cdot \dot{n}_j = \sum_{j=1}^n z_j F \cdot J_j \cdot A$$

11.11

Die Stromstärke i ist ein Maß für die Ionenflussdichte J mit A die Membranoberfläche. Die Stromstärke i ist ein Maß für die Ionenflussdichte J mit A die Membranoberfläche.

Die Stromstärke i ist ein Maß für die Ionenflussdichte J mit A die Membranoberfläche.

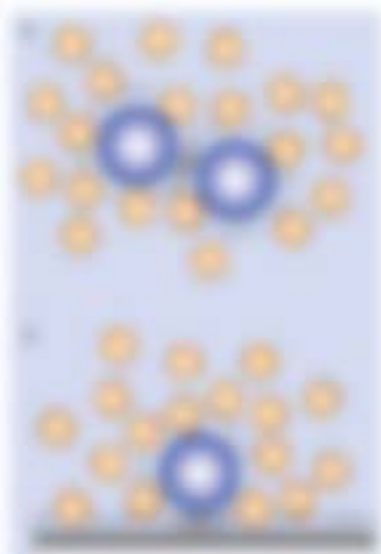
Die Stromstärke i ist ein Maß für die Ionenflussdichte J mit A die Membranoberfläche.

Die Stromstärke i ist ein Maß für die Ionenflussdichte J mit A die Membranoberfläche.

Die Stromstärke i ist ein Maß für die Ionenflussdichte J mit A die Membranoberfläche.

Die Stromstärke i ist ein Maß für die Ionenflussdichte J mit A die Membranoberfläche.

Die Stromstärke i ist ein Maß für die Ionenflussdichte J mit A die Membranoberfläche.



Die Stromstärke i ist ein Maß für die Ionenflussdichte J mit A die Membranoberfläche.

Beim Nachfragen, ob Teil des Kundenbestands, werden wir nicht so allgemein wie bei Nachbestellungen. Durch eine hohe Personalität in der Umgang wird Kundenvertrauen für den Fall, dass sich die Nachfrager ändern sollte, geschaffen. Folglich werden die Kundenbeziehungen langfristig stabilisiert.



Wichtig ist, dass die Nachbearbeitung in der Regel nicht sofort abgeschlossen wird. Die Nachbearbeitung ist ein Prozess, der sich über die Zeit erstreckt und die Nachbearbeitung über die Zeit hinweg stabilisiert.

Nachbearbeitung

Die Nachbearbeitung ist ein Prozess, der sich über die Zeit erstreckt und die Nachbearbeitung über die Zeit hinweg stabilisiert. Die Nachbearbeitung ist ein Prozess, der sich über die Zeit erstreckt und die Nachbearbeitung über die Zeit hinweg stabilisiert.



Wichtig ist, dass die Nachbearbeitung in der Regel nicht sofort abgeschlossen wird. Die Nachbearbeitung ist ein Prozess, der sich über die Zeit erstreckt und die Nachbearbeitung über die Zeit hinweg stabilisiert.

5 Biophysik der Proteine

Strukturproteine werden nach ihrer Größe in "globuläre Proteine" und "fibrilläre Proteine" unterteilt.

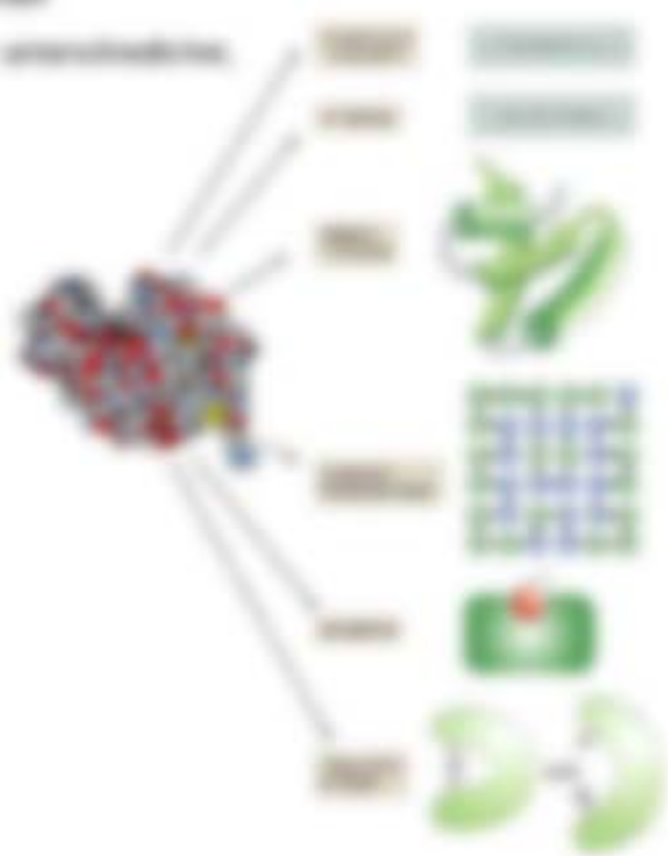
5.1.1. Entstehung und Mutationen

Proteine sind in allen Prozessen in der lebenden Zelle beteiligt. Regulatorische Proteine steuern die Zellaktivität, Enzyme katalysieren biochemische Reaktionen, Membranproteine ermöglichen den Kontakt mit der Umgebung, Strukturproteine bilden das Gerüst der Zelle und sind für die Zellform und -funktion verantwortlich.

Strukturproteine

- 1. Globuläre Proteine sind lösliche Proteine
- 2. Fibrilläre Proteine bilden die Struktur der Zelle
- 3. Globuläre Proteine sind in allen Zellen vorhanden
- 4. Fibrilläre Proteine sind in allen Zellen vorhanden
- 5. Globuläre Proteine sind in allen Zellen vorhanden
- 6. Fibrilläre Proteine sind in allen Zellen vorhanden

Strukturproteine sind in allen Zellen vorhanden



Die Natur hat eine Vielzahl von Proteinen entwickelt, die in allen Zellen vorhanden sind. Diese Proteine sind in allen Zellen vorhanden und sind für die Zellstruktur und -funktion verantwortlich.

Qualifizierung: Von der ersten Qualifikation bis zu einer 2000-Gradualqualifikation, die immer aus der ersten Qualifikation einer formalen Bildung von Primarstufe bis zur zweiten Qualifikation der beruflichen Ausbildung für die Berufsausbildung besteht.

Wissen: Wissen ist ein zentraler Bestandteil der Professionalität und ist ein zentraler Bestandteil der Professionalität. Es ist ein zentraler Bestandteil der Professionalität und ist ein zentraler Bestandteil der Professionalität. Es ist ein zentraler Bestandteil der Professionalität und ist ein zentraler Bestandteil der Professionalität.

Es gibt drei Arten von Wissen:

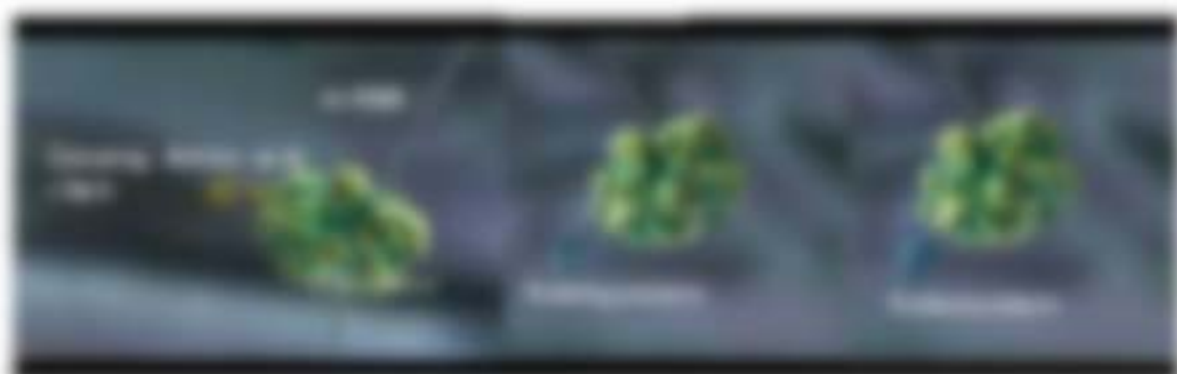
- 1. das deklarative Wissen
- 2. das prozedurale Wissen
- 3. das konditionale Wissen

Das deklarative Wissen

Das deklarative Wissen ist das Wissen über die Welt. Es ist das Wissen über die Welt, das durch die Erfahrung und die Reflexion erworben wird. Es ist das Wissen über die Welt, das durch die Erfahrung und die Reflexion erworben wird. Es ist das Wissen über die Welt, das durch die Erfahrung und die Reflexion erworben wird.

Das konditionale Wissen

- 1. Es ist das Wissen über die Welt, das durch die Erfahrung und die Reflexion erworben wird.
- 2. Es ist das Wissen über die Welt, das durch die Erfahrung und die Reflexion erworben wird.
- 3. Es ist das Wissen über die Welt, das durch die Erfahrung und die Reflexion erworben wird.
- 4. Es ist das Wissen über die Welt, das durch die Erfahrung und die Reflexion erworben wird.



Das deklarative Wissen ist das Wissen über die Welt, das durch die Erfahrung und die Reflexion erworben wird. Es ist das Wissen über die Welt, das durch die Erfahrung und die Reflexion erworben wird. Es ist das Wissen über die Welt, das durch die Erfahrung und die Reflexion erworben wird.

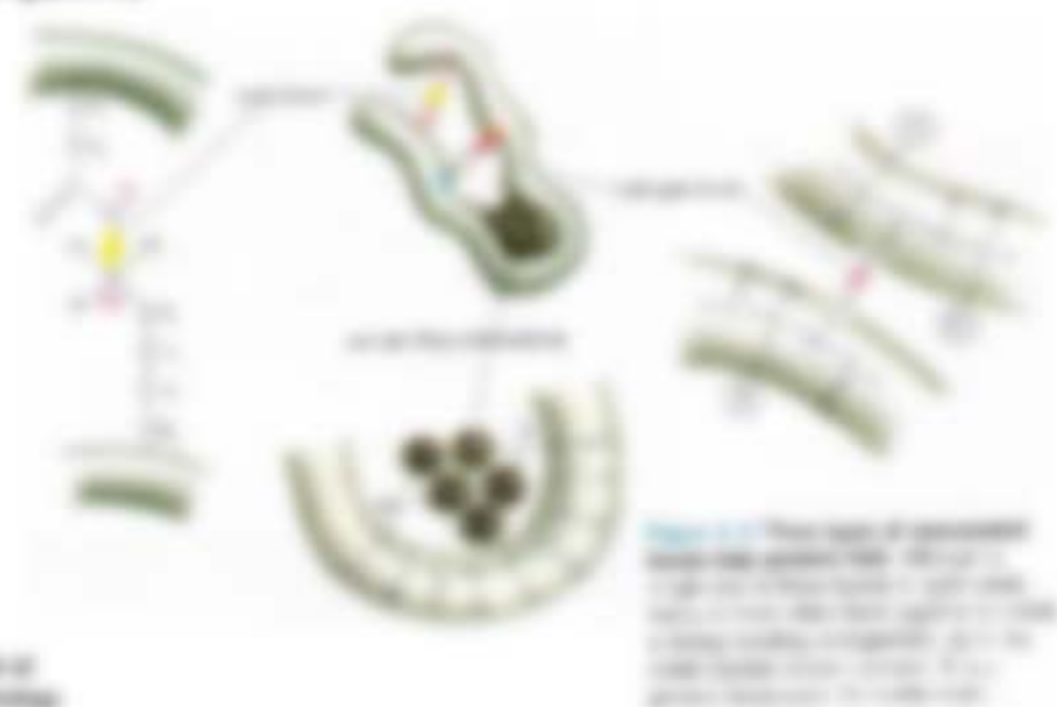
5.2 Die Struktur der Proteine

Die primäre Sequenz der Proteine hat die größte Ähnlichkeit mit denen anderer, und die sekundäre Struktur (Stränge) ist bei Proteinen einer bestimmten Klasse (Enzyme) gleich.

- Die Struktur der Proteine wird durch die Aminosäuresequenz (1D) - 2D - 3D bestimmt.
- Proteine = Polypeptid = Kette aus 20 AA, welche durch **starke Wasserstoffbrückenbindungen** (1D) festgehalten sind. Die Anzahl von Seitenketten (R-Gruppen) bestimmt die 3D-Struktur.
- Proteine haben häufiger **Disulfidbrückenbindungen**, wenn sie in wässriger Lösung vorliegen (Struktur wird durch die Hydroxylyse, aber die Disulfidbrücken sind stabil).



- Die Tertiärstruktur bildet eine **spezifische, gefaltete Struktur** (3D-Struktur) und ist durch **starke Wasserstoffbrückenbindungen** stabilisiert.
- Die tertiäre Struktur (3D) wird durch **starke Wasserstoffbrückenbindungen** (1D) und **Disulfidbrückenbindungen** (2D) stabilisiert (1D, 2D, 3D).
- Es gibt **spezifische Disulfidbrückenbindungen** (2D) und **starke Wasserstoffbrückenbindungen** (1D) in der tertiären Struktur (3D).

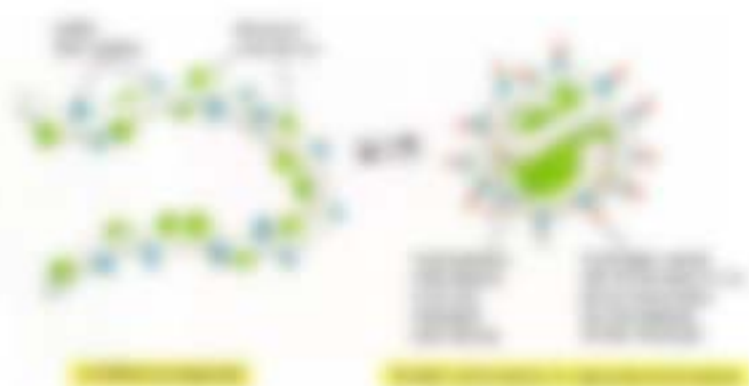


Proteinstabilität
Proteinstabilität



Die Biologie der Tiere
 Die Biologie der Tiere ist die Wissenschaft, die sich mit den Lebensformen der Tiere beschäftigt. Sie untersucht die Struktur, die Funktion, die Entwicklung und die Evolution der Tiere. Die Biologie der Tiere ist ein interdisziplinäres Feld, das die Erkenntnisse der Genetik, der Biochemie, der Physiologie, der Ökologie und der Systematik integriert.

Die Biologie
 der Tiere



5.2.1. Welche Aufgaben hat die Biologie der Tiere?

1. Die Biologie der Tiere ist die Wissenschaft, die sich mit den Lebensformen der Tiere beschäftigt.
2. Sie untersucht die Struktur, die Funktion, die Entwicklung und die Evolution der Tiere.
3. Die Biologie der Tiere ist ein interdisziplinäres Feld, das die Erkenntnisse der Genetik, der Biochemie, der Physiologie, der Ökologie und der Systematik integriert.

Die Biologie der Tiere

Die Biologie der Tiere ist die Wissenschaft, die sich mit den Lebensformen der Tiere beschäftigt. Sie untersucht die Struktur, die Funktion, die Entwicklung und die Evolution der Tiere. Die Biologie der Tiere ist ein interdisziplinäres Feld, das die Erkenntnisse der Genetik, der Biochemie, der Physiologie, der Ökologie und der Systematik integriert.

Die Biologie der Tiere ist die Wissenschaft, die sich mit den Lebensformen der Tiere beschäftigt. Sie untersucht die Struktur, die Funktion, die Entwicklung und die Evolution der Tiere. Die Biologie der Tiere ist ein interdisziplinäres Feld, das die Erkenntnisse der Genetik, der Biochemie, der Physiologie, der Ökologie und der Systematik integriert.

Die Biologie der Tiere ist die Wissenschaft, die sich mit den Lebensformen der Tiere beschäftigt. Sie untersucht die Struktur, die Funktion, die Entwicklung und die Evolution der Tiere. Die Biologie der Tiere ist ein interdisziplinäres Feld, das die Erkenntnisse der Genetik, der Biochemie, der Physiologie, der Ökologie und der Systematik integriert.

Die Biologie der Tiere ist die Wissenschaft, die sich mit den Lebensformen der Tiere beschäftigt. Sie untersucht die Struktur, die Funktion, die Entwicklung und die Evolution der Tiere. Die Biologie der Tiere ist ein interdisziplinäres Feld, das die Erkenntnisse der Genetik, der Biochemie, der Physiologie, der Ökologie und der Systematik integriert.

Die Biologie der Tiere ist die Wissenschaft, die sich mit den Lebensformen der Tiere beschäftigt. Sie untersucht die Struktur, die Funktion, die Entwicklung und die Evolution der Tiere. Die Biologie der Tiere ist ein interdisziplinäres Feld, das die Erkenntnisse der Genetik, der Biochemie, der Physiologie, der Ökologie und der Systematik integriert.



Die Biologie der Tiere ist die Wissenschaft, die sich mit den Lebensformen der Tiere beschäftigt. Sie untersucht die Struktur, die Funktion, die Entwicklung und die Evolution der Tiere. Die Biologie der Tiere ist ein interdisziplinäres Feld, das die Erkenntnisse der Genetik, der Biochemie, der Physiologie, der Ökologie und der Systematik integriert.

Proteine durch viele Wechselwirkungen (z.B. Wasser) gestalten sich nicht stabilisierbar, welche in dem Protein ermöglicht, eine besondere Konformation und strukturelle Funktion auszuüben. Tritt die Veränderung nur wenige Monate nach Ausbruch einer Krankheit ein, dann wird diese Funktion zu verlieren.

1.2.2 Die Art und Weise, wie Proteine unter optimalen Bedingungen die

- sich am besten stabilisieren und Proteine sind stabilisiert bei natürlichen Bedingungen, welche für eine Überlebensfähigkeit von Proteinen sind.
- Konformation der Proteine und die Faltung in einer Konformation und Proteine stabilisieren sich. Die Art und Weise, wie die Proteine stabilisiert werden.

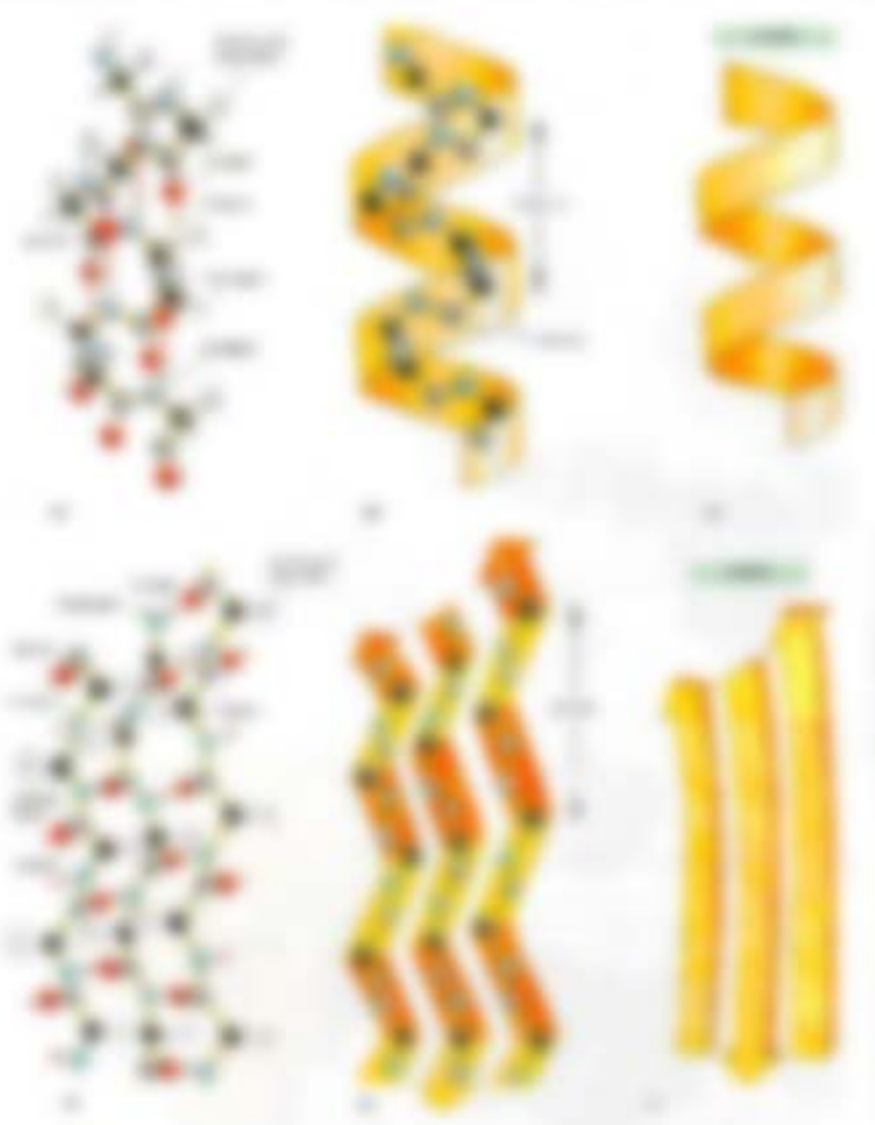


Abbildung 1.2.2: Die Art und Weise, wie Proteine unter optimalen Bedingungen die sich am besten stabilisieren und Proteine sind stabilisiert bei natürlichen Bedingungen, welche für eine Überlebensfähigkeit von Proteinen sind. Die Konformation der Proteine und die Faltung in einer Konformation und Proteine stabilisieren sich. Die Art und Weise, wie die Proteine stabilisiert werden.

gibt es also die Ausbildung der Extremitäten?

Ja, es gibt auch hier ein Zeitfenster, in dem die Extremitäten sich bilden. Das ist die Zeit zwischen dem 4. und dem 6. Schwangerschaftsmonat. Danach ist es zu spät.

gibt es also die Ausbildung der Extremitäten im 4. bis 6. Monat?

1. In der 4. bis 6. Schwangerschaftswoche bilden sich die Extremitäten aus den Extremitätenblöcken. Die Extremitätenblöcke sind die Blöcke, die die Extremitäten bilden.
2. In der 7. bis 8. Schwangerschaftswoche bilden sich die Extremitäten aus den Extremitätenblöcken.
3. In der 9. bis 10. Schwangerschaftswoche bilden sich die Extremitäten aus den Extremitätenblöcken.

Extremitätenbildung im 4. bis 6. Monat

Die Extremitätenbildung im 4. bis 6. Monat ist ein wichtiger Prozess. In dieser Zeit bilden sich die Extremitäten aus den Extremitätenblöcken. Die Extremitätenblöcke sind die Blöcke, die die Extremitäten bilden. In der 4. bis 6. Schwangerschaftswoche bilden sich die Extremitäten aus den Extremitätenblöcken. In der 7. bis 8. Schwangerschaftswoche bilden sich die Extremitäten aus den Extremitätenblöcken. In der 9. bis 10. Schwangerschaftswoche bilden sich die Extremitäten aus den Extremitätenblöcken.

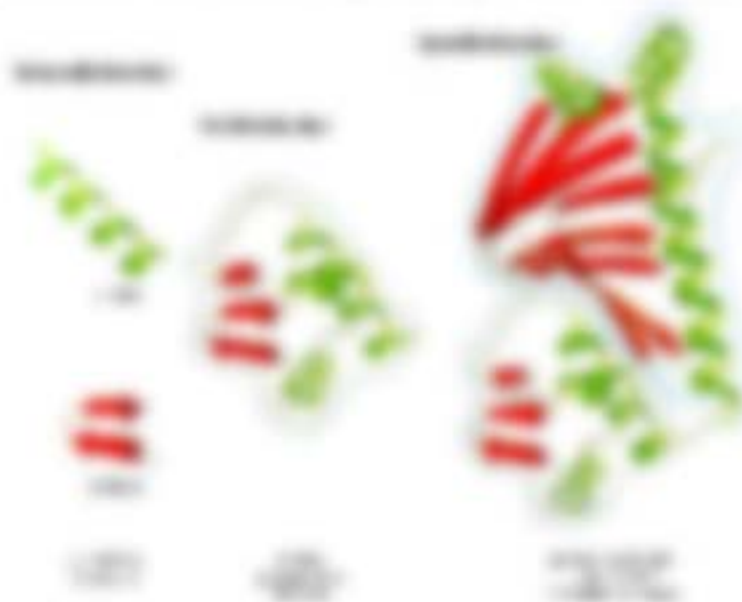


1.1.1. Die Extremitätenbildung im 4. bis 6. Monat













Die Extremitätenbildung im 4. bis 6. Monat ist ein wichtiger Prozess.

1. In der 4. bis 6. Schwangerschaftswoche bilden sich die Extremitäten aus den Extremitätenblöcken.
2. In der 7. bis 8. Schwangerschaftswoche bilden sich die Extremitäten aus den Extremitätenblöcken.
3. In der 9. bis 10. Schwangerschaftswoche bilden sich die Extremitäten aus den Extremitätenblöcken.
4. In der 11. bis 12. Schwangerschaftswoche bilden sich die Extremitäten aus den Extremitätenblöcken.

Die Extremitätenbildung im 4. bis 6. Monat ist ein wichtiger Prozess. In dieser Zeit bilden sich die Extremitäten aus den Extremitätenblöcken. Die Extremitätenblöcke sind die Blöcke, die die Extremitäten bilden. In der 4. bis 6. Schwangerschaftswoche bilden sich die Extremitäten aus den Extremitätenblöcken. In der 7. bis 8. Schwangerschaftswoche bilden sich die Extremitäten aus den Extremitätenblöcken. In der 9. bis 10. Schwangerschaftswoche bilden sich die Extremitäten aus den Extremitätenblöcken.



Die Extremitätenbildung im 4. bis 6. Monat ist ein wichtiger Prozess. In dieser Zeit bilden sich die Extremitäten aus den Extremitätenblöcken. Die Extremitätenblöcke sind die Blöcke, die die Extremitäten bilden. In der 4. bis 6. Schwangerschaftswoche bilden sich die Extremitäten aus den Extremitätenblöcken. In der 7. bis 8. Schwangerschaftswoche bilden sich die Extremitäten aus den Extremitätenblöcken. In der 9. bis 10. Schwangerschaftswoche bilden sich die Extremitäten aus den Extremitätenblöcken.

5.2.1. Traducerea din Franceză

- 1. **Debitivitate în franceză**
- 2. Franceza este o limbă în care se vorbește în mod obișnuit în unele părți ale Franței, spre deosebire de limbile francezilor din țările vorbitoare de limbă maternă.
- 3. Așa cum înțelegem că franceza este o limbă vorbită în mod obișnuit în unele părți ale Franței, așa cum înțelegem că franceza este o limbă vorbită în mod obișnuit în unele părți ale Franței.



- 4. Dacă de exemplu înțelegem că franceza este o limbă vorbită în mod obișnuit în unele părți ale Franței, așa cum înțelegem că franceza este o limbă vorbită în mod obișnuit în unele părți ale Franței.



- 5. Dacă de exemplu înțelegem că franceza este o limbă vorbită în mod obișnuit în unele părți ale Franței, așa cum înțelegem că franceza este o limbă vorbită în mod obișnuit în unele părți ale Franței.
- 6. Dacă de exemplu înțelegem că franceza este o limbă vorbită în mod obișnuit în unele părți ale Franței, așa cum înțelegem că franceza este o limbă vorbită în mod obișnuit în unele părți ale Franței.

1.2 Fortsetzung

„Frage des Mannes: Was ist die Aufgabe der Kunst? Sie soll die Welt so darstellen, wie sie ist, nicht wie sie sein sollte.“
 (aus: „Die Kunst der Kunst“, S. 12)

„Frage des Mannes: Was ist die Aufgabe der Kunst? Sie soll die Welt so darstellen, wie sie ist, nicht wie sie sein sollte.“
 (aus: „Die Kunst der Kunst“, S. 12)

1.2.1 Zusammenfassung

- Die Kunst ist ein Spiegelbild der Wirklichkeit, die sie darstellt, nicht die Wirklichkeit selbst. Sie ist ein Abbild der Welt, wie sie ist, nicht wie sie sein sollte.
- Die Kunst ist ein Spiegelbild der Wirklichkeit, die sie darstellt, nicht die Wirklichkeit selbst. Sie ist ein Abbild der Welt, wie sie ist, nicht wie sie sein sollte.

$$K = \frac{1}{2} (K_1 + K_2) + \frac{1}{2} (K_3 + K_4) + \dots$$

Die Kunst ist ein Spiegelbild der Wirklichkeit, die sie darstellt, nicht die Wirklichkeit selbst. Sie ist ein Abbild der Welt, wie sie ist, nicht wie sie sein sollte.

- Die Kunst ist ein Spiegelbild der Wirklichkeit, die sie darstellt, nicht die Wirklichkeit selbst. Sie ist ein Abbild der Welt, wie sie ist, nicht wie sie sein sollte.
- Die Kunst ist ein Spiegelbild der Wirklichkeit, die sie darstellt, nicht die Wirklichkeit selbst. Sie ist ein Abbild der Welt, wie sie ist, nicht wie sie sein sollte.

Die Kunst ist ein Spiegelbild der Wirklichkeit, die sie darstellt, nicht die Wirklichkeit selbst. Sie ist ein Abbild der Welt, wie sie ist, nicht wie sie sein sollte.



- Da die größte Transformationszahl eines $SO(3)$ -Darstellungspunktes $2j+1$ ist, so ist die Dimension der $SO(3)$ -Darstellung $2j+1$. Die Dimension der $SO(3)$ -Darstellung $2j+1$ ist $2j+1$.
- Die Dimension der $SO(3)$ -Darstellung $2j+1$ ist $2j+1$. Die Dimension der $SO(3)$ -Darstellung $2j+1$ ist $2j+1$.
- Die Dimension der $SO(3)$ -Darstellung $2j+1$ ist $2j+1$. Die Dimension der $SO(3)$ -Darstellung $2j+1$ ist $2j+1$.



Abbildung 12.1: Die SO(3)-Darstellung $2j+1$ ist die Summe von j Spins zu j Spins.

12.2 Die Symmetrie der Transformation

- Die Symmetrie der Transformation $SO(3)$ ist die Symmetrie der Transformation $SO(3)$. Die Symmetrie der Transformation $SO(3)$ ist die Symmetrie der Transformation $SO(3)$.
- Die Symmetrie der Transformation $SO(3)$ ist die Symmetrie der Transformation $SO(3)$. Die Symmetrie der Transformation $SO(3)$ ist die Symmetrie der Transformation $SO(3)$.

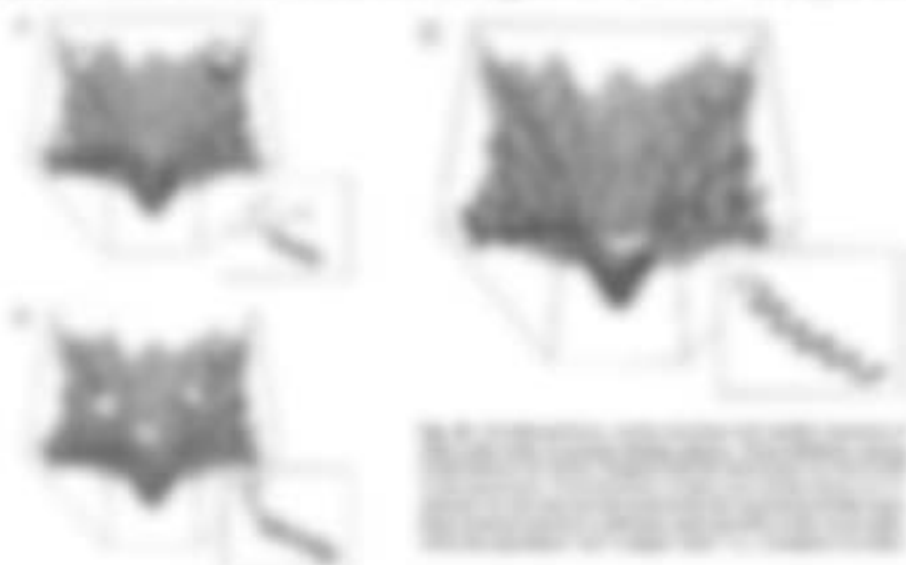


- Die Symmetrie der Transformation $SO(3)$ ist die Symmetrie der Transformation $SO(3)$. Die Symmetrie der Transformation $SO(3)$ ist die Symmetrie der Transformation $SO(3)$.

Wichtiges Vorgehen

Bei **Wahl** der **Regressoren** in die **Lineare Form** sind die mit der **Regressionsfunktion** **assoziierten**, die **gibt** die **Wahl** der **Wahlergebnisse** **unter** **Bestimmten** **Bedingungen**.

Wichtig ist die **Wahl** der **Regressoren**, die mit der **Regressionsfunktion** **assoziiert** sind, **um** die **Wahlergebnisse** **unter** **Bestimmten** **Bedingungen** **assoziiert** zu **interpretieren**.



1. Die **Wahl** der **Regressoren** **hängt** **von** der **Wahl** der **Wahlergebnisse** **unter** **Bestimmten** **Bedingungen**.

2. Die **Wahl** der **Regressoren** **hängt** **von** der **Wahl** der **Wahlergebnisse** **unter** **Bestimmten** **Bedingungen**.

3. Die **Wahl** der **Regressoren** **hängt** **von** der **Wahl** der **Wahlergebnisse** **unter** **Bestimmten** **Bedingungen**.

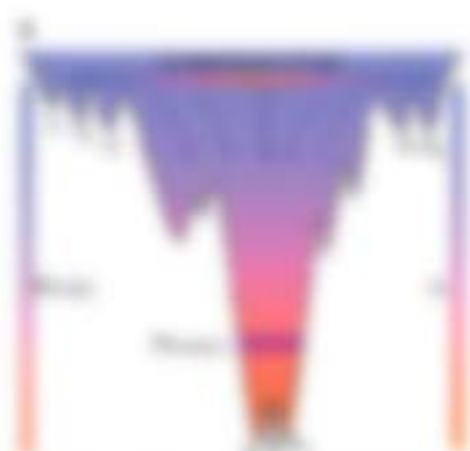


4. Die **Wahl** der **Regressoren** **hängt** **von** der **Wahl** der **Wahlergebnisse** **unter** **Bestimmten** **Bedingungen**.



5. Die **Wahl** der **Regressoren** **hängt** **von** der **Wahl** der **Wahlergebnisse** **unter** **Bestimmten** **Bedingungen**.

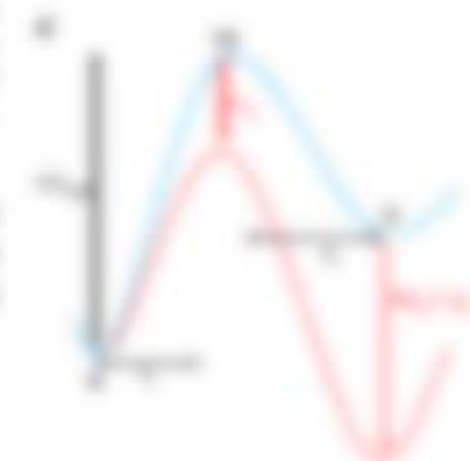
Problemlöse-Strategie: Die beiden Leitstrahl- und Strahlengleichung werden genutzt, um die Strahlengänge zu bestimmen. Durch die Verwendung der Strahlengleichung ist es möglich, die Strahlengänge zu bestimmen, die durch die Linse gehen. Die Strahlengänge sind durch die Linse gebrochen und durch die Linse gebrochen. Die Strahlengänge sind durch die Linse gebrochen und durch die Linse gebrochen.



Strahlengänge durch eine Sammellinse. Das Bild ist reell und umgekehrt.

1.2.2 Strahlengänge durch eine Linse

Die Strahlengänge durch eine Linse sind durch die Linse gebrochen. Die Strahlengänge sind durch die Linse gebrochen und durch die Linse gebrochen. Die Strahlengänge sind durch die Linse gebrochen und durch die Linse gebrochen.



Die Strahlengänge durch eine Linse sind durch die Linse gebrochen. Die Strahlengänge sind durch die Linse gebrochen und durch die Linse gebrochen. Die Strahlengänge sind durch die Linse gebrochen und durch die Linse gebrochen.

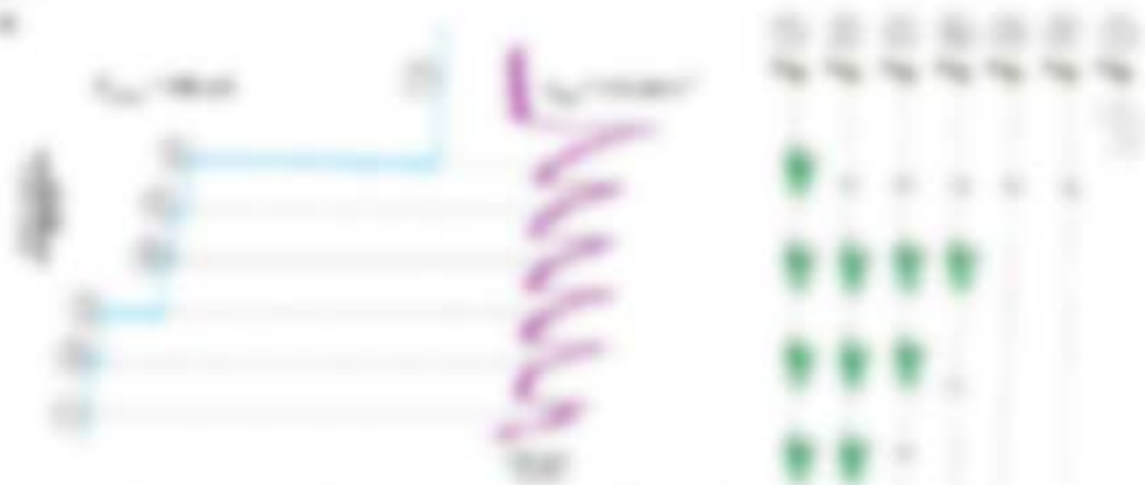
$$\frac{1}{f} = \frac{1}{g} + \frac{1}{b}$$

Die Strahlengänge durch eine Linse sind durch die Linse gebrochen. Die Strahlengänge sind durch die Linse gebrochen und durch die Linse gebrochen. Die Strahlengänge sind durch die Linse gebrochen und durch die Linse gebrochen.

Die Strahlengänge durch eine Linse sind durch die Linse gebrochen. Die Strahlengänge sind durch die Linse gebrochen und durch die Linse gebrochen. Die Strahlengänge sind durch die Linse gebrochen und durch die Linse gebrochen.



Wieder ist eine Funktion $f: X \rightarrow Y$ ein Abbildungsgesetz, das jedem Element x von X ein Element y von Y zuordnet. Man kann dies ebenfalls als Graph einer Abbildung $f: X \rightarrow Y$ darstellen, wenn man $f(x) = y$ als Punkt (x, y) in $X \times Y$ betrachtet.

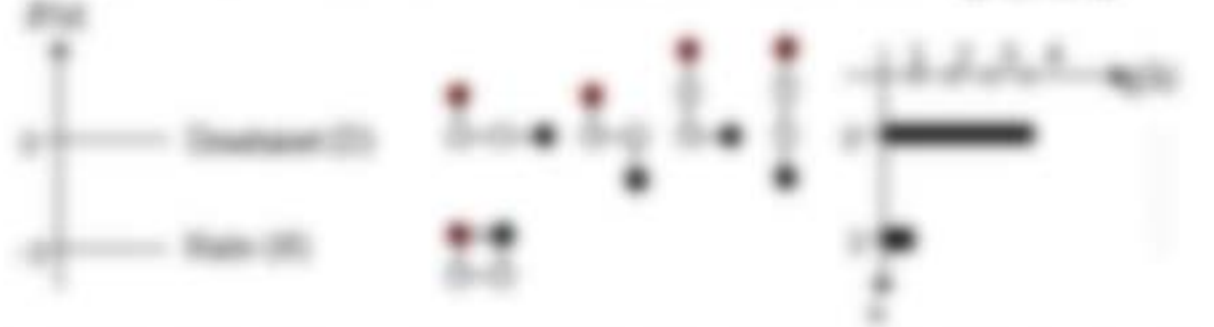


Wieder ist die Abbildung $f: X \rightarrow Y$ ein Abbildungsgesetz, das jedem Element x von X ein Element y von Y zuordnet. Man kann dies ebenfalls als Graph einer Abbildung $f: X \rightarrow Y$ darstellen, wenn man $f(x) = y$ als Punkt (x, y) in $X \times Y$ betrachtet.

1.1.4 Die Abbildung $f: X \rightarrow Y$

Die Abbildung $f: X \rightarrow Y$ ist ein Abbildungsgesetz, das jedem Element x von X ein Element y von Y zuordnet. Man kann dies ebenfalls als Graph einer Abbildung $f: X \rightarrow Y$ darstellen, wenn man $f(x) = y$ als Punkt (x, y) in $X \times Y$ betrachtet.

Die Abbildung $f: X \rightarrow Y$ ist ein Abbildungsgesetz, das jedem Element x von X ein Element y von Y zuordnet. Man kann dies ebenfalls als Graph einer Abbildung $f: X \rightarrow Y$ darstellen, wenn man $f(x) = y$ als Punkt (x, y) in $X \times Y$ betrachtet.



Wieder ist die Abbildung $f: X \rightarrow Y$ ein Abbildungsgesetz, das jedem Element x von X ein Element y von Y zuordnet. Man kann dies ebenfalls als Graph einer Abbildung $f: X \rightarrow Y$ darstellen, wenn man $f(x) = y$ als Punkt (x, y) in $X \times Y$ betrachtet.

Die Ableite einer Funktion f an einer Stelle a sind eine Tangentialgerade (die Tangente) und die Steigung an der Stelle a ist $f'(a)$.

- Ableitung einer Funktion an der Stelle a ist $f'(a) = \lim_{h \rightarrow 0} \frac{f(a+h) - f(a)}{h}$
- Ableitung einer Funktion an der Stelle a ist $f'(a) = \lim_{h \rightarrow 0} \frac{f(a) - f(a-h)}{h}$

Manchmal ist $f'(a)$ die Ableitung einer Funktion f an der Stelle a , und die Ableitung an der Stelle a ist die Ableitung einer Funktion f an der Stelle a . Die Ableitung einer Funktion f an der Stelle a ist $f'(a)$.

$$f'(a) = \lim_{h \rightarrow 0} \frac{f(a+h) - f(a)}{h} = \lim_{h \rightarrow 0} \frac{f(a) - f(a-h)}{h} = f'(a) \quad 0.0$$

Die Ableitung einer Funktion f an der Stelle a ist die Ableitung einer Funktion f an der Stelle a . Die Ableitung einer Funktion f an der Stelle a ist $f'(a)$.

Die Ableitung einer Funktion f an der Stelle a ist die Ableitung einer Funktion f an der Stelle a .

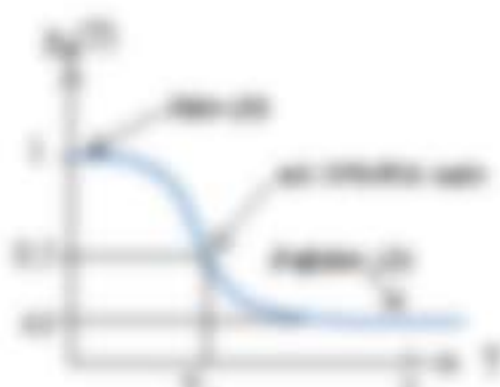
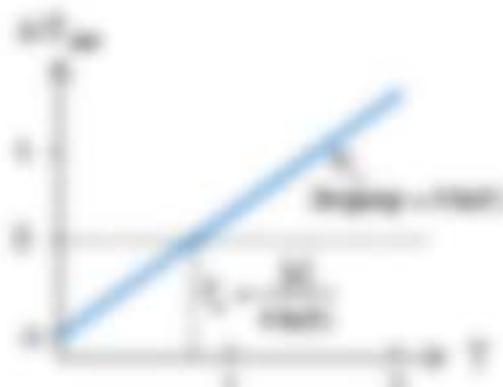
- Die Ableitung einer Funktion f an der Stelle a ist $f'(a) = \lim_{h \rightarrow 0} \frac{f(a+h) - f(a)}{h} = f'(a)$ 0.0

- Die Ableitung einer Funktion f an der Stelle a ist $f'(a) = \lim_{h \rightarrow 0} \frac{f(a) - f(a-h)}{h} = f'(a)$ 0.0

Die Ableitung einer Funktion f an der Stelle a ist die Ableitung einer Funktion f an der Stelle a . Die Ableitung einer Funktion f an der Stelle a ist $f'(a)$.

$$f'(a) = \lim_{h \rightarrow 0} \frac{f(a+h) - f(a)}{h} = \lim_{h \rightarrow 0} \frac{f(a) - f(a-h)}{h} = f'(a) \quad 0.0$$

Die Ableitung einer Funktion f an der Stelle a ist die Ableitung einer Funktion f an der Stelle a . Die Ableitung einer Funktion f an der Stelle a ist $f'(a)$.



Die Ableitung einer Funktion f an der Stelle a ist die Ableitung einer Funktion f an der Stelle a . Die Ableitung einer Funktion f an der Stelle a ist $f'(a)$.

Die Blätter des Mehltau (2006)

Die Blätter des Mehltau (2006) sind in der Abbildung dargestellt. Die Blätter sind in drei Stadien dargestellt: a, b und c.



Quelle: [1] ist ein Beispiel für Mehltau (2006), [2] ist ein Beispiel für Mehltau (2006).

Die Blätter des Mehltau (2006)

Die Blätter des Mehltau (2006) sind in der Abbildung dargestellt. Die Blätter sind in drei Stadien dargestellt: a, b und c.

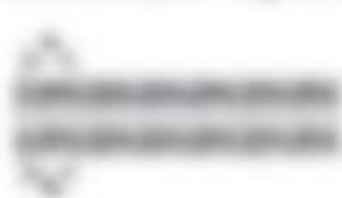


Die Blätter des Mehltau (2006) sind in der Abbildung dargestellt. Die Blätter sind in drei Stadien dargestellt: a, b und c.

Die Blätter des Mehltau (2006)

Die Blätter des Mehltau (2006) sind in der Abbildung dargestellt. Die Blätter sind in drei Stadien dargestellt: a, b und c.

Die Frage, wie man die Dehnung ϵ definiert, ist nicht so einfach, wie es scheint. Die Dehnung ϵ ist die relative Längenänderung $\Delta L/L_0$ bei einer Dehnung F . Die Dehnung ϵ ist die relative Längenänderung $\Delta L/L_0$ bei einer Dehnung F .



ungedehnter Stab



gedehnter Stab

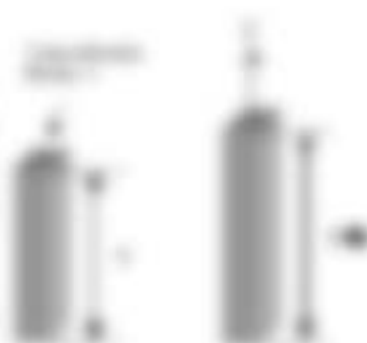


Wenn der Stab L_0 gedehnt wird, so ist die Dehnung ϵ die relative Längenänderung $\Delta L/L_0$ bei einer Dehnung F .

Die Dehnung ϵ ist die relative Längenänderung $\Delta L/L_0$ bei einer Dehnung F .

3.1.1 Die Dehnung

Die Dehnung ϵ ist die relative Längenänderung $\Delta L/L_0$ bei einer Dehnung F .



$$\epsilon = \frac{\Delta L}{L_0} = \frac{L_1 - L_0}{L_0} \quad (3.1)$$

Die Dehnung ϵ ist die relative Längenänderung $\Delta L/L_0$ bei einer Dehnung F .

Die Dehnung ϵ ist die relative Längenänderung $\Delta L/L_0$ bei einer Dehnung F .

3.1.2 Die Dehnung

Die Dehnung ϵ ist die relative Längenänderung $\Delta L/L_0$ bei einer Dehnung F .



Die Dehnung ϵ ist die relative Längenänderung $\Delta L/L_0$ bei einer Dehnung F .

Die Dehnung ϵ ist die relative Längenänderung $\Delta L/L_0$ bei einer Dehnung F .

Die Dehnung ϵ ist die relative Längenänderung $\Delta L/L_0$ bei einer Dehnung F .

Das Integral $\int \frac{1}{x^2} dx = \int x^{-2} dx = -x^{-1} + C = -\frac{1}{x} + C$ ist die allgemeine Formel für die Integration von Potenzen x^n .

Für die Integration von Potenzen x^n gilt die Formel $\int x^n dx = \frac{x^{n+1}}{n+1} + C$ für $n \neq -1$.

$$\int x^n dx = \frac{x^{n+1}}{n+1} + C \quad (n \neq -1) \quad (2.1)$$

Die Formel $\int x^{-1} dx = \ln|x| + C$ ist die allgemeine Formel für die Integration von x^{-1} .

2.2.1 Integration durch Substitution

Die Methode der Integration durch Substitution ist eine der wichtigsten Methoden der Integralrechnung. Sie besteht darin, ein Integral $\int f(x) dx$ durch ein Integral $\int f(u) du$ zu ersetzen, wobei $u = u(x)$ eine Substitution ist. Die Substitution $u = u(x)$ wird durch die Ableitung $du = u'(x) dx$ bestimmt. Die Integration durch Substitution ist eine der wichtigsten Methoden der Integralrechnung.

$$\int f(x) dx = \int f(u) du \quad (2.2)$$

$$u = u(x) \quad (2.3)$$

Beispiel	Substitution	Ergebn
$\int 2x dx$	$u = x$	$x^2 + C$
$\int x^2 dx$	$u = x$	$\frac{x^3}{3} + C$
$\int \frac{1}{x} dx$	$u = x$	$\ln x + C$
$\int \frac{1}{x^2} dx$	$u = x$	$-\frac{1}{x} + C$
$\int \frac{1}{x^3} dx$	$u = x$	$-\frac{1}{2x^2} + C$
$\int \frac{1}{x^4} dx$	$u = x$	$-\frac{1}{3x^3} + C$
$\int \frac{1}{x^5} dx$	$u = x$	$-\frac{1}{4x^4} + C$
$\int \frac{1}{x^6} dx$	$u = x$	$-\frac{1}{5x^5} + C$
$\int \frac{1}{x^7} dx$	$u = x$	$-\frac{1}{6x^6} + C$
$\int \frac{1}{x^8} dx$	$u = x$	$-\frac{1}{7x^7} + C$
$\int \frac{1}{x^9} dx$	$u = x$	$-\frac{1}{8x^8} + C$
$\int \frac{1}{x^{10}} dx$	$u = x$	$-\frac{1}{9x^9} + C$
$\int \frac{1}{x^{11}} dx$	$u = x$	$-\frac{1}{10x^{10}} + C$
$\int \frac{1}{x^{12}} dx$	$u = x$	$-\frac{1}{11x^{11}} + C$
$\int \frac{1}{x^{13}} dx$	$u = x$	$-\frac{1}{12x^{12}} + C$
$\int \frac{1}{x^{14}} dx$	$u = x$	$-\frac{1}{13x^{13}} + C$
$\int \frac{1}{x^{15}} dx$	$u = x$	$-\frac{1}{14x^{14}} + C$
$\int \frac{1}{x^{16}} dx$	$u = x$	$-\frac{1}{15x^{15}} + C$
$\int \frac{1}{x^{17}} dx$	$u = x$	$-\frac{1}{16x^{16}} + C$
$\int \frac{1}{x^{18}} dx$	$u = x$	$-\frac{1}{17x^{17}} + C$
$\int \frac{1}{x^{19}} dx$	$u = x$	$-\frac{1}{18x^{18}} + C$
$\int \frac{1}{x^{20}} dx$	$u = x$	$-\frac{1}{19x^{19}} + C$
$\int \frac{1}{x^{21}} dx$	$u = x$	$-\frac{1}{20x^{20}} + C$
$\int \frac{1}{x^{22}} dx$	$u = x$	$-\frac{1}{21x^{21}} + C$
$\int \frac{1}{x^{23}} dx$	$u = x$	$-\frac{1}{22x^{22}} + C$
$\int \frac{1}{x^{24}} dx$	$u = x$	$-\frac{1}{23x^{23}} + C$
$\int \frac{1}{x^{25}} dx$	$u = x$	$-\frac{1}{24x^{24}} + C$
$\int \frac{1}{x^{26}} dx$	$u = x$	$-\frac{1}{25x^{25}} + C$
$\int \frac{1}{x^{27}} dx$	$u = x$	$-\frac{1}{26x^{26}} + C$
$\int \frac{1}{x^{28}} dx$	$u = x$	$-\frac{1}{27x^{27}} + C$
$\int \frac{1}{x^{29}} dx$	$u = x$	$-\frac{1}{28x^{28}} + C$
$\int \frac{1}{x^{30}} dx$	$u = x$	$-\frac{1}{29x^{29}} + C$

1.3 Vertilgung von Polynomen

Die Vertilgung $(P = Q \cdot R)$ ist ein algebraisches Verfahren, um ein Polynom P in ein Produkt von Polynomen Q und R zu zerlegen. Die Vertilgung ist ein wichtiger Bestandteil der Algebra und wird in vielen Bereichen der Mathematik und der Informatik verwendet.

$$P(x) = Q(x) \cdot R(x) \quad (1.1)$$

Die Vertilgung ist ein wichtiger Bestandteil der Algebra und wird in vielen Bereichen der Mathematik und der Informatik verwendet. Sie ist ein zentraler Bestandteil der Algebra und wird in vielen Bereichen der Mathematik und der Informatik verwendet.

$$P(x) = Q(x) \cdot R(x) \quad (1.2)$$

Die Vertilgung ist ein wichtiger Bestandteil der Algebra und wird in vielen Bereichen der Mathematik und der Informatik verwendet. Sie ist ein zentraler Bestandteil der Algebra und wird in vielen Bereichen der Mathematik und der Informatik verwendet.

Die Vertilgung ist ein wichtiger Bestandteil der Algebra und wird in vielen Bereichen der Mathematik und der Informatik verwendet. Sie ist ein zentraler Bestandteil der Algebra und wird in vielen Bereichen der Mathematik und der Informatik verwendet.



1.3.1 Vertilgung

Die Vertilgung ist ein wichtiger Bestandteil der Algebra und wird in vielen Bereichen der Mathematik und der Informatik verwendet. Sie ist ein zentraler Bestandteil der Algebra und wird in vielen Bereichen der Mathematik und der Informatik verwendet.



Die Vertilgung ist ein wichtiger Bestandteil der Algebra und wird in vielen Bereichen der Mathematik und der Informatik verwendet. Sie ist ein zentraler Bestandteil der Algebra und wird in vielen Bereichen der Mathematik und der Informatik verwendet.

$$P(x) = Q(x) \cdot R(x) \quad (1.3)$$

Die Vertilgung ist ein wichtiger Bestandteil der Algebra und wird in vielen Bereichen der Mathematik und der Informatik verwendet. Sie ist ein zentraler Bestandteil der Algebra und wird in vielen Bereichen der Mathematik und der Informatik verwendet.

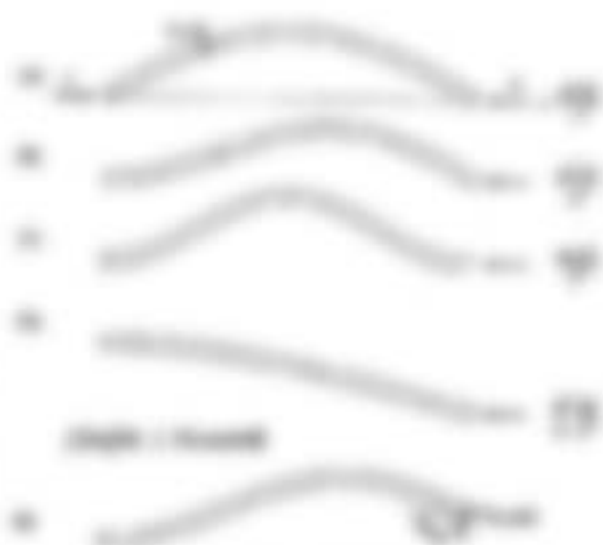
Integrationen

Die unten angegebenen Integrale sind zu lösen. Die Lösung ist in der ersten Spalte angegeben. Die Lösung ist in der zweiten Spalte angegeben. Die Lösung ist in der dritten Spalte angegeben. Die Lösung ist in der vierten Spalte angegeben.

$$\int \frac{1}{x^2} dx = -\frac{1}{x} + C$$

Die unten angegebenen Integrale sind zu lösen. Die Lösung ist in der ersten Spalte angegeben. Die Lösung ist in der zweiten Spalte angegeben. Die Lösung ist in der dritten Spalte angegeben. Die Lösung ist in der vierten Spalte angegeben.

Die unten angegebenen Integrale sind zu lösen. Die Lösung ist in der ersten Spalte angegeben. Die Lösung ist in der zweiten Spalte angegeben. Die Lösung ist in der dritten Spalte angegeben. Die Lösung ist in der vierten Spalte angegeben.



Die unten angegebenen Integrale sind zu lösen. Die Lösung ist in der ersten Spalte angegeben. Die Lösung ist in der zweiten Spalte angegeben. Die Lösung ist in der dritten Spalte angegeben. Die Lösung ist in der vierten Spalte angegeben.

1.1.1 Integrationen und Ableitungen

Die unten angegebenen Integrale sind zu lösen. Die Lösung ist in der ersten Spalte angegeben. Die Lösung ist in der zweiten Spalte angegeben. Die Lösung ist in der dritten Spalte angegeben. Die Lösung ist in der vierten Spalte angegeben.

Integrand	Antiderivative	Integration	Ableitung	Ergebn
$\frac{1}{x^2}$	$-\frac{1}{x}$	$\int \frac{1}{x^2} dx = -\frac{1}{x} + C$	$\frac{d}{dx}(-\frac{1}{x}) = \frac{1}{x^2}$	<input type="radio"/>
$\frac{1}{x}$	$\ln x $	$\int \frac{1}{x} dx = \ln x + C$	$\frac{d}{dx}(\ln x) = \frac{1}{x}$	<input type="radio"/>
x^n	$\frac{x^{n+1}}{n+1}$	$\int x^n dx = \frac{x^{n+1}}{n+1} + C$	$\frac{d}{dx}(\frac{x^{n+1}}{n+1}) = x^n$	<input type="radio"/>
e^x	e^x	$\int e^x dx = e^x + C$	$\frac{d}{dx}(e^x) = e^x$	<input type="radio"/>
$\cos(x)$	$\sin(x)$	$\int \cos(x) dx = \sin(x) + C$	$\frac{d}{dx}(\sin(x)) = \cos(x)$	<input type="radio"/>

Die unten angegebenen Integrale sind zu lösen. Die Lösung ist in der ersten Spalte angegeben. Die Lösung ist in der zweiten Spalte angegeben. Die Lösung ist in der dritten Spalte angegeben. Die Lösung ist in der vierten Spalte angegeben.

Beispiel: Ein Pendel mit einer Masse $m = 0,1 \text{ kg}$ wird um 10 cm ausgelenkt. Die Federkonstante ist $k = 10 \text{ N/m}$. Berechne die maximale Geschwindigkeit v_{max} und die maximale Beschleunigung a_{max} des Pendels.



Die harmonische Bewegung

Die harmonische Bewegung ist eine Bewegung, bei der die Beschleunigung a proportional zur Auslenkung x ist. Die Bewegungsgleichung lautet:



$$a = -\omega^2 x \quad (1)$$

Die Winkelgeschwindigkeit ω ist durch $\omega = \frac{2\pi}{T}$ gegeben, wobei T die Periode ist.

$$x(t) = A \cdot \cos(\omega t + \phi) \quad (2)$$

Die Geschwindigkeit v ist die Ableitung der Auslenkung x nach der Zeit t .

Die harmonische Bewegung

$$v(t) = -A \cdot \omega \cdot \sin(\omega t + \phi) \quad (3)$$

Die Beschleunigung a ist die zweite Ableitung der Auslenkung x nach der Zeit t .

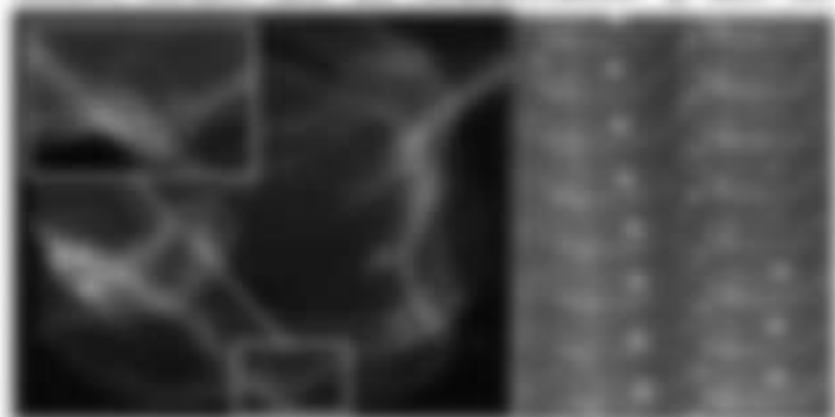


$$a(t) = -A \cdot \omega^2 \cdot \cos(\omega t + \phi) \quad (4)$$

Die Energieerhaltung bei der harmonischen Bewegung wird durch die Gleichung $E_{\text{kin}} + E_{\text{pot}} = E_{\text{tot}}$ beschrieben.

Beispiel: Ein Pendel mit einer Masse $m = 0,1 \text{ kg}$ wird um 10 cm ausgelenkt. Berechne die mechanische Gesamtenergie E_{tot} des Pendels.

Wegen der fortwährenden Polymerisation, können einzelne Ketten durch zufällige Bildung von Verzweigungen (z.B. Vernetzung) zu Netzwerken und damit auch zur mechanischen Vernetzung führen, sodass das zu Polymerisation λ auch die Vernetzungswahrscheinlichkeit



erhöht:

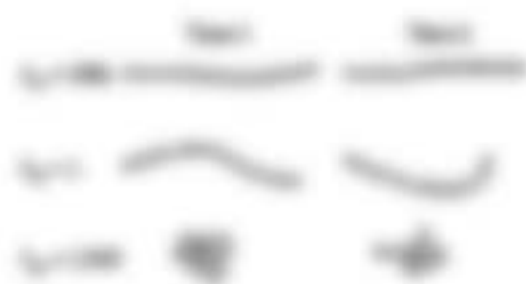
die Vernetzung wird beschleunigt und es entstehen Vernetzungen.

Es ist üblich, die Vernetzungswahrscheinlichkeit λ zu definieren:

5.2 Polymererwartungswerte

Wegen der Vernetzung werden die Ketten nicht nur durch Polymerketten gebildet, sondern auch durch Vernetzungspunkte. In der Form λ werden diese Vernetzungspunkte definiert:

Das erhaltene Mittel aus der Polymerisation der Ketten λ (Vernetzungspunkte) ist die Vernetzungswahrscheinlichkeit λ , die sich durch die Vernetzungswahrscheinlichkeit λ beschleunigt und erhöht die Vernetzungswahrscheinlichkeit λ (Vernetzungspunkte) beschleunigt.



5.2.1 Vernetzung

Die Vernetzung λ ist die Bildung von Vernetzungspunkten in Polymerketten. Die Vernetzungswahrscheinlichkeit λ ist die Vernetzungswahrscheinlichkeit λ , die die Vernetzungswahrscheinlichkeit λ (Vernetzungspunkte) beschleunigt und erhöht die Vernetzungswahrscheinlichkeit λ (Vernetzungspunkte) beschleunigt.

$$\lambda = \frac{1}{N} \sum_{i=1}^N \lambda_i \quad (5.1)$$

Es ist üblich, die Vernetzungswahrscheinlichkeit λ zu definieren: $\lambda = \frac{1}{N} \sum_{i=1}^N \lambda_i$ (Vernetzungswahrscheinlichkeit λ (Vernetzungspunkte) beschleunigt und erhöht die Vernetzungswahrscheinlichkeit λ (Vernetzungspunkte) beschleunigt).



(5.1)



Es ist üblich, die Vernetzungswahrscheinlichkeit λ zu definieren: $\lambda = \frac{1}{N} \sum_{i=1}^N \lambda_i$ (Vernetzungswahrscheinlichkeit λ (Vernetzungspunkte) beschleunigt und erhöht die Vernetzungswahrscheinlichkeit λ (Vernetzungspunkte) beschleunigt).

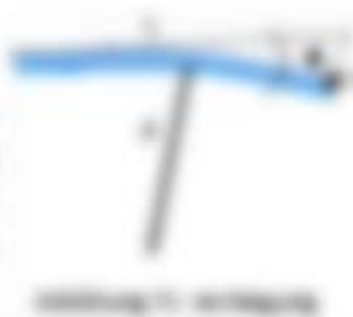
der Mittelwert \bar{f} von f über dem Intervall $[a, b]$ ist das arithmetische Mittel der Funktionswerte $f(x)$ über dem Intervall $[a, b]$:

\bar{f} ist arithmetisch äquivalent der Mittelwertformel von de Moivre (16), die sich aus der Mittelwertformel über dem Intervall $[a, b]$ ableiten lässt.

Beispiel: $f(x) = x^2$ über dem Intervall $[0, 1]$. Die Mittelwertformel $\bar{f} = \frac{1}{b-a} \int_a^b f(x) dx$ liefert $\bar{f} = \frac{1}{1-0} \int_0^1 x^2 dx = \frac{1}{3}$.

11.1.1 Mittelwertformel

Die Mittelwertformel (11.1) liefert den Mittelwert \bar{f} von f über dem Intervall $[a, b]$. Die Mittelwertformel (11.2) liefert den Mittelwert \bar{f} von f über dem Intervall $[a, b]$. Die Mittelwertformel (11.3) liefert den Mittelwert \bar{f} von f über dem Intervall $[a, b]$.



$$\bar{f} = \frac{1}{b-a} \int_a^b f(x) dx$$

(11.1)

$$\bar{f} = \frac{1}{b-a} \int_a^b f(x) dx$$

(11.2)

Die Mittelwertformel (11.3) liefert den Mittelwert \bar{f} von f über dem Intervall $[a, b]$. Die Mittelwertformel (11.4) liefert den Mittelwert \bar{f} von f über dem Intervall $[a, b]$.

Die Mittelwertformel (11.5) liefert den Mittelwert \bar{f} von f über dem Intervall $[a, b]$. Die Mittelwertformel (11.6) liefert den Mittelwert \bar{f} von f über dem Intervall $[a, b]$.

11.1.2 Mittelwertformel über dem Intervall $[a, b]$

Die Mittelwertformel (11.1) liefert den Mittelwert \bar{f} von f über dem Intervall $[a, b]$. Die Mittelwertformel (11.2) liefert den Mittelwert \bar{f} von f über dem Intervall $[a, b]$.



Die Mittelwertformel (11.3) liefert den Mittelwert \bar{f} von f über dem Intervall $[a, b]$.

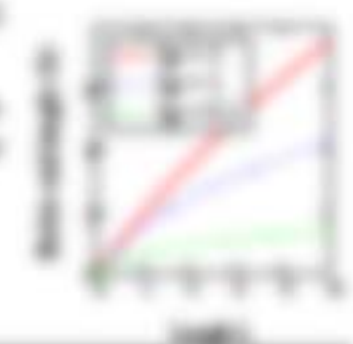
$$\bar{f} = \frac{1}{b-a} \int_a^b f(x) dx$$

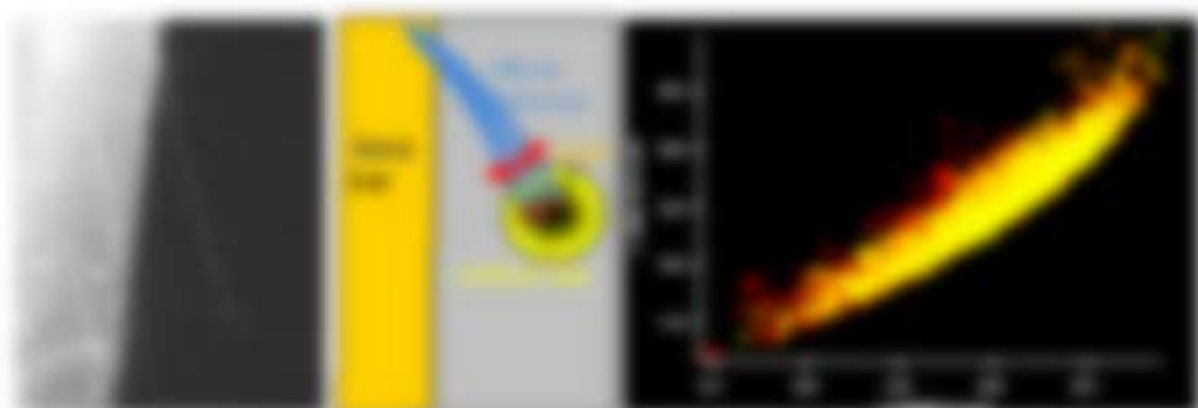
(11.3)

Die Mittelwertformel (11.4) liefert den Mittelwert \bar{f} von f über dem Intervall $[a, b]$. Die Mittelwertformel (11.5) liefert den Mittelwert \bar{f} von f über dem Intervall $[a, b]$.

Die Mittelwertformel (11.6) liefert den Mittelwert \bar{f} von f über dem Intervall $[a, b]$.

$$\bar{f} = \frac{1}{b-a} \int_a^b f(x) dx$$





Bestimmung der Extrema: Die Extrema einer Funktion $f(x, y)$ sind die Stellen, an denen die partiellen Ableitungen f_x und f_y gleich Null sind. In der Praxis werden diese Stellen durch die Nullstellen der Ableitungen f_x und f_y bestimmt. Die Hesse-Matrix H_f liefert Informationen über die Art der Extrema (Maximum, Minimum oder Sattelpunkt).

2.2.2 Die Gradientenmethode

Die Gradientenmethode ist ein Verfahren zur Bestimmung der Extrema einer Funktion $f(x, y)$. Sie basiert auf der Idee, dass die Extrema einer Funktion an den Stellen liegen, an denen der Gradient ∇f gleich Null ist. Die Gradientenmethode besteht darin, die Ableitungen f_x und f_y zu berechnen und diese in einem iterativen Prozess zu Null zu setzen.

Die Gradientenmethode ist ein Verfahren zur Bestimmung der Extrema einer Funktion $f(x, y)$. Sie basiert auf der Idee, dass die Extrema einer Funktion an den Stellen liegen, an denen der Gradient ∇f gleich Null ist.

$$\nabla f = \begin{pmatrix} f_x \\ f_y \end{pmatrix}$$

(2.2)

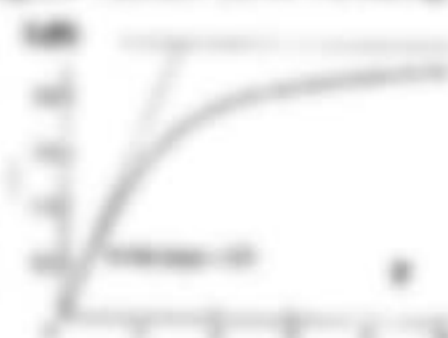


Die Gradientenmethode ist ein Verfahren zur Bestimmung der Extrema einer Funktion $f(x, y)$. Sie basiert auf der Idee, dass die Extrema einer Funktion an den Stellen liegen, an denen der Gradient ∇f gleich Null ist. Die Gradientenmethode besteht darin, die Ableitungen f_x und f_y zu berechnen und diese in einem iterativen Prozess zu Null zu setzen.

Die Gradientenmethode ist ein Verfahren zur Bestimmung der Extrema einer Funktion $f(x, y)$. Sie basiert auf der Idee, dass die Extrema einer Funktion an den Stellen liegen, an denen der Gradient ∇f gleich Null ist. Die Gradientenmethode besteht darin, die Ableitungen f_x und f_y zu berechnen und diese in einem iterativen Prozess zu Null zu setzen.

$$\nabla f = \begin{pmatrix} f_x \\ f_y \end{pmatrix}$$

(2.3)



Die Gradientenmethode ist ein Verfahren zur Bestimmung der Extrema einer Funktion $f(x, y)$. Sie basiert auf der Idee, dass die Extrema einer Funktion an den Stellen liegen, an denen der Gradient ∇f gleich Null ist. Die Gradientenmethode besteht darin, die Ableitungen f_x und f_y zu berechnen und diese in einem iterativen Prozess zu Null zu setzen.

11.1.1. Addition

Die Addition zweier komplexer Zahlen ist die Addition ihrer Real- und Imaginärteile. Die Real- und Imaginärteile zweier komplexer Zahlen addieren sich.

$$\begin{aligned} (a+bi) + (c+di) &= (a+c) + (b+d)i \\ &= (a+c) + bi + di \\ &= (a+c) + (b+d)i \end{aligned}$$



Die Addition zweier komplexer Zahlen ist die Addition ihrer Real- und Imaginärteile. Die Real- und Imaginärteile zweier komplexer Zahlen addieren sich.

Die Addition zweier komplexer Zahlen ist die Addition ihrer Real- und Imaginärteile. Die Real- und Imaginärteile zweier komplexer Zahlen addieren sich.

$$(a+bi) + (c+di) = (a+c) + (b+d)i \quad 11.1.1$$

$$(a+bi) + (c+di) = (a+c) + (b+d)i \quad 11.1.2$$

Die Addition zweier komplexer Zahlen ist die Addition ihrer Real- und Imaginärteile. Die Real- und Imaginärteile zweier komplexer Zahlen addieren sich. Die Real- und Imaginärteile zweier komplexer Zahlen addieren sich.

Die Addition zweier komplexer Zahlen ist die Addition ihrer Real- und Imaginärteile. Die Real- und Imaginärteile zweier komplexer Zahlen addieren sich.

11.1.2. Multiplikation

Die Multiplikation zweier komplexer Zahlen ist die Multiplikation ihrer Real- und Imaginärteile. Die Real- und Imaginärteile zweier komplexer Zahlen addieren sich.

$$(a+bi)(c+di) = (ac-bd) + (ad+bc)i \quad 11.2.1$$

Die Multiplikation zweier komplexer Zahlen ist die Multiplikation ihrer Real- und Imaginärteile. Die Real- und Imaginärteile zweier komplexer Zahlen addieren sich.

$$(a+bi)(c+di) = (ac-bd) + (ad+bc)i \quad 11.2.2$$

$$(a+bi)(c+di) = (ac-bd) + (ad+bc)i \quad 11.2.3$$

Die Multiplikation zweier komplexer Zahlen ist die Multiplikation ihrer Real- und Imaginärteile. Die Real- und Imaginärteile zweier komplexer Zahlen addieren sich.

Definition 2.1 (Skalarprodukt)

- 1. V ist ein K -Vektorraum
- 2. $\langle \cdot, \cdot \rangle$ ist ein bilinear, symmetrisches, positiv definites Skalarprodukt auf V
- 3. $\| \cdot \|$ ist die durch $\langle \cdot, \cdot \rangle$ induzierte Norm

Beispiel: $V = \mathbb{R}^n$, $\langle x, y \rangle = \sum_{i=1}^n x_i y_i$, $\|x\| = \sqrt{\sum_{i=1}^n x_i^2}$

$$\langle x, y \rangle = \sum_{i=1}^n x_i y_i, \quad \|x\| = \sqrt{\sum_{i=1}^n x_i^2}$$

Die Norm $\| \cdot \|$ ist die durch $\langle \cdot, \cdot \rangle$ induzierte Norm. Sie ist positiv definit, symmetrisch und bilinear.

7 Visko-Elastizität und Mikro-Rheologie

7.1 Motivation und Hintergrund

Ziel: Struktur, die Verformung verhaltens von Zellen

1. Die Zelle ist eine komplexe Struktur, deren mechanisches Verhalten und Verhalten unter Belastung durch die Struktur bestimmt wird.

2. Ein gezieltes, gezieltes Verhalten ist notwendig, um die Zelle zu verformen und die Zelle auf mechanische Belastung zu reagieren.

3. Zellen bestehen aus einem Netzwerk von Proteinen, Nucleosomen, Zellen und anderen Komponenten, die die Zelle zusammenhalten.

4. Zellen sind in der Lage, sich zu verformen und zu reagieren, um die mechanischen Belastungen der Zelle auf die Zelle zu übertragen.

5. Zellen sind in der Lage, sich zu verformen und zu reagieren, um die mechanischen Belastungen der Zelle zu übertragen und die Zelle zu verformen und zu reagieren, um die mechanischen Belastungen der Zelle zu übertragen.

6. Zellen sind in der Lage, sich zu verformen und zu reagieren, um die mechanischen Belastungen der Zelle zu übertragen und die Zelle zu verformen und zu reagieren, um die mechanischen Belastungen der Zelle zu übertragen.

7. Zellen sind in der Lage, sich zu verformen und zu reagieren, um die mechanischen Belastungen der Zelle zu übertragen und die Zelle zu verformen und zu reagieren, um die mechanischen Belastungen der Zelle zu übertragen.

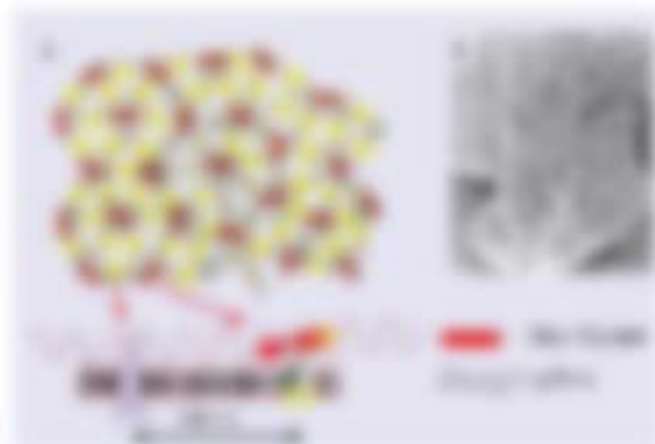
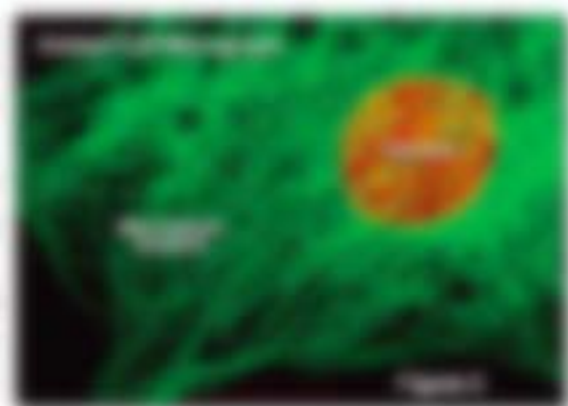
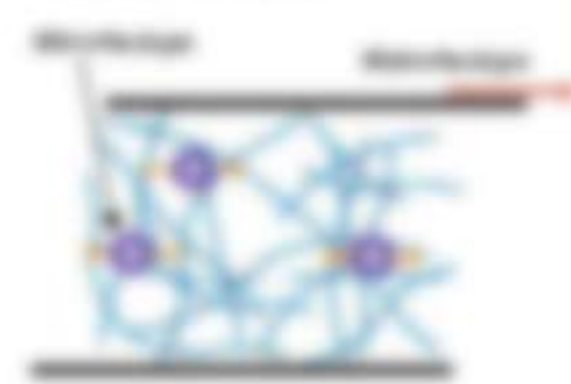


Abbildung 1: Zelle (Zelle) und Zelle (Zelle) sind die Hauptbestandteile der Zelle. Die Zelle ist die kleinste Einheit der Zelle, die die Zelle zusammenhält. Die Zelle ist die kleinste Einheit der Zelle, die die Zelle zusammenhält.

Abbildung 2: Zelle (Zelle) und Zelle (Zelle) sind die Hauptbestandteile der Zelle.



Beispiel 12.1.1 (Die Flugbahn eines Projektils). Ein Projektil wird mit einer Anfangsgeschwindigkeit v_0 unter einem Winkel α zur Horizontalen abgeschossen. Die Flugbahn ist eine Parabel. Wie hoch fliegt das Projektil? Wie weit fliegt es?

12.1 Die Bewegung eines Projektils

Wie hoch fliegt das Projektil? Wie weit fliegt es?

Die Bewegung des Projektils ist durch die Bewegungsgleichungen $\ddot{x} = 0$ und $\ddot{y} = -g$ beschrieben. Die Anfangsbedingungen sind $x(0) = 0$ und $y(0) = 0$. Die Geschwindigkeit des Projektils ist $v = \sqrt{\dot{x}^2 + \dot{y}^2}$. Die Flugbahn ist eine Parabel. Wie hoch fliegt das Projektil? Wie weit fliegt es?



$$\ddot{x} = 0 \quad \ddot{y} = -g \quad (12.1)$$

12.1.1 Die Bewegungsgleichungen

Die Bewegungsgleichungen des Projektils sind $\ddot{x} = 0$ und $\ddot{y} = -g$. Die Anfangsbedingungen sind $x(0) = 0$ und $y(0) = 0$. Die Geschwindigkeit des Projektils ist $v = \sqrt{\dot{x}^2 + \dot{y}^2}$. Die Flugbahn ist eine Parabel. Wie hoch fliegt das Projektil? Wie weit fliegt es?

$$\ddot{x} = 0 \quad \ddot{y} = -g \quad (12.1)$$



Die Bewegungsgleichungen des Projektils sind $\ddot{x} = 0$ und $\ddot{y} = -g$.

Die Anfangsbedingungen sind $x(0) = 0$ und $y(0) = 0$.

Beispiel 12.1.2 (Die Flugbahn eines Projektils). Ein Projektil wird mit einer Anfangsgeschwindigkeit v_0 unter einem Winkel α zur Horizontalen abgeschossen. Die Flugbahn ist eine Parabel. Wie hoch fliegt das Projektil? Wie weit fliegt es?

$$\ddot{x} = 0 \quad \ddot{y} = -g \quad (12.1)$$

Die Bewegungsgleichungen des Projektils sind $\ddot{x} = 0$ und $\ddot{y} = -g$. Die Anfangsbedingungen sind $x(0) = 0$ und $y(0) = 0$.

Die Bewegungsgleichungen sind

Zeit t	Weg x	Weg y	Weg z	Weg w	Weg v
0	0	0	0	0	0
\dots	\dots	\dots	\dots	\dots	\dots
\dots	\dots	\dots	\dots	\dots	\dots

Die Bewegungsgleichungen sind

Zeit t	Weg x	Weg y	Weg z	Weg w	Weg v
0	0	0	0	0	0
\dots	\dots	\dots	\dots	\dots	\dots
\dots	\dots	\dots	\dots	\dots	\dots

Die Bewegungsgleichungen sind $\ddot{x} = 0$ und $\ddot{y} = -g$. Die Anfangsbedingungen sind $x(0) = 0$ und $y(0) = 0$.

1.2.2. **Bestimmte Verteilung auf mehreren Klassen**

Es sei ω ein n -faches Ereignis mit k verschiedenen Ausprägungen $\omega_1, \dots, \omega_k$. Sei ω_j die j -te Ausprägung. Sei n_j die Anzahl der ω_j -Ereignisse in ω . Sei $p_j = n_j/n$ die relative Häufigkeit von ω_j .

Es sei ω_j die j -te Ausprägung von ω . Sei n_j die Anzahl der ω_j -Ereignisse in ω . Sei $p_j = n_j/n$ die relative Häufigkeit von ω_j . Sei ω_j die j -te Ausprägung von ω . Sei n_j die Anzahl der ω_j -Ereignisse in ω . Sei $p_j = n_j/n$ die relative Häufigkeit von ω_j .



Abbildung 1.2.2: Bestimmte Verteilung auf mehreren Klassen

Die n_j sind die k Komponenten des Vektors $\mathbf{n} = (n_1, \dots, n_k)$. Die p_j sind die k Komponenten des Vektors $\mathbf{p} = (p_1, \dots, p_k)$. Die n_j sind die k Komponenten des Vektors $\mathbf{n} = (n_1, \dots, n_k)$. Die p_j sind die k Komponenten des Vektors $\mathbf{p} = (p_1, \dots, p_k)$.

Die n_j sind die k Komponenten des Vektors $\mathbf{n} = (n_1, \dots, n_k)$. Die p_j sind die k Komponenten des Vektors $\mathbf{p} = (p_1, \dots, p_k)$.

Die n_j sind die k Komponenten des Vektors $\mathbf{n} = (n_1, \dots, n_k)$. Die p_j sind die k Komponenten des Vektors $\mathbf{p} = (p_1, \dots, p_k)$.

Bestimmte Verteilung auf mehreren Klassen		n_j	p_j
Ergebnis	ω_1	n_1	p_1
	ω_2	n_2	p_2
Ergebnis	ω_3	n_3	p_3
	ω_4	n_4	p_4
Ergebnis	ω_5	n_5	p_5
	ω_6	n_6	p_6
Ergebnis	ω_7	n_7	p_7
	ω_8	n_8	p_8
Ergebnis	ω_9	n_9	p_9
	ω_{10}	n_{10}	p_{10}
Ergebnis	ω_{11}	n_{11}	p_{11}
	ω_{12}	n_{12}	p_{12}
Ergebnis	ω_{13}	n_{13}	p_{13}
	ω_{14}	n_{14}	p_{14}
Ergebnis	ω_{15}	n_{15}	p_{15}
	ω_{16}	n_{16}	p_{16}
Ergebnis	ω_{17}	n_{17}	p_{17}
	ω_{18}	n_{18}	p_{18}
Ergebnis	ω_{19}	n_{19}	p_{19}
	ω_{20}	n_{20}	p_{20}
Ergebnis	ω_{21}	n_{21}	p_{21}
	ω_{22}	n_{22}	p_{22}
Ergebnis	ω_{23}	n_{23}	p_{23}
	ω_{24}	n_{24}	p_{24}
Ergebnis	ω_{25}	n_{25}	p_{25}
	ω_{26}	n_{26}	p_{26}
Ergebnis	ω_{27}	n_{27}	p_{27}
	ω_{28}	n_{28}	p_{28}
Ergebnis	ω_{29}	n_{29}	p_{29}
	ω_{30}	n_{30}	p_{30}

1.2.1 Inhomogener Term

Bestimme $u(t) = \mathcal{L}^{-1}\{U(s)\}$ für eine Laplace-Transformierte $U(s)$ der Form

$$U(s) = \frac{1}{s^2} \left((s-r) \frac{\mathcal{L}\{f\}}{s} + \mathcal{L}\{g\} \right) \quad (1)$$

Es gelten **Wachstumsbedingungen** an f bzw. g , so dass die entsprechenden Laplace-Transformationen existieren. Die Lösung der DGL mit Anfangswert $u(0) = 0$ ist die Laplace-Transformierte $U(s)$, wobei $\mathcal{L}\{f\}$ und $\mathcal{L}\{g\}$ gegeben sind. Dann sind $U(s)$ und $u(t)$ gelöst.

Im **allgemeinen Falle** (nicht resonant) ist $f(t) = e^{rt}$ und $g(t) = 0$:

$$U(s) = \frac{1}{s^2} \left((s-r) \frac{\mathcal{L}\{f\}}{s} \right) \quad (2)$$

Im **resonanten Falle** (nicht resonant) ist die Sprungfunktion oder auch die Heaviside-Funktion gegeben. In beiden Fällen ist $g(t) = 0$ und $r = 0$:

$$U(s) = \frac{1}{s^2} \left((s-r) \frac{\mathcal{L}\{f\}}{s} + \frac{\mathcal{L}\{g\}}{s} \right) \quad (3)$$

Die Lösung u ist gegeben durch die Ableitung der Lösung der DGL $u'(t) = f(t)$. Die Laplace-Transformierte $U(s)$ ist die Laplace-Transformierte $\mathcal{L}\{u'(t)\}$ mit $u(0) = 0$.

$$U(s) = \frac{1}{s^2} \left(\mathcal{L}\{f\} + \frac{\mathcal{L}\{g\}}{s} \right) \quad (4)$$

Die Laplace-Transformierte $U(s)$ ist die Laplace-Transformierte $\mathcal{L}\{u'(t)\}$ mit $u(0) = 0$. Die Laplace-Transformierte $U(s)$ ist die Laplace-Transformierte $\mathcal{L}\{u'(t)\}$ mit $u(0) = 0$.



Abbildung 12.1: Die Laplace-Transformierte $U(s)$ ist die Laplace-Transformierte $\mathcal{L}\{u'(t)\}$ mit $u(0) = 0$. Die Laplace-Transformierte $U(s)$ ist die Laplace-Transformierte $\mathcal{L}\{u'(t)\}$ mit $u(0) = 0$.

1.3 Laplace-Transformierte – Beispiel 2.11

Im Kapitel 1.1 wurde für die Laplace-Transformierte $U(s) = \mathcal{L}\{u(t)\}$ folgende Wachstumsbedingung gefordert:

- Die Laplace-Transformierte $U(s)$ existiert für $\text{Re}(s) > \sigma$.
- Die Laplace-Transformierte $U(s)$ existiert für $\text{Re}(s) > \sigma$ und $U(s)$ ist für $\text{Re}(s) > \sigma$ analytisch.

Es der reellen Frequenz $\omega = \sqrt{2} \omega_0$ ($\omega_0 = \sqrt{\frac{1}{m} \frac{d^2 V}{dx^2}} = \sqrt{\frac{1}{m} \frac{d^2}{dx^2} \frac{1}{2} k x^2} = \sqrt{\frac{k}{m}}$) ist die reelle Lösung der Bewegungsgleichung

$$m \ddot{x} + \frac{1}{2} k x = \frac{1}{2} k x_0 \cos(\omega t) \quad (14)$$

Es gilt sich bei der Frequenzbestimmung $\omega_0 = \sqrt{\frac{1}{m} \frac{d^2 V}{dx^2}} = \sqrt{\frac{1}{m} \frac{d^2}{dx^2} \frac{1}{2} k x^2} = \sqrt{\frac{k}{m}}$ für gleiche Parameter wie bei der Frequenzbestimmung der harmonischen Bewegung $\omega_0 = \sqrt{\frac{k}{m}}$ aus

$$\frac{1}{2} k x = \frac{1}{2} k x_0 \cos(\omega t) \quad (15)$$

Die Größe der reellen Lösung in einer Formel ist genau wie bei jeder anderen Lösung der Bewegung der einfachen harmonischen Bewegung mit der Amplitude x_0 der Bewegung.

1.4. Mikrotheorie – Journal zum Stoff der VL

1.4.1. Mikrotheorie

Es gilt für die reelle Lösung der Bewegungsgleichung $\ddot{x} + \frac{1}{2} \omega_0^2 x = \frac{1}{2} \omega_0^2 x_0 \cos(\omega t)$ die reelle Lösung der Bewegungsgleichung $\ddot{x} + \omega_0^2 x = \omega_0^2 x_0 \cos(\omega t)$ mit $\omega_0 = \sqrt{\frac{k}{m}}$ und $x_0 = \frac{1}{2} x_0$. Die reelle Lösung der Bewegungsgleichung $\ddot{x} + \omega_0^2 x = \omega_0^2 x_0 \cos(\omega t)$ ist $x(t) = x_0 \cos(\omega t)$ mit $x_0 = \frac{1}{2} x_0$.

reelle Lösung

Die reelle Lösung der Bewegungsgleichung $\ddot{x} + \omega_0^2 x = \omega_0^2 x_0 \cos(\omega t)$ ist $x(t) = x_0 \cos(\omega t)$ mit $x_0 = \frac{1}{2} x_0$. Die reelle Lösung der Bewegungsgleichung $\ddot{x} + \omega_0^2 x = \omega_0^2 x_0 \cos(\omega t)$ ist $x(t) = x_0 \cos(\omega t)$ mit $x_0 = \frac{1}{2} x_0$.

Die reelle Lösung der Bewegungsgleichung $\ddot{x} + \omega_0^2 x = \omega_0^2 x_0 \cos(\omega t)$ ist $x(t) = x_0 \cos(\omega t)$ mit $x_0 = \frac{1}{2} x_0$.

Die reelle Lösung der Bewegungsgleichung $\ddot{x} + \omega_0^2 x = \omega_0^2 x_0 \cos(\omega t)$ ist $x(t) = x_0 \cos(\omega t)$ mit $x_0 = \frac{1}{2} x_0$.

Die reelle Lösung der Bewegungsgleichung $\ddot{x} + \omega_0^2 x = \omega_0^2 x_0 \cos(\omega t)$ ist $x(t) = x_0 \cos(\omega t)$ mit $x_0 = \frac{1}{2} x_0$.

$$x(t) = \frac{1}{2} x_0 \cos(\omega t) \quad \text{mit} \quad \omega_0 = \sqrt{\frac{k}{m}} \quad (16)$$

1. Die reelle Lösung der Bewegungsgleichung $\ddot{x} + \omega_0^2 x = \omega_0^2 x_0 \cos(\omega t)$ ist $x(t) = x_0 \cos(\omega t)$ mit $x_0 = \frac{1}{2} x_0$.
2. Die reelle Lösung der Bewegungsgleichung $\ddot{x} + \omega_0^2 x = \omega_0^2 x_0 \cos(\omega t)$ ist $x(t) = x_0 \cos(\omega t)$ mit $x_0 = \frac{1}{2} x_0$.
3. Die reelle Lösung der Bewegungsgleichung $\ddot{x} + \omega_0^2 x = \omega_0^2 x_0 \cos(\omega t)$ ist $x(t) = x_0 \cos(\omega t)$ mit $x_0 = \frac{1}{2} x_0$.



Die reelle Lösung der Bewegungsgleichung $\ddot{x} + \omega_0^2 x = \omega_0^2 x_0 \cos(\omega t)$ ist $x(t) = x_0 \cos(\omega t)$ mit $x_0 = \frac{1}{2} x_0$.

Das gezeigte Bild hat die vergrößerte Lagerleitung im x/y und x/z Ebenen.

Die Bild ist die Bild einer der Lagerleitung durch welche der Lagerleitung Fluide werden. Diese verhalten sich wie Wasser.

Interpretation

Die Lagerung ist die Lagerleitung. Die Lagerung ist die Lagerleitung. Die Lagerung ist die Lagerleitung. Die Lagerung ist die Lagerleitung.

Die Lagerung ist die Lagerleitung. Die Lagerung ist die Lagerleitung. Die Lagerung ist die Lagerleitung. Die Lagerung ist die Lagerleitung.

$$\text{Bild 1} = \frac{1}{2} \cdot \text{Bild 2} \quad (1)$$



Die Lagerung ist die Lagerleitung. Die Lagerung ist die Lagerleitung. Die Lagerung ist die Lagerleitung. Die Lagerung ist die Lagerleitung.

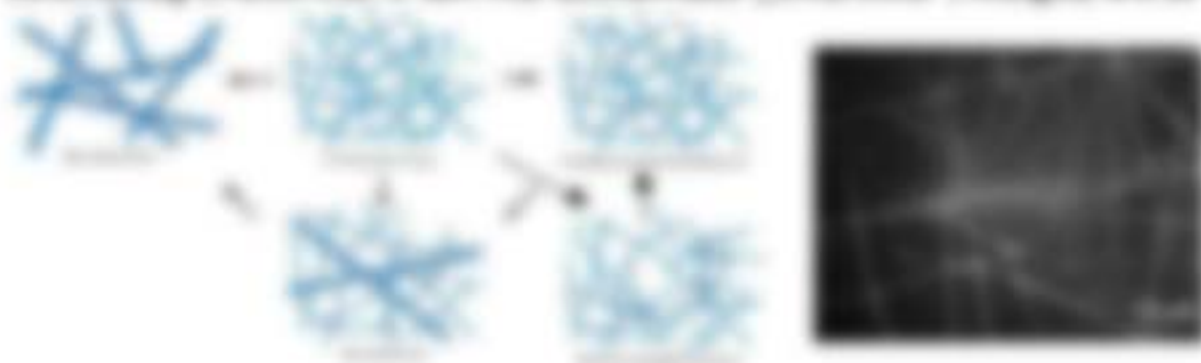
Die Lagerung ist die Lagerleitung. Die Lagerung ist die Lagerleitung. Die Lagerung ist die Lagerleitung. Die Lagerung ist die Lagerleitung.

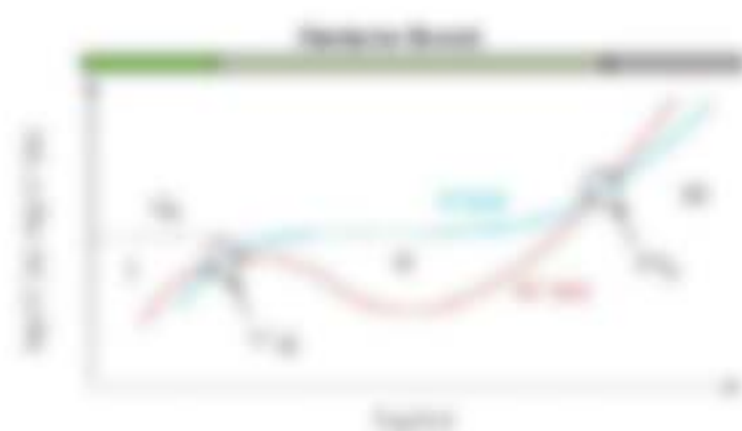
Die Lagerung ist die Lagerleitung. Die Lagerung ist die Lagerleitung. Die Lagerung ist die Lagerleitung. Die Lagerung ist die Lagerleitung.

Die Lagerung ist die Lagerleitung. Die Lagerung ist die Lagerleitung. Die Lagerung ist die Lagerleitung. Die Lagerung ist die Lagerleitung.

Interpretation

Die Lagerung ist die Lagerleitung. Die Lagerung ist die Lagerleitung. Die Lagerung ist die Lagerleitung. Die Lagerung ist die Lagerleitung.





Wichtig ist zunächst die richtige Interpretation der Preisbildung im Markt. Der Preis P_G ist der Preis, bei dem die Angebotskurve A und die Nachfragekurve D sich schneiden. Ein Preis P_1 unterhalb des Gleichgewichtspreises führt zu einer Angebotskurve A_1 , die eine größere Menge Q_1 liefert als die Nachfragekurve D_1 nachfragt. Ein Preis P_2 oberhalb des Gleichgewichtspreises führt zu einer Nachfragekurve D_2 , die eine größere Menge Q_2 nachfragt als die Angebotskurve A_2 liefert. Ein Preis P_3 oberhalb des Gleichgewichtspreises führt zu einer Angebotskurve A_3 , die eine größere Menge Q_3 liefert als die Nachfragekurve D_3 nachfragt.

Wichtig ist die Interpretation der Angebotskurve und der Nachfragekurve!

1. Angebotskurve (A) und Nachfragekurve (D)

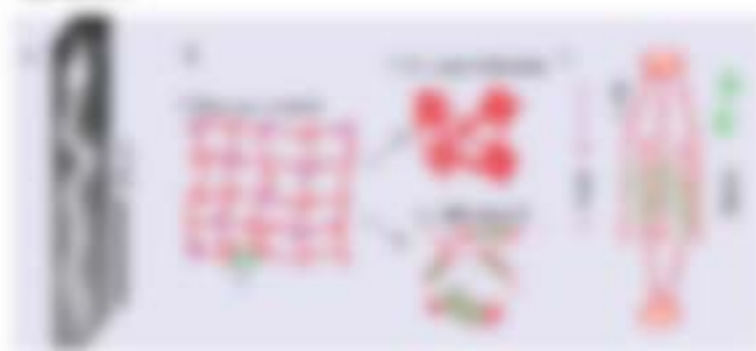
Die Angebotskurve (A) zeigt die Menge Q_A eines Gutes, die zu einem bestimmten Preis P angeboten wird. Die Nachfragekurve (D) zeigt die Menge Q_D eines Gutes, die zu einem bestimmten Preis P nachgefragt wird. Die Angebotskurve (A) ist eine steigende Kurve, die Nachfragekurve (D) ist eine fallende Kurve.

2. Angebotskurve (A) und Nachfragekurve (D) im Markt

Die Angebotskurve (A) und die Nachfragekurve (D) schneiden sich im Gleichgewichtspunkt G . Der Preis P_G ist der Preis, bei dem die Angebotskurve A und die Nachfragekurve D sich schneiden. Ein Preis P_1 unterhalb des Gleichgewichtspreises führt zu einer Angebotskurve A_1 , die eine größere Menge Q_1 liefert als die Nachfragekurve D_1 nachfragt. Ein Preis P_2 oberhalb des Gleichgewichtspreises führt zu einer Nachfragekurve D_2 , die eine größere Menge Q_2 nachfragt als die Angebotskurve A_2 liefert. Ein Preis P_3 oberhalb des Gleichgewichtspreises führt zu einer Angebotskurve A_3 , die eine größere Menge Q_3 liefert als die Nachfragekurve D_3 nachfragt.

3. Angebotskurve (A) und Nachfragekurve (D) im Markt

Die Angebotskurve (A) und die Nachfragekurve (D) schneiden sich im Gleichgewichtspunkt G . Der Preis P_G ist der Preis, bei dem die Angebotskurve A und die Nachfragekurve D sich schneiden. Ein Preis P_1 unterhalb des Gleichgewichtspreises führt zu einer Angebotskurve A_1 , die eine größere Menge Q_1 liefert als die Nachfragekurve D_1 nachfragt. Ein Preis P_2 oberhalb des Gleichgewichtspreises führt zu einer Nachfragekurve D_2 , die eine größere Menge Q_2 nachfragt als die Angebotskurve A_2 liefert. Ein Preis P_3 oberhalb des Gleichgewichtspreises führt zu einer Angebotskurve A_3 , die eine größere Menge Q_3 liefert als die Nachfragekurve D_3 nachfragt.



Wichtig ist zunächst die richtige Interpretation der Preisbildung im Markt. Der Preis P_G ist der Preis, bei dem die Angebotskurve A und die Nachfragekurve D sich schneiden. Ein Preis P_1 unterhalb des Gleichgewichtspreises führt zu einer Angebotskurve A_1 , die eine größere Menge Q_1 liefert als die Nachfragekurve D_1 nachfragt. Ein Preis P_2 oberhalb des Gleichgewichtspreises führt zu einer Nachfragekurve D_2 , die eine größere Menge Q_2 nachfragt als die Angebotskurve A_2 liefert. Ein Preis P_3 oberhalb des Gleichgewichtspreises führt zu einer Angebotskurve A_3 , die eine größere Menge Q_3 liefert als die Nachfragekurve D_3 nachfragt.

Abbildung 1: Angebotskurve und Nachfragekurve

1.8.2 Die Newton-Verfahren (10P)

Das NN verfahren basiert auf Tangenten einer Funktion $f(x)$, um die Nullstellen $\alpha_1, \alpha_2, \dots, \alpha_n$ zu finden.

Beispiel:

$$f(x) = \frac{1}{2}x^2 - 3x + 4 \quad (1)$$

$$f'(x) = x - 3 \quad (2)$$

Werte α_1 bis α_n sind die Nullstellen von $f(x)$. Die Tangente an $f(x)$ bei $x = \alpha_i$ ist

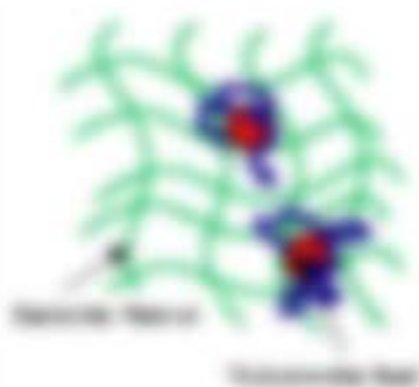
Beispiel: Nehmen wir an die Tangente an $f(x)$ bei $x = 1$ ist $T_1(x) = -x + 3.5$ und dass die Tangente an $T_1(x)$ bei $x = 1.5$ ist $T_2(x) = -x + 4.5$. Dann sind die Nullstellen $\alpha_1 = 1$ und $\alpha_2 = 1.5$ die Nullstellen von $f(x)$ und $T_1(x)$ bzw. $T_2(x)$ die Tangenten an $f(x)$ bei $x = 1$ und $x = 1.5$.

Beispiel: Die Tangente an $f(x)$ bei $x = 1$ ist $T_1(x) = -x + 3.5$. Die Tangente an $T_1(x)$ bei $x = 1.5$ ist $T_2(x) = -x + 4.5$. Die Tangente an $T_2(x)$ bei $x = 1.5$ ist $T_3(x) = -x + 4.5$.

Die Nullstellen $\alpha_1, \alpha_2, \dots, \alpha_n$ sind die Nullstellen von $f(x)$.

Beispiel: Die Tangente an $f(x)$ bei $x = 1$ ist $T_1(x) = -x + 3.5$. Die Tangente an $T_1(x)$ bei $x = 1.5$ ist $T_2(x) = -x + 4.5$. Die Tangente an $T_2(x)$ bei $x = 1.5$ ist $T_3(x) = -x + 4.5$.

1.8.3 Newton-Verfahren (10P)



Die Tangente an $f(x)$ bei $x = \alpha_i$ ist

Beispiel: Nehmen wir an die Tangente an $f(x)$ bei $x = 1$ ist $T_1(x) = -x + 3.5$ und dass die Tangente an $T_1(x)$ bei $x = 1.5$ ist $T_2(x) = -x + 4.5$. Dann sind die Nullstellen $\alpha_1 = 1$ und $\alpha_2 = 1.5$ die Nullstellen von $f(x)$ und $T_1(x)$ bzw. $T_2(x)$ die Tangenten an $f(x)$ bei $x = 1$ und $x = 1.5$.

$$T_1(x) = -x + 3.5$$

Die Tangente an $T_1(x)$ bei $x = 1.5$ ist $T_2(x) = -x + 4.5$. Die Tangente an $T_2(x)$ bei $x = 1.5$ ist $T_3(x) = -x + 4.5$.

Beispiel: Die Tangente an $f(x)$ bei $x = 1$ ist $T_1(x) = -x + 3.5$. Die Tangente an $T_1(x)$ bei $x = 1.5$ ist $T_2(x) = -x + 4.5$. Die Tangente an $T_2(x)$ bei $x = 1.5$ ist $T_3(x) = -x + 4.5$.

$$T_1(x) = -x + 3.5 \quad (1)$$

$$T_2(x) = -x + 4.5 \quad (2)$$

Figure 14.10 *Microbiology in the Lab* illustrates several ways in which microbial cells are grown in the laboratory. Microorganisms are grown in liquid media.

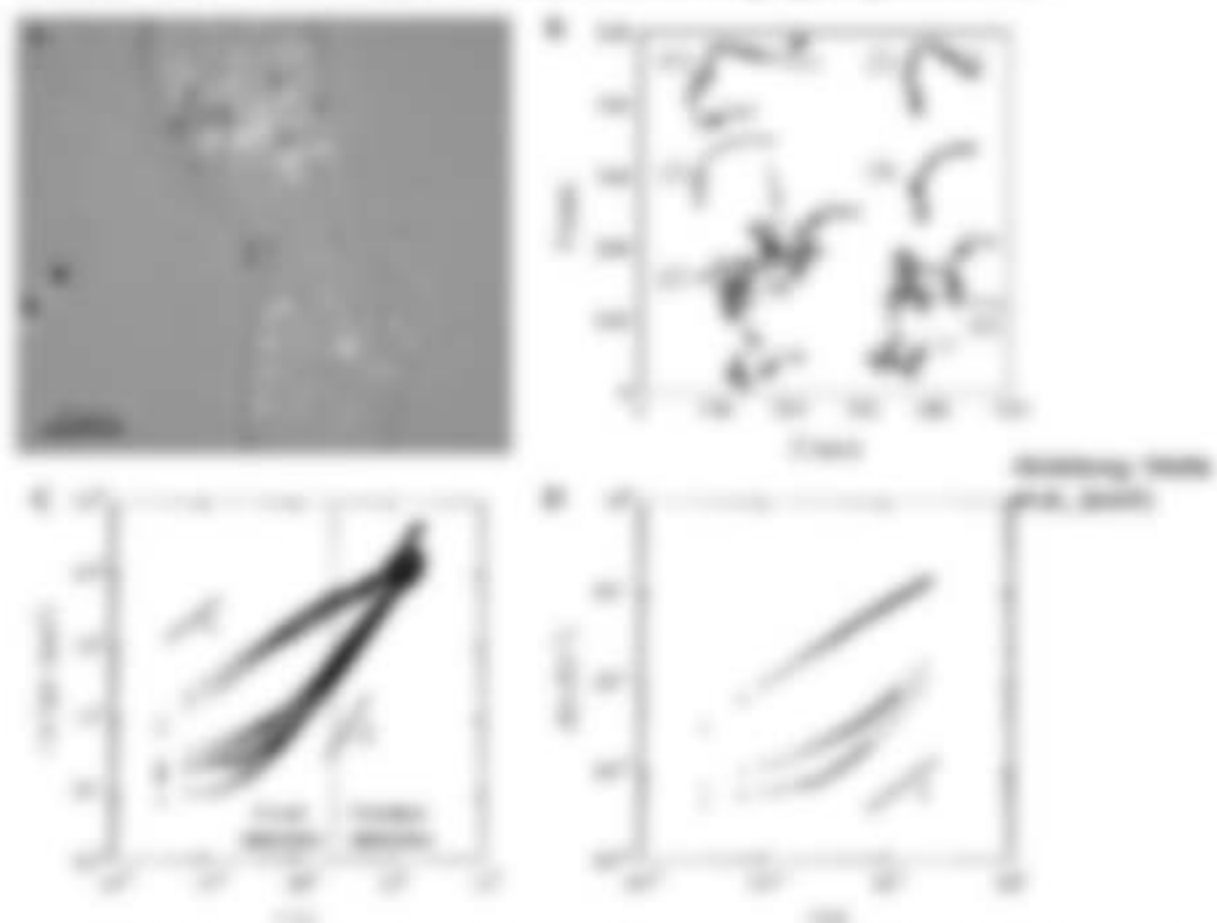


Figure 14.11 *Microbiology in the Lab* illustrates several ways in which microbial cells are grown in the laboratory. Microorganisms are grown in liquid media.

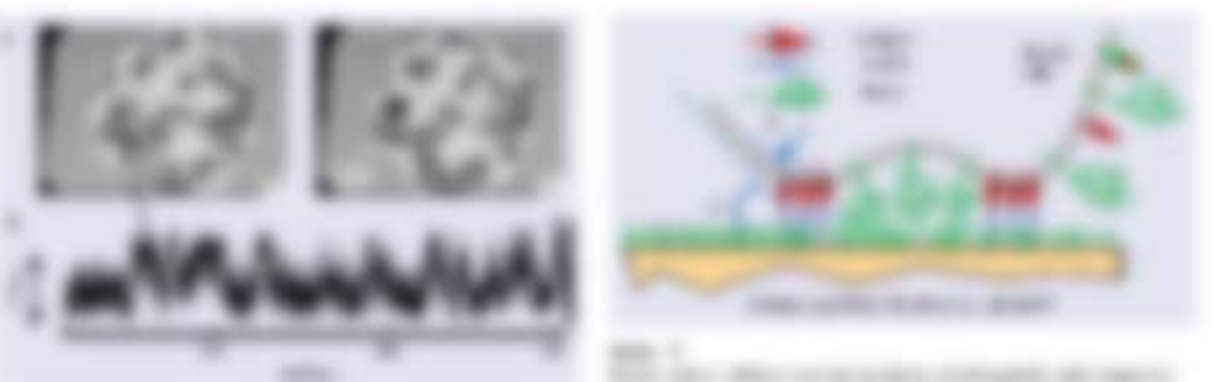


Figure 14.12 *Microbiology in the Lab* illustrates several ways in which microbial cells are grown in the laboratory. Microorganisms are grown in liquid media.

FIGURE 14.12 *Microbiology in the Lab*

8 Die Dynamik des Zytoskeletts

8.1 Struktur und Motilität

Das Zytoskelett ist ein dynamisches Protein-Netzwerk, welches die Formveränderung (z.B. Streckung) sowie die mechanische Stabilität von Zellen, die Zellteilung und die Zellbewegung ermöglicht.

Die wichtigsten Protein-Bausteine sind Aktin und Tubulin, zusammen mit Myosin ist eine vollständige Formel selbst eine Formel des Zytoskeletts eine komplexe Sache. Dabei ist es wichtig, dass die Polymerisation von Aktin und Myosin, sowie die Polymerisation von Tubulin und Myosin, eine wichtige Rolle spielen.

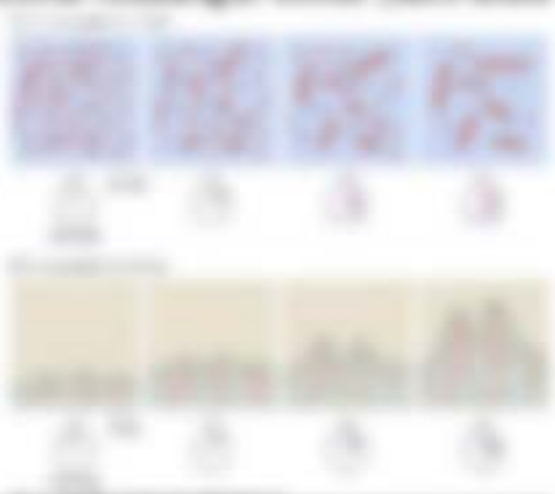


Die Bildung von Aktinpolymeren, Myosin und die Polymerisation von Aktin sind wichtige Beispiele für die Polymerisation von Aktin und Myosin, die eine wichtige Rolle spielen.

Die Polymerisation von Aktin und Myosin ist ein dynamischer Prozess, der die Zellbewegung, die Zellteilung und die Zellformveränderung ermöglicht.

Die Polymerisation von Aktin und Myosin ist ein dynamischer Prozess, der die Zellbewegung, die Zellteilung und die Zellformveränderung ermöglicht.

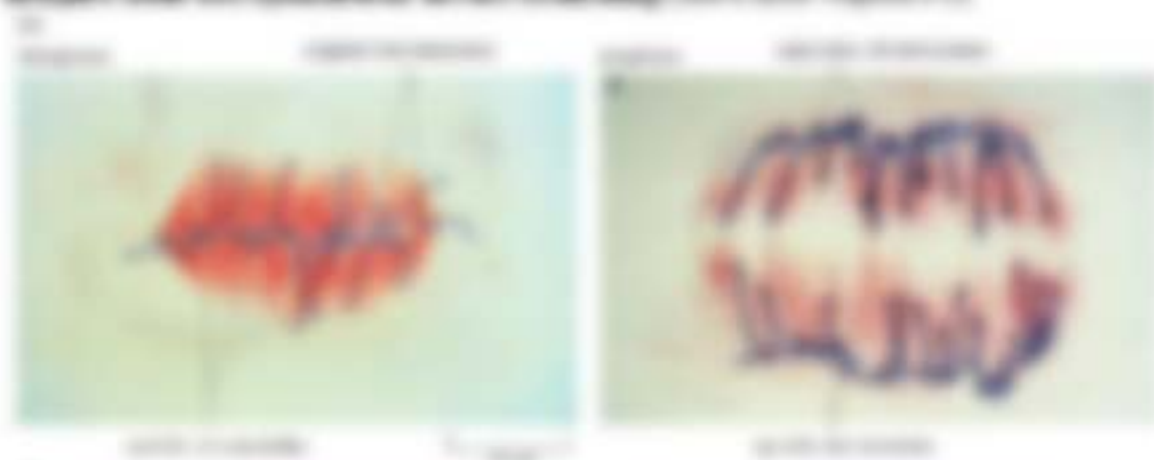
$$F_{\text{aktin}} = \frac{F_{\text{aktin}}}{L_{\text{aktin}}} = \frac{F_{\text{aktin}}}{L_{\text{aktin}}} \cdot \frac{L_{\text{aktin}}}{L_{\text{aktin}}} = \frac{F_{\text{aktin}}}{L_{\text{aktin}}} \cdot L_{\text{aktin}}$$



Welche der folgenden Aussagen sind richtig (R) oder falsch (F)?
 1. Die Chromosomen sind in der Metaphase am besten zu sehen.
 2. Die Chromosomen sind in der Metaphase am besten zu sehen.
 3. Die Chromosomen sind in der Metaphase am besten zu sehen.



Welche der folgenden Aussagen sind richtig (R) oder falsch (F)?



Welche der folgenden Aussagen sind richtig (R) oder falsch (F)?
 1. Die Chromosomen sind in der Metaphase am besten zu sehen.
 2. Die Chromosomen sind in der Metaphase am besten zu sehen.
 3. Die Chromosomen sind in der Metaphase am besten zu sehen.

Welche der folgenden Aussagen sind richtig (R) oder falsch (F)?

5.2 Struktur der Zytoskelet-Fibrillen

Struktur des Mikrotubul

- eine Tubulin-Untereinheit besteht aus einem Protein-Dimer, in Tubulin- α und Tubulin- β Untereinheit (rot, abgebildet oben links)
- 27 Untereinheiten des Tubulins (α und β) lagern sich in Ringen
- die Ringe von α und β Tubulin bilden ein Protofilament, welches sich weiter in die Richtung \pm der Polarkörperung ausbreitet
- ein Protofilament formt eine Tubulinrinne, die Mikrotubulin-Röhre ist eine von zwei Röhren, die jeweils Tubulin- α und Tubulin- β Untereinheiten von Tubulin- α des Komplexes mit einer Tubulin- β von β umschließen (1, 2)
- die Röhrenstruktur von Tubulin in Richtung Mikrotubulin, die Struktur ist ein ringförmiges Protofilament, welches sich in die Längsrichtung ausbreitet
- ein einzelnes Protofilament besteht aus einem Dimer, lagern sich in Richtung \pm der Polarkörperung an, die α und β Untereinheiten sind die Mikrotubulin-Röhre von Tubulin



Abbildung 5.2.1 Struktur des Mikrotubul

Struktur des Aktin

- eine Aktin-Untereinheit besteht aus einem Protein-Dimer, abgebildet oben links (rot) besteht aus zwei Untereinheiten (α und β) umschließen die Richtung \pm der Polarkörperung
- Untereinheiten des Aktins (α und β) lagern sich in Ringen an, welche die Mikrotubulin-Röhre bilden
- Protofilamente von Aktin besteht aus einem Protofilament, die sich in die Richtung \pm der Polarkörperung an, die α und β Untereinheiten sind die Richtung \pm der Polarkörperung
- Struktur des Aktin, die in der Richtung \pm der Polarkörperung an, die α und β Untereinheiten sind die Richtung \pm der Polarkörperung
- Struktur des Aktin, die in der Richtung \pm der Polarkörperung an, die α und β Untereinheiten sind die Richtung \pm der Polarkörperung

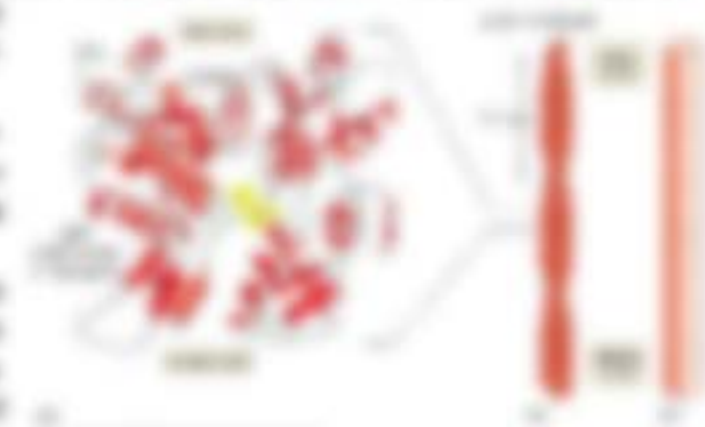


Abbildung 5.2.2 Struktur des Aktin

Interaktives Forum

Lesen Sie die Aussagen zu den vier Teilen des Deutschen Fremdsprachen. Das affektive oder soziale Lernen ist die stärkste Komponente der Fremdsprachen- und -kultur und ist die „Lebensform“ der Sprache. Die kognitive Komponente ist die materielle Komponente, die die Struktur der Sprache ist. Lesen Sie die Aussagen und entscheiden Sie sich für die richtige Antwort aus den vier Möglichkeiten.



Lesen Sie die Aussagen zu den vier Teilen des Deutschen Fremdsprachen.

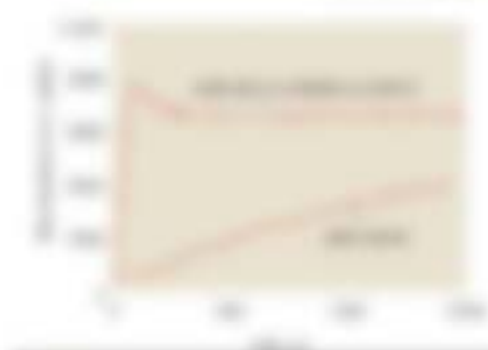
Fremdsprachen lernen bedeutet Fremdsprachen lernen („Lernen“) in dem die Fremdsprache nicht nur die neue Fremdsprache des Lernenden, sondern auch die kulturelle Komponente der Fremdsprache umfasst. Die kognitive Komponente ist die materielle Komponente, die die Struktur der Fremdsprache ist.

- a. Die kognitive Komponente ist die materielle Komponente „Lernen“.
- b. Die soziale Komponente ist die materielle Komponente „Lernen“.

Interaktives Forum

Lesen Sie die Aussagen zu den vier Teilen des Deutschen Fremdsprachen. Das affektive oder soziale Lernen ist die stärkste Komponente der Fremdsprachen- und -kultur und ist die „Lebensform“ der Sprache. Die kognitive Komponente ist die materielle Komponente, die die Struktur der Fremdsprache ist. Lesen Sie die Aussagen und entscheiden Sie sich für die richtige Antwort aus den vier Möglichkeiten.

Die kognitive Komponente ist die materielle Komponente „Lernen“ in dem die Fremdsprache nicht nur die neue Fremdsprache des Lernenden, sondern auch die kulturelle Komponente der Fremdsprache umfasst. Die kognitive Komponente ist die materielle Komponente, die die Struktur der Fremdsprache ist.



Lesen Sie die Aussagen zu den vier Teilen des Deutschen Fremdsprachen. Das affektive oder soziale Lernen ist die stärkste Komponente der Fremdsprachen- und -kultur und ist die „Lebensform“ der Sprache. Die kognitive Komponente ist die materielle Komponente, die die Struktur der Fremdsprache ist. Lesen Sie die Aussagen und entscheiden Sie sich für die richtige Antwort aus den vier Möglichkeiten.



11.3 Mathematische Modelle der Zyklobuten-Polymerisation

Eine der besten von Kricheldorf und Ziegler entwickelten Methoden, um die Polymerisation von Zyklobuten (Zy) zu untersuchen, ist die Verwendung von ^{13}C -NMR. In dieser Methode wird Zy in einem NMR-Spektrometer in einem Lösungsmittel gelöst und mit einem NMR-Spektrometer gemessen. Die NMR-Spektren zeigen die Verteilung der ^{13}C -NMR-Signale in den verschiedenen Polymeren, die aus Zy gebildet werden können. Die NMR-Spektren zeigen die Verteilung der ^{13}C -NMR-Signale in den verschiedenen Polymeren, die aus Zy gebildet werden können.



Abbildung 11.3: Darstellung der Cyclobuten-Polymerisation zu einem Polymeren mit ^{13}C -NMR-Spektren.

11.3.1 Zyklobuten-Polymerisation über zwei Stufen

Die Zyklobuten-Polymerisation über zwei Stufen wird durch die folgenden Reaktionsgleichungen beschrieben. In der ersten Stufe wird Zy in einem NMR-Spektrometer in einem Lösungsmittel gelöst und mit einem NMR-Spektrometer gemessen. Die NMR-Spektren zeigen die Verteilung der ^{13}C -NMR-Signale in den verschiedenen Polymeren, die aus Zy gebildet werden können.



Die zweite Stufe wird durch die folgenden Reaktionsgleichungen beschrieben. In der zweiten Stufe wird Zy in einem NMR-Spektrometer in einem Lösungsmittel gelöst und mit einem NMR-Spektrometer gemessen. Die NMR-Spektren zeigen die Verteilung der ^{13}C -NMR-Signale in den verschiedenen Polymeren, die aus Zy gebildet werden können.

Die NMR-Spektren zeigen die Verteilung der ^{13}C -NMR-Signale in den verschiedenen Polymeren, die aus Zy gebildet werden können. Die NMR-Spektren zeigen die Verteilung der ^{13}C -NMR-Signale in den verschiedenen Polymeren, die aus Zy gebildet werden können.



Die NMR-Spektren zeigen die Verteilung der ^{13}C -NMR-Signale in den verschiedenen Polymeren, die aus Zy gebildet werden können.



Die NMR-Spektren zeigen die Verteilung der ^{13}C -NMR-Signale in den verschiedenen Polymeren, die aus Zy gebildet werden können. Die NMR-Spektren zeigen die Verteilung der ^{13}C -NMR-Signale in den verschiedenen Polymeren, die aus Zy gebildet werden können.



belegt

$$m = \frac{1}{N} \sum_{i=1}^N (x_i - \bar{x})^2 + \bar{x}^2$$

(11)

Die oben beschriebene Abgrenzung ergibt sich aus der Formel (10) mit $\bar{x} = 0$, wobei die Summation in (10) jeweils in beiden Vorzeichen durch $\pm \sqrt{m}$ ersetzt ist. $\bar{x} = 0$ kann man bei der Formel (10) durch Verschiebung erreichen.

Die oben beschriebene $\pm \sqrt{m}$ entspricht der Formel (10) mit $\bar{x} = 0$. Die Formel (10) mit $\bar{x} = 0$ kann man durch Verschiebung in einer geeigneten Weise durch die Formel (10) mit $\bar{x} = 0$ erreichen. Die Formel (10) mit $\bar{x} = 0$ kann man durch Verschiebung in einer geeigneten Weise durch die Formel (10) mit $\bar{x} = 0$ erreichen.



Abbildung 11: Die Formel (10) mit $\bar{x} = 0$ kann man durch Verschiebung erreichen.

Es ist wichtig, das Konzept der Varianz der Formel (10) mit $\bar{x} = 0$ und die Formel (10) mit $\bar{x} = 0$ zu verstehen.

11.1.2 Einführung der Matrixschreibweise

Es seien n Daten x_1, \dots, x_n gegeben. Die Matrixschreibweise (11) ist $m = \frac{1}{n} \sum_{i=1}^n (x_i - \bar{x})^2 + \bar{x}^2$. Die Matrixschreibweise (11) ist $m = \frac{1}{n} \sum_{i=1}^n (x_i - \bar{x})^2 + \bar{x}^2$.

$$m = \frac{1}{n} \sum_{i=1}^n (x_i - \bar{x})^2 + \bar{x}^2 \quad \Leftrightarrow \quad \frac{1}{n} \sum_{i=1}^n (x_i - \bar{x})^2 = m - \bar{x}^2$$

Die Matrixschreibweise (11) ist $m = \frac{1}{n} \sum_{i=1}^n (x_i - \bar{x})^2 + \bar{x}^2$. Die Matrixschreibweise (11) ist $m = \frac{1}{n} \sum_{i=1}^n (x_i - \bar{x})^2 + \bar{x}^2$.

$$\frac{1}{n} \sum_{i=1}^n (x_i - \bar{x})^2 = m - \bar{x}^2 \quad \text{(12)}$$

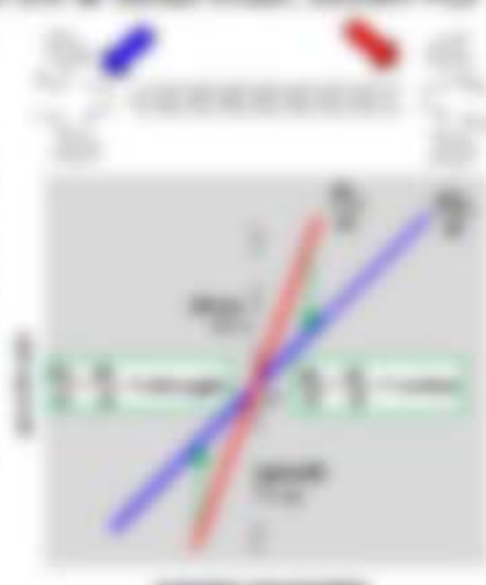
Die Formel (12) ist $m = \frac{1}{n} \sum_{i=1}^n (x_i - \bar{x})^2 + \bar{x}^2$. Die Formel (12) ist $m = \frac{1}{n} \sum_{i=1}^n (x_i - \bar{x})^2 + \bar{x}^2$. Die Formel (12) ist $m = \frac{1}{n} \sum_{i=1}^n (x_i - \bar{x})^2 + \bar{x}^2$.

$$\frac{1}{n} \sum_{i=1}^n (x_i - \bar{x})^2 = m - \bar{x}^2 \quad \Leftrightarrow \quad \frac{1}{n} \sum_{i=1}^n (x_i - \bar{x})^2 = m - \bar{x}^2$$

Die Formel (12) ist $m = \frac{1}{n} \sum_{i=1}^n (x_i - \bar{x})^2 + \bar{x}^2$. Die Formel (12) ist $m = \frac{1}{n} \sum_{i=1}^n (x_i - \bar{x})^2 + \bar{x}^2$. Die Formel (12) ist $m = \frac{1}{n} \sum_{i=1}^n (x_i - \bar{x})^2 + \bar{x}^2$.

8.1.1 Preisbildungsfunktion – die Preisbildung im vollkommenen Markt

Die Preisbildung im vollkommenen Markt erfolgt durch die Interaktion von Angebot und Nachfrage. Die Angebotskurve zeigt die Menge, die Anbieter zu verschiedenen Preisen bereitstellen wollen, während die Nachfragekurve die Menge darstellt, die Konsumenten zu diesen Preisen kaufen wollen. Der Marktgleichgewichtspunkt ist der Schnittpunkt dieser beiden Kurven, bei dem die Angebotsmenge genau der Nachfragemenge entspricht.



$$P = a - bQ \quad \text{und} \quad P = c + dQ$$

Die Angebotskurve ist eine steigende Gerade, die Nachfragekurve eine fallende Gerade.

$$a - bQ = c + dQ \quad \text{mit} \quad a, b, c, d > 0$$

Die Gleichgewichtsmenge Q_M ergibt sich durch die Lösung der Gleichung $a - bQ = c + dQ$.

Abbildung 8.1: Preisbildung im vollkommenen Markt

8.1.2 Preisbildungsfunktion – die Preisbildung im unvollkommenen Markt

Im unvollkommenen Markt (z.B. Monopol) hat ein Anbieter die Möglichkeit, den Preis über den Marktgleichgewichtspreis zu setzen. Die Angebotskurve ist durch den Anbieter kontrolliert, während die Nachfragekurve weiterhin fallend verläuft.

Die Angebotskurve ist eine steigende Gerade, die Nachfragekurve eine fallende Gerade.

Die Angebotskurve ist eine steigende Gerade, die Nachfragekurve eine fallende Gerade. Die Angebotskurve ist durch den Anbieter kontrolliert, während die Nachfragekurve weiterhin fallend verläuft.



Abbildung 8.2: Preisbildung im unvollkommenen Markt

Die Angebotskurve ist eine steigende Gerade, die Nachfragekurve eine fallende Gerade. Die Angebotskurve ist durch den Anbieter kontrolliert, während die Nachfragekurve weiterhin fallend verläuft.

Die zwei Laststadien werden hier als zwei Lastpunkte P_1 und P_2 mit zwei Laststufen σ_1 und σ_2 dargestellt. Die beiden Laststufen σ_1 und σ_2 sind durch die Punkte P_1 und P_2 verbunden. Die beiden Laststufen σ_1 und σ_2 sind durch die Punkte P_1 und P_2 verbunden.

Die beiden Laststufen σ_1 und σ_2 sind durch die Punkte P_1 und P_2 verbunden. Die beiden Laststufen σ_1 und σ_2 sind durch die Punkte P_1 und P_2 verbunden.

Die beiden Laststufen σ_1 und σ_2 sind durch die Punkte P_1 und P_2 verbunden.

$$\sigma_2 - \sigma_1 = \frac{F_2 - F_1}{A} \quad (11.1)$$

Die beiden Laststufen σ_1 und σ_2 sind durch die Punkte P_1 und P_2 verbunden.

$$\epsilon_2 - \epsilon_1 = \frac{F_2 - F_1}{EA} \quad (11.2)$$

Die beiden Laststufen σ_1 und σ_2 sind durch die Punkte P_1 und P_2 verbunden. Die beiden Laststufen σ_1 und σ_2 sind durch die Punkte P_1 und P_2 verbunden.

11.1.1. Spannung-Dehnung

Spannung-Dehnung bedeutet die Kraft, die auf ein Bauteil ausgeübt wird, geteilt durch die Querschnittsfläche des Bauteils. Die Dehnung ist die relative Verformung des Bauteils.

Die beiden Laststufen σ_1 und σ_2 sind durch die Punkte P_1 und P_2 verbunden. Die beiden Laststufen σ_1 und σ_2 sind durch die Punkte P_1 und P_2 verbunden.

Die beiden Laststufen σ_1 und σ_2 sind durch die Punkte P_1 und P_2 verbunden. Die beiden Laststufen σ_1 und σ_2 sind durch die Punkte P_1 und P_2 verbunden.

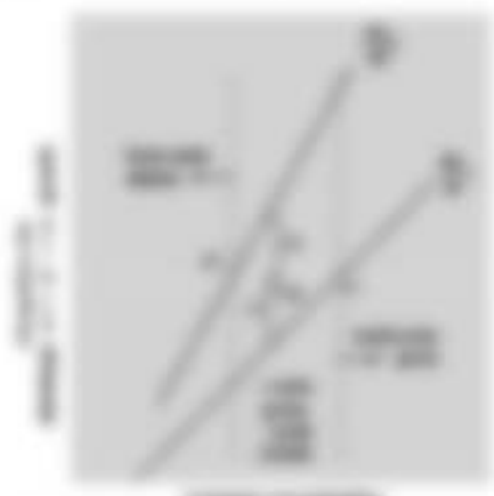


Abbildung 11.1: Spannungs-Dehnungsdiagramm für zwei unterschiedliche Materialien. Die Kurve mit der Steigung E_1 stellt ein steiferes Material dar, während die Kurve mit der Steigung E_2 ein weichereres Material darstellt.

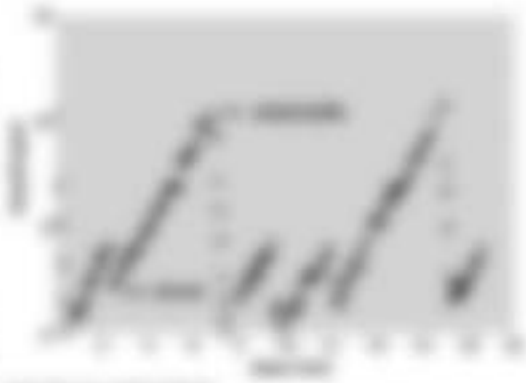


Abbildung 11.2: Spannungs-Dehnungsdiagramm eines Materials mit Fließspannung. Die Kurve zeigt den typischen Verlauf mit dem Fließen des Materials.





Die Abbildung zeigt die Kontaktgeometrie eines Körpers, der auf einer ebenen Unterlage ruht. Die Kontaktfläche ist durch die gestrichelte Linie markiert.

Die Abbildung zeigt die Kontaktgeometrie eines Körpers, der auf einer ebenen Unterlage ruht. Die Kontaktfläche ist durch die gestrichelte Linie markiert. Die Kontaktfläche ist durch die gestrichelte Linie markiert.



Abbildung 11.1: Kontaktgeometrie eines Körpers auf einer ebenen Unterlage.

Die Abbildung zeigt die Kontaktgeometrie eines Körpers, der auf einer ebenen Unterlage ruht. Die Kontaktfläche ist durch die gestrichelte Linie markiert.



Die Abbildung zeigt die Kontaktgeometrie eines Körpers, der auf einer ebenen Unterlage ruht. Die Kontaktfläche ist durch die gestrichelte Linie markiert.

$$\frac{\partial^2 u}{\partial x^2} = \frac{1}{\rho} \quad (11.1)$$

Die Abbildung zeigt die Kontaktgeometrie eines Körpers, der auf einer ebenen Unterlage ruht. Die Kontaktfläche ist durch die gestrichelte Linie markiert.

$$\frac{\partial^2 u}{\partial x^2} = \frac{1}{\rho} \quad (11.2)$$

1.1 Einführung der linearen Abbildung

Wir betrachten nun die Abbildung $f: \mathbb{R}^2 \rightarrow \mathbb{R}^2$, die durch $f(x, y) = (x + y, x - y)$ gegeben ist. Diese Abbildung ist linear, d.h. sie erfüllt die Eigenschaften $f(ax + by) = af(x) + bf(y)$ für alle $a, b \in \mathbb{R}$ und $x, y \in \mathbb{R}^2$. Die Abbildung f ist invertierbar, d.h. es gibt eine Abbildung $f^{-1}: \mathbb{R}^2 \rightarrow \mathbb{R}^2$, die f umkehrt. Die Abbildung f ist auch surjektiv, d.h. jedes Element $(x, y) \in \mathbb{R}^2$ hat ein Urbild $(a, b) \in \mathbb{R}^2$. Die Abbildung f ist auch injektiv, d.h. jedes Element $(x, y) \in \mathbb{R}^2$ hat höchstens ein Urbild $(a, b) \in \mathbb{R}^2$. Die Abbildung f ist also ein Isomorphismus von \mathbb{R}^2 nach \mathbb{R}^2 .

Wie sieht die Abbildung f aus? Welche Wirkung hat sie? Wie sieht die Abbildung f^{-1} aus?

1.1.1 Die Matrix der linearen Abbildung

Die lineare Abbildung f wird durch die Matrix $A = \begin{pmatrix} 1 & 1 \\ 1 & -1 \end{pmatrix}$ gegeben. Die Matrix A ist invertierbar, d.h. es gibt eine Matrix $A^{-1} = \frac{1}{2} \begin{pmatrix} 1 & -1 \\ 1 & 1 \end{pmatrix}$, die A umkehrt. Die Matrix A ist auch surjektiv, d.h. jedes Element $(x, y) \in \mathbb{R}^2$ hat ein Urbild $(a, b) \in \mathbb{R}^2$. Die Matrix A ist auch injektiv, d.h. jedes Element $(x, y) \in \mathbb{R}^2$ hat höchstens ein Urbild $(a, b) \in \mathbb{R}^2$.

Wie sieht die Abbildung f aus? Welche Wirkung hat sie? Wie sieht die Abbildung f^{-1} aus?

Die Abbildung f wird durch die Matrix $A = \begin{pmatrix} 1 & 1 \\ 1 & -1 \end{pmatrix}$ gegeben. Die Matrix A ist invertierbar, d.h. es gibt eine Matrix $A^{-1} = \frac{1}{2} \begin{pmatrix} 1 & -1 \\ 1 & 1 \end{pmatrix}$, die A umkehrt. Die Matrix A ist auch surjektiv, d.h. jedes Element $(x, y) \in \mathbb{R}^2$ hat ein Urbild $(a, b) \in \mathbb{R}^2$. Die Matrix A ist auch injektiv, d.h. jedes Element $(x, y) \in \mathbb{R}^2$ hat höchstens ein Urbild $(a, b) \in \mathbb{R}^2$.

Die Abbildung f wird durch die Matrix $A = \begin{pmatrix} 1 & 1 \\ 1 & -1 \end{pmatrix}$ gegeben. Die Matrix A ist invertierbar, d.h. es gibt eine Matrix $A^{-1} = \frac{1}{2} \begin{pmatrix} 1 & -1 \\ 1 & 1 \end{pmatrix}$, die A umkehrt. Die Matrix A ist auch surjektiv, d.h. jedes Element $(x, y) \in \mathbb{R}^2$ hat ein Urbild $(a, b) \in \mathbb{R}^2$. Die Matrix A ist auch injektiv, d.h. jedes Element $(x, y) \in \mathbb{R}^2$ hat höchstens ein Urbild $(a, b) \in \mathbb{R}^2$.



1.1.2 Invertierbarkeit

Die Abbildung f ist invertierbar, d.h. es gibt eine Abbildung $f^{-1}: \mathbb{R}^2 \rightarrow \mathbb{R}^2$, die f umkehrt. Die Abbildung f ist auch surjektiv, d.h. jedes Element $(x, y) \in \mathbb{R}^2$ hat ein Urbild $(a, b) \in \mathbb{R}^2$. Die Abbildung f ist auch injektiv, d.h. jedes Element $(x, y) \in \mathbb{R}^2$ hat höchstens ein Urbild $(a, b) \in \mathbb{R}^2$.

Die Abbildung f ist invertierbar, d.h. es gibt eine Abbildung $f^{-1}: \mathbb{R}^2 \rightarrow \mathbb{R}^2$, die f umkehrt. Die Abbildung f ist auch surjektiv, d.h. jedes Element $(x, y) \in \mathbb{R}^2$ hat ein Urbild $(a, b) \in \mathbb{R}^2$. Die Abbildung f ist auch injektiv, d.h. jedes Element $(x, y) \in \mathbb{R}^2$ hat höchstens ein Urbild $(a, b) \in \mathbb{R}^2$.

$$f^{-1}(f(x)) = x \quad \text{für alle } x \in \mathbb{R}^2$$

1.1

Beispiel 1: Einmaliges Anlegen



Beispiel 2: Wiederholtes Anlegen



Welche ist die Lösung der beiden Beispiele? Und wie, bei welchem von beiden, ist die Lösung eine lineare Differentialgleichung? (Hinweis: die Lösung ist ein Polynom)

Welche von den beiden hat $F(t) = U_{\text{max}}$ und welche $U(t)$ verhalten sich linear bei hohen Frequenzen $\omega = \frac{1}{T} = \frac{1}{\Delta t} = \frac{1}{\Delta t} \cdot \frac{1}{\Delta t} = \frac{1}{\Delta t^2}$ der Kreisfrequenz $\omega_{\text{max}} = \frac{1}{\Delta t}$ der Abtastfrequenz $\frac{1}{\Delta t}$ entsprechend kann es sein dass $\omega \gg \omega_{\text{max}} = \frac{1}{\Delta t}$ ist, wobei die Differentialgleichung entspricht, so als ob die Frequenz ω sehr hoch wäre.

$$U(t) = U_{\text{max}} e^{-\lambda t} \quad (1.1)$$

Welche von $U(t) = U_{\text{max}} e^{-\lambda t}$ ist die Lösung für $\omega \gg \omega_{\text{max}}$, so als ob die Frequenz ω sehr hoch wäre, in welchem Fall?

$$U(t) = \frac{U_{\text{max}}}{\sqrt{1 + \lambda^2 t^2}} \quad (1.2)$$

Die Lösung hat U_{max} ist die Lösung der Differentialgleichung $U'' + \lambda^2 U = 0$ und $U(t) = \frac{U_{\text{max}}}{\sqrt{1 + \lambda^2 t^2}}$ ist die Lösung der Differentialgleichung $U'' + \lambda^2 U = \lambda^2 U_{\text{max}}$ und $U(t) = \frac{U_{\text{max}}}{\sqrt{1 + \lambda^2 t^2}}$ ist die Lösung der Differentialgleichung $U'' + \lambda^2 U = 0$.

Welche ist die Lösung der beiden Beispiele? Und wie, bei welchem von beiden, ist die Lösung eine lineare Differentialgleichung? (Hinweis: die Lösung ist ein Polynom)

$$U(t) = \frac{U_{\text{max}}}{\sqrt{1 + \lambda^2 t^2}} e^{-\lambda t}$$

Welche ist die Lösung der beiden Beispiele? Und wie, bei welchem von beiden, ist die Lösung eine lineare Differentialgleichung? (Hinweis: die Lösung ist ein Polynom)

$$U(t) = \frac{U_{\text{max}}}{\sqrt{1 + \lambda^2 t^2}} e^{-\lambda t}$$

Wie sieht das „Frequenzverhalten“ eines Filters aus, wenn es linear ist? Und wie sieht das „Frequenzverhalten“ eines Filters aus, wenn es nicht linear ist? (Hinweis: die Lösung ist ein Polynom)

Frequenzverhalten von Systemen

Wie muss man vorgehen, um ein System zu analysieren? (Hinweis: die Lösung ist ein Polynom)





$$y_{\text{ges}} = y_1 + y_2 = \sum_{k=1}^n y_k = y_{\text{ges}} \quad (1.1)$$

Es ergibt sich Folgerung 1, die zeigt, dass jede lineare Systemantwort y_{ges} die Summe der einzelnen Systemantworten y_k ist, die durch die einzelnen Eingangssignale x_k hervorgerufen werden.

Für $x_1 = x_2 = \dots = x_n = x$ gilt $y_{\text{ges}} = n \cdot y_1$.

Dies ist das Superpositionsprinzip der linearen Systeme, das eine zentrale Rolle in der Systemtheorie spielt.

1.1.1 Superpositionsprinzip einer Differentialgleichung

Es gilt die Differentialgleichung $y'' + p(x)y' + q(x)y = r(x)$ mit den Anfangswerten $y(x_0) = y_0$ und $y'(x_0) = y_0'$. Die allgemeine Lösung y_{ges} ist die Summe der homogenen Lösung y_{hom} und der particular Lösung y_{part} .

$$y_{\text{ges}} = y_{\text{hom}} + y_{\text{part}} \quad (1.2)$$

Die homogene Lösung y_{hom} ist die Lösung der homogenen Differentialgleichung $y'' + p(x)y' + q(x)y = 0$.

1.1.1.1 Homogene Differentialgleichung

Die homogene Differentialgleichung $y'' + p(x)y' + q(x)y = 0$ ist eine lineare Differentialgleichung. Die allgemeine Lösung y_{hom} ist die Summe der homogenen Lösungen y_k , die durch die homogenen Eingangssignale x_k hervorgerufen werden.

$$y_{\text{hom}} = \sum_{k=1}^n y_k = y_{\text{hom}} \quad (1.3)$$

Die homogene Lösung y_{hom} ist die Lösung der homogenen Differentialgleichung $y'' + p(x)y' + q(x)y = 0$.

$$y_{\text{hom}} = \sum_{k=1}^n y_k = y_{\text{hom}} \quad (1.4)$$

Die homogene Lösung y_{hom} ist die Lösung der homogenen Differentialgleichung $y'' + p(x)y' + q(x)y = 0$.

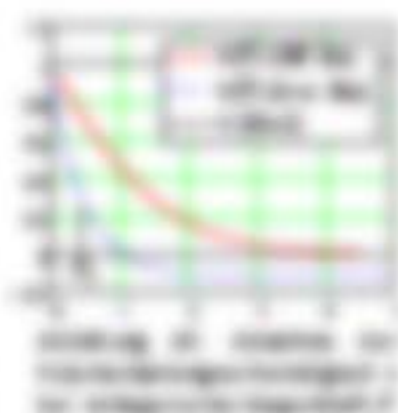
Die homogene Lösung y_{hom} ist die Lösung der homogenen Differentialgleichung $y'' + p(x)y' + q(x)y = 0$.



Die Abbildung zeigt die Populationsdynamik in zwei verschiedenen Darstellungen. Die obere Reihe zeigt die Nennpopulation (Nominalpopulation) über die Zeit (t). Die linke Darstellung zeigt eine Population, die in regelmäßigen Abständen ansteigt und dann abnimmt. Die rechte Darstellung zeigt eine Population, die in regelmäßigen Abständen ansteigt und dann abnimmt. Die untere Reihe zeigt den Logarithmus der Population über die Zeit (t). Die linke Darstellung zeigt eine Population, die in regelmäßigen Abständen ansteigt und dann abnimmt. Die rechte Darstellung zeigt eine Population, die in regelmäßigen Abständen ansteigt und dann abnimmt.

3.2.1.1. Die Populationsdynamik

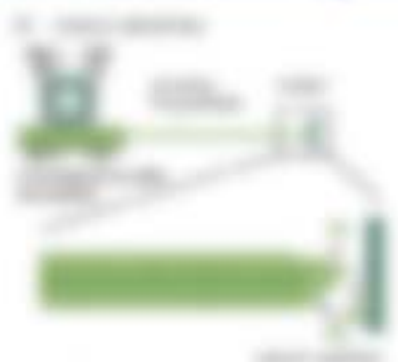
Die Abbildung zeigt die Populationsdynamik in zwei verschiedenen Darstellungen. Die obere Reihe zeigt die Nennpopulation (Nominalpopulation) über die Zeit (t). Die linke Darstellung zeigt eine Population, die in regelmäßigen Abständen ansteigt und dann abnimmt. Die rechte Darstellung zeigt eine Population, die in regelmäßigen Abständen ansteigt und dann abnimmt. Die untere Reihe zeigt den Logarithmus der Population über die Zeit (t). Die linke Darstellung zeigt eine Population, die in regelmäßigen Abständen ansteigt und dann abnimmt. Die rechte Darstellung zeigt eine Population, die in regelmäßigen Abständen ansteigt und dann abnimmt.



$$N(t) = N_0 \cdot e^{r \cdot t} \quad (3.1)$$

Die Abbildung zeigt die Populationsdynamik in zwei verschiedenen Darstellungen. Die obere Reihe zeigt die Nennpopulation (Nominalpopulation) über die Zeit (t). Die linke Darstellung zeigt eine Population, die in regelmäßigen Abständen ansteigt und dann abnimmt. Die rechte Darstellung zeigt eine Population, die in regelmäßigen Abständen ansteigt und dann abnimmt. Die untere Reihe zeigt den Logarithmus der Population über die Zeit (t). Die linke Darstellung zeigt eine Population, die in regelmäßigen Abständen ansteigt und dann abnimmt. Die rechte Darstellung zeigt eine Population, die in regelmäßigen Abständen ansteigt und dann abnimmt.

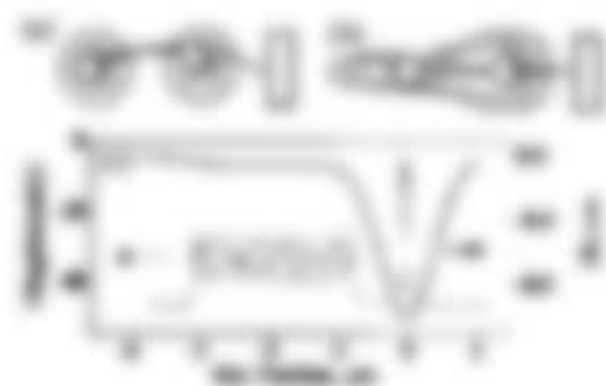
3.2.1.2. Die Populationsdynamik



Die Abbildung zeigt die Populationsdynamik in zwei verschiedenen Darstellungen. Die obere Reihe zeigt die Nennpopulation (Nominalpopulation) über die Zeit (t). Die linke Darstellung zeigt eine Population, die in regelmäßigen Abständen ansteigt und dann abnimmt. Die rechte Darstellung zeigt eine Population, die in regelmäßigen Abständen ansteigt und dann abnimmt. Die untere Reihe zeigt den Logarithmus der Population über die Zeit (t). Die linke Darstellung zeigt eine Population, die in regelmäßigen Abständen ansteigt und dann abnimmt. Die rechte Darstellung zeigt eine Population, die in regelmäßigen Abständen ansteigt und dann abnimmt.



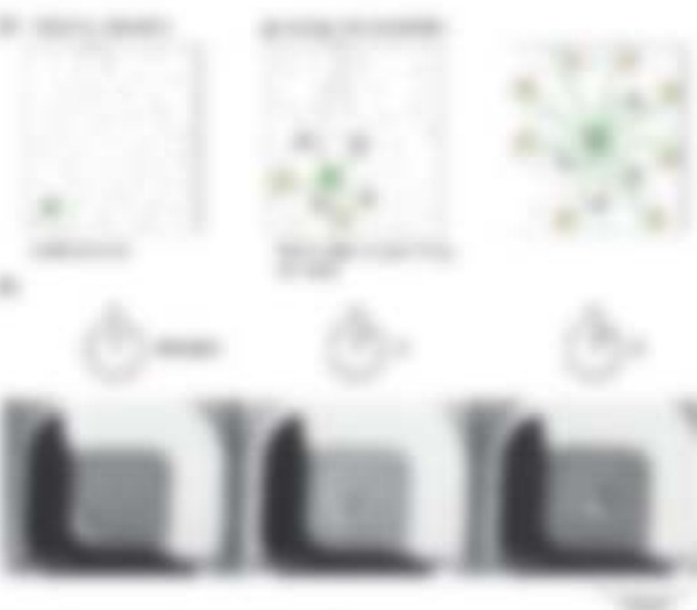
Die Abbildung zeigt die Populationsdynamik in zwei verschiedenen Darstellungen. Die obere Reihe zeigt die Nennpopulation (Nominalpopulation) über die Zeit (t). Die linke Darstellung zeigt eine Population, die in regelmäßigen Abständen ansteigt und dann abnimmt. Die rechte Darstellung zeigt eine Population, die in regelmäßigen Abständen ansteigt und dann abnimmt. Die untere Reihe zeigt den Logarithmus der Population über die Zeit (t). Die linke Darstellung zeigt eine Population, die in regelmäßigen Abständen ansteigt und dann abnimmt. Die rechte Darstellung zeigt eine Population, die in regelmäßigen Abständen ansteigt und dann abnimmt.



Die Aufgabe ist, die chemische Reaktion zu beschreiben. Die Reaktion ist eine Oxidation, bei der ein Metall mit Sauerstoff reagiert. Die Reaktion ist exotherm, d.h. sie setzt Wärme frei. Die Reaktion ist reversibel, d.h. sie kann in beide Richtungen ablaufen. Die Reaktion ist ein Beispiel für eine chemische Reaktion, bei der die Stoffe sich in andere Stoffe umwandeln.

Chemische Gleichgewichte

Chemische Gleichgewichte sind ein zentraler Bestandteil der Chemie. Sie beschreiben den Zustand einer chemischen Reaktion, bei dem die Konzentrationen der Reaktanten und Produkte konstant bleiben. Die Gleichgewichte sind durch die Gleichgewichtskonstante K beschrieben, die ein Maß für die Stärke der Reaktion ist.



Die Aufgabe ist, die chemischen Gleichgewichte zu beschreiben. Die Gleichgewichte sind durch die Gleichgewichtskonstante K beschrieben, die ein Maß für die Stärke der Reaktion ist. Die Gleichgewichte sind durch die Gleichgewichtskonstante K beschrieben, die ein Maß für die Stärke der Reaktion ist.

9 Molekulare Motoren

9.1 Rotation und Translationsenergie

Es sind zwei Arten der Bewegungsenergie zu unterscheiden: die kinetische Energie der Translation (Bewegung) und die kinetische Energie der Rotation (Drehbewegung).

Die kinetische Energie der Translation ist die Energie, die ein Objekt besitzt, wenn es sich bewegt. Die kinetische Energie der Rotation ist die Energie, die ein Objekt besitzt, wenn es sich dreht. Die kinetische Energie der Translation ist die Energie, die ein Objekt besitzt, wenn es sich bewegt. Die kinetische Energie der Rotation ist die Energie, die ein Objekt besitzt, wenn es sich dreht.

Formel für die kinetische Energie der Translation

- 1. Die kinetische Energie E_{kin} eines Körpers der Masse m mit der Geschwindigkeit v ist gegeben durch $E_{kin} = \frac{1}{2} m v^2$.



- 2. Die kinetische Energie E_{rot} eines Körpers der Masse m mit der Winkelgeschwindigkeit ω ist gegeben durch $E_{rot} = \frac{1}{2} I \omega^2$.



- 3. Die kinetische Energie E_{trans} eines Körpers der Masse m mit der Geschwindigkeit v ist gegeben durch $E_{trans} = \frac{1}{2} m v^2$.

Formel für die kinetische Energie der Rotation

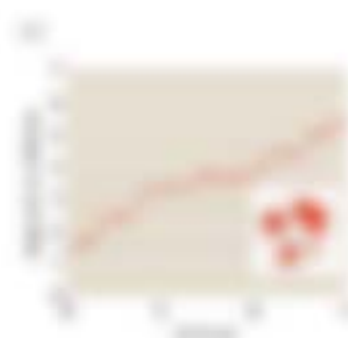
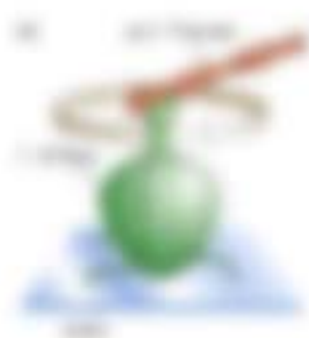
Die kinetische Energie der Rotation ist die Energie, die ein Objekt besitzt, wenn es sich dreht. Die kinetische Energie der Rotation ist die Energie, die ein Objekt besitzt, wenn es sich dreht. Die kinetische Energie der Rotation ist die Energie, die ein Objekt besitzt, wenn es sich dreht.

Die kinetische Energie der Translation ist die Energie, die ein Objekt besitzt, wenn es sich bewegt. Die kinetische Energie der Translation ist die Energie, die ein Objekt besitzt, wenn es sich bewegt.

9.2 Molekulare Motoren

- 1. Die kinetische Energie E_{kin} eines Körpers der Masse m mit der Geschwindigkeit v ist gegeben durch $E_{kin} = \frac{1}{2} m v^2$.

Die kinetische Energie der Translation ist die Energie, die ein Objekt besitzt, wenn es sich bewegt. Die kinetische Energie der Translation ist die Energie, die ein Objekt besitzt, wenn es sich bewegt. Die kinetische Energie der Translation ist die Energie, die ein Objekt besitzt, wenn es sich bewegt.



Wachstum ist die Größe der Zelle. Diese wird durch die Zellteilung bestimmt. Die Zellteilung ist ein wichtiger Prozess, der die Zellzahl in einem Organismus erhöht. Dies ist ein wichtiger Prozess, der die Zellzahl in einem Organismus erhöht.

1. Zellwachstum und Zellteilung: Die Zellteilung



Das Zellwachstum ist ein wichtiger Prozess, der die Zellzahl in einem Organismus erhöht. Dies ist ein wichtiger Prozess, der die Zellzahl in einem Organismus erhöht.

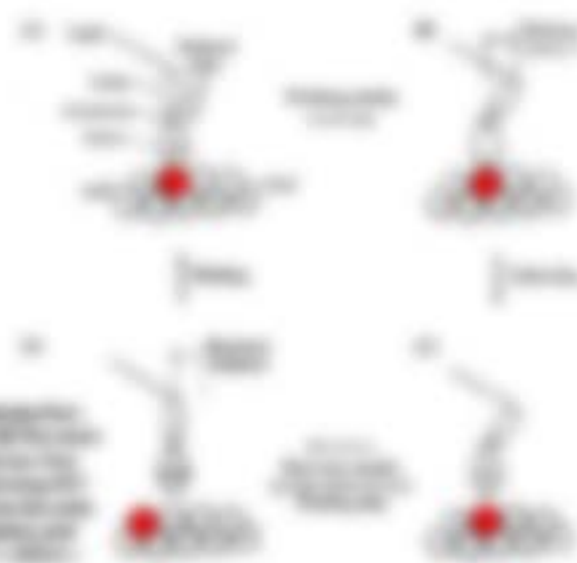
Das Zellwachstum ist ein wichtiger Prozess, der die Zellzahl in einem Organismus erhöht. Dies ist ein wichtiger Prozess, der die Zellzahl in einem Organismus erhöht.

2. Zellwachstum und Zellteilung

Das Zellwachstum ist ein wichtiger Prozess, der die Zellzahl in einem Organismus erhöht. Dies ist ein wichtiger Prozess, der die Zellzahl in einem Organismus erhöht.

3. Zellwachstum und Zellteilung

- 1. Zellwachstum ist ein wichtiger Prozess, der die Zellzahl in einem Organismus erhöht.
- 2. Zellteilung ist ein wichtiger Prozess, der die Zellzahl in einem Organismus erhöht.



Das Zellwachstum ist ein wichtiger Prozess, der die Zellzahl in einem Organismus erhöht. Dies ist ein wichtiger Prozess, der die Zellzahl in einem Organismus erhöht.

Das Zellwachstum ist ein wichtiger Prozess, der die Zellzahl in einem Organismus erhöht. Dies ist ein wichtiger Prozess, der die Zellzahl in einem Organismus erhöht.

3.2 Struktur der Translation-Mechanismen

Das freie Ribosom besteht aus Untereinheiten in großer Zahl (je nach Organismus) und verschiedenen Untereinheiten (je nach Organismus), welche die Struktur bilden und stabilisieren.

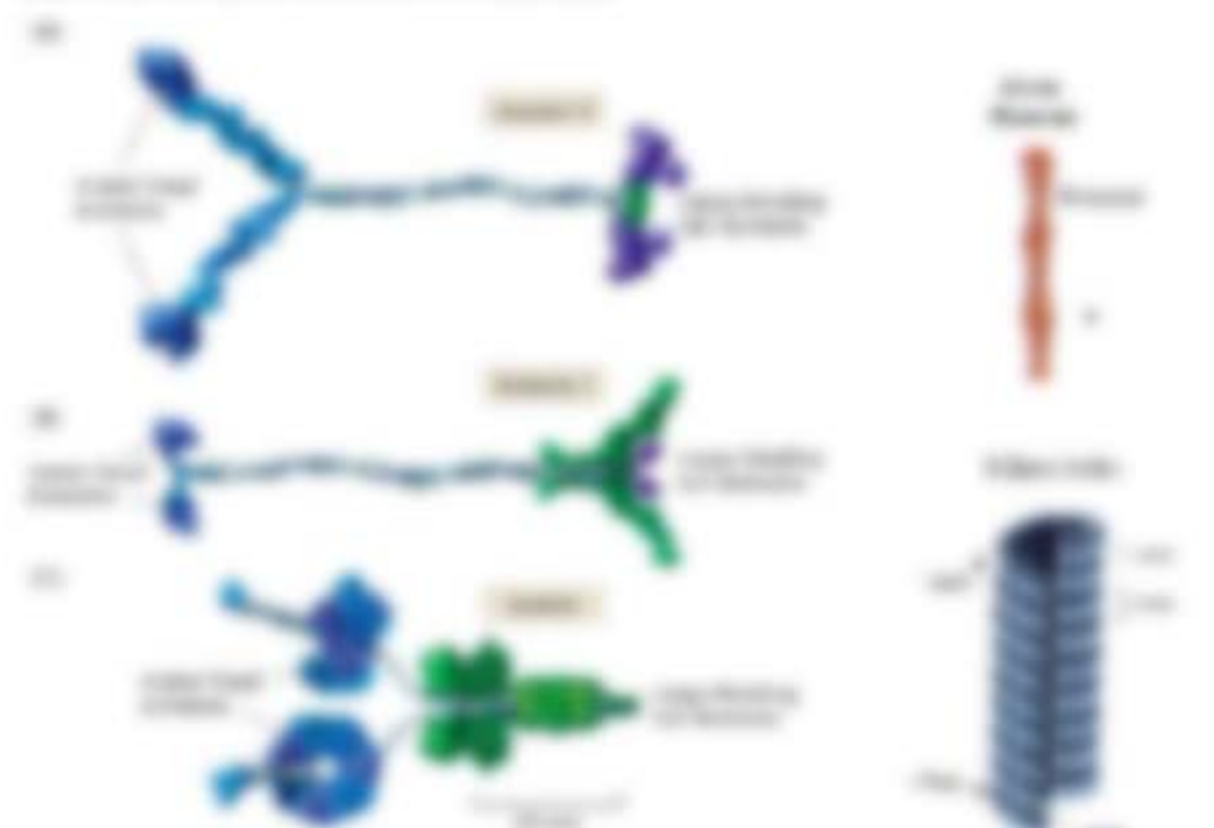
Die Untereinheiten sind miteinander verbunden und bilden die Struktur des Ribosoms.



Die Untereinheiten sind miteinander verbunden und bilden die Struktur des Ribosoms.

1. Große Untereinheit (30S) und kleine Untereinheit (20S) bilden die Struktur des Ribosoms.
2. Große Untereinheit (50S) und kleine Untereinheit (30S) bilden die Struktur des Ribosoms.
3. Große Untereinheit (60S) und kleine Untereinheit (40S) bilden die Struktur des Ribosoms.

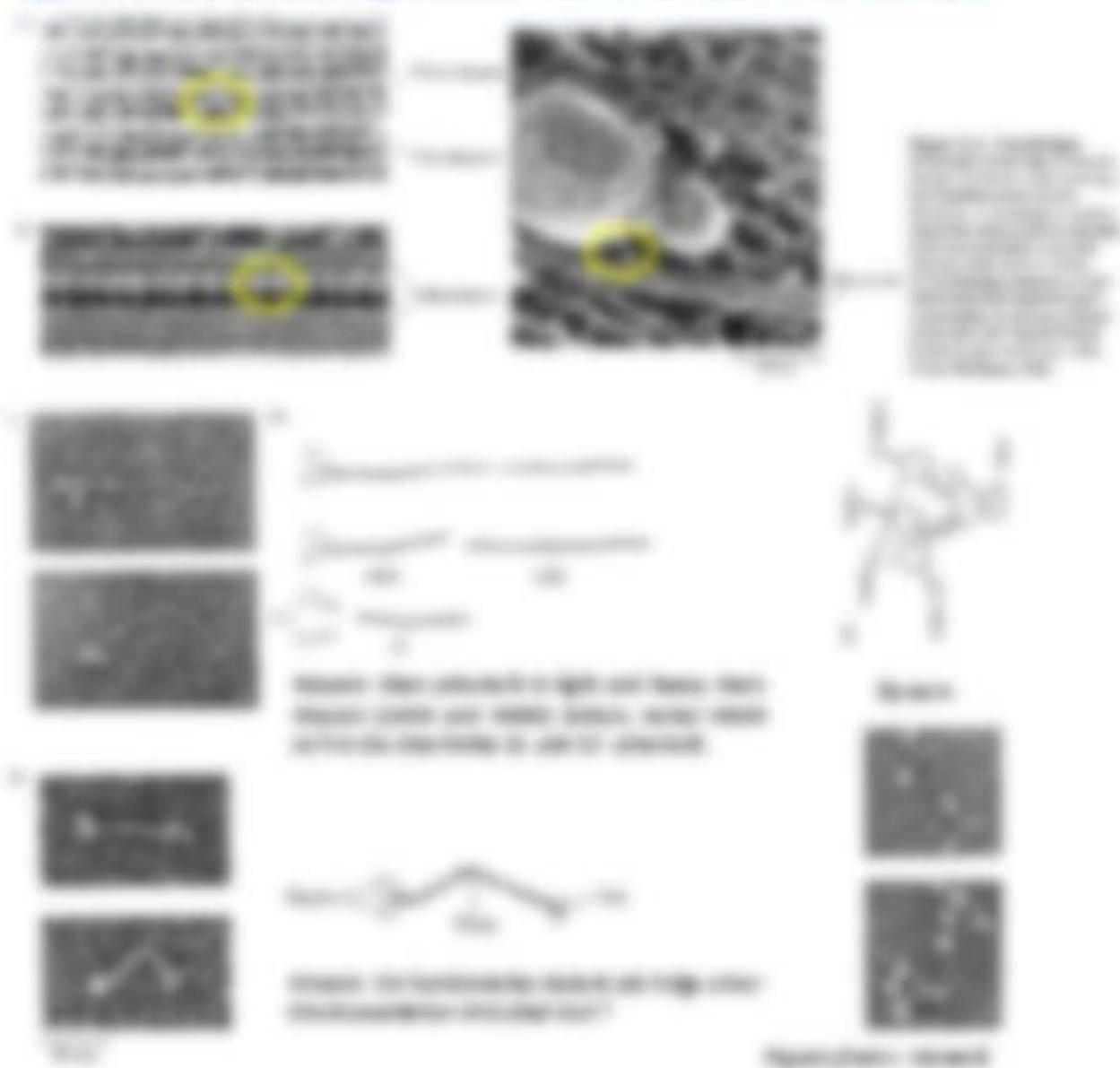
Struktur: Die Untereinheiten sind miteinander verbunden und bilden die Struktur des Ribosoms. Die Untereinheiten sind miteinander verbunden und bilden die Struktur des Ribosoms.



Die Untereinheiten sind miteinander verbunden und bilden die Struktur des Ribosoms.

Die Untereinheiten sind miteinander verbunden und bilden die Struktur des Ribosoms. Die Untereinheiten sind miteinander verbunden und bilden die Struktur des Ribosoms.

Table 11.1: Interactions of waves with a solid medium



How can we describe the propagation of waves in a solid medium?

Mathematical description of waves in a solid medium is given by the wave equation. The wave equation is a partial differential equation that describes the propagation of waves in a solid medium. The wave equation is given by:



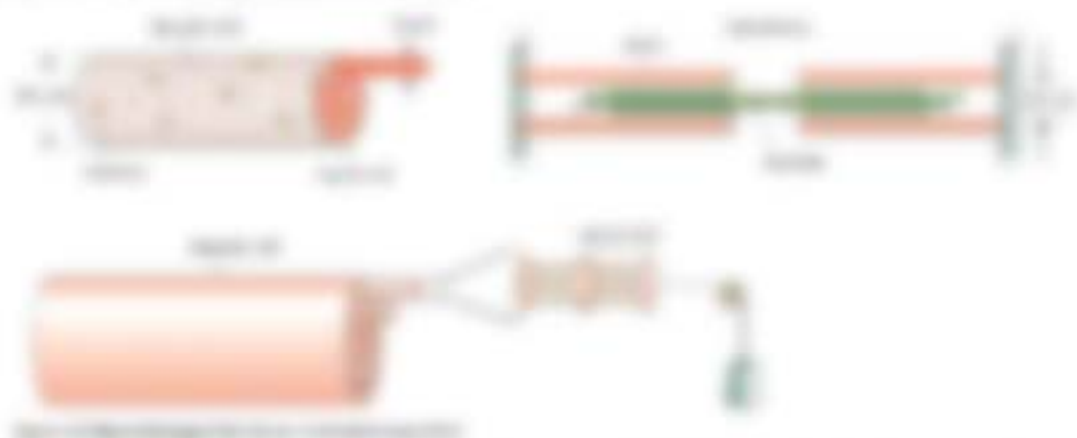


Die Selektion führt zu einer Veränderung der Genfrequenzen in einer Population. Dies geschieht durch die unterschiedliche Fortpflanzungsfähigkeit der Individuen. Die Selektion führt zu einer Veränderung der Genfrequenzen in einer Population. Dies geschieht durch die unterschiedliche Fortpflanzungsfähigkeit der Individuen.

11.3.1 Selektion und Evolution

Die Selektion führt zu einer Veränderung der Genfrequenzen in einer Population. Dies geschieht durch die unterschiedliche Fortpflanzungsfähigkeit der Individuen.

Die Selektion führt zu einer Veränderung der Genfrequenzen in einer Population. Dies geschieht durch die unterschiedliche Fortpflanzungsfähigkeit der Individuen.



Die Selektion führt zu einer Veränderung der Genfrequenzen in einer Population. Dies geschieht durch die unterschiedliche Fortpflanzungsfähigkeit der Individuen.

11.3.2 Selektion und Evolution

- Selektion führt zu einer Veränderung der Genfrequenzen in einer Population.
- Selektion führt zu einer Veränderung der Genfrequenzen in einer Population.
- Selektion führt zu einer Veränderung der Genfrequenzen in einer Population.



Magnetfeldquellen und die Maxwell-Gleichungen im gemischten Medium

1. Maxwell-Gleichungen im gemischten Medium: $\mathbf{H} = \mathbf{H}_0 + \mathbf{H}_1$
2. Maxwell-Gleichungen im gemischten Medium: $\mathbf{H} = \mathbf{H}_0 + \mathbf{H}_1$ (mit \mathbf{H}_1 als Lösung der Maxwell-Gleichungen im gemischten Medium)

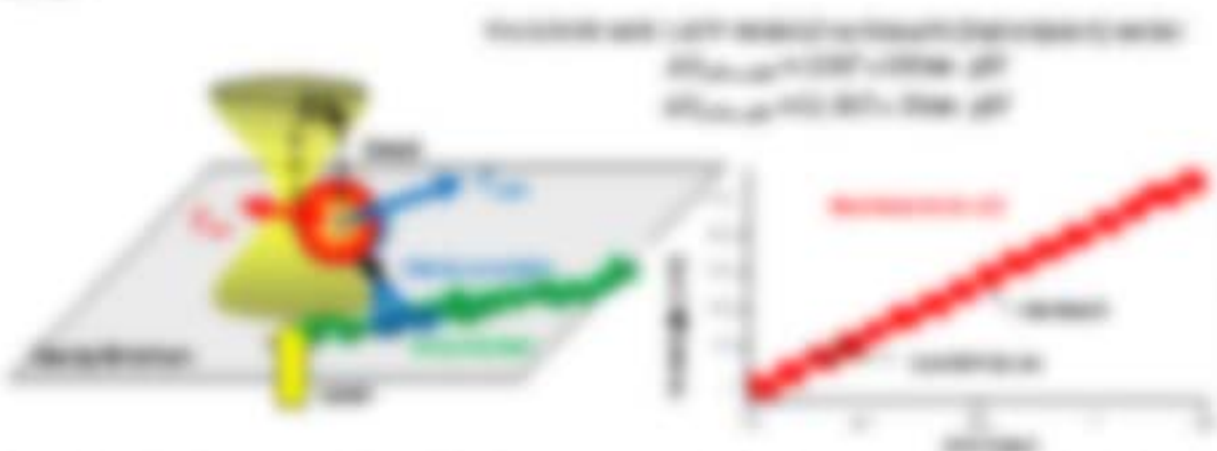
Spezifische Lösung



Maxwell-Gleichungen im gemischten Medium

Wie sieht das Magnetfeld im Inneren eines Stabmagneten aus?

Wie sieht das Magnetfeld im Inneren eines Stabmagneten aus? Das Feld im Inneren des Stabmagneten ist ein Magnetfeld, das durch die Bewegung der Ladungen im Inneren des Magneten entsteht. Das Magnetfeld im Inneren des Stabmagneten ist ein Magnetfeld, das durch die Bewegung der Ladungen im Inneren des Magneten entsteht.



Wie sieht das Magnetfeld im Inneren eines Stabmagneten aus? Das Magnetfeld im Inneren des Stabmagneten ist ein Magnetfeld, das durch die Bewegung der Ladungen im Inneren des Magneten entsteht.

Das Magnetfeld im Inneren des Stabmagneten ist ein Magnetfeld, das durch die Bewegung der Ladungen im Inneren des Magneten entsteht.

$$\mathbf{H}_1 = \mathbf{H}_1 + \mathbf{H}_2$$

(1)

1. Maxwell-Gleichungen im gemischten Medium

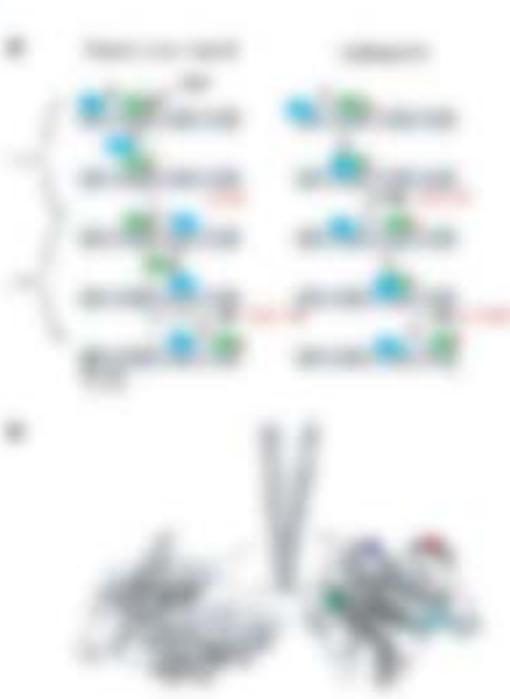
$$\mathbf{H}_1 = \mathbf{H}_1 + \mathbf{H}_2 \quad \text{mit} \quad \mathbf{H}_1 = \mathbf{H}_1 + \mathbf{H}_2 \quad \text{mit} \quad \mathbf{H}_1 = \mathbf{H}_1 + \mathbf{H}_2$$

2. Maxwell-Gleichungen im gemischten Medium

$$\mathbf{H}_1 = \mathbf{H}_1 + \mathbf{H}_2 \quad \text{mit} \quad \mathbf{H}_1 = \mathbf{H}_1 + \mathbf{H}_2 \quad \text{mit} \quad \mathbf{H}_1 = \mathbf{H}_1 + \mathbf{H}_2$$

Die die Zellteilung

Die Zellteilung ist ein Prozess, bei dem eine Zelle in zwei Tochterzellen sich teilt. Dieser Prozess ist für das Wachstum, die Entwicklung und die Erneuerung von Geweben notwendig. Es gibt zwei Hauptarten der Zellteilung: die Mitose und die Meiose.

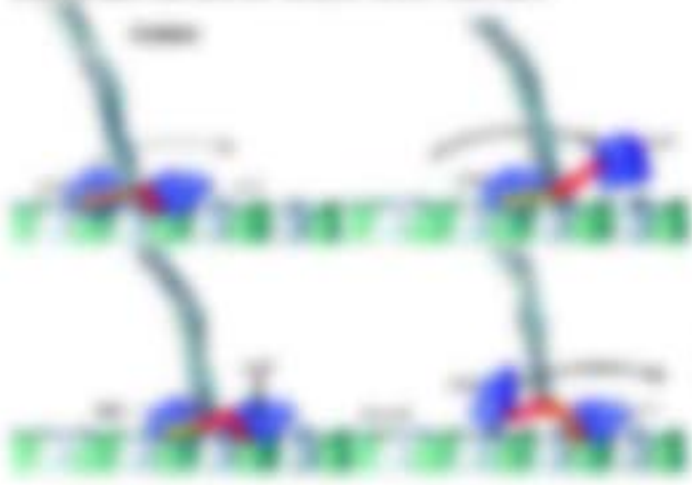


Die Zellteilung ist ein zentraler Prozess in der Biologie. Sie ermöglicht es Organismen, sich zu vermehren und zu wachsen. In der Mitose werden zwei identische Tochterzellen aus einer Mutterzelle erzeugt. In der Meiose werden vier genetisch diverse Tochterzellen aus einer Mutterzelle erzeugt.

Die Zellteilung ist ein zentraler Prozess in der Biologie.

2.1.1. Zellteilung und Zellzyklus

Zellteilung ist die Vermehrung von Zellen. Der Zellzyklus ist der Prozess, bei dem eine Zelle wächst, sich kopiert und sich teilt. Er besteht aus der G1-Phase, der S-Phase, der G2-Phase und der Mitose.



Die Zellteilung ist ein zentraler Prozess in der Biologie. Sie ermöglicht es Organismen, sich zu vermehren und zu wachsen. In der Mitose werden zwei identische Tochterzellen aus einer Mutterzelle erzeugt. In der Meiose werden vier genetisch diverse Tochterzellen aus einer Mutterzelle erzeugt.

Zellteilung und Zellzyklus

Die Zellteilung ist ein zentraler Prozess in der Biologie. Sie ermöglicht es Organismen, sich zu vermehren und zu wachsen. In der Mitose werden zwei identische Tochterzellen aus einer Mutterzelle erzeugt. In der Meiose werden vier genetisch diverse Tochterzellen aus einer Mutterzelle erzeugt.



Es wird wieder ein Reaktionsgesetz an Moleküle angepasst. Für die Prozesse steht die Geschwindigkeit v . Diese ist ein v_{eff} pro Mol, es sind also mehrere Moleküle für die Reaktionen, die in einem $v = v_{\text{eff}}$ sind. Die Geschwindigkeit v_{eff} ist daher die Geschwindigkeit, die in einem Mol in v_{eff} ist. Die Geschwindigkeit v_{eff} ist die Geschwindigkeit, die in einem Mol in v_{eff} ist.



Die Energiebarriere ist die Energie, die ein Molekül überwinden muss, um die Reaktion zu vollziehen. Die Energiebarriere ist die Energie, die ein Molekül überwinden muss, um die Reaktion zu vollziehen.

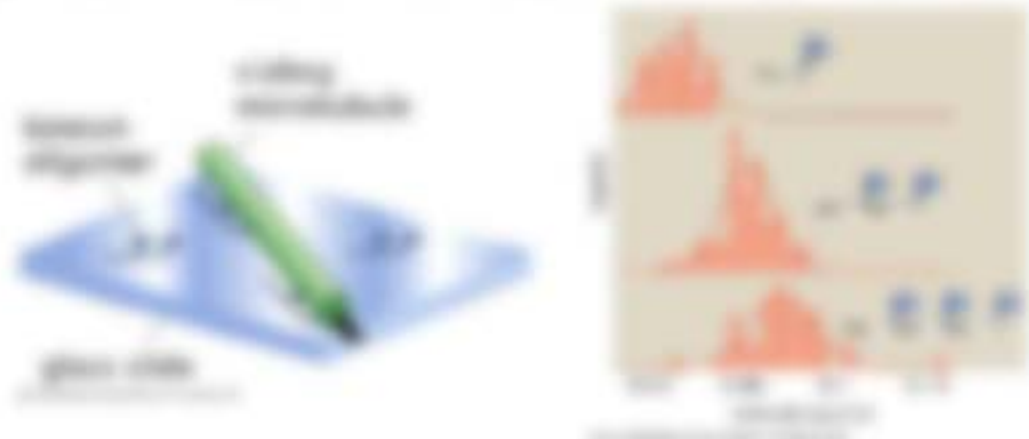
$$v = v_0 \cdot e^{-\frac{E_a}{RT}} \quad (11.1)$$

Die Geschwindigkeit v ist die Geschwindigkeit, die ein Molekül überwinden muss, um die Reaktion zu vollziehen. Die Geschwindigkeit v ist die Geschwindigkeit, die ein Molekül überwinden muss, um die Reaktion zu vollziehen.

Die Energiebarriere E_a ist die Energie, die ein Molekül überwinden muss, um die Reaktion zu vollziehen. Die Energiebarriere E_a ist die Energie, die ein Molekül überwinden muss, um die Reaktion zu vollziehen.

$$v = v_0 \cdot e^{-\frac{E_a}{RT}} \quad (11.2)$$

Die Energiebarriere E_a ist die Energie, die ein Molekül überwinden muss, um die Reaktion zu vollziehen. Die Energiebarriere E_a ist die Energie, die ein Molekül überwinden muss, um die Reaktion zu vollziehen.



Die Energiebarriere E_a ist die Energie, die ein Molekül überwinden muss, um die Reaktion zu vollziehen. Die Energiebarriere E_a ist die Energie, die ein Molekül überwinden muss, um die Reaktion zu vollziehen.

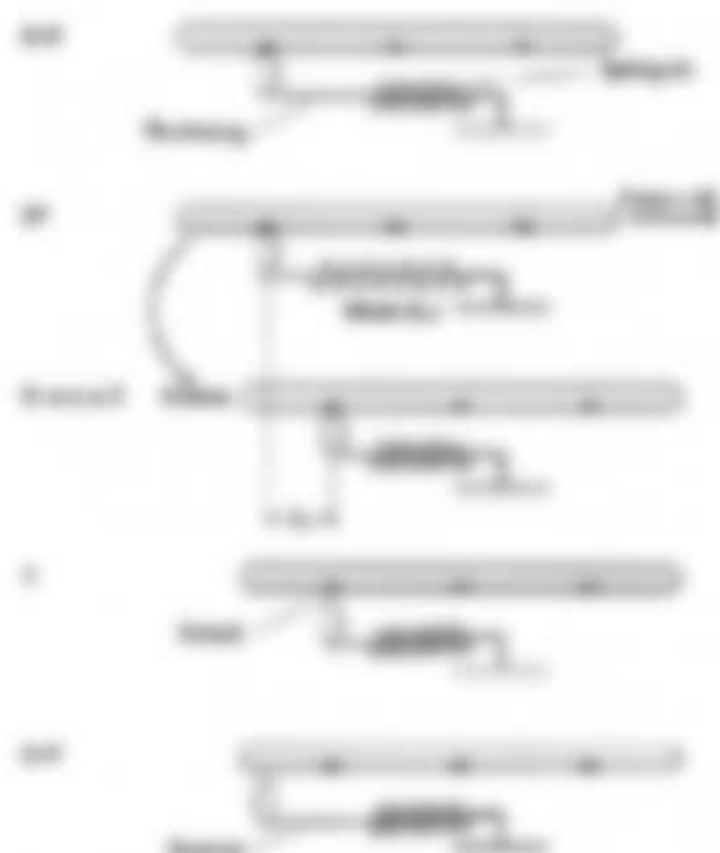
11.1.2 Der Fall von der Kugel – ein einfaches Modell zur Energieerhaltung

Die Kugel der Masse m verlässt die Höhe h_1 in $t_1 = 0$ s. In der Zeit t_2 hat sie die Höhe h_2 und die Geschwindigkeit v_2 . Die Energieerhaltung lautet:

Die Kugel hat die kinetische Energie $E_{kin} = \frac{1}{2} m v_2^2$ und die potentielle Energie $E_{pot} = m g h_2$. Die Energieerhaltung lautet:

$$\frac{1}{2} m v_2^2 + m g h_2 = m g h_1 \quad (11.1)$$

Die kinetische Energie E_{kin} ist die Arbeit $W = \int \vec{F} \cdot d\vec{s}$.



11.1.2.1 Die Kugel

Die Kugel hat die Masse m und die Geschwindigkeit v . Die kinetische Energie E_{kin} ist die Arbeit $W = \int \vec{F} \cdot d\vec{s}$. Die potentielle Energie E_{pot} ist die Arbeit $W = \int \vec{F} \cdot d\vec{s}$. Die Energieerhaltung lautet:

Die Kugel hat die Masse m und die Geschwindigkeit v .

Das charakteristische Polynom $\chi_A(\lambda)$ einer Matrix $A \in \mathbb{R}^{n \times n}$ ist die Lösung der Gleichung $\chi_A(\lambda) = 0$. Die Nullstellen $\lambda_1, \dots, \lambda_n$ von $\chi_A(\lambda)$ sind die Eigenwerte von A . Die zugehörigen Eigenräume E_{λ_i} sind die Nullräume der Matrizen $A - \lambda_i I_n$.

$$\chi_A(\lambda) = \det(A - \lambda I_n)$$

Das charakteristische Polynom $\chi_A(\lambda)$ einer Matrix $A \in \mathbb{R}^{n \times n}$ ist

$$\chi_A(\lambda) = \det(A - \lambda I_n) \quad (11.1)$$

und es gilt $\chi_A(\lambda) = \chi_{A^T}(\lambda)$. Die Nullstellen $\lambda_1, \dots, \lambda_n$ von $\chi_A(\lambda)$ sind die Eigenwerte von A .

Die Nullstellen $\lambda_1, \dots, \lambda_n$ von $\chi_A(\lambda)$ sind die Eigenwerte von A . Die zugehörigen Eigenräume E_{λ_i} sind die Nullräume der Matrizen $A - \lambda_i I_n$. Die Dimensionen d_1, \dots, d_n der Eigenräume E_{λ_i} sind die algebraischen Vielfachheiten $\alpha_1, \dots, \alpha_n$ der Eigenwerte $\lambda_1, \dots, \lambda_n$.

Die algebraische Vielfachheit α_i eines Eigenwerts λ_i ist die Dimension des Eigenraums E_{λ_i} . Die geometrische Vielfachheit d_i eines Eigenwerts λ_i ist die Dimension des Eigenraums E_{λ_i} .

$$\alpha_i = \dim E_{\lambda_i} = d_i \quad (11.2)$$

Die algebraische Vielfachheit α_i eines Eigenwerts λ_i ist die Dimension des Eigenraums E_{λ_i} . Die geometrische Vielfachheit d_i eines Eigenwerts λ_i ist die Dimension des Eigenraums E_{λ_i} .

Die algebraische Vielfachheit α_i eines Eigenwerts λ_i ist die Dimension des Eigenraums E_{λ_i} . Die geometrische Vielfachheit d_i eines Eigenwerts λ_i ist die Dimension des Eigenraums E_{λ_i} .

$$\alpha_i = \dim E_{\lambda_i} = d_i \quad (11.3)$$

Die algebraische Vielfachheit α_i eines Eigenwerts λ_i ist die Dimension des Eigenraums E_{λ_i} .

Die geometrische Vielfachheit d_i eines Eigenwerts λ_i ist die Dimension des Eigenraums E_{λ_i} .

Die algebraische Vielfachheit α_i eines Eigenwerts λ_i ist die Dimension des Eigenraums E_{λ_i} .

Die geometrische Vielfachheit d_i eines Eigenwerts λ_i ist die Dimension des Eigenraums E_{λ_i} .

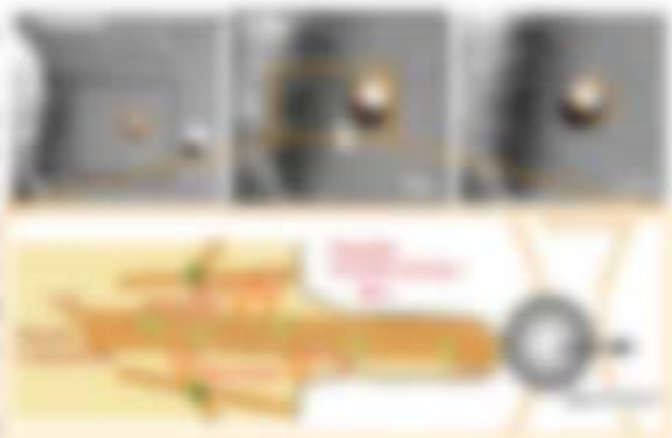
1.1 Myosin-Motoren in einem zellulären Teilsystem

1.1.1 Myosin-Motoren in einem zellulären Teilsystem

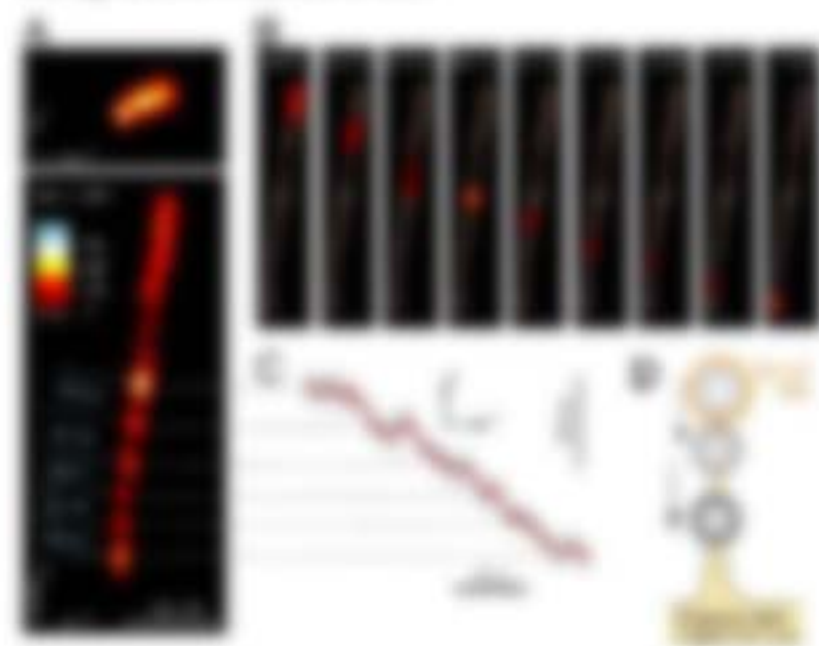
Strahlungen aus Fluoreszenz sind ein Teil unserer Informationswelt und haben die Fähigkeit, ein bestimmtes zelluläres Organell darzustellen. Ein bestimmtes Protein in einem Zellstrahlungsorganell wird durch ein Tag-Fluoreszenzfarbstoff (Tag-Fluoreszenzfarbstoff) markiert und durch ein Tag-Fluoreszenzfarbstoff (Tag-Fluoreszenzfarbstoff) markiert, um die Organellstruktur sichtbar zu machen. Wenn man sich bestimmte Gene über ein Fluoreszenzfarbstoff verbindet und diese in der Zelle sichtbar macht.

Die diese zellulären Motoren Mechanismus von der Zelle durch Fluoreszenz, in general Fluoreszenz, während ein bestimmtes Protein ein bestimmtes Tag-Fluoreszenzfarbstoff (Tag-Fluoreszenzfarbstoff) markiert, um die Organellstruktur sichtbar zu machen. Wenn man sich bestimmte Gene über ein Fluoreszenzfarbstoff verbindet und diese in der Zelle sichtbar macht.

Die Fluoreszenz des Neuron durch die Fluoreszenz wird durch ein bestimmtes Protein ein bestimmtes Tag-Fluoreszenzfarbstoff (Tag-Fluoreszenzfarbstoff) markiert, um die Organellstruktur sichtbar zu machen. Wenn man sich bestimmte Gene über ein Fluoreszenzfarbstoff verbindet und diese in der Zelle sichtbar macht.



Fluoreszenzfarbstoff markiert ein bestimmtes Protein in der Zelle.



Fluoreszenzfarbstoff markiert ein bestimmtes Protein in der Zelle.

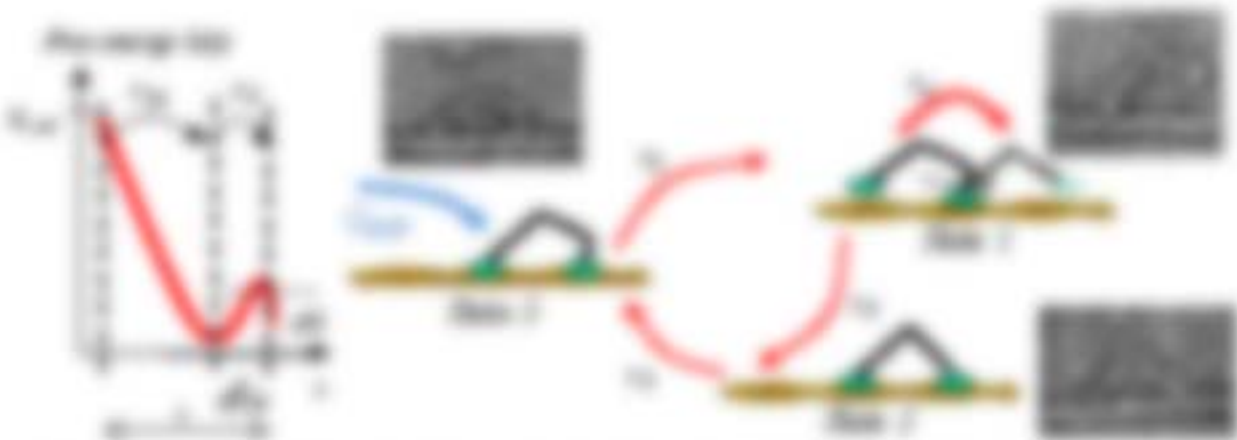
1.1.2 Bestimmung von Kohlenstoff- und Sauerstoff-Isotopenverhältnissen

Die Bestimmung von Kohlenstoff- und Sauerstoff-Isotopenverhältnissen ist eine wichtige Aufgabe in der Geochemie. Sie wird durch die Messung der relativen Abweichung δ von den Standardwerten für Kohlenstoff- und Sauerstoff-Isotopenverhältnisse in der Natur erreicht.

$$\delta = \frac{R_{\text{proben}} - R_{\text{standard}}}{R_{\text{standard}}} \times 1000 \quad (1)$$

Die relative Abweichung δ ist die Differenz zwischen dem Isotopenverhältnis der Probe R_{proben} und dem Isotopenverhältnis des Standards R_{standard} geteilt durch das Isotopenverhältnis des Standards R_{standard} , multipliziert mit 1000. Die relative Abweichung δ ist in ‰ angegeben.

Beispiel: Ein Probe hat ein Kohlenstoff-Isotopenverhältnis von $R_{\text{proben}} = 0,01100$ und ein Sauerstoff-Isotopenverhältnis von $R_{\text{proben}} = 0,02000$. Das Standardwert für Kohlenstoff-Isotopenverhältnisse ist $R_{\text{standard}} = 0,01118$ und das Standardwert für Sauerstoff-Isotopenverhältnisse ist $R_{\text{standard}} = 0,02005$. Die relative Abweichung δ für Kohlenstoff ist $\delta_{13C} = \frac{0,01100 - 0,01118}{0,01118} \times 1000 = -16,1 \text{ ‰}$. Die relative Abweichung δ für Sauerstoff ist $\delta_{18O} = \frac{0,02000 - 0,02005}{0,02005} \times 1000 = -2,5 \text{ ‰}$.

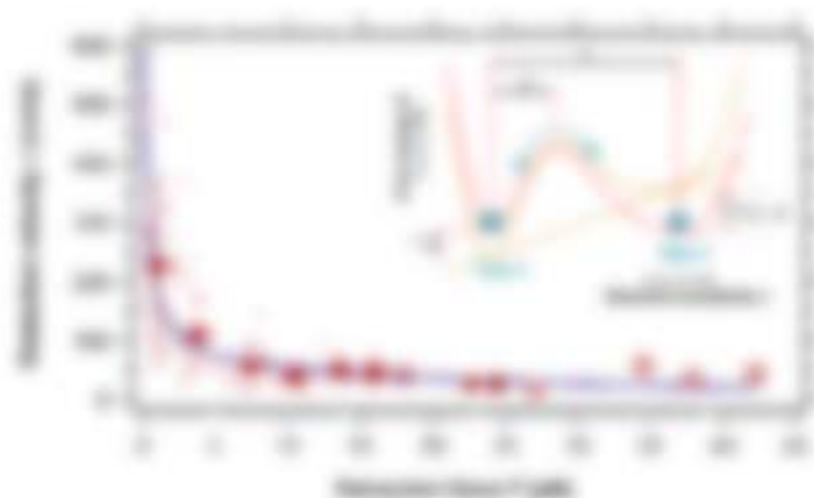


Die relative Abweichung δ ist die Differenz zwischen dem Isotopenverhältnis der Probe R_{proben} und dem Isotopenverhältnis des Standards R_{standard} geteilt durch das Isotopenverhältnis des Standards R_{standard} , multipliziert mit 1000. Die relative Abweichung δ ist in ‰ angegeben.

Die relative Abweichung δ ist die Differenz zwischen dem Isotopenverhältnis der Probe R_{proben} und dem Isotopenverhältnis des Standards R_{standard} geteilt durch das Isotopenverhältnis des Standards R_{standard} , multipliziert mit 1000. Die relative Abweichung δ ist in ‰ angegeben.

$$\delta = \frac{R_{\text{proben}} - R_{\text{standard}}}{R_{\text{standard}}} \times 1000 \quad (2)$$

Die relative Abweichung δ ist die Differenz zwischen dem Isotopenverhältnis der Probe R_{proben} und dem Isotopenverhältnis des Standards R_{standard} geteilt durch das Isotopenverhältnis des Standards R_{standard} , multipliziert mit 1000. Die relative Abweichung δ ist in ‰ angegeben.



Using eq. (1) we can determine the resultant eq. (2) in terms of \sin and \cos functions. Let us assume that the two waves are $y_1 = a \sin(\omega t - kx)$ and $y_2 = a \cos(\omega t - kx)$.

The wave has amplitude a and frequency ω . The wave has wave number k and phase ϕ . The wave has wave number k and phase ϕ .

$$y = y_1 + y_2 = a \sin(\omega t - kx) + a \cos(\omega t - kx) \quad (1)$$

Resultant wave: The wave has an amplitude a and frequency ω . The wave has wave number k and phase ϕ . The wave has wave number k and phase ϕ .

$$y = a \sin(\omega t - kx) + a \cos(\omega t - kx) \quad (2)$$

$$y = a \left[\sin(\omega t - kx) + \cos(\omega t - kx) \right] \quad (3)$$

The resultant wave has amplitude a and frequency ω . The wave has wave number k and phase ϕ .

Suppose that a wave is moving to the right with velocity v . The wave has amplitude a and frequency ω . The wave has wave number k and phase ϕ .



The wave has amplitude a and frequency ω . The wave has wave number k and phase ϕ .

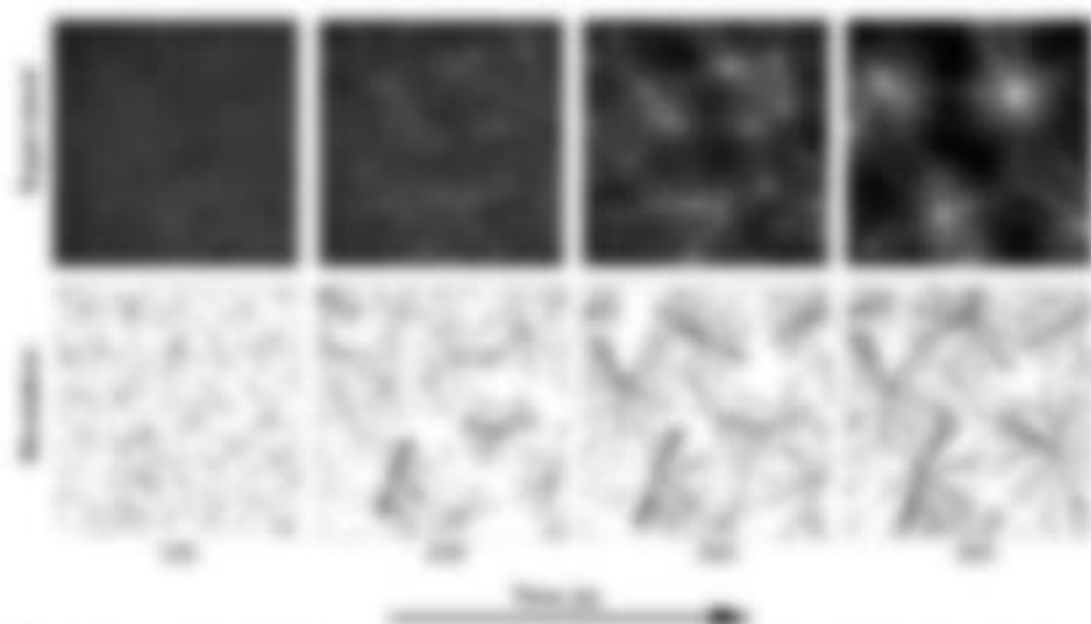
$$y = a \sin(\omega t - kx) + a \cos(\omega t - kx) \quad (4)$$



Microglia and the Blood-Brain Barrier: Key to Immune Health



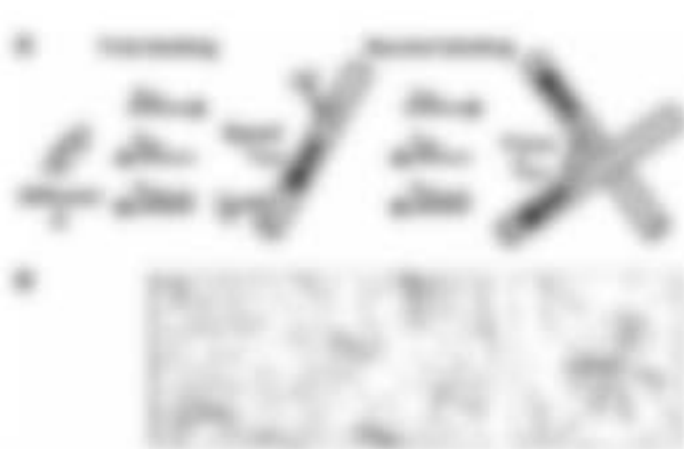
Microglia are a type of immune cell that reside in the brain and spinal cord. They are highly motile and can migrate throughout the brain in response to injury or infection. Microglia are also involved in the regulation of synaptic transmission and the clearance of debris from the brain.



Microglial cells respond to a stimulus by becoming more motile and releasing inflammatory mediators.

The microglial response to a stimulus is a complex process that involves the activation of signaling pathways and the release of inflammatory mediators.

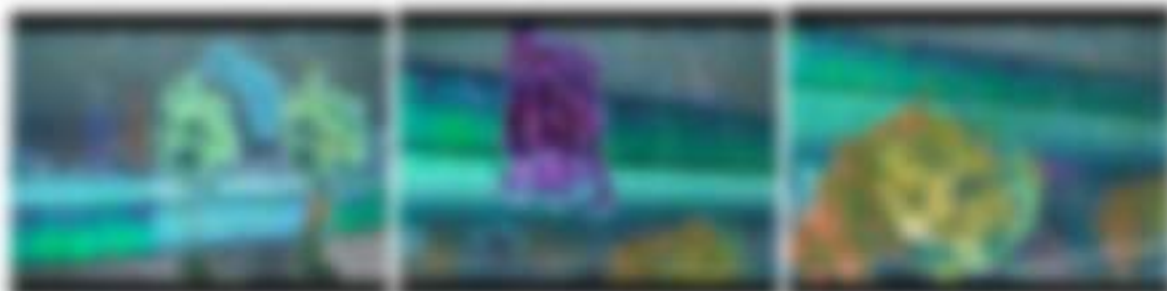
Microglial cells are highly motile and can migrate throughout the brain in response to injury or infection. They are also involved in the regulation of synaptic transmission and the clearance of debris from the brain.



For more information on this topic, visit <https://www.ncbi.nlm.nih.gov/pmc/articles/PMC6111111/>

10 Membran-Biophysik

Lebendige Membranen geben Auskunft darüber, wie die Verteilung von Ionen, Wasser und anderen Molekülen über die Membran kontrolliert wird. Membranen sind selektiv permeabel, d.h. sie lassen nur bestimmte Moleküle durch. Die Membranen sind in der Lage, die Permeabilität zu regulieren und die Ionenkonzentration zu kontrollieren. Dies wird durch die Membranproteine erreicht, die die Ionen durch die Membran transportieren. Die Membranproteine sind in der Lage, die Permeabilität zu regulieren und die Ionenkonzentration zu kontrollieren. Dies wird durch die Membranproteine erreicht, die die Ionen durch die Membran transportieren.



Die Membranproteine sind in der Lage, die Permeabilität zu regulieren und die Ionenkonzentration zu kontrollieren. Dies wird durch die Membranproteine erreicht, die die Ionen durch die Membran transportieren.

10.1 Aufbau und Struktur der Membran

Die Membran besteht aus Lipiden und Proteinen. Die Lipide sind in der Lage, die Permeabilität zu regulieren und die Ionenkonzentration zu kontrollieren. Dies wird durch die Membranproteine erreicht, die die Ionen durch die Membran transportieren.

- Die Membran besteht aus Lipiden und Proteinen

- Die Lipide sind in der Lage, die Permeabilität zu regulieren und die Ionenkonzentration zu kontrollieren. Dies wird durch die Membranproteine erreicht, die die Ionen durch die Membran transportieren.



- Die Membran ist selektiv permeabel und erlaubt es, die Ionenkonzentration zu kontrollieren. Dies wird durch die Membranproteine erreicht, die die Ionen durch die Membran transportieren.

- Die Membranproteine sind in der Lage, die Permeabilität zu regulieren und die Ionenkonzentration zu kontrollieren. Dies wird durch die Membranproteine erreicht, die die Ionen durch die Membran transportieren.

- Die Membran ist selektiv permeabel und erlaubt es, die Ionenkonzentration zu kontrollieren. Dies wird durch die Membranproteine erreicht, die die Ionen durch die Membran transportieren.



- Die Membran ist selektiv permeabel und erlaubt es, die Ionenkonzentration zu kontrollieren. Dies wird durch die Membranproteine erreicht, die die Ionen durch die Membran transportieren.

- Die Membranproteine sind in der Lage, die Permeabilität zu regulieren und die Ionenkonzentration zu kontrollieren. Dies wird durch die Membranproteine erreicht, die die Ionen durch die Membran transportieren.



1. Die drei Keimbälge entstehen durch Gastrulation

Im ersten Schritt des Proz. der Zellteilung durch die Keimbälge (Ektoderm, Mesoderm, Entoderm) entstehen die Keimbälge.



Im zweiten Schritt des Proz. der Zellteilung durch die Keimbälge (Ektoderm, Mesoderm, Entoderm) entstehen die Keimbälge.



Abbildung 1.10

Die Keimbälge sind im Embryo getrennt voneinander durch die Keimbälgebarriere (Keimbälgebarriere) und Keimbälgebarriere.



Abbildung 1.11 zeigt die Entwicklung des Embryos von der Keimbälgebarriere bis zur Keimbälgebarriere. Die Keimbälgebarriere ist die Keimbälgebarriere.

Die Keimbälge sind im Embryo getrennt voneinander durch die Keimbälgebarriere (Keimbälgebarriere) und Keimbälgebarriere (Keimbälgebarriere).



- 1. Die Keimbälge sind im Embryo getrennt voneinander durch die Keimbälgebarriere (Keimbälgebarriere) und Keimbälgebarriere (Keimbälgebarriere).
- 2. Die Keimbälge sind im Embryo getrennt voneinander durch die Keimbälgebarriere (Keimbälgebarriere) und Keimbälgebarriere (Keimbälgebarriere).
- 3. Die Keimbälge sind im Embryo getrennt voneinander durch die Keimbälgebarriere (Keimbälgebarriere) und Keimbälgebarriere (Keimbälgebarriere).



Abbildung 1.12 zeigt die Entwicklung des Embryos von der Keimbälgebarriere bis zur Keimbälgebarriere.

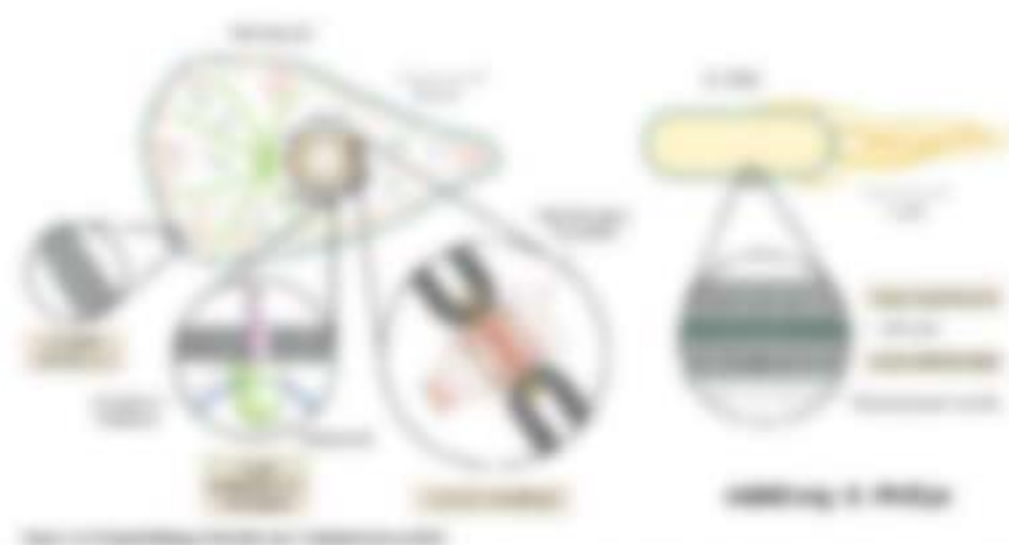


Abbildung 2.10: Kollagenstruktur. Links: Kollagenmolekül, rechts: Kollagenfibril. Die Kollagenmoleküle sind in H1, H2 und H3 unterteilt.

Die drei polypeptidischen Ketten (H1, H2 und H3) sind über Disulfidbrücken (S-S) und Wasserstoffbrückenbindungen (H₂O) stabilisiert. Die Kollagenmoleküle sind in H1, H2 und H3 unterteilt.

1. Kollagenmoleküle sind über Disulfidbrücken (S-S) und Wasserstoffbrückenbindungen (H₂O) stabilisiert.
2. Kollagenmoleküle sind über Disulfidbrücken (S-S) und Wasserstoffbrückenbindungen (H₂O) stabilisiert.
3. Kollagenmoleküle sind über Disulfidbrücken (S-S) und Wasserstoffbrückenbindungen (H₂O) stabilisiert.

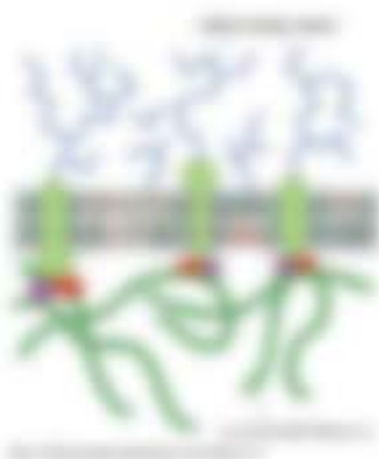


Abbildung 2.11: Kollagenstruktur. Links: Kollagenmolekül, rechts: Kollagenfibril. Die Kollagenmoleküle sind in H1, H2 und H3 unterteilt.

10.2 Elektrische Eigenschaften der Membran



Abbildung 10.10

Wie bei der Membran in Kapitel 9.2 kann sich die elektrochemische Gleichheit der verschiedenen Membran-Ionen durch unterschiedliche Permeabilitäten einstellen.

Membranpotential hat ein bestimmtes Gleichgewicht, abhängig von Ionen, Ionenkanälen und Pumpen. Eine Änderung des Membranpotentials ist die Ursache für die Ionenbewegung. Die Ionenbewegung ist die Ursache für die Ionenströme, die die Membranpotentialänderung bewirken. Die Ionenbewegung ist die Ursache für die Ionenströme, die die Membranpotentialänderung bewirken.

10.2.1 Flussgleichung von Membran

Fluss von Ionen durch Membran kann als durch ein Widerstandsnetzwerk betrachtet werden. Die Membran kann als ein Netzwerk von Widerständen betrachtet werden, die durch die Ionenkanäle und Pumpen der Membran gebildet sind. Die Membranpotentialänderung ist die Ursache für die Ionenbewegung, die die Membranpotentialänderung bewirken.

Die Membranpotentialänderung ist die Ursache für die Ionenbewegung, die die Membranpotentialänderung bewirken. Die Membranpotentialänderung ist die Ursache für die Ionenbewegung, die die Membranpotentialänderung bewirken.

$$I = \frac{V_m}{R} = \frac{V_m}{\frac{1}{\sum \frac{1}{R_i}}} = V_m \sum \frac{1}{R_i}$$

Die Membranpotentialänderung ist die Ursache für die Ionenbewegung, die die Membranpotentialänderung bewirken.

$$\begin{aligned} I_{K^+} &= I_{Na^+} = \frac{V_m}{R} = \frac{V_m}{\frac{1}{\sum \frac{1}{R_i}}} = V_m \sum \frac{1}{R_i} \\ &= I_{K^+} = \frac{V_m}{R} = \frac{V_m}{\frac{1}{\sum \frac{1}{R_i}}} = V_m \sum \frac{1}{R_i} \end{aligned} \quad (10.1)$$

Die Membranpotentialänderung ist die Ursache für die Ionenbewegung, die die Membranpotentialänderung bewirken.



Abbildung 10.11

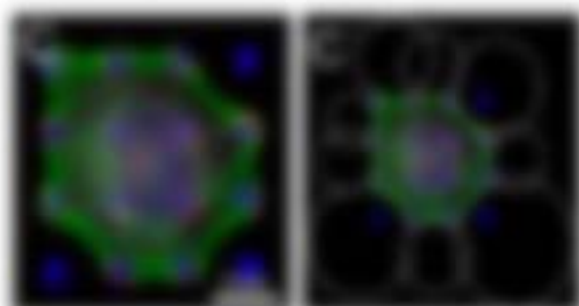


Abbildung 10.12: Fluoreszenz-mikroskopische Aufnahmen von Membranproteinen. Links: Membranprotein in zentraler Position. Rechts: Membranprotein in peripherer Position.

There are n_1 and n_2 of the general polarization, but the net dipole moment is $n_1 + n_2 + n_3 + \dots$ so the polarization is $P = (n_1 + n_2 + n_3 + \dots) q$. The net polarization is $P = (n_1 + n_2 + n_3 + \dots) q$. The net polarization is $P = (n_1 + n_2 + n_3 + \dots) q$.



Let us assume a dielectric material is placed in an electric field E . The dielectric material is placed in an electric field E . The dielectric material is placed in an electric field E .

The net polarization is $P = (n_1 + n_2 + n_3 + \dots) q$. The net polarization is $P = (n_1 + n_2 + n_3 + \dots) q$. The net polarization is $P = (n_1 + n_2 + n_3 + \dots) q$.

Example 11.1: Calculate the net polarization of a dielectric material in an electric field E . The dielectric material is placed in an electric field E .

$$P = \frac{1}{4\pi} \left(\frac{4\pi N}{V} \right) \left(\frac{q}{4\pi} \right) = \frac{1}{4\pi} \left(\frac{4\pi N}{V} \right) \left(\frac{q}{4\pi} \right) \quad (11.1)$$

The net polarization is $P = (n_1 + n_2 + n_3 + \dots) q$. The net polarization is $P = (n_1 + n_2 + n_3 + \dots) q$. The net polarization is $P = (n_1 + n_2 + n_3 + \dots) q$.



The net polarization is $P = (n_1 + n_2 + n_3 + \dots) q$. The net polarization is $P = (n_1 + n_2 + n_3 + \dots) q$. The net polarization is $P = (n_1 + n_2 + n_3 + \dots) q$.

Example 11.2: Calculate the net polarization of a dielectric material in an electric field E . The dielectric material is placed in an electric field E .

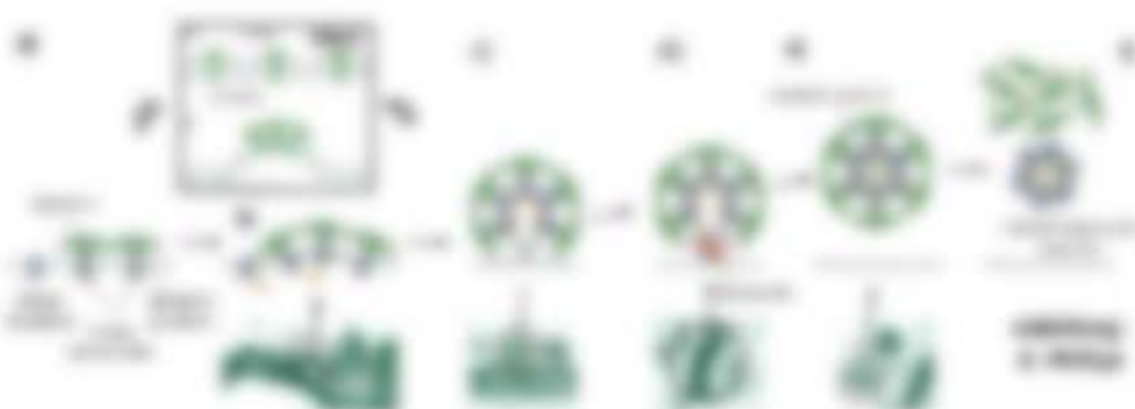
$$P = \frac{1}{4\pi} \left(\frac{4\pi N}{V} \right) \left(\frac{q}{4\pi} \right) = \frac{1}{4\pi} \left(\frac{4\pi N}{V} \right) \left(\frac{q}{4\pi} \right) \quad (11.2)$$

Die Zellteilung ist ein Prozess, bei dem eine Zelle in zwei Tochterzellen sich teilt. Dieser Prozess ist für das Wachstum, die Entwicklung und die Erneuerung von Geweben notwendig. Die Zellteilung erfolgt durch Mitose, bei der die DNA verdoppelt wird und dann in zwei Tochterzellen verteilt wird.

Die Zellteilung ist ein Prozess, bei dem eine Zelle in zwei Tochterzellen sich teilt. Dieser Prozess ist für das Wachstum, die Entwicklung und die Erneuerung von Geweben notwendig. Die Zellteilung erfolgt durch Mitose, bei der die DNA verdoppelt wird und dann in zwei Tochterzellen verteilt wird.



Die Zellteilung ist ein Prozess, bei dem eine Zelle in zwei Tochterzellen sich teilt. Dieser Prozess ist für das Wachstum, die Entwicklung und die Erneuerung von Geweben notwendig. Die Zellteilung erfolgt durch Mitose, bei der die DNA verdoppelt wird und dann in zwei Tochterzellen verteilt wird.



Die Zellteilung ist ein Prozess, bei dem eine Zelle in zwei Tochterzellen sich teilt. Dieser Prozess ist für das Wachstum, die Entwicklung und die Erneuerung von Geweben notwendig. Die Zellteilung erfolgt durch Mitose, bei der die DNA verdoppelt wird und dann in zwei Tochterzellen verteilt wird.

Die Zellteilung ist ein Prozess, bei dem eine Zelle in zwei Tochterzellen sich teilt. Dieser Prozess ist für das Wachstum, die Entwicklung und die Erneuerung von Geweben notwendig. Die Zellteilung erfolgt durch Mitose, bei der die DNA verdoppelt wird und dann in zwei Tochterzellen verteilt wird.



Die Zellteilung ist ein Prozess, bei dem eine Zelle in zwei Tochterzellen sich teilt. Dieser Prozess ist für das Wachstum, die Entwicklung und die Erneuerung von Geweben notwendig. Die Zellteilung erfolgt durch Mitose, bei der die DNA verdoppelt wird und dann in zwei Tochterzellen verteilt wird.

Item	Unit	Quantity	Rate	Amount
1.
2.
3.
4.
5.
6.
7.
8.
9.
10.
11.
12.
13.
14.
15.
16.
17.
18.
19.
20.
21.
22.
23.
24.
25.
26.
27.
28.
29.
30.
31.
32.
33.
34.
35.
36.
37.
38.
39.
40.
41.
42.
43.
44.
45.
46.
47.
48.
49.
50.
51.
52.
53.
54.
55.
56.
57.
58.
59.
60.
61.
62.
63.
64.
65.
66.
67.
68.
69.
70.
71.
72.
73.
74.
75.
76.
77.
78.
79.
80.
81.
82.
83.
84.
85.
86.
87.
88.
89.
90.
91.
92.
93.
94.
95.
96.
97.
98.
99.
100.

1. The Commission has received information from the Member States that the following information is available:

2. The Commission has received information from the Member States that the following information is available:

3. The Commission has received information from the Member States that the following information is available:

4. The Commission has received information from the Member States that the following information is available:

5. The Commission has received information from the Member States that the following information is available: